

ORIGINAL ARTICLE

Proteome analysis of soybean root facing pod distortion syndrome

Maryam Alyari¹, Mahmoud Toorchi² , Mahdiye Parsaeiyan¹, Naser Farokhi³, Setsuko Komatsu⁴

1. M. Sc. and Assistant Professor, Department of Agronomy and Plant Breeding, Shahrood University of Technology, Shahrood, Iran.
2. Professor, Department of Plant Breeding and Biotechnology, University of Tabriz, Tabriz, Iran
3. Associate Professor, Department of Plant Science and Biotechnology, Shahid Beheshti University, Tehran, Iran.
4. Professor, Institute of Crop Science, NARO (NICS), Tsukuba, Japan.

Correspondence:
Mahmoud Toorchi
Email: mtoorchi@tabrizu.ac.ir

Received: 20, Nov. 2024
Accepted: 28, Feb. 2025

How to cite:

Alyari, M., Toorchi, M., Parsaeiyan, M., Farokhi, N., & Komatsu, N. (2025). Proteome analysis of soybean root facing pod distortion syndrome. *Crop Biotechnology*, 14 (3), 1 -12. (DOI:[10.30473/cb.2025.72842.1990](https://doi.org/10.30473/cb.2025.72842.1990))

ABSTRACT

Pod distortion syndrome (PDS) is a particular type of growth in which soybean plants remain green long after pod maturation. Green stems even sometimes leaves and green petiole impose different problems at harvesting and lead to yield reduction. Protein expression profile of PDS soybean cultivar Katul compared with non-PDS soybean to investigate the molecular mechanisms of this syndrome. Therefore, soybean leaf samples were collected at R6 vegetative stage from the field through surway sampling and protein extracted by phosphate buffer method. A total of 124 reproducible protein spots were distinguished by 2-dimentional electrophoresis through isi-electric focusing in the first and sds-PAGE in the second dimentions. Thirty-four spots indicated by induction factor in which 11 protein spots indicated significant expression changes, statistically. Proteins interfering in PDS were classified into metabolism and energy production, protein destination and storage, signal transduction, ROS scavenging and detoxification categories. Glutamate dehydrogenase, malate dehydrogenase, methionine syntetase, stem 31 kDa glycoprotein, 14-3-3-like protein, germin like proteins, thiroredoxin and ond one protein with unknown function were identified through mass spectrometry in which all the proteins were shown decrease in expression change. The finding suggests that the key regulators of PDS in soybean plants are 14-3-3 and jermin like protein.

KEY WORDS

Proteomics, soybean pod distortion, two-dimentional electrophoresis.



© 2025, by the author(s). Published by Payame Noor University, Tehran, Iran.

This is an open access article under the CC BY 4.0 license (<http://creativecommons.org/licenses/by/4.0/>).
<https://cropbiotech.journals.pnu.ac.ir/>

زیست‌فناوری گیاهان زراعی

سال چهاردهم، شماره سوم، پیاپی ۴۹، بهار ۱۴۰۴ (۱-۱۲)

DOI: [10.30473/cb.2025.72842.1990](https://doi.org/10.30473/cb.2025.72842.1990)

«مقاله پژوهشی»

تجزیه پروتئوم بافت ریشه سویای مبتلا به سندروم غلاف‌بندی

مریم علیاری^۱، محمود تورچی^{۲*}، مهدیه پارسایان^۱، ناصر فرخی^۳، ستسوکو کوماتسو^۴

چکیده

عارضه ناهنجاری یا سندروم غلاف‌بندی سویا نوع ویژه‌ای از رشد است که گیاهان مدت‌ها پس از رسیدگی غلاف‌ها، همچنان سبز باقی می‌مانند. ساقه‌های سبز و حتی برخی اوقات برگ‌ها و دمبرگ‌های سبز می‌تواند مشکلات متعددی در زمان برداشت ایجاد کنند و منجر به کاهش عملکرد شوند. به منظور بررسی سازوکار مولکولی سندروم غلاف‌بندی سویا در رقم کتول، مقایسه پروفایل بیان پروتئین‌های گیاهان سالم و مبتلا انجام گرفت. برای این منظور نمونه‌های برگ سویا در مرحله رویشی R6 به روش پیمایشی از مزارع برداشت و پروتئین بافت ریشه آنها به روش بافر فسفات استخراج شدند. الکتروفورز دو بعدی در بعد اول به روش متمنکرسازی بر اساس نقطه ایزوالتريک و در بعد دوم به روش SDS-PAGE منجر به مشاهده ۱۲۴ لکه پروتئینی تکرار پذیر شد. فاکتور القا منجر به تشخیص تعداد ۳۶ لکه پروتئینی با تغییرات بیان قابل ملاحظه گردید و با انجام آزمون *A*، تعداد ۱۱ لکه پروتئینی از نظر آماری تغییر بیان معنی دار داشتند. پروتئین‌های دخیل در ناهنجاری غلاف‌بندی از نظر کارکرد بیولوژیکی متعلق به گروه پروتئین‌های دخیل در متابولیسم و تولید انرژی، تقسیط و ذخیره‌سازی پروتئین، انتقال سیگنال، مهار گونه‌های فعال اکسیژن و سم زدایی بودند. در پاسخ به سندروم غلاف‌بندی، پروتئین‌های گلوتامات دهیدروژناز، مالات دهیدروژناز، متیونین سنتاز، گلیکوبروتئین ۳۱ کیلو دالتونی ساقه‌ای، 14-3-3-like protein، پروتئین شبه جرمین، تیوردوکسین و یک پروتئین ناشناخته به روش طیف سنجی جرمی شناسایی و همه آنها کاهش تغییرات بیان نشان دادند. نتایج نشان می‌دهد که کاهش بیان پروتئین‌های 14-3-3-like protein و پروتئین شبه جرمین که از تنظیم کننده‌های کلیدی به شمار می‌روند در ریشه گیاهان مبتلا نقش اساسی را در تظاهر سندروم غلاف‌بندی سویا دارند.

واژه‌های کلیدی

الکتروفورز دو بعدی، پروتئومیکس، سندروم غلاف‌بندی.

- دانشآموخته کارشناسی ارشد و استادیار، گروه زراعت و اصلاح نباتات، دانشکده کشاورزی، دانشگاه صنعتی شاهروod، شاهروod، ایران.
- استاد، گروه بهنژادی و بیوتکنولوژی گیاهی، دانشکده کشاورزی، دانشگاه تبریز، تبریز، ایران.
- دانشیار، گروه علوم و بیوتکنولوژی گیاهی، دانشگاه شهید بهشتی، تهران، ایران.
- استاد، انسیتو تحقیقات علوم گیاهان زراعی، سوکوبان، اذاین.

نویسنده مسئول:

محمود تورچی

ایمیل: mtoorchi@tabrizu.ac.ir

تاریخ دریافت: ۱۴۰۳/۰۸/۳۰

تاریخ پذیرش: ۱۴۰۳/۱۲/۱۰

استناد به این مقاله:

علیاری، مریم؛ تورچی، محمود؛ پارسایان، مهدیه؛ فرخی، ناصر و کوماتسو، ستسوکو (۱۴۰۴). تجزیه پروتئوم بافت ریشه سویای مبتلا به سندروم غلاف‌بندی، *فصلنامه علمی زیست‌فناوری گیاهان زراعی*، ۱۴ (۱)، ۱۲-۱. (DOI: [10.30473/cb.2025.72842.1990](https://doi.org/10.30473/cb.2025.72842.1990))



حق انتشار این مستند، متعلق به نویسنده‌ان است.

ناشر این مقاله، دانشگاه پیام نور است.

Creative Commons Attribution (CC BY 4.0) منتشر شده و استفاده از آن با ارجاع صحیح مجاز است.

تغییرات بیان پروتئین‌های متفاوت در گیاه تظاهر می‌یابد. بنابراین، تحلیل پروتئومیکس از راهکارهای تعیین علل موثر در پیدایش این سندروم می‌تواند باشد. پروتئومیکس ابزار قدرتمندی برای مطالعه تغییرات بیان پروتئین‌های مختلف در پاسخ به تنش‌های زیستی و غیر زیستی و تعریف فرایندهای فیزیولوژیکی و متابولیکی است (Xing et al., 2002). در این راستا، هدف از انجام این پژوهش تحلیل تغییرات مولکولی در سطح بیان پروتئین‌ها در بافت ریشه‌ی سویا دارای ناهنجاری غلاف بندی می‌باشد تا به امکان سنجی تعیین پروتئین‌های کاندیدای دخیل در شکل‌گیری این عارضه پرداخته شود. با شناسایی پروتئین‌های پاسخ دهنده و دارای تغییرات بیان در نتیجه این عارضه، نقش مولکولی این پروتئین‌ها در پاسخ با این عارضه ژنتیکی مورد بحث قرار می‌گیرد.

مرواری بر پژوهش‌ها

در ایران در سال ۱۳۶۶ پژوهه‌های جامعی به مدت سه سال زراعی (۱۳۶۸ تا ۱۳۶۸) به منظور بررسی علل ایجاد این سندروم اجرا شد. بر اساس نتایج، تیمارهای به کار رفته در پژوهه‌نوانست شرایط مشابه سندروم را در بوته‌های سویا به وجود آورد و فقط در نتایج مربوط به بخش بیماری‌ها، از بوته‌های آلدوده سه ویروس استخراج گردید که احتمال می‌رفت عامل آلدودگی بوته‌های سویا به این سندروم باشد (چراغعلی، ۱۳۶۷). تحقیقات در سایر کشورها نشان داده است که گیاهان مبتلا به این عارضه به بیماری مرموزی Morrison and Bartlet (Morrison and Bartlet, 2009).

مطالعات نشان داده است که واریته‌های مختلف سویا در تظاهر سندروم سویای سبز از همدیگر متفاوت هستند و از دلایل تظاهر این عارضه منشاء ژنتیکی است (Jadhav et al., 2013; Leonard et al., 2011; 2013). اصلاح ژنتیکی سویا و تولید سویای مقاوم به این عارضه یکی از محورهای اصلی تحقیقات بهترادی و مهندسی ژنتیک این گیاه می‌باشد. دلایل ایجاد این سندروم به طور دقیق مشخص نشده است و محققان می‌بایستی دلایل این ناهنجاری را مورد توجه و بررسی قرار دهند (Jadhav et al., 2013).

مقدمه

جمعیت جهان تا سال ۲۰۲۵ میلادی به حدود هشت میلیارد نفر و در سال ۲۰۵۰ از مرز نه میلیارد نفر خواهد گذشت که بخش عمده‌ای از این افزایش جمعیت در کشورهای فقیر و در حال توسعه اتفاق می‌افتد. پیش‌بینی می‌شود سطوح قابل کشت برای محصولات کشاورزی دنیا از متوسط ۱۹۶۰ هکتار در سال ۱۴۵۰ به مساحت ۲۰۵۰ هکتار برای هر نفر در سال ۲۰۵۰ کاهش پیدا کند (Alexandratos and Bransma, 2012). مصرف روغن‌های گیاهی با توجه به افزایش جمعیت و نیز تغییر الگوی غذایی مردم در حال افزایش است. همچنین، بهدلیل پرهزینه بودن تولید پروتئین‌های حیوانی انتظار می‌رود کمبودها از طریق استفاده از پروتئین‌های گیاهی تامین شود و با توجه به جایگاه ارزشمند سویا، اهمیت تحقیقات روی عوامل موثر بر افزایش تولید سویا در سطح کشور را نشان می‌دهد (Ahmedی، ۱۳۷۸).

سویا (*Glycine max* L.) گیاهی دولپه، یک ساله از خانواده پروانه‌آسانان جزو دانه‌های روغنی می‌باشد. جایگاه ارزشمند این محصول به دلیل روغن زیاد و پروتئین فراوان دانه آن است که به ترتیب ۴۰ و ۲۰ درصد از وزن دانه را شامل می‌گردد. عوامل متعدد از جمله سندروم غلاف بندی¹ منجر به کاهش عملکرد سویا می‌گردد. این سندروم با ظهور حالات مختلفی از جمله رشد علفی، گل‌ها و غلاف‌های غیر طبیعی، کوتاه شدن فاصله میانگره‌ها، عدم تشکیل دانه در غلاف و نظایر آن همراه است (Messina, 2010). فرضیه‌های متفاوتی از جمله فرضیه‌های آگرونومیکی (Leonard et al., 2011); زیستی مانند آفات و اقلیمی (Richard et al., 2004); بیماری‌ها (Giesler et al., 2002); فیزیولوژیکی Morrison and Bartlet, 2009; Holshouser,) و ژنتیکی (Leonard et al., 2011) در رابطه با تظاهر این سندروم پیشنهاد شده است. به هر حال، سندروم سویای سبز در واکنش گیاه نسبت به عوامل مختلف و

1. Green Soybean Syndrome

بعدی، الکتروفورز شدند. آنها گزارش کردند که ریشه حساس‌ترین اندام در پاسخ به تنفس خشکی است به طوری که در تیمار تنفس خشکی، پلی اتیلن گلیکول ۱۰ درصد و ترکیبی از آن دو به ترتیب ۳۲، ۱۳ و ۱۲ نوع پروتئین به طور متمایزی بیان شدند. در این آزمایش سنتز پروتئین‌های مرتبط با متابولیسم گیاه افزایش یافت و پروتئین‌های مرتبط با تولید انرژی و نیز پروتئین‌های سنتزی کاهش یافت. آلم و همکاران (Alam *et al.*, 2010) تغییرات پروتئوم ریشه سویا که تحت تنفس خشکی کوتاه مدت قرار داشت را با استفاده از رهیافت پروتومیک مورد بررسی قرار دادند و گزارش کردند که تعداد ۴۵ پروتئین به طور معنی‌داری تغییر بیان داشتند. از بین این پروتئین‌ها مشخصات ۲۸ پروتئین با استفاده از طیف سنجی جرمی تعیین گردید به طوری که از بین این ۲۸ پروتئین، بیان ۵ لکه پروتئینی افزایش و بیان ۲۱ لکه پروتئینی کاهش و ۲ لکه پروتئینی نیز به عنوان لکه پروتئینی جدید شناخته شدند. کوماتسو و همکاران (Komatsu *et al.*, 2013) اثر آبسیزیک اسید در سویا تحت تنفس غرقابی را با رهیافت پروتومیک مورد تجزیه و تحلیل قرار دادند. هنگامی که گیاهان سویا دو روزه غرقاب شدند، محتوى آبسیزیک اسید در ریشه گیاهان شاهد کاهش یافت. هنگامی که آبسیزیک اسید در مدت تیمار غرقاب به گیاه اضافه شد نسبت بقاء در مقایسه با سویاهای غرقاب شده بدون تیمار آبسیزیک اسید بهبود یافت. نتایج نشان داد که فراوانی ^{34}Cl پروتئین هسته‌ای از قبیل هیستون داستیلاز و ریبونوکلئوپروتئین هسته‌ای کوچک U2 در تیمار غرقابی همراه با کاربرد آبسیزیک اسید افزایش یافت. همچنین فراوانی ^{35}Cl پروتئین هسته‌ای از جمله ایمپورتین آلفا، فاکتور تغییر حالت کروماتین، پروتئین‌های انگشت روی، ترانسدیکتین و ۵ پروتئین تقسیم سلولی کاهش یافت.

صلواتی و همکاران (Salavati *et al.*, 2012) تغییرات پروتومیک در ریشه گیاهچه‌های سویا بازیابی شده پس از تنفس غرقابی را مورد تجزیه و تحلیل قرار دادند. تجزیه مقایسه‌ای ژلهای الکتروفورز دو بعدی تیمار شاهد و ریشه گیاهچه‌های سویا بازیابی شده پس از سه روز غرقابی،

Maurício *et al.*, 2017; Ghayeb Zamharir *et al.*, 2022). آنچه که مسلم است سندروم سویا سبز، از واکنش گیاه نسبت به عوامل زنگنه‌ی و محیطی ناشی می‌گردد و به نظر می‌رسد که صرفنظر از دلایل مختلف، پروتئین‌های مختلف در گیاه تغییر می‌باشد. بنابراین، بررسی تجزیه و تحلیل پروتئوم گیاه با ابزارهای پروتومیک یکی از راهکارهای تشخیص پروتئین‌های درگیر در این سندروم در سطح مولکولی می‌باشد. بررسی‌ها نشان می‌دهد که تا کنون در زمینه سندروم سویا سبز مطالعات مقدماتی از طریق تکنولوژی پروتومیک صورت نگرفته است. این رهیافت با شناسایی پروتئین‌های درگیر در ظاهر سندروم سویا سبز کمک می‌کند تا ساز و کار تحمل به سندروم سویا سبز در سطح مولکولی مورد بررسی قرار گیرد و درک بهتری از پاسخ گیاه به این سندروم حاصل شود. در پاسخ به تنفس‌های مختلف، بیان برخی ژن‌ها افزایش یا کاهش می‌باشد. تغییر بیان ژن‌ها در گیاهان به وسیله تنفس‌های مختلف، باعث تغییر پروتئین‌های خاص ساختاری، آنزیمی و یا میزان فعالیت آنها در مسیرهای متابولیکی خاص می‌گردد (Seki *et al.*, 2003).

توروچی و همکاران (Toorchi *et al.*, 2009) مکانیسم پاسخ سویا به تنفس اسمزی در تیمار با پلی اتیلن گلیکول را مورد بررسی قرار دادند. تجزیه لکه‌های پروتئینی ریشه با الکتروفورز دو بعدی نشان داد، ۳۷ پروتئین از ۴۱۵ پروتئین شناسایی شده که با روش توالی یابی ادمن و انگشت نگاری توده‌ای پیتیدی تغییر می‌باشد، متعلق به گروه پروتئین‌های مرتبط با بیماری/دفاع بودند. بر اساس نتایج آنها در شرایط تنفس اسمزی در مراحل اولیه رشد میزان کافنوئیل-کوا-او-متیل ترانسفراز که در چوبی شدن نقش دارد به عنوان یک پاسخ سازگاری کاهش ولی میزان زیر واحد A از آلفا پروتازوم ۲۰ اس که در کاهش آسیب‌های ناشی از تنفس اکسایشی نقش دارد، افزایش می‌باشد. محمدی و همکاران (Mohammadi *et al.*, 2012) گیاهچه‌های سه روزه سویا را تحت تیمار تنفس خشکی، پلی اتیلن گلیکول ۱۰ درصد و ترکیبی از آن دو قرار دادند. پس از اعمال تیمار، پروتئین‌های بافت برگی، هیپوکوتیل و ریشه استخراج شد و سپس در ژلهای دو

بصورت تصادفی نمونه گیری گردید. در انتخاب نمونه‌ها سعی شد که نمونه‌های موردنظر تا حد امکان از فاصله دور از یکدیگر قرار نگرفته باشد. همچنین نمونه‌های متعددی از مزارع انتخاب شدند که برای انجام الکتروفورز دو بعدی نمونه تصادفی کافی جهت تکرار دار بودن آزمایش وجود داشته باشد. نمونه‌های ریشه در فلاسک حاوی ازت مایع به آزمایشگاه منتقل و در فریزر -۸۰- درجه سانتیگراد تا زمان استخراج پروتئین نگهداری شدند.

استخراج و تعیین غلظت پروتئین

برای استخراج پروتئین از بافت ریشه از روش بافر فسفات استفاده شد (Komatsu *et al.*, 2007). به این ترتیب که یک گرم از بافت ریشه همراه با دو میلی لیتر بافر فسفات خنک ۲ در هاون خرد گردید و پس از انتقال نمونه به تیوب‌های ۲ میلی لیتری به مدت ۱۰ دقیقه با ۱۵۰۰ دور در دقیقه در ۴ درجه سانتی گراد سانتریفیوژ شد. روشنایور به تیوب جدید منتقل و دوباره عمل سانتریفیوژ با همان تنظیمات قبلی تکرار و روشنایور به تیوب جدید انتقال یافت. در این مرحله ۱۰ درصد تری کلرواستیک اسید خالص اضافه گردید و ۳۰ دقیقه در یخچال قرار داده شد. پس از آن ورتكس انجام و با تنظیمات قبلی سانتریفیوژ انجام شد. این بار روشنایور دور ریخته شده و رسوب حاصله با ۲۰۰ میکرولیتر الكل اثانول خنک شستشو داده و سپس به مدت ۲ دقیقه با ۱۵۰۰ دور در دقیقه در ۴ درجه سانتی گراد سانتریفیوژ شد. رسوب پروتئینی در هاون چینی خشک و ۰/۰۱۲ گرم از نمونه با ۲۳۰ میکرولیتر بافر لیز محلول گردید. بافر لیز شامل ۷ مولار اوره، ۳-۱۰ pH: CHAPS و ۶۰ میلی مولار DDT و ۱٪ آمفولیت با استفاده شد (Bradford, 1976).

الکتروفورز دو بعدی

برای تهییه ژل بعد اول از اوره، پلی آکریلامید ۳۰ درصد، APS، آمفولین‌های با pH ۱۰-۳ و ۸-۵ NP-40 با مقادیر مشخص استفاده شد. الکتروفورز بعد اول طی سه مرحله با ولتاژهای ۲۰۰ ولت به مدت نیم ساعت، ۴۰۰ ولت به مدت ۱۶ ساعت و ۶۰۰ ولت به مدت یک ساعت

تعداد ۷۰ لکه پروتئینی با بیان متفاوت را از کل ۸۰ پروتئین شناسایی شده نشان داد. تعدادی از این پروتئین‌های بازیابی شده در فرآیندهای متابولیکی و ذخیره/ تقسیط پروتئین‌ها درگیر هستند. تجزیه کلاستر مبتنی بر پروفایل ۷۰ پروتئین با بیان تمایز نشان داد که سه روز غرقاب و حتی در مدت سه روز پس از غرقابی تعییرات معنی داری در بیان پروتئین‌ها دارد. از طرفی، سه روز غرقاب گیاهچه‌های دو روزه سویا منجر به تنظیم پایین دست پروتئین‌های مرتبط با انتقال یون و تنظیم بالادست پروتئین‌های درگیر در سازماندهی مجدد اسکلت سلولی، توسعه سلولی و مرگ برنامه‌بریزی شده سلولی می‌گردد. علاوه بر این، تعداد ۷ لکه پروتئینی درگیر در تعییر دیواره سلولی و سنتز S-آدنوزین متیونین در ریشه گیاهچه‌های سویا بازیابی شده پس از مدت یک روز غرقاب ردیابی شد.

نانجو و همکاران (Nanjo *et al.*, 2013) با استفاده از روش پروتومیک، پروتئین‌های مرتبط با تحمل به تنش غرقابی در گیاهچه‌های سویا را مطالعه کردند. برای این منظور، گیاهچه‌های سویا طی سه روز تحت تیمار غرقابی قرار گرفتند و سپس از گیاهان نمونه برداری و استخراج پروتئین انجام شد. در این مطالعه پروتئین‌ها به گروه‌های درگیر در تعییر دیواره سلولی مانند پروتئین‌های شبه بازدارنده پلی گالاکتوروناز و پروتئین شبه B1 بسط دیواره سلولی طبقه بندی شدند که احتمالاً در سیستم دفاعی گیاه درگیر باشند. همچنین تعییرات پروتئینی در ریشه‌ها نیز مشاهده شد که از جمله آن پروتئین‌های شبه زیر واحد ۲A پروتئین فسفاتاز بودند که احتمالاً در مرگ سلول‌های نوک ریشه درگیر هستند. از طرفی تجزیه و تحلیل پروتئین‌ها نشان داد که فراوانی پروتئین‌های درگیر در سنتز دیواره سلولی از جمله سینامیل الكل دهیدروؤناز در طی سه روز بعد از غرقاب کاهش یافته است.

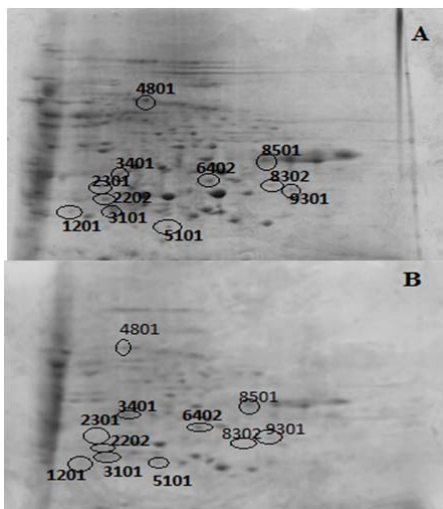
مواد و روش‌ها

نمونه برداری

برای نمونه‌گیری مزارع تحت کشت سویا در استان گلستان مورد بازدید قرار گرفت و از ریشه گیاهان سالم و بوته‌های مبتلا به ناهنجاری غلاف‌بندی سویا سبز رقم کتوول

نتایج و بحث

الکتروفورز دوبعدی با ژل‌های لوله‌ای در بعد اول و رنگ آمیزی به روش آبی کوماسی منجر به ظهرور ۱۲۴ لکه پروتئینی تکرارپذیر شد. تجزیه و تحلیل نتایج نشان داد که از ۱۲۴ این لکه تکرارپذیر، ۳۴ لکه بر اساس شاخص IF دارای تعییرات بیان قابل ملاحظه‌ای می‌باشد که با انجام آزمون ^t ۱۱ لکه پروتئینی معنی دار، کاهش بیان نشان دادند که این کاهش تعییرات بیان در شکل ۱ و اطلاعات لکه‌های پروتئینی مورد شناسایی در جدول ۱ ارائه شده است.



شکل ۱. موقعیت نسبی و برچسب لکه‌های پروتئینی داری تعییرات بیان معنی دار شناسایی شده با استفاده از 2-DE از ریشه سویا در شرایط A: بیمار و B: شاهد

Figure 1. The relative positions and tags of proteins spots with significant expression changes identified using two-dimensional electrophoresis from soybean root under A: infected and B: control

از بین ۱۱ لکه پروتئینی داری تعییرات بیان معنی دار، لکه‌های شماره ۴۸۰۱، ۳۴۰۱ و ۲۳۰۱ در متاپولیسم و تولید انرژی، لکه‌های شماره ۹۳۰۱ و ۶۴۰۲ در تقسیط و ذخیره، سازی پروتئینی، لکه شماره ۲۳۰۱ در انتقال سیگنال، لکه‌ای شماره ۵۱۰۱ در انتقال سیگنال، لکه‌های پروتئینی مهارکننده ROS و سم زدایی طبقه بندی شده و بالاخره لکه شماره ۸۳۰۲ جزء پروتئین‌های ناشناخته محسوب می‌شود.

اجرا گردید. الکتروفورز بعد دوم به روش SDS-PAGE با استفاده از یک ژل دوقسمتی شامل ژل جداکننده (۱۵%) و ژل تعیین مسیر (۵%) انجام شد. قبل از اجرای بعد دوم الکتروفورز، ژل‌های بعد اول طی دو مرحله و هر بار به مدت ۱۵ دقیقه در بافر SDS متعادل ساری شدند و سپس روی ژل آکریل‌آمید بعد دوم قرار گرفتند. به ازای هر ژل، ۲۰۰ میکرولیتر نشانگر آبی بروموفنول به بافر رانش افزوده شد. سپس عملیات رانش با جریان ثابت ۳۵ میلی‌آمپر برای هر ژل و مدت زمان حدود ۳ ساعت تا رسیدن نشانگر آبی به انتهای ژل جداکننده برقرار گردید. پس از اتمام الکتروفورز رنگ آمیزی ژل‌ها توسط محلول رنگ آمیزی آبی کوماسی انجام شد. رنگ بری طی دو مرحله در مرحله اول در طول شب و در مرحله دوم به مدت حداقل نیم ساعت انجام گردید تا لکه‌های پروتئینی آشکار شده و برای تصویربرداری آماده شوند.

شناسایی پروتئین‌ها

تصویربرداری از ژل‌ها توسط دانسیومتر GS800 ساخت شرکت بیوراد و با انتخاب نوع ژل و روش رنگ آمیزی آبی کوماسی و نرم‌افزار Quantity one انجام شد. توسط نرم‌افزار PDQuest کلیه تصاویر ژل‌ها به همراه تکرارهای آنها فراخوانده شدند و لکه‌های مشترک بین تکرارها برچسب زده شد. پس از پایان لکه‌یابی درصد حجمی نقاط برای تکرارهای مختلف به دست آمد و آزمون ^t برای درصد حجمی هر لکه پروتئینی بین تیمارها انجام شد. بدین ترتیب که لکه‌های پروتئینی دارای تعییرات بیان معنی دار مشخص شدند و روند افزایشی و کاهشی بیان آنها در اثر سندروم غلاف‌بندی بر اساس فاکتور القاء (IF¹) مشخص شدند. نقاطی که دارای IF بالاتر از ۲ بودند لکه‌های پروتئینی با افزایش بیان و نقاطی که IF کمتر از ۰/۵ داشتند به عنوان لکه‌های پروتئینی با کاهش بیان معرفی شدند (Hajheidari et al., 2005). شناسایی پروتئین‌های دارای تعییرات بیان به روش انگشتنگاری گرم پیتیدی MALDI-TOF در انستیتو تحقیقات علوم گیاهان زراعی ژاپن صورت گرفت.

1. Induction Factor

جدول ۱. مشخصات لکه‌های پروتئینی دارای تغییرات بیان معنی دار در پاسخ به سندروم غلافبندی سویا در تطبیق با پروتئین‌های NCBI پایگاه داده‌ای

Table 1. The characteristics of proteins spots with significant expression changes in response to pod distortion syndrome matching with NCBI protein databank

شماره لکه	-pI- جرم مولکولی (آزمایشی)	pI- جرم مولکولی (تئوری)	شماره دسترسی	پروتئین همولوگ
۸۵۰۱	43.93–6.91	44.5–6.47	QSF2M9	glutamate dehydrogenase
۸۳۰۲	30.74–6.96	36.1–6.8	IIMQN7	uncharacterized protein
۶۴۰۲	32.53–6.48	29.3–6.7	p10743	steam 31 KDa glycoprotein
۹۳۰۱	29.35–7.11	29.3–6.7	p10743	steam 31 KDa glycoprotein
۳۱۰۱	21.01–5.75	22–6.01	BAA74702	germing- Like protein
۱۲۰۱	22.69–5.42	22–6.01	BAA74702	germing- Like protein
۳۴۰۱	35.28–5.79	35.5–6.4	O48905	malate dehydrogenase
۲۳۰۱	30.21–5.65	29.1–4.75	A0A0B2QJ68	14- 3- 3- Like protein
۴۸۰۱	84.92–6	84.4–5.9	AAQ08403	methionine synthase
۵۱۰۱	18.72–6.17	17.4–6.1	AF442385	thioredoxin
۲۲۰۱	26.27–5.68	22–6.01	BAA74702	germing- Like protein

اسیدهای آمینه نقش دارد و برای رشد و سلامتی گیاه ضروری است (Zhang *et al.* 2011). پاتوژن‌ها معمولاً فرآیندهای فیزیولوژیکی مختلف را تحت تاثیر قرار می‌دهند که مهمترین آنها فرآیند متابولیسم می‌باشد (Zhang *et al.*, 2011). بنابراین کاهش پروتئین متیونین سنتاز در گیاهان مبتلا به ناهنجاری غلاف بندی نشان‌دهنده ایجاد اختلال در متابولیسم این گیاهان می‌باشد. در گیاه گندم کاهش این پروتئین در پاسخ به تنفس غرفابی گزارش شده است (Huang *et al.*, 2006) میزان بیان لکه شماره ۳۴۰۱ که به عنوان آنزیم ملات دهیدروژناز شناسایی شد در گیاهان دارای سندروم غلاف بندی سویا کاهش یافت. این آنزیم یکی از آنزیم‌های چرخه کربس می‌باشد و ملاتات یکی از فراورده‌های گلیکولیز است. در گلیکولیز، آگزوالوستات توسط ملاتات دهیدروژناز به ملاتات احیا می‌شود که در این فرآیند از NADH به عنوان منبع الکترون استفاده می‌شود و به NAD⁺ تبدیل می‌گردد. ملاتات حاصل می‌تواند در واکوئل ذخیره شود و یا وارد چرخه کربس در میتوکندری شود و به وسیله ملاتات دهیدروژناز به آگزوالوستات شود (Wang *et al.*, 2012) که در این واکنش NADH تولید می‌گردد که برای احیای نیترات مورد استفاده قرار می‌گیرد کاهش بیان ملاتات دهیدروژناز حاکی (Scheibe, 2004)

از پروتئین‌های دخیل در متابولیسم و تولید انرژی، لکه شماره ۸۵۰۱ مربوط به آنزیم گلوتامات دهیدروژناز می‌باشد. این آنزیم واکنش تبدیل ۲ اکسوگلوتارات و ال- گلوتامات را کاتالیز می‌کند و به عنوان گیرنده و دهنده نیتروژن ایفا نمی‌کند. این آنزیم نقش مهمی در فرآیندهای سیگنال دهی داشته و عملکردهای فیزیولوژیکی Fontaine *et al.*, 2012 مهمن در متابولیسم کربن و نیتروژن دارد (Dubois *et al.*, 2003). این آنزیم تقریباً در تمام موجودات زنده وجود دارد (Liu *et al.*, 2008; Forde and Lea, 2007). کاهش بیان این آنزیم منجر به کاهش ترکیبات اسمزی در گیاه می‌گردد و از این طریق منجر به حس تنفس می‌گردد (Xu and Zhou, 2006). نقش فیزیولوژیکی اصلی این آنزیم در تامین ۲- اکسوگلوتارات برای چرخه کربس است. بنابراین، کاهش بیان این آنزیم در گیاهان مبتلا به سندروم غلافبندی سویا منجر به کاهش محصول ۲- اکسوگلوتارات برای چرخه کربس و کاهش انرژی خواهد شد (Robinson *et al.* 1992). لکه پروتئینی شماره ۴۸۰۱ که بیان آن در گیاهان مبتلا به سندروم غلاف بندی سویا به طور معنی دار کاهش یافت مربوط به متیونین سنتاز است که در سوخت و ساز

برگ می‌باشد. یافته‌ها نشان می‌دهد (Sözen, 2004) که این پروتئین‌ها نه تنها به عنوان مخزن ذخیره‌سازی وقت کربن و نیتروژن ایفای نقش می‌کنند بلکه نقش مهمی در تقدیه و سازگاری به تنش‌ها در مدت رشد و توسعه گیاه دارند. این پروتئین‌می‌تواند در ترمیم غشاء آسیب‌دیده در اثر تنش‌های مختلف نقش داشته باشد و در نتیجه این گونه از ارقام سویا نمی‌تواند به طور مناسب پاسخ مناسبی در برابر تنش‌های مختلف نشان دهند Afroz *et al.*, 2009). افزوز و همکاران (Aghaei *et al.*, 2010), وجود این نوع گلیکوپروتئین در اندام‌های ریشه، هیپوکوتیل و برگ گیاه‌چمه‌های ۷ روزه سویا را گزارش کردند و بیان کردند که وجود و تجمع این پروتئین‌های ذخیره‌ای، نشان دهنده مصرف این پروتئین‌ها به عنوان منبع غذایی و تولید انرژی برای رشد و نمو است. کاهش بیان گلیکوپروتئین ۳۱ کیلو دالتونی ساقه‌ای در بافت‌های مختلف در اثر تنش سوری (Yin *et al.*, 2014) و تنش غرقاب (Komatsu *et al.*, 2010) توسط (Komatsu *et al.*, 2010) توسط محققین گزارش شده است.

لکه پروتئینی شماره ۲۳۰۱ مربوط به ۳- ۳- ۱۴- ۱۴ Like protein است و در انتقال سیگنال دخیل می‌باشد. این پروتئین در واکنش‌های فیزیولوژیکی و تنظیمی متعدد Hajduch *et al.* (Hajduch *et al.*, 2005) و نقش تنظیمی مهمی در فعالیت H-ATPase (Shanko *et al.*, 2003) به طوری غشاء پلاسمایی دارد (Nouri and Komatsu, 2010). به طوری که این آنزیم در ایجاد شبکه غلاظت پروتئین در سرتاسر غشاء نقش دارد و به این وسیله انرژی مورد نیاز برای انتقال ثانویه، تنظیم توررزانس سلولی و pH درون سلولی را تأمین کند (Santos *et al.*, 2016) در مطالعه نوری و کوماتسو (Nouri and Komatsu, 2010) پروتئین ۳- ۳- ۱۴ Like protein تحت تنش اسمزی ایجاد شده به وسیله پلی اتیلن گلیکول تا ۱۰ درصد کاهش بیان داشته است. در گیاهان تحت تنش سوری گزارش شده است protein در گیاهان آن‌ها در مدت پر شدن دانه تنظیمی مهمی دارد و وجود آن‌ها در پاسخ به حذف اندام‌های ضروری می‌باشد (Hajduch *et al.*, 2005).

از کاهش تبدیل مالات به اگزالواستات و بالعکس است. بنابراین، مقادیر ۲- اگسوگلوتارات در گیاه مبتلا به ناهنجاری غلافبندی سویا کاهش خواهد یافت. مقادیر پایین ۲- اگسوگلوتارات و مالات میزان جریان چرخه کربس را محدود خواهد کرد و در نتیجه، به دلیل عدم دسترسی کافی به اگزالواستات، جریان چرخه کربن کاهش می‌یابد و این موضوع نشان دهنده عملکرد غیر طبیعی این چرخه در رقم سویا کتول است بطوری که در این واکنش NADH تولید می‌گردد و برای احیای نیترات مورد استفاده قرار می‌گیرد (Scheibe, 2004). کاهش بیان مالات دهیدروژناز حاکی از کاهش تبدیل مالات به اگزالواستات و بالعکس است. بنابراین، مقادیر ۲- اکسوگلوتارات در گیاه مبتلا به ناهنجاری غلافبندی سویا کاهش خواهد یافت. مقادیر پایین ۲- اکسوگلوتارات و مالات میزان جریان چرخه کربس را محدود می‌کند و در نتیجه، به دلیل عدم دسترسی کافی به اگزالواستات، جریان چرخه کربن کاهش می‌یابد و این موضوع نشان دهنده عملکرد غیر طبیعی این چرخه در رقم کتول سویا است. بین و همکاران (Yin *et al.*, 2009) تاثیر دامنه‌های حرارتی مختلف (۴، ۱۰ و ۲۲ درجه سانتی‌گراد) را بر رشد سویا را با رهیافت پروتومیک مورد بررسی قرار دادند و گزارش کردند که تحت تاثیر تیمار سرمایی پروتئین‌های درگیر در متابولیت‌های میتوکندریایی از جمله مالات دهیدروژناز کاهش بیان داشتند.

پروتئین‌های دخیل در تقسیط و ذخیره سازی پروتئینی لکه‌های شماره ۹۳۰۱ و ۶۴۰۲ می‌باشند که مربوط به گلیکوپروتئین ۳۱ کیلو دالتونی ساقه‌ای می‌باشد. پروتئین‌های ذخیره‌ای رویشی یا گلیکوپروتئین‌ها که گلیکوپروتئین ۳۱ کیلو دالتونی ساقه‌ای یکی از این پروتئین‌ها است، اولین بار به عنوان پروتئین‌های ذخیره‌ای برگی در گیاهان سویای غلافزدایی شده مشاهده شد و Mason *et al.* (Mason *et al.*, 1988) دارای دو زیر واحد آلفا و بتا می‌باشد. بر اساس الگوی تجمع پروتئین‌های ذخیره‌ای، مکان تجمع این پروتئین‌ها واکوئل سلول‌های غلاف آوندی بوده و تجمع آن‌ها در پاسخ به حذف اندام‌های زایشی ناشی از بلوکه شدن انتقال آن‌ها از طریق آوندهای

مهم برای از بین بردن ROS می‌باشد و در گیاهان سویاً تحت تنفس اسمزی، افزایش بیان این پروتئین با تحمل بالای سویاً به تنفس همراه بود (Toorchi *et al.* 2009). که شماره ۸۳۰۲ متعلق به یک پروتئین ناشناخته بود Methylecgonone reductase که تحت عنوان پروتئین شناسایی شد که تحت شرایط ابتلا به عارضه ناهنجاری غلاف‌بندی سویا در مطالعات فبلی کاهش بیان داشته است (Payghamzadeh *et al.*, 2017).

بطور خلاصه تجزیه و تحلیل پروتئوم روی بافت ریشه سویاً رقم کنول منجر به شناسایی ۱۲۴ لکه پروتئینی تکرارپذیر با تکنولوژی الکتروفوروز دو بعدی و رنگ آمیزی با آبی کوماسی شد. از بین لکه‌های پروتئینی مشاهده شده روی ژلهای پلی آکریل آمید تعداد ۱۱ پروتئین به طور معنی‌داری از نظر آماری تغییر بیان داشتند. این پروتئین‌ها بر اساس عملکرد بیولوژیک، در پنج گروه پروتئین‌های مرتبط با تولید انرژی، پروتئین‌های مرتبط با تقسیط و ذخیره‌سازی، پروتئین‌های مرتبط با انتقال سیگنال، پروتئین‌های مرتبط با مهار ROS و پروتئین ناشناخته طبقه‌بندی شدند. تمامی این پروتئین‌ها در سویاً مبتلا به ناهنجاری غلاف‌بندی کاهش بیان را نشان دادند. به نظر می‌رسد که کاهش بیان پروتئین‌های 14-3-3-like protein و پروتئین شبه جرمین که از تنظیم‌کننده‌های کلیدی به شمار می‌روند در ریشه گیاهان مبتلا نقش اساسی را در ظاهر سندروم غلاف‌بندی سویا دارند.

تعارض منافع

هیچ‌گونه تعارض منافع توسط نویسنده‌گان وجود ندارد.

مرکز تحقیقات کشاورزی و منابع طبیعی گرگان و گنبد، ص ۵۳

Afroz, A., Hashiguchi, A., Khan, M.R., & Komatsu, S. (2010) Analyses of the proteomes of the leaf, hypocotyl, and root of young soybean seedlings. *Protein & Peptide Letters* 17(3): 319-31. doi: 10.2174/092986610790780341.

کاهش بیان این پروتئین به طرز ناشناخته‌ای منجر به عدم توسعه دانه در گیاهان مبتلا به ناهنجاری غلاف‌بندی سویاً گردد. به طور کلی در این مطالعه، تغییر بیان ۳- ۱۴ Like protein فعالیت ATPase غشاء پلاسمایی، محرک‌های سیگنال‌دهی، رشد سلول و غیره را تحت تاثیر قرار دهد و از این طریق منجر به ایجاد عارضه ناهنجاری غلاف‌بندی سویا گردد.

لکه‌های پروتئینی شماره ۳۱۰۱، ۳۲۰۲ و ۱۲۰۱ مربوط به پروتئین مشابه جرمین می‌باشند که جزو پروتئین‌های مهارکننده ROS و سم زدایی طبقه‌بندی می‌شوند. این پروتئین در طی جوانه‌زنی دانه در گیاه‌چههای جوان گندم و همچنین در برگ‌های بالغ در واکنش به حمله پاتوژن بیان می‌شوند. پروتئین‌های شبه جرمین به عنوان پروتئین‌های مرتبط با دیواره سلولی توصیف شده‌اند. برخی از اعضای خانواده شبه جرمین فعالیت شبیه اکسالات اکسیداز و سوپراکسید دیسموتاز نشان می‌دهند فعالیت سوپراکسید دیسموتازی حاکی از نقش این پروتئین‌ها در استحکام دیواره سلولی و مقاومت در برابر حمله پاتوژن‌ها و تنفس‌های غیر زیستی است (Lane, 1994). لکه شماره ۵۱۰۱ احتمالاً مربوط به پروتئین Thioredoxin می‌باشد. Thioredoxin آنزیم آنتی اکسیدان می‌باشد که در بهبود فرآیندهای سلولی نقش دارد و در گیاهان حائز اهمیت می‌باشد. در فرآیندهای متعدد از جمله متابولیسم چربی، حمل و نقل غشاء، متابولیسم هورمون‌ها و سنتز ATP نقش دارد (Collet and Messens, 2010).

منابع

- احمدی، م. (۱۳۷۸). کیفیت و کاربرد دانه‌های روغنی، ناگاراج اس. (مؤلف). چاپ اول. انتشارات نشر آموزش کشاورزی، ۱۱۳ ص.
- چراغعلی، ع. (۱۳۶۷). نتایج بررسی‌های طرح علل پیدایش اختلال در غلاف‌بندی سویا- منطقه گرگان و گبد،

- Aghaei, K., Ehsanpour, A.A., Shah, A.H., & Komatsu, S. (2009). Proteome analysis of soybean hypocotyl and root under salt stress. *Amino Acids*, 36(1), 91-8. doi: 10.1007/s00726-008-00367.
- Alam, I., Sharmin, S.A., Kim, K.H. et al. (2010). Proteome analysis of soybean roots subjected to short-term drought stress. *Plant and Soil*, 333, 491-505. <https://doi.org/10.1007/s11104-010-0365-7>.
- Alexandratos, N., & Bruinsma, J. (2012). World agriculture towards 2030/2050, the 2012 revision. ESA Working paper No. 12-03. Rome, FAO.
- Bradford, M. M. (1976). A rapid and sensitive method for the quantitation of microgram quantities of protein utilizing the principle of protein-dye binding. *Analytical Biochemistry* 72, 248-54. doi: 10.1006/abio.1976.9999.
- Collet, J.F., & Messens, J. (2010). Structure, function, and mechanism of thioredoxin proteins. *Antioxid Redox Signaling*, 13(8), 1205-16. doi:10.1089/ars.2010.3114.
- Dubois, F., Tercé-Laforgue, T., Gonzalez-Moro, M-B., Estavillo, J-M., Sangwan, R., André Gallais, A., Bertrand Hirel, B., et al. (2003). Glutamate dehydrogenase in plants, is there a new story for an old enzyme? *Plant Physiology and Biochemistry*, 41(6), 565-576.
- Fontaine, J.X., Tercé-Laforgue, T., Armengaud, P., Clément, G., Renou, J.P., Pelletier, S., Catterou, M., Azzopardi, M., Gibon, Y., Lea, P.J., Hirel, B., & Dubois, F. (2012). Characterization of a NADH-dependent glutamate dehydrogenase mutant of *Arabidopsis* demonstrates the key role of this enzyme in root carbon and nitrogen metabolism. *Plant Cell*, 24(10), 4044-65.
- Forde, B.G., & Lea, P.J. (2007). Glutamate in plants, metabolism, regulation, and signalling. *Journal of Experimental Botany*, 58(9), 2339-58. doi: 10.1093/jxb/erm121. Epub 2007 Jun 19.
- Ghayeb Zamharir, M., Shameli, S., & Bertaccini, A. (2022b). Molecular evidence of seed transmission of soybean bud proliferation and seed pods abortion phytoplasma disease. *Indian Phytopathology*, 75, 889-893. doi: 10.1007/s42360-022-00518-4.
- Giesler, L.J., Ghabrial, S.A., Hunt, T.E., & Hill, J.H. (2002). Bean pod mottle virus, A Threat to U.S. Soybean Production. *Plant Disease*, 86(12), 1280-1289. doi: 10.1094/PDIS.2002.86.12.1280.
- Gucciardo, S., Wisniewski, J., Brewin, N., & Bornemann, S. (2007). A germin-like protein with superoxide dismutase activity in pea nodules with high protein sequence identity to a putative rhicadhesin receptor. *Journal of Experimental Botany*, 58, 1161-1171. doi: 10.1093/jxb/erl282.
- Hajduch, M., Ganapathy, A., Stein, J.W., & Thelen, J.J. (2005). A systematic proteomic study of seed filling in soybean. Establishment of high-resolution two-dimensional reference maps, expression profiles, and an interactive proteome database. *Plant Physiology*, 137(4), 1397-419. doi: 10.1104/pp.104.056614.
- Hajheidari, M., Eivazi, A., Buchanan, B. B., Wong, J. H., Majidi, I., & Salekdeh, G. H. (2007). Proteomics uncovers a role for redox in drought tolerance in wheat. *Journal of Proteome Research*. 6(4), 1451-60. doi: 10.1021/pr060570j.
- Hill, C.B., Bowen, C.R., & Hartman, G.L. (2013). Effect of fungicide application and cultivar on soybean green stem disorder. *Plant Disease*, 97(9), 1212-1220. doi.org/10.1094/PDIS-12-12-1191-RE.
- Holshouser, D. (2009). Green stem syndrome in soybean. Agricultural and Food Sciences. Available at, <https://pubs.ext.vt.edu/2912/2912-1430/2912-1430.html>
- Huang B., Chu C. H., Chen S. H., Juan H. F., & Chen Y. M. (2006). A proteomics study of the mung bean glycerald regulated by brassinosteroids under conditions of chilling stress. *Cellular and Molecular Biology Letters*, 11(2), 264-78. doi: 10.2478/s11658-006-0021-7.
- Jadhav, P. V., Mane, S.S., Nandanwar, R.S., Kale, P.B., Dudhare, M.S., Moharil, M.P., & Dani, R.G. (2013). Floral bud distortion in soybean and incidence in central India. *Egyptian Journal of Biology*, 15, 59-65. doi.org/10.4314/ejb.v15i1.9
- Keep, N.R., Schapaugh, W.T., Prasad, P.V.V., & Boyer, J.E. (2016). Changes in physiological traits in soybean with breeding advancements. *Crop Science*, 56, 122-131. doi.org/10.2135/cropsci2013.07.0499.
- Komatsu, S., Han, C., Nanjo, Y., Altaf-Un-Nahar, M., Wang, K., He, D., & Yang, P. (2013). Label-free quantitative proteomic analysis of abscisic acid effect in early-stage soybean under flooding. *Journal of Proteome Research*, 12(11), 4769-84. doi: 10.1021/pr4001898.
- Komatsu, S., Kobayashi, Y., Nishizawa, K., Nanjo, Y., & Furukawa, K. (2010). Comparative proteomics analysis of differentially expressed proteins in soybean cell wall during flooding stress. *Amino Acids*, 39(5), 1435-49. doi: 10.1007/s00726-010-0608-1
- Komatsu, S., Toorchi, M. and Yukava, K. 2007. Soybean proteomics. *Current Proteomics* 4, 182-186.

- Lane, B.G. (1994). Oxalate, germin, and the extracellular matrix of higher plants. *FASEB Journal*, 8(3), 294-301. doi: 10.1096/fasebj.8.3.8143935.
- Leonard, B. R., Boquet, D., Padgett, B., Davis, J. A., Schneider, R., Griffin, J. L., Valverde, A., & Levy, R. J. J. (2011). Soybean green plant malady contributing factors and mitigation. *Louisiana Agriculture*, 54,32-24.
- Liu, J. Wu, Y., Yang, J., Liu, Y., & Shen, Fa. (2008). Protein degradation and nitrogen remobilization during leaf senescence. *Journal of Plant Biology*, 51, 11-19. doi: 10.1007/BF03030735.
- Martínez-Zaguilán, R., & Sennoune, S. R., (2016). Vacuolar H⁺-ATPase Signaling in Cancer. In Regulation of Ca²⁺-ATPases, V-ATPases and F-ATPase. Springer, pp.371-392.
- Mason, H.S., Guerrero, F.D., Boyer, J.S., & Mullet, J.E. (1988). Proteins homologous to leaf glycoproteins are abundant in stems of dark-grown soybean seedlings. Analysis of proteins and cDNAs. *Plant Molecular Biology*, 11(6),845-56. doi: 10.1007/BF00019524.
- Maurício, C.M., Favoreto, L., Klepker, D., Francismar, C., & Marcelino, G. (2017). Soybean green stem and foliar retention syndrome caused by *Aphelenchoides besseyi*. *Tropical plant pathology*, 42, 403-409. doi:10.1007/s40858-017-0167-z.
- Messina, M. (2010). Insights gained from 20 years of soy research. *Journal of Nutrition*, 40(12), 2289S-2295S. doi: 10.3945/jn.110.124107.
- Mohammadi, P.P., Moieni, A., Hiraga, S., & Komatsu, S. (2012). Organ-specific proteomic analysis of drought-stressed soybean seedlings. *Journal of Proteomics*, 75(6), 1906-23. doi: 10.1016/j.jprot.2011.12.041.
- Morrison, J., & Bartlet, R.V. (2009). Green stem still a mystery. Education week. Edweek/go/commentary.
- Nouri, M.-Z., & Komatsu, S. (2010). Comparative analysis of soybean plasma membrane proteins under osmotic stress using gel-based and LC MS/MS-based proteomics approaches. *Proteomics* 10(10), 1930-1945. doi: 10.1002/pmic.200900632.
- Payghamzadeh, K., Toorchi, M. and Shobbar, Z.S. (2017). Proteome alteration of soybean as a function of pod distortion syndrome. *Legume Research* 40, 1-10. doi: 10.18805/lr.v0i0.7836.
- Radwan, O., Wu, X., Govindarajulu, M., Libault, M., Neece, D.J., Oh, M.H., Berg, R.H., Stacey, G., Taylor, C.G., Huber, S.C., & Clough, S.J. (2012). 14-3-3 proteins SGF14c and SGF14l play critical roles during soybean nodulation. *Plant Physiology*, 160(4), 2125-36. doi: 10.1104/pp.112.207027.
- Richard, M., Shibles, J.E., Harper, R.F., & Wilson, R.C. (2004). Soybeans, Improvement, Production, and Uses. Crop Science Society of America, Inc. Agronomy Monographs. doi:10.2134/agronmonogr16.3ed.
- Robinson, S. A., Stewart, G. R., & Phillips, R. (1992). Regulation of glutamate dehydrogenase activity in relation to carbon limitation and protein catabolism in carrot cell suspension cultures. *Plant Physiology*, 98(3), 1190-1195. doi.org/10.1104/pp.98.3.1190.
- Salavati, A., Khatoona, A., Nanjoa, Y., & Komatsua, S. (2012). Analysis of proteomic changes in roots of soybean seedlings during recovery after flooding. *Journal of Proteomics*, 75, 878-893.
- Santos, J.M., Martínez-Zaguilán, R., Facanha, A.R., Hussain, F., & Sennoune, S.R. (2016). Vacuolar H⁺-ATPase in the nuclear membranes regulates nucleo-cytosolic proton gradients. *American Journal of Physiology-Cell Physiology*, 311,C547-C558. doi:10.1152/ajpcell.00019.
- Scheibe, R. (2004). Malate valves to balance cellular energy supply. *Physiologia Plantarum*, 120(1), 21-26. doi: 10.1111/j.0031-9317.2004.0222.x.
- Seki, M., Kamei, A., Yamaguchi-Shinozaki, K., & Shinozaki, K. (2003). Molecular responses to drought, salinity and frost, common and different paths for plant protection. *Current Opinion in Biotechnology*, 14(2), 194-9. doi: 10.1016/s0958-1669(03)00030-2.
- Shanko, A.V., Mesenko, M.M., Klychnikov, O.I., Nosov, A.V., & Ivanov, V.B. (2003). Proton pumping in growing part of maize root, its correlation with 14-3-3 protein content and changes in response to osmotic stress. *Biochemistry* 68(12), 1320-6. doi: 10.1023/b.biry.0000011653.46422.c3.
- Sözen, E. (2004). Vegetative Storage Proteins in Plants. *Anadolu University Journal of Science and Technology*, 5(1), 1-7.
- Toorchi, M., Yukawa, K., Nouri, M-Z., & Komatsu, S. (2009). Proteomics approach for identifying osmotic-stress-related proteins in soybean roots. *Peptides*, 30(12),2108-17. doi: 10.1016/j.peptides.2009.09.006.
- Wang, L., Ma, H., Song, L., Shu, Y., Gu, W. (2012). Comparative proteomics analysis reveals the mechanism of pre-harvest seed deterioration of soybean under high temperature and humidity stress. *Journal of Proteomics*, 75(7), 2109-27. doi: 10.1016/j.jprot.2012.01.007.

- Xing, T., Ouellet, T., & Miki, B.L. (2002). Towards genomic and proteomic studies of protein phosphorylation in plant-pathogen interactions. *Trends in Plant Science*, 7(5), 224-30. doi: 10.1016/s1360-1385(02)02255-0.
- Xu, Z.Z., & Zhou, G.S. (2006). Combined effects of water stress and high temperature on photosynthesis, nitrogen metabolism and lipid peroxidation of a perennial grass *Leymus chinensis*. *Planta*, 224(5), 1080-90. doi: 10.1007/s00425-006-0281-5.
- Yin, G., Sun, H., Xin, X., Qin, G., Liang, Z., & Jing, X. (2009). Mitochondrial damage in the soybean seed axis during imbibition at chilling temperatures. *Plant Cell Physiology*, 50(7), 1305-18. doi: 10.1093/pcp/pcp074.
- Yin, Y., Yang, R., & Gu, Z. (2014). Organ-specific proteomic analysis of NaCl-stressed germinating soybeans. *J Agric Food Chem*. Jul 23; 62(29), 7233-44. doi: 10.1021/jf500851r.
- Zanzarin, D.M., Hernandes, C.P., Leme, L.M., Silva, E., Porto, C., Martin do Prado, R., Meyer, M.C., Favoreto, L., Nunes, E.de, O., & Pilau, E.J. (2020). Metabolomics of soybean green stem and foliar retention (GSFR) disease using mass spectrometry and molecular networking. *Rapid Communications in Mass Spectrometry*, 34(S3), 1-8.
- Zhang, Y., Zhao, J., Xiang, Y. et al. (2011). Proteomics study of changes in soybean lines resistant and sensitive to *Phytophthora sojae*. *Proteome Science* 9, 52. doi.org/10.1186/1477-5956-9-52.
- Zörb, C., Schmitt, S., & Mühling, K. H. (2010). Proteomic changes in maize roots after short-term adjustment to saline growth conditions. *Proteomics*, 10(24), 4441-4449. doi: 10.1002/pmic.201000231.

Optimization of androgenesis in cucumber through anther culture by applying electric shock, centrifugation, and magnetic field treatments on anthers and induced calluses

Zahra Shafee¹, Mohammad Reza Abdollahi², Sayyed Saeed Moosavi³, Hassan Sarikhani⁴

1. M.Sc. in Plant Breeding, Department of Plant Production and Genetics, Faculty of Agriculture, Bu-Ali Sina University, Hamedan, Iran.
2. Professor, Department of Plant Production and Genetics, Faculty of Agriculture, Bu-Ali Sina University, Hamedan, Iran.
3. Associate Professor, Department of Plant Production and Genetics, Faculty of Agriculture, Bu-Ali Sina University, Hamedan, Iran.
4. Professor, Department of Horticulture Science, Faculty of Agriculture, Bu-Ali Sina University, Hamedan, Iran.

ABSTRACT

The induction of androgenesis in cucumber plays a significant role in accelerating breeding programs and improving desirable traits by producing doubled haploid plants. In the present study, the effects of different genotypes, different heat pretreatments, different levels of electric shock, different centrifugation speeds and different magnetic treatments on the androgenesis induction in cucumber anther cultures were investigated in 5 separate experiments based on completely randomized design with three replications. The results showed that the highest percentage of androgenesis induction and embryogenesis was related to the beta-alpha genotype. The effect of applying heat pretreatment in liquid culture medium on embryogenesis and plant regeneration was significant, so that the control treatment in liquid culture medium with an average of 4.36 plants per anther and then the 30°C treatment in liquid culture medium with an average of 1.4 plants per anther were the best treatments. The liquid medium was also very effective for embryogenesis, and a large number of plants were regenerated in this method. 100 V electric shock treatment showed the highest percentage of callus formation with 90% and the highest average number of embryos per anther with 0.16 embryos. Centrifuge treatment (150 g) produced the highest percentage of callus formation (73.33%) and the highest average number of embryos per anther (0.2). Magnetic water passage treatment with an average of 0.2 embryo per anther was more suitable than other magnetic treatments. The results of this research can be used in the production of pure cucumber lines in order to produce hybrid seeds.

Correspondence:
Mohammad Reza Abdollahi
Email: m.abdollahi@basu.ac.ir

Received: 15, Oct. 2024
Accepted: 5, Apr. 2025

How to cite:

Shafee, Z., Abdollahi, M. R., Moosavi, S.S., & Sarikhani, H. (2025). Optimization of androgenesis in cucumber through anther culture by applying electric shock, centrifugation, and magnetic field treatments on anthers and induced calluses. *Crop Biotechnology*, 14 (3), 13-30.
(DOI: [10.30473/cb.2025.72510.1984](https://doi.org/10.30473/cb.2025.72510.1984))

KEY WORDS

androgenesis, heat treatment, cucumber, centrifuge, electric shock



© 2025, by the author(s). Published by Payame Noor University, Tehran, Iran.

This is an open access article under the CC BY 4.0 license (<http://creativecommons.org/licenses/by/4.0/>).
<https://cropbiotech.journals.pnu.ac.ir/>

زیست‌فناوری گیاهان زراعی

سال چهاردهم، شماره سوم، پیاپی ۴۹، بهار ۱۴۰۴ (۱۳-۳۰)

DOI: [10.30473/cb.2025.72510.1984](https://doi.org/10.30473/cb.2025.72510.1984)

«مقاله پژوهشی»

بهینه‌سازی آندروئندر در خیار از طریق کشت بساک با اعمال تیمارهای شوک الکتریکی، دور ساتریفیوژ و میدان مغناطیسی روی بساک‌ها و کالوس‌های حاصل

زهرا شفایی^۱، محمدرضا عبدالله^۲ , سید سعید موسوی^۳، حسن ساریخانی^۴

چکیده

القای آندروئندر گیاه خیار به منظور تولید گیاهان هاپلوفید مضاعف، نقش مهمی در تسريع برنامه های بهنژادی و بهبود صفات مطلوب دارد. در پژوهش حاضر اثر ژنتیپهای مختلف، پیشتیمارهای گرمایی مختلف، سطوح مختلف شوک الکتریکی، دورهای مختلف ساتریفیوژ و تیمارهای مختلف مغناطیسی به صورت ۵ آزمایش مجزا در قالب طرح کاملاً تصادفی با سه تکرار، بر القاء آندروئندر در کشت بساک خیار بررسی گردیدند. نتایج نشان داد که بیشترین درصد القای آندروئندر و رویان‌زایی مربوط به ژنتیپ بتا آلفا می‌باشد. اثر اعمال پیشتیمار گرمایی در محیط کشت مایع بر رویان‌زایی و بازیابی گیاه معنی دار گردید به طوری که تیمار شاهد در محیط کشت مایع با میانگین ۴/۳۶ گیاه به ازای هر بساک و پس از آن تیمار ۳۰ درجه سانتی گراد در محیط کشت مایع با میانگین ۱/۴ گیاه به ازای هر بساک مطلوب‌ترین تیمارها بودند. محیط کشت مایع برای رویان‌زایی نیز بسیار موثر بود و در نتیجه تعداد زیادی گیاه از این طریق بازیابی شد. تیمار ۱۰۰ ولت شوک الکتریکی بیشترین درصد کالوس‌زایی را با میزان ۹۰ درصد و بالاترین میانگین رویان به ازای هر بساک را با میزان ۱۶/۰ رویان نشان داد. دور ۱۵۰g ساتریفیوژ بیشترین درصد کالوس‌زایی (۷۳/۳۳ درصد) و بالاترین میانگین تعداد رویان به ازای هر بساک (۰/۰۲) را ایجاد کرد. تیمار عبور از آب مغناطیسی با میانگین ۰/۰ رویان‌زایی در هر بساک نسبت به سایر تیمارهای مغناطیسی مناسب‌تر بود. نتایج این تحقیق می‌تواند در تولید لاینهای خالص خیار به منظور تولید بذر هیرید مورد استفاده قرار گیرد.

واژه‌های کلیدی

آندروئندر، تیمار حرارتی، خیار، ساتریفیوژ، شوک الکتریکی.

- دانش‌آموخته کارشناسی ارشد اصلاح نباتات، گروه مهندسی تولید و ژنتیک گیاهی، دانشکده کشاورزی، دانشگاه پولی‌سینا، همدان، ایران.
- استاد، گروه مهندسی تولید و ژنتیک گیاهی، دانشکده کشاورزی، دانشگاه پولی‌سینا، همدان، ایران.
- دانشیار، گروه مهندسی تولید و ژنتیک گیاهی، دانشکده کشاورزی، دانشگاه پولی‌سینا، همدان، ایران.
- استاد، گروه علوم باگیانی، دانشکده کشاورزی، دانشگاه پولی‌سینا، همدان، ایران.

نویسنده مسئول:

محمدرضا عبدالله

رایانه‌ام: m.abdollahi@basu.ac.ir

تاریخ دریافت: ۱۴۰۳/۰۷/۲۴

تاریخ پذیرش: ۱۴۰۴/۰۱/۱۶

استناد به این مقاله:

- شفایی، زهرا؛ عبدالله، محمدرضا؛ موسوی، سیدسعید و ساریخانی، حسن (۱۴۰۴). بهینه‌سازی آندروئندر در خیار از طریق کشت بساک با اعمال تیمارهای شوک الکتریکی، دور ساتریفیوژ و میدان مغناطیسی روی بساک‌ها و کالوس‌های حاصل، فصلنامه علمی زیست‌فناوری گیاهان زراعی، ۱۴ (۳)، ۱۳-۳۰.
(DOI: [10.30473/cb.2025.72510.1984](https://doi.org/10.30473/cb.2025.72510.1984))

حق انتشار این مستند، متعلق به نویسنده‌ان آن است ۱۴۰۴ ©. ناشر این مقاله، دانشگاه پیام نور است.



این مقاله تحت مجوز Creative Commons Attribution (CC BY 4.0) منتشر شده و استفاده از آن با ارجاع صحیح مجاز است.

موثرتر و عمومی تر است. میکروسپورها قادر هستند که در شرایط مناسب درون شیشه‌ای از مسیر گامتوفیتیک به سمت مسیر اسپورووفیتیک تغییر مسیر داده و رویان یا کالوس تولید کنند که به این پدیده آندروژنر می‌گویند (چوپو و کابوج، ۱۹۹۸). در حقیقت به فرآیند القا و بازیابی گیاه هاپلوبید با استفاده از سلول‌های گامتی نر، آندروژنر گفته می‌شود. با توجه به اهمیت بسیار زیاد گیاهان هاپلوبید مضاعف و استفاده از آن‌ها در برنامه‌های اصلاحی، انجام مجموعه‌ای از تحقیقات در راستای دستیابی به گیاه هاپلوبید در گیاه خیار ضروری است. یکی از مشکلات موجود در این مسیر، تعداد رویان و گیاهان بازیابی شده ناکافی است که ضروری است تحقیقاتی در زمینه بهینه سازی آن‌ها انجام شود لذا پژوهش حاضر در زمینه بهینه سازی کشت بساک گیاه خیار با اعمال تیمارهای فیزیکی انجام می‌شود.

پیشنهاد پژوهش

در القای هاپلوبیدی، شاید کلیدی‌ترین عامل موثر بر آندروژنر، استفاده از مرحله مناسب رشد و نموی میکروسپور است. بسیاری از محصولات ژنی ویژه مرحله اسپورووفیتی، قبل از میوز از سیتوپلاسم حذف می‌شوند و این موضوع باعث می‌شود که سلول در مرحله تک هسته‌ای، از لحاظ تمایز آزادانه عمل کند. در حالی که ژن‌های ویژه مرحله گامتوفیتی، معمولاً بعد از میتوز دانه گرده رونویسی می‌شوند. بعد از تقسیم میتوز، سیتوپلاسم دارای اطلاعات گامتوفیتی شده، تا در نهایت گامتوفیت نر تشکیل شود. بر اساس مطالعات انجام شده، این مرحله طی ۲۴ ساعت بعد از میتوز دانه گرده اتفاق می‌افتد. وجود برخی از عوامل از جمله بعضی از تنش‌ها در این مراحل می‌تواند برنامه گامتوفیتی را متوقف کرده و سبب تظاهر ژن‌های ویژه اسپورووفیتی شوند که نتیجه آن تغییر مسیر سلول از گامتوفیتی به اسپورووفیتی است (بوجوانی و همکاران، ۲۰۰۳). به طور کلی، برای تغییر مسیر سلول از گامتوفیتی به اسپورووفیتیک به یک محرک موثر خارجی ضروری نیاز است. از جمله این محرک‌ها می‌توان به پیش تیمارهای مختلف مانند شوک گرمایی یا سرمایی،

مقدمه

خیار با نام علمی (*Cucumis sativus* L.) گیاهی دیپلوئید ($2x=2n=14$)، یکساله، دولپه و از خانواده کدوئیان است. این گیاه، علفی و دارای ساقه خزنده و پوشیده از خارهای نازک و خشن است. خیار گیاهی دگرگشتن و گلهای آن دارای کاسبرگ و گلبرگ می‌باشد و با توجه به نوع ژنتیک از نظر جنسیت به صورت تک جنسه، دو جنسه، تکپایه و دوپایه متفاوتند. جنس *Cucumis* حدود ۳۰ گونه دارد که خیار مهمترین گونه می‌باشد (حسن دخت، ۲۰۰۶). خیار با توجه به دارا بودن خواص دارویی از قبیل تنظیم قند خون، رفع اختلالات رماتیسمی، بهبوددهندهی عملکرد دستگاه گوارش...، در میان سبزی‌ها و میوه‌ها از جایگاه ویژه‌ای برخوردار است (تونسر و بازتوک، ۱۹۹۱). یکی از مهم‌ترین اهداف برنامه اصلاحی خیار، تولید بذر هیبرید در این گیاه است. برای تسريع تولید بذر هیبرید لازم است از روش هاپلوبیدی استفاده شود تا علاوه بر صرفه جویی در وقت و هزینه تولید لاین خالص، باعث خودکفایی کشور و نیز عدم وابستگی به کشورهای خارجی گردد (سیدهو و همکاران، ۲۰۰۵). هر چند هزینه تولید بذر هیبرید نسبت به بذر غیر هیبرید بیشتر است ولی بذر هیبرید به خاطر قدرت رویشی بیشتر، یکنواختی بالاتر، مقاومت در برابر برخی آفات و بیماری‌ها و نیز داشتن صفات مطلوب از اهمیت و کیفیت بیشتری برخوردار هستند. بذر هیبرید از تلاقی دو لاین خالص به دست می‌آیند و این گیاهان هیبرید به منظور استفاده از هتروزیس یا قدرت دو رگه تولید می‌شوند (پرسات و همکاران، ۱۹۹۸). دستیابی به لاین خالص یکی از اساسی‌ترین مراحل در تولید بذر هیبرید است. جهت تولید لاین خالص، می‌توان از روش کشت بساک و کشت میکروسپور استفاده کرد. در روش‌های کلاسیک اصلاح نباتات، دستیابی به لاین خالص از طریق خویش آمیزی و تلاقی‌های برشتشی متعدد در حدود شش تا هشت نسل امکان‌پذیر است در حالیکه با استفاده از هاپلوبیدی می‌توان این مدت را به شش ماه تا حداقل یک سال کاهش داد. چندین روش جهت دستیابی به گیاهان هاپلوبید وجود دارد، ولی استفاده از آندروژنر نسبت به سایر روش‌ها

نشان داد که اختلاف آماری معنی‌داری بین غلظت‌های مختلف آگار و نیز عناصر پرمصرف از نظر میزان کالوس زایی و رویان‌زایی گامتی در کشت بساک ۴ رقم خیار وجود دارد. دو برابر کردن عناصر پرمصرف در محیط کشت باعث افزایش ۱۰۰ درصدی کالوس‌های رویان‌زا در رقم اصفهانی شد. در حالی که سایر ارقام در مقدار یک برابر، بیشترین درصد کالوس‌های رویان‌زا را نشان دادند. بیش‌ترین درصد کالوس‌های رویان‌زا در محیط حاوی آگار ۷ میلی گرم بر لیتر به دست آمد. اشوک کومار و مورذی (۲۰۰۴) اثر قندهای (ساکارز، مالتوز، گلوکز و فروکتوز با غلظت‌های ۰/۰۵، ۰/۱، ۰/۰۵، ۰/۱۵، ۰/۲۵، ۰/۳۵، ۰/۴۵، ۰/۴۵ و ۰/۵ مولار به طور جداگانه) و اسید آمینه‌های (گلوتامین، گلایسین، آرژنین، اسپاراژین و سیستئین با غلظت‌های ۰/۵، ۱، ۲ و ۵ میلی مولار به طور جداگانه و نیز با ترکیب هورمونی ۱ میکرومولار BAP و ۲ میکرومولار D-۴ بررسی کردند و ارزیابی‌ها نشان داد که بهترین قند از ۲،۴ بین قندهای مطالعه شده ساکارز با غلظت ۰/۲۵ مولار و نیز ترکیبی از همه اسیدهای آمینه مورد استفاده با غلظت ۱ میلی مولار از هر کدام برای القای رویان بهترین پاسخ را ایجاد می‌کنند. در فرآیند القای هاپلوبیدی، عوامل مختلفی از جمله شرایط فیزیولوژیک گیاه دهنده و ژنوتیپ متفاوت از جمله مناسب میکروسپور، اعمال پیش تیمارهای مختلف، ترکیبات موجود در محیط کشت و عوامل فیزیکی در طول مدت کشت بافت (دما و نور) بسیار تاثیرگذار است (فری و کاسول، ۲۰۱۱).

روش شناسی پژوهش

مواد گیاهی

ارقام مورد استفاده در این پژوهش شامل چهار رقم بذور هیبرید (F1) خیار به نام‌های بتا‌alfa، ارشیا، سوپرهیل و ماجد می‌باشند که در گلستان هایی با قطر ۱۵*۱۵ سانتی‌متر حاوی خاک مناسب (۱ قسمت خاک زراعی، ۱ قسمت ماسه و ۱ قسمت کود دامی پوسیده) کشت شدند و در اتاق رشدی با شدت نور حدود ۱۰۰۰۰ لوکس (تأمین شده توسط پرژکتورهای مخصوص رشد گیاه) با شرایط دمایی روز ۲۲ و شب ۱۶ درجه سلسیوس و دوره نوری

اشعه گاما، سانتریفیوژ، گرسنگی ساکارز و نیتروژن، تنش آب یا pH بالای محیط کشت اشاره کرد. در این بین، تیمار دمایی در اکثر گیاهان عالی، بیش ترین تاثیر را در القاء رویان‌زایی داشته است (میشرا و گوسوامی، ۲۰۱۴). سیستم‌های تولید گیاهان هاپلوبید معمولاً در کشت بساک و گرده به وسیله عوامل ژنتیکی کنترل می‌شوند، تحت تاثیر ژنوتیپ والدین قرار دارد و بنابراین این موضوع اغلب سبب محدودیت سیستم شده و تعداد کمی از ژنوتیپ‌ها را می‌توان از این طریق اصلاح نمود (برقت و جونز، ۲۰۱۲). در این خصوص عبداللهی و همکاران (۱۴۰۳)، در آزمایشی ۷ ژنوتیپ مختلف خیار از کشورهای مختلف را از نظر پاسخ به آندروژن در کشت بساک با هم مقایسه کردند و گزارش نمودند که تفاوت‌های معنی‌داری از نظر پاسخ به آندروژن و بیان ژنهای مخصوص رویان‌زایی بین این ژنوتیپها وجود داشت. در تحقیق دیگری، اسدی و همکاران (۲۰۱۸)، پروتکل‌های مختلف کشت بساک در خیار را در دو ژنوتیپ خیار اصفهانی و بتا آلفا مورد بررسی قرار دادند و گزارش کردند که اندام زایی فقط برای ژنوتیپ بتا آلفا، با ترکیبی از قرار دادن کالوسهای حاصل از کشت بساک در محیط مایع و تاریکی، و سپس انتقال آنها به محیط جامد و نور القاء گردید. در تحقیق دیگری اثر پیش تیمار دمایی (۴ درجه سانتی گراد برای ۰-۱۰ روز و ۳۰ درجه سانتی گراد برای ۱ روز) و هورمون ها (IAA، ۲۰ TDZ، ۰ NAA، ۰ DIBA، ۰ BAP) با غلظت‌های ۰/۵، ۰/۱، ۰/۲ و ۰/۵ میکرومولار و ترکیب ۲ میکرومولار-D-۴ با ۰/۵ BAP/KN/TDZ و ۰/۵ BAP/KN در محیط کشت B5 بر رویان‌زایی و بازیابی کشت بساک دو رقم خیار مورد بررسی قرار گرفت و ترکیب ۲ میکرومولار-D-۴ و ۱ میکرومولار BAP به عنوان بهترین ترکیب هورمونی و پیش تیمار ۴ درجه سانتی گراد به مدت ۲ روز بهترین پیش تیمار معرفی گردید (کومار و همکاران، ۲۰۰۳). در پژوهشی عبداللهی و همکاران (۲۰۱۶) غلظت‌های مختلف آگار (صفر، ۳، ۵، ۷ و ۱۴ گرم در لیتر) و عناصر پرمصرف (۰/۵، ۱، ۱/۵ و ۲ برابر) را بر کشت بساک و القای کالوس و رویان گامتی ۴ رقم خیار (بتا‌alfa، باسمنج، اصفهانی و کرکی) مورد بررسی قرار دادند. نتایج

غنچه های مناسب برداشت شده ابتدا به مدت ۵ دقیقه توسط آب شهری (غیر استریل) شسته و پس از آن یکبار با آب مقطر شستشو داده شدند، سپس غنچه ها درون یک ظرف قرار گرفتند و این ظرف به مدت دو روز در دمای ۴ درجه سانتی گراد به منظور اعمال پیش تیمار سرمایی در یخچال نگهداری شد. پس از گذشت دو روز جهت انجام مراحل استریل، غنچه ها زیر هودلامینار قرار داده شدند و به مدت ۱ دقیقه داخل ظرف حاوی اتانول ۷۰ درصد، یک دقیقه در آب مقطر استریل، ۱۰ دقیقه درون ظرف حاوی هیپوکلریت سدیم ۵ درصد و پس از آن غنچه ها سه مرتبه و هر بار به مدت ۵ دقیقه با آب مقطر استریل شستشو داده شدند. بعد از این مراحل جهت جداسازی بساک ها، غنچه ها از داخل آب مقطر استریل برداشته شدند(شکل ۲.A). بساک ها به نحوی که به بافت سوماتیکی دیواره بساک آسیبی نرسد از میله پرچم جداسازی (شکل ۲.B) و به آرامی در محیط کشت MS قرار گرفتند و هر سه هفته یک بار واکشت شدند (شکل ۲.C).

۱۶:۸ قرار گرفتند. مراقبت های زراعی شامل آبیاری، کوددهی، سمپاشی با روش مناسب انجام گرفت. این پژوهش در سال های ۱۳۹۹ و ۱۳۹۸ در دانشکده کشاورزی دانشگاه بوعلی سینا انجام شد.

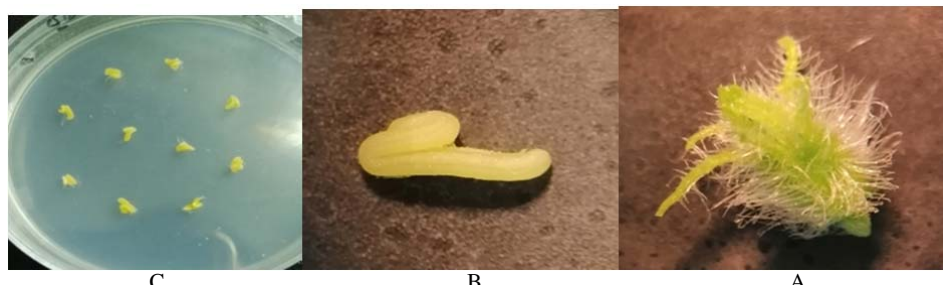
کشت بساک

در تحقیقات پیشین (عبداللهی و همکاران، ۲۰۱۶)، بهترین مرحله رشد و نمو برای کشت بساک را اواخر تک هسته ای تا اوایل دو هسته ای اعلام کردند که غنچه گل خیار در این مرحله اندازه ای حدود ۳-۵ میلی متر دارد (سوپرونوا و شمیکوا، ۲۰۰۸). غنچه های دارای این مشخصات از گیاهان مادری برداشت شدند. شکل ۱ گلهای نر با ابعاد مختلف را نشان می دهد که از گیاهان مادری خیاربرداشت شده اند. گلهای نر مناسب کشت بساک هنوز باز نشده اند و ابعادی حدود ۵ میلیمتر دارند (شکل ۱).



شکل ۱. گل های نر خیار با اندازه های مختلف

Figure 1. Male cucumber flowers of various sizes



شکل ۲. کشت بساک خیار. A: غنچه نر مناسب جهت کشت بساک خیار، B: بساک جدا شده از غنچه و C: بساک های کشت شده در محیط کشت کالوس زایی

Figure 2. Cucumber anther culture. A: Male bud suitable for cucumber anther culture, B: Anther separated from the bud, and C: Anthers cultivated in calllogenesis culture medium.

گرم در لیتر آگار استفاده شد و اسیدیته همه محیط‌های کشت روی ۵/۸ تنظیم گردید. لازم به ذکر است که همه‌ی پتری دیش‌های حاوی ریزنمونه در اتاق رشد با شرایط نور، دما و رطوبت مناسب نگهداری شدن.

آنالیز سیتوولوژیکی گیاهان دیپلوبیید مادری و گیاهان هاپلوبیید، از طریق روش شمارش کروموزومی

جهت مشاهده کروموزوم‌ها از روش سهرابی و همکاران (۲۰۲۱) با برخی تغییرات استفاده گردید. بدین منظور از ریشه‌های گیاهان دیپلوبیید (۱/۵ تا ۲ سانتی متری حاصل از بذور جوانه زده خیار) و همچنین از رویان‌های القاء شده روی کالوس‌ها یا از مریستم انتهایی ساقه گیاهان باززایی شده هاپلوبیید استفاده شد. نمونه‌ها درون شیشه‌ای حاوی آب و یخ درون یخچال قرار گرفتند و پس از ۲۴ ساعت در محلول کارنوئی I حاوی اتانول ۹۶ درصد و استیک اسید گلایسیوال با نسبت ۳ به ۱ (۷/۷) به مدت یک روز در یخچال نگهداری شدند.

برای انجام هیدرولیز نمونه‌ها در محلول HCl یک مولار در مدت زمان ۱۵ دقیقه در دمای ۶۰ درجه سانتی گراد در حمام آب گرم قرار گرفتند. برای توقف هیدرولیز نمونه‌ها از حمام آب گرم خارج و سه مرتبه با آب سرد (آب صفر درجه سانتی گراد) شستشو داده شدند. پس از خشک کردن نمونه‌ها با کاغذ صافی، جهت رنگ آمیزی درون محلول استوکارمن ۱ درصد قرار گرفتند و بعد از گذشت یک هفته، این نمونه‌ها برای مشاهده کروموزوم‌ها استفاده شدند و کروموزوم‌ها در زیر میکروسکوپ نوری با بزرگنمایی ۴۰ و ۱۰۰ قابل رویت شدند.

نکته: به دلیل اینکه در گیاه خیار آزمایشات اولیه شامل اندازه مناسب غنچه‌ها، محیط کشت مناسب، نوع و میزان هورمون‌های مناسب جهت کالوس زایی و رویان زایی و پیش تیمار دمایی مناسب غنچه‌ها، از قبل توسط اسدی و همکاران (۲۰۱۸)، حمیدوندو عبداللهی (۱۳۹۴) انجام شده و نتایج آن‌ها گزارش شده است. در پژوهش حاضر از این نتایج بهره برده و در تمامی آزمایشات از بهترین تیمارهای گزارش شده، استفاده گردید. به این صورت که غنچه‌های ۳-۵ میلی متری انتخاب شدند. محیط کشت مورد استفاده محیط MS بود و در تمامی آزمایشات ۰/۹۱ میلی گرم بر لیتر هورمون BAP و ۰/۲۵ میلی گرم بر لیتر هورمون ۲،۴-D جهت کالوس زایی استفاده گردید (جدول ۱) و محیط مورد استفاده جهت رویان زایی، شامل محیط MS مایع حاوی ۴ میلی گرم بر لیتر ۲،۴-D و ۰/۱ میلی گرم بر لیتر BAP بود (جدول ۱). همچنین در تمامی آزمایشات ابتدا بساک‌ها در محیط MS کالوس زایی حاوی ۰/۹۱ میلی گرم بر لیتر BAP و ۰/۲۵ میلی گرم بر لیتر ۲،۴-D کشت شدند. پس از گذشت ۵-۶ هفته از کشت بساک‌ها، کالوس‌هایی با اندازه‌های مناسب جهت اعمال تیمارها به وجود آمدند. سپس جهت القای رویان، کالوس‌ها در محیط مایع با میزان ۴ میلی گرم بر لیتر هورمون ۲،۴-D و ۰/۰ میلی گرم بر لیتر هورمون BAP به مدت سه هفته بر روی شیکر (۱۰۰ دور در دقیقه) و در شرایط تاریکی قرار گرفتند. در نهایت جهت باززایی رویان‌های حاصل از مرحله قبل، کالوس‌های رویان زا به محیط MS حاوی ۳ میلی گرم بر لیتر BAP منتقل شدند (جدول ۱). در تمامی محیط‌های کشت از ۳۰ گرم در لیتر ساکاروز استفاده گردید. برای محیط‌های کشت جامد ۸

جدول ۱. محیط‌های کشت حاوی ترکیبات هورمونی مناسب جهت القاء کالوس و رویان و باززایی گیاه در کشت بساک خیار

Table 1. Culture media containing suitable hormonal compounds for callus and embryo induction and plant regeneration in cucumber anther culture

BAP (mg l ⁻¹)	2,4-D (mg l ⁻¹)	نوع محیط کشت Culture medium type	هدف کشت بافت Purpose of tissue culture
0.91	0.25	Solid MS	القاء کالوس Callus induction
0.1	4	Liquid MS	القاء رویان Embryo induction
3	-	Solid MS	باززایی گیاه Plant regeneration

بررسی اثر تیمارهای مختلف شوک الکتریکی بر کالوس‌زایی و رویان‌زایی در کشت بساک خیار

در این آزمایش تیمارهای مختلف شوک الکتریکی شامل: ۵۰، ۱۵۰، ۱۰۰ و ۲۰۰ ولت به همراه شاهد هم بر روی بساک‌ها و هم بر روی کالوس‌های حاصل از کشت بساک رقم بتاalfα به صورت پالس در قالب دو آزمایش مجزا اعمال شدند. جهت بررسی این تیمار روی بساک‌ها ابتدا بساک‌های رقم بتاalfα از درون غنچه گل خیار جدا شدند و سپس درون میکروتیوب‌های حاوی محیط MS مایع با ساکارز ۱۰۰ گرم بر لیتر (برای زنده مانی بساک‌ها) قرار داده شدند و توسط دستگاه الکتروپوریشن شوک‌های الکتریکی شامل: ۵۰، ۱۰۰، ۱۵۰ و ۲۰۰ ولت و هر کدام به صورت سه پالس انجام شد. پس از اعمال شوک‌های الکتریکی، بساک‌ها از درون میکروتیوب‌ها خارج و جهت خشک شدن روی کاغذ صافی استریل قرار داده شدند. بساک‌ها به آرامی با استفاده از پنس از روی کاغذ صافی برداشته شدند و درون پتربی دیش‌های حاوی محیط MS جامد قرار گرفتند و جهت نگهداری به اتاق رشد منتقل شدند. ۶-۵ هفته در این محیط باقی ماندند و بساک‌ها به کالوس‌هایی بزرگ تبدیل شدند، سپس کالوس‌ها درون اولن حاوی محیط MS مایع قرار گرفتند و روی شیکر در تاریکی و با دور ۱۰۰ به مدت سه هفته نگهداری شدند و پس از آن به محیط MS جامد با میزان هورمون ذکر شده، به منظور بازیابی رویان‌ها انتقال یافتند. این تیمار بر روی کالوس‌ها به همین صورت مورد بررسی قرار گرفت با این تفاوت که به جای بساک از کالوس‌های رویان‌زا استفاده شد.

بررسی اثر تیمار دور سانتریفیوژ بر کالوس‌زایی و

رویان‌زایی در کشت بساک خیار

در این آزمایش دورهای مختلف سانتریفیوژ شامل: ۱۰۰، ۱۵۰، ۳۰۰ و ۶۰۰ دقیقه و با دمای ۴ درجه سلسیوس در نظر گرفته شد. به منظور اعمال تیمارها بر روی بساک‌ها از میکروتیوب‌هایی که حاوی محیط MS مایع بدون هورمون و با میزان ساکارز ۱۰۰ میلی گرم در لیتر بودند، استفاده شد. ابتدا بساک‌ها در داخل این محیط قرار داده شدند و پس از اعمال تیمار دور سانتریفیوژ، بساک‌ها به محیط جامد کالوس‌زایی منتقل و سپس در اتاق

اثر ژنتیک در القای کالوس، رویان‌زایی و باززایی گیاه در کشت بساک خیار

در این آزمایش بساک‌های چهار رقم(ژنتیک) خیار بتاalfα، ماجد، ارشیا و سوپرسهیل در محیط کشت MS حاوی ترکیب هورمونی ذکر شده کشت گردیدند. سپس بساک‌های آن‌ها در محیط کشت MS کالوس‌زایی که در بالا شرح داده شد، قرار گرفتند و در اتاق رشد نگهداری شدند. ۴-۵ روز پس از کشت بساک‌ها متورم شدند و پس از ۵-۶ هفته کالوس‌ها به اندازه مناسبی رسیدند و به منظور القای رویان در محیط مایع تکمیل شده با هورمون‌های D، BAP، ۲،۴-D و BAP، به مدت سه هفته روی شیکر (۱۰۰ دور در دقیقه) و در شرایط تاریکی قرار گرفتند. پس از گذشت سه هفته به جهت باززایی رویان‌های القا شده، کالوس‌های رویان‌زا به مدت سه هفته در محیط MS حاوی سیتوکین قرار داده شدند. و در نهایت رویان‌های بازرا شده برای رشد و نمو در محیط کشت MS فاقد هورمون قرار گرفتند.

بررسی اثر پیش‌تیمارهای گرمایی اعمال شده روی کالوس‌ها، بر روند رویان‌زایی و باززایی گیاه در کشت بساک خیار

در این آزمایش تیمارهای مختلف گرمایی شامل: ۳۰ درجه سلسیوس به مدت یک روز، ۳۵ درجه سلسیوس به مدت ۸ ساعت، ۳۸ درجه سلسیوس به مدت یک ساعت، بدون تیمار حرارتی (شاهد) در محیط کشت مایع و بدون تیمار حرارتی (شاهد) در محیط کشت جامد بر روی کالوس‌های رقم بتاalfα خیار اعمال گردیدند. ابتدا بساک‌های رقم بتاalfα را درون محیط کشت MS جامد با ترکیبات هورمونی مناسب جهت کالوس‌زایی، قرار داده شدند. پس از گذشت ۵-۶ هفته کالوس‌ها به اندازه مناسب رسیدند و جهت اعمال تیمار حرارتی درون انکوباتور قرار گرفتند. سپس به محیط کشت مایع منتقل شدند و روی شیکر و با شرایط تاریکی قرار گرفتند. پس از گذشت سه هفته کالوس‌های رویان‌زا به محیط جامد باززایی انتقال یافتند.

(شکل ۳. A) شروع به غنچه دهی کردن و غنچه های نر با اندازه مناسب (شکل ۳. B) که دارای بساک های حاوی میکروسپور هایی که در مرحله تک هسته ای میانی و انتهایی بودند به عنوان ریز نمونه استفاده شد. بساک های جدا شده از این غنچه ها در محیط کشت MS جهت القاء کالوس کشت شدند (شکل ۳. C). ۴ الی ۵ روز پس از کشت، بساک ها شروع به متورم شدن نمودند و کالوس زایی در آن ها اتفاق افتاد و ۶-۵ هفته پس از کشت، بساک ها به کالوس هایی با اندازه مناسب جهت اعمال تیمارها تبدیل گشتند (شکل ۳. D). تیمارها بر روی کالوس ها اعمال شدند و در محیط مناسب جهت رویان زایی قرار گرفتند. به تدریج رویان ها بر روی کالوس های رویان زا القاء شدند و تشکیل رویانهای کروی، قلبی و ازدی شکل (شکل ۳. E) و همچنین رویانهای بالغ لپه ای شکل (شکل ۳. F) را دادند. در نهایت کالوس های حاوی این ساختارهای رویانی به محیط کشت باز زایی انتقال یافته و مراحل اولیه باز زایی در آنها مشاهده شد (شکل ۳. G و H) به طوری که گیاهچه ها پلولید از آنها به دست آمد (شکل ۳. I).

مشاهده و شمارش کروموزوم های ریشه گیاه دیپلولید (مادری) و رویان های القاء شده در خیار
به منظور تعیین سطح پلولئیدی رویان های القاء شده از کشت بساک خیار، مطالعات سیتولوژیکی با روش اسکواش بر روی نوک ریشه های گیاهان دهنده (مادری) و رویان های القاء شده انجام شد و نتایج نشان داد که گیاهان مادری دیپلولید و دارای $2n=2x=14$ کروموزوم هستند (شکل ۴. A). در حالی که، رویان های القاء شده ماهیت هاپلولیدی داشته و حاوی $n=x=7$ کروموزوم می باشند (شکل ۴. B).

اثر ژنتیک بر کالوس زایی و رویان زایی در کشت بساک خیار

نتایج تجزیه واریانس اثر ژنتیک بر صفات مختلف مطالعه شده در کشت بساک خیار (جدول ۲) نشان داد بین

رشد نگهداری شدند. کالوس های تشکیل شده به درون ارلن حاوی محیط MS مایع منتقل شدند و به مدت سه هفته بر روی شیکر با شرایط تاریکی و شدت ۱۰۰ دور در دقیقه قرار گرفتند. پس از گذشت سه هفته کالوس های رویان زا به منظور باز زایی به محیط MS جامد تکمیل شده با میزان ۳ میلی گرم بر لیتر هورمون BAP قرار داده شدند.

بررسی اثر میدان مغناطیسی بر کالوس زایی و رویان زایی در کشت بساک خیار
بساک هایی که در محیط کشت مناسب کشت شدند و پتری دیش های حاوی بساک ها در اتاق رشد و در معرض میدان مغناطیسی با شدت بالا قرار گرفتند. تیمارهای دیگر با استفاده از دستگاه مخصوص آب مغناطیسی اعمال گردید و برای درست نمودن محیط کشت MS این آب مورد استفاده قرار گرفت. بدین منظور اعمال تیمارهای آب مغناطیسی به مدت ۲۴ ساعت، ۱ ساعت و صفر ساعت (عبور از دستگاه) صورت پذیرفت. بساک ها در زیر هود لامینار از غنچه ها خارج شدند. در نهایت پتری دیش ها به اتاق رشد با شرایط نوری و دمایی مناسب انتقال یافتند. پس از ۵-۶ هفته، کالوس های تشکیل شده به محیط کشت MS مایع منتقل شدند و روی شیکر گرفتند. پس از گذشت سه هفته به محیط MS جامد جهت باز زایی منتقل شدند.

تجزیه و تحلیل داده ها

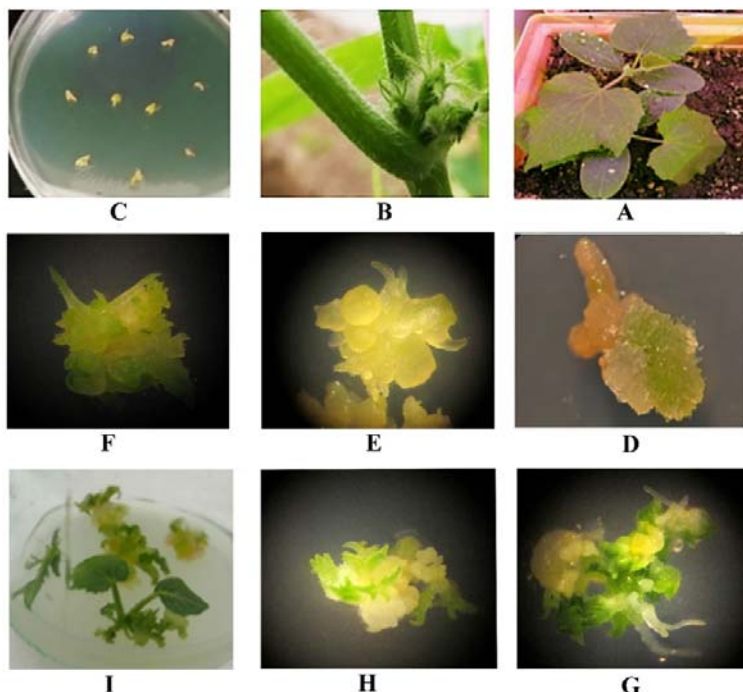
تمامی آزمایشات در قالب طرح کاملاً تصادفی با ۳ تکرار انجام شدند. هر تکرار شامل یک پتری دیش بود که در آن ۱۰ بساک خیار کشت گردید. آزمون نرمالیته با استفاده از نرم افزار MINITAB و تجزیه و تحلیل داده ها با استفاده از نرم افزار SPSS انجام شد.

یافته های پژوهش

مشاهده و بررسی کالوس ها و رویان های القاء شده در کشت بساک خیار
در تمامی آزمایش های صورت گرفته گیاهان مادری خیار

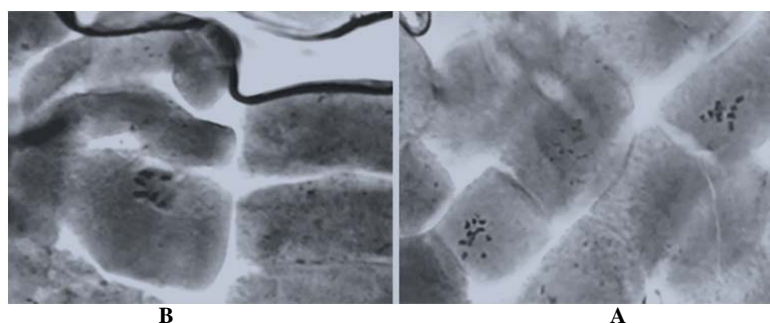
صفت تعداد رویان به ازای هر بساک تفاوت آماری معنی دار در سطح 0.05% وجود داشت.

ژنتیپ‌ها از نظر صفت درصد کالوس زایی، تفاوت آماری معنی دار در سطح 0.05% وجود داشت. بین ژنتیپ‌ها از نظر



شکل ۳. مراحل باززایی گیاه از طریق کشت بساک در خیار . A: گیاه مادری(دیپلوبید)، B: غنچه‌های مناسب جهت کشت بساک خیار، C: بساک‌های کشت شده در محیط کشت القاء کالوس، D: کالوس القا شده روی بساک، E: رویانهای تشکیل شده روی کالوس در مراحل مختلف کروی شکل، قلبی شکل و اژدری شکل، F: رویانهای بالغ شده در مرحله لپه ای، G و H: مراحل اولیه باززایی رویانه، I: گیاهچه‌های باززایی شده در داخل شیشه مریانی.

Figure 3. Stages of plant regeneration through anther culture in cucumber. A: Mother plant (diploid), B: Buds suitable for cucumber anther culture, C: Anthers cultured in callus induction medium, D: Callus induced on anthers, E: Embryos formed on callus at different stages of globular, heart-shaped and torpedo-shaped, F: Mature embryos at the cotyledon stage, G and H: Early stages of embryo regeneration, I: Regenerated plantlets inside a jar.



شکل ۴. سلول‌های دیپلوبید و هاپلوبید در خیار. A: سلول دیپلوبید به دست آمده از آزمون سیتولوژیکی نوک ریشه گیاه مادری با ۱۴ کروموزوم. B: سلول‌های هاپلوبید به دست آمده از آزمون سیتولوژیکی نوک ریشه گیاه باززا شده با ۷ کروموزوم

Figure 4. Diploid and haploid cells in cucumber. A: Diploid cell obtained from cytological examination of the root tip of the mother plant with 14 chromosomes. B: Haploid cells obtained from cytological examination of the root tip of the regenerated plant with 7 chromosomes.

جدول ۲. تجزیه واریانس اثر ژنتیک بر صفات مورد مطالعه در کشت بساک خیار

Table 2. Analysis of variance of genotype effect on studied traits in cucumber anther culture

میانگین مربوطات (Mean squares)	درصد کالوس زایی Callogenesis percentage	درجه آزادی Degree of freedom	منابع تغییر Source of variation
0.02496**	7.22*	3	ژنوتیپ (Genotype)
0.00257	1.11	8	خطای آزمایشی (Experimental error)
5.95%	14.21%		ضریب تغییرات (Coefficient of variation) (C.V.)

* and ** indicate significant differences at the 0.05 and 0.01 levels, respectively.

و ** به ترتیب تفاوت معنی‌دار در سطح ۰/۰۵ و ۰/۰۱ را نشان می‌دهند.

برصافت مختلف مطالعه شده در کشت بساک خیار (جدول ۳) نشان داد که بین تیمار حرارتی و نوع کشت با میانگین تعداد رویان به ازای هر بساک و میانگین تعداد گیاه به ازای هر بساک تفاوت معنی دار آماری در سطح ۰/۰۱ وجود دارد.

نتایج نشان داد که بیشترین تعداد رویان به ازای هر بساک مربوط به تیمار شاهد در محیط کشت مایع با میانگین ۴۶/۶ رویان بود و کمترین میزان تعداد رویان با میانگین ۰/۰۲۳ در تیمار شاهد در محیط کشت جامد مشاهده شد (شکل ۷).

با توجه به شکل ۸ بیشترین تعداد گیاه به ازای هر بساک مربوط به تیمار شاهد در محیط کشت مایع با میانگین ۳۶/۴ و پس از آن در تیمار ۳۰ درجه سانتی گراد به مدت ۲۴ ساعت و در محیط کشت مایع با میانگین ۱/۴ گیاه به ازای هر بساک مشاهده گردید.

تشهای گرمایی و سرمایی از جمله تشنهایی هستند که عمده‌تا به منظور القای مسیر اسپیوروفیتی در میکروسپورها استفاده می‌شوند (شریعت پناهی و همکاران، ۲۰۰۶). تاثیر تیمار گرمایی نیز بر بازارآبی اسکلت سلولی میکروسپورها گزارش شده است. از جمله پیش تیمارهای متداول و مؤثر بر مقدار کالوس زایی و رویان زایی، پیش تیمار سرمایی و گرمایی می‌باشد (تووراییو و همکاران، ۲۰۰۱). تشنهایی برای انگیزش رویان زایی میکروسپورهای درون بساک در بسیاری از گیاهان از جمله تیره کدوییان استفاده شده است (زانگ و همکاران، ۲۰۱۱). در آزمایش حاضر اثر تیمارهای مختلف گرمایی شامل: ۳۰ درجه سانتی گراد به مدت یک روز، ۳۵ درجه سانتی گراد به مدت ۸ ساعت و ۳۸ درجه سانتی گراد به مدت یک ساعت همراه با شاهد

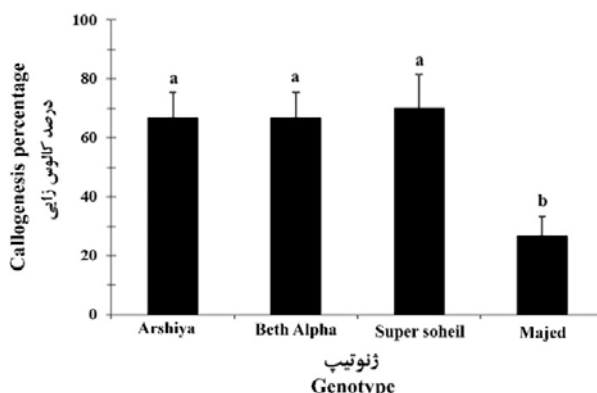
مقایسه میانگین اثر ژنوتیپ بر درصد کالوس زایی (شکل ۵) نشان داد که بالاترین درصد کالوس زایی در ژنوتیپ‌های سوپرسهیل، ارشیا و بتا‌alfa اتفاق افتاد. کمترین درصد کالوس زایی مربوط به ژنوتیپ ماجد با میزان ۲۶/۶ درصد بود. بهترین ژنوتیپ جهت رویان زایی، ژنوتیپ بتا‌alfa (با میانگین ۰/۳۶ رویان به ازای هر بساک) بود و ژنوتیپی که کمترین میزان رویان زایی را داشت، ژنوتیپ ماجد با میانگین ۰/۰۳ رویان به ازای هر بساک بود (شکل ۶).

براساس مطالعات صورت گرفته، محققین ژنوتیپ را یک عامل موثر در پاسخ به آندروژن تاثیرگذار نشان داد ژنوتیپ گیاه مادری بر پاسخ به آندروژن تاثیرگذار است. از نظر آماری مشخص شد که ژنوتیپ‌ها از نظر پاسخ به کالوس زایی و رویان زایی تفاوت آماری معنی‌داری داشته‌اند. بهترین ژنوتیپ از نظر درصد کالوس زایی سوپرسهیل و پس از آن ژنوتیپ‌های بتا‌alfa و ارشیا بود. البته با توجه به اینکه در آندروژن، رویان زایی از اهمیت بیشتری برخوردار است، در نتیجه بتا‌alfa که هم از نظر کالوس زایی و هم رویان زایی ژنوتیپ مطلوبی بود، به عنوان بهترین ژنوتیپ برای انجام آزمایشات بعدی انتخاب گردید. بر اساس مشاهدات محققین، ژنوتیپ بر درصد بساک‌های پاسخ دهنده، درصد تشکیل کالوس و تعداد رویان در هر بساک در آندروژن خیار تاثیر داشته است (عبداللهی و همکاران، ۲۰۱۶؛ کومار و همکاران، ۲۰۰۳؛ سانگ و همکاران، ۲۰۰۷) که این نتایج با نتایج آزمایش حاضر همخوانی دارد.

اثر پیش‌تیمارهای گرمایی اعمال شده روی کالوس‌ها بر روند رویان زایی و باز زایی گیاه در کشت بساک خیار نتایج تجزیه واریانس اثر تیمار حرارتی و نوع کشت

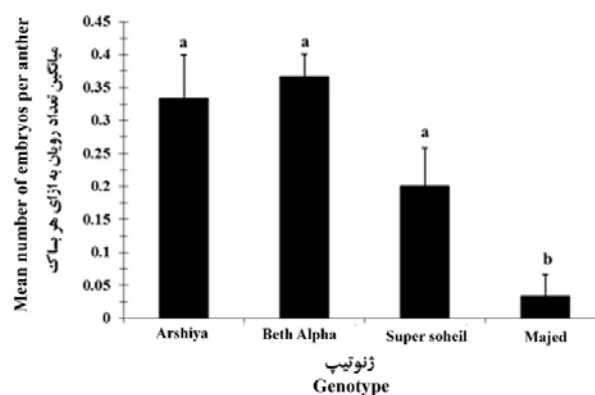
کشت مایع بالاترین میانگین تعداد رویان به ازای هر بساک و همچنین بیشترین میانگین تعداد گیاه به ازای هر بساک را ایجاد کرد.

(بدون تیمار حرارتی) در محیط کشت مایع و (شاهد در محیط کشت جامد) بر روی کالوس های رقم بتا آلفا خیار بررسی شد. نتایج نشان داد که تیمار شاهد در محیط



شکل ۵. مقایسه میانگین اثر ژنوتیپ بر درصد کالوس زایی در کشت بساک خیار

Figure 5. Mean comparison of the effect of genotype on the percentage of callogenesis in cucumber anther culture



شکل ۶. مقایسه میانگین اثر ژنوتیپ بر میانگین تعداد رویان به ازای هر بساک در کشت بساک خیار

Figure 6. Mean comparison of the effect of genotype on the mean number of embryos per anther in cucumber anther culture

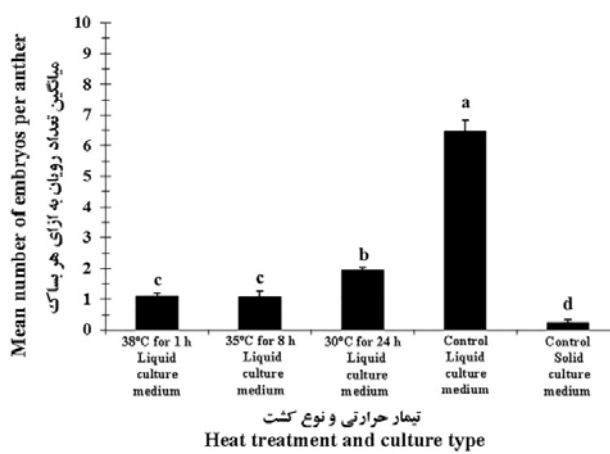
جدول ۳. تجزیه واریانس اثر تیمار حرارتی و نوع کشت بر صفات مورد مطالعه در کشت بساک خیار

Table 3. Analysis of variance of the effect of heat treatment and culture type on the studied traits in cucumber anther culture

میانگین مربعات (Mean squares)	میانگین تعداد رویان به ازای هر بساک	میانگین تعداد رویان به ازای هر بساک باززایی شده به ازای هر بساک	درجه آزادی Degree of freedom	منابع تغییر Source of variation
1.3006***	18.472***	4	تیمار گرمایی Heat treatment	
0.0161	0.123	10	خطای آزمایشی Experimental error	
11.15%	16.24%		ضریب تغییرات (C.V.) Coefficient of variation	

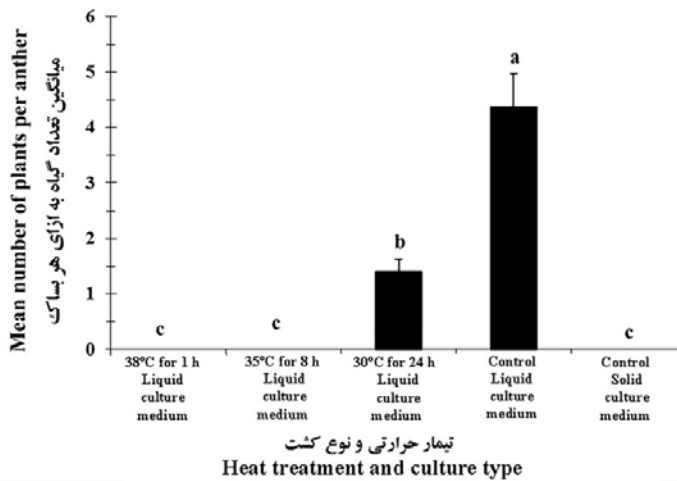
*** indicates a significant difference at the 0.001 level

** تفاوت معنی دار در سطح ۰/۰۰۱ را نشان می دهد.



شکل ۷. مقایسه میانگین اثر تیمار حرارتی و نوع کشت بر میانگین تعداد رویان به ازای هر بساک در کشت بساک خیار

Figure 7. Mean comparison of the effect of heat treatment and culture type on the mean number of embryos per anther in cucumber anther culture



شکل ۸. مقایسه میانگین اثر تیمار حرارتی و نوع کشت بر میانگین تعداد گیاه بازیابی شده به ازای هر بساک در کشت بساک خیار

Figure 8. Mean comparison of the effect of heat treatment and culture type on the mean number of regenerated plants per anther in cucumber anther culture

این آزمایش دو بحث مطرح می‌گردد، اولاً محیط کشت مورد استفاده و ثانیاً دمای انتخاب شده جهت اعمال تیمارها و تأثیری که بر رویان زایی می‌گذارند. به نظر می‌رسد در این آزمایش محیط کشت مایع تأثیر بسزایی در القای رویان داشته است که این نتیجه با انتخاب شدن بهترین تیمار که همان تیمار شاهد و کشت در محیط کشت مایع است به وضوح مشخص گردیده است و همچنین تیمار دمایی با دمای پایین (۳۰ درجه سانتی گراد) نسبت به تیمار دمایی با دمای بالا (۳۵ و ۳۸ درجه سانتی گراد) مشخص شد.

در این پژوهش مشخص شد بیشترین میانگین تعداد رویان به ازای هر بساک و بیشترین میانگین تعداد گیاه به ازای هر بساک مربوط به تیمار شاهد در محیط کشت مایع بود و تیمار ۳۰ درجه سانتی گراد به مدت ۲۶ ساعت در محیط کشت مایع نیز تیمار مطلوبی از نظر میانگین تعداد رویان به ازای هر بساک و میانگین تعداد گیاه به ازای هر بساک بود. در سایر تیمارهای دمایی (۳۸ درجه سانتی گراد به مدت یک ساعت، ۳۵ درجه سانتی گراد به مدت ۸ ساعت و شاهد در محیط کشت جامد رویانی القا نشد. در

اثر تیمارهای مختلف شوک الکتریکی بر کالوس‌زایی و رویان‌زایی در کشت بساک خیار با توجه به جدول ۴ تیمارهای مختلف شوک الکتریکی برای صفت درصد کالوس زایی در سطح ۰/۰۱ و برای صفت میانگین تعداد رویان به ازای هر بساک در سطح ۰/۰۵ اختلاف معنی‌دار آماری را نشان دادند. مقایسه میانگین اثرات شوک الکتریکی بر درصد کالوس‌زایی نشان داد که تیمار ۱۰۰ ولت شوک الکتریکی بیشترین تعداد کالوس‌زایی (۹۰ درصد) را به خود اختصاص داد. کمترین درصد کالوس‌زایی مربوط به تیمار شاهد با میزان ۴۶/۶۶ درصد بود (شکل ۹).

با توجه به شکل ۱۰، بیشترین میانگین تعداد رویان به‌ازای هر بساک ۰/۱۶ رویان، متعلق به تیمار ۱۰۰ ولت شوک الکتریکی بود.

درجه سانتی گراد برای رویان‌زایی و درنهایت بازیابی گیاه مطلوب‌تر بوده است.

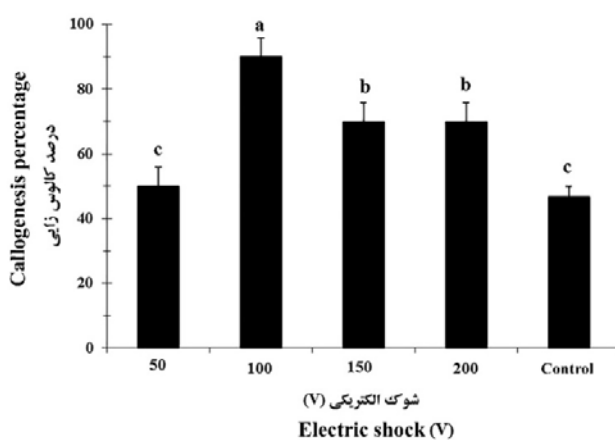
در این آزمایش پس از خارج شدن کالوس‌ها از محیط کشت مایع و قرار گرفتن آن‌ها در محیط جامد جهت القای رویان، کالوس‌های جدیدی روی کالوس‌های قبلی تشکیل شد و سپس در دو تیمار شاهد کشت در محیط کشت مایع و تیمار ۳۰ درجه سانتی گراد روی کالوس‌های جدید رویان القا شد. همچنین در تیمارهای دمایی ۳۸ و ۳۵ درجه سانتی گراد روی کالوس‌های قبلی، کالوس‌های جدید شکل گرفت و حتی ساختارهای رویان مانند روی آن‌ها تشکیل شد اما پس از گذشت دو هفته ساختارهای رویان مانند در همان حالت باقی ماندند و به رویان تبدیل نشدند. احتمال داده می‌شود که دمای بسیار بالا به کالوس آسیب وارد کرده و مانع از رویان‌زایی آن‌ها شده است.

جدول ۴. تجزیه واریانس اثر شوک الکتریکی بر صفات مورد مطالعه در کشت بساک خیار

Table 4. Analysis of variance of the effect of electric shock on the studied traits in cucumber anther culture

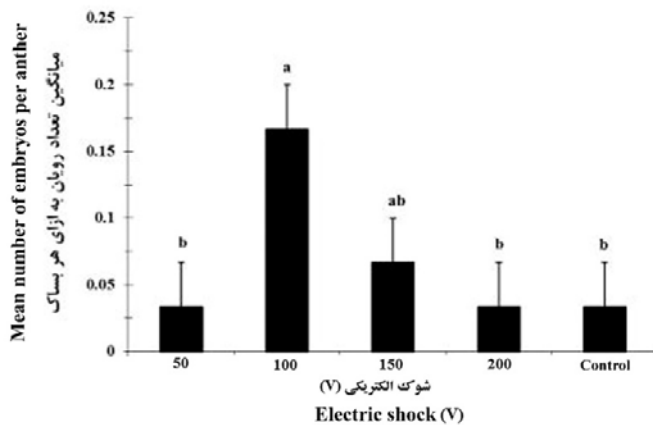
میانگین مربعات (Mean squares)	درصد کالوس زایی Callogenesis percentage	درجه آزادی Degree of freedom	منابع تغییر Source of variation
0.00420*	926.7**	4	شوک الکتریکی (Electric shock)
0.00147	86.7	10	خطای آزمایشی (Experimental error)
5.1%	14.25%		ضریب تغییرات (C.V.)

* and ** indicate significant differences at the 0.05 and 0.01 levels, respectively.



شکل ۹. مقایسه میانگین اثر شوک الکتریکی بر درصد کالوس‌زایی در کشت بساک خیار

Figure 9. Mean comparison of the effect of electric shock on the callogenesis percentage in cucumber anther culture



شکل ۱۰. مقایسه میانگین اثر شوک الکتریکی بر میانگین تعداد رویان به ازای هر بساک در کشت بساک خیار

Figure 10. Mean comparison of the effect of electric shock on the mean number of embryos per anther in cucumber anther culture

کالوس‌های آبکی تبدیل شدند و در نهایت در این آزمایش رویانی القا نشد و کالوس‌ها در همین مرحله متوقف شدند و به همین دلیل، نتایج قابل قبولی از این آزمایش بدست نیامد.

اثر تیمار دور سانتریفیوژ بر کالوس زایی و رویان زایی در کشت بساک خیار

نتایج تجزیه واریانس (جدول ۵) حاصل از دور اعمال شده توسط سانتریفیوژ با دورهای مختلف در کشت بساک خیار نشان داد که بین تیمارهای مختلف برای صفت درصد کالوس زایی و صفت میانگین تعداد رویان به ازای هر بساک تقاضوت آماری معنی‌دار در سطح ۰/۰۵ وجود دارد. با توجه به نمودار مقایسه میانگین‌ها (شکل ۱۱)، بیشترین درصد کالوس زایی (۷۳/۳۳ درصد) مربوط به دور ۱۵۰ g سانتریفیوژ بود. دور ۶۰۰ g ۶۰/۴۶ درصد کمترین درصد کالوس زایی را به خود اختصاص داد.

طبق شکل ۱۲، بیشترین میانگین تعداد رویان به ازای هر بساک (۲/۰ رویان) متعلق به دور ۱۵۰ g سانتریفیوژ بود. استفاده از پیش تیمارهای فیزیکی مانند دور سانتریفیوژ و الکتروپورشن القای آندروژن را در کشت بساک گونه‌های مختلف از قبیل نخود، گل گاویان، تاتوره، توتون، و نخودفرنگی افزایش داده است (رشیدی و همکاران، ۱۳۹۸؛ سنایی هویدا و همکاران، ۲۰۱۷، گریوال و همکاران، ۲۰۰۹؛ سانگوان، ۱۹۷۷).

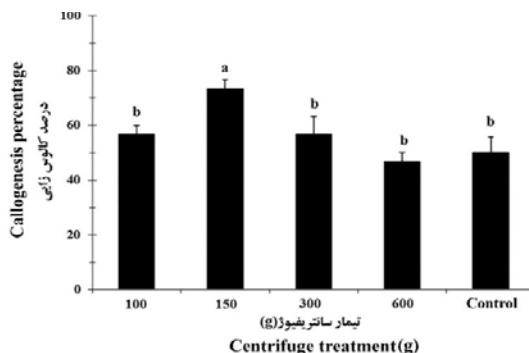
شوک الکتریکی موجب ایجاد منافذی در غشای سلول شده و ورود مواد مورد نیاز جهت رشد سلول را تسهیل می‌کند (ریچ و همکاران، ۱۹۸۷). در این آزمایش اثر شوک الکتریکی بر کالوس زایی و رویان زایی در کشت بساک خیار بررسی شد. مقایسه و لتاژهای مختلف شوک الکتریکی نشان داد که ۱۰۰ ولت بیشترین درصد کالوس زایی و بیشترین میانگین تعداد رویان به ازای هر بساک را ایجاد می‌کند. با بررسی‌های صورت گرفته در این آزمایش مشخص شد که تیمار ۵۰ و ۲۰۰ ولت از نظر میانگین تعداد رویان به ازای هر بساک با تیمار شاهد (بدون اعمال شوک الکتریکی) در یک سطح هستند. به نظر می‌رسد که ۵۰ ولت تأثیر چندانی روی میانگین تعداد رویان به ازای هر بساک نداشت و این می‌تواند به علت پایین بودن ولتاژ باشد. جریان‌های الکتریکی بالاتر، چون منجر به زخمی شدن بساک‌ها و کاهش یا عدم تولید رویان می‌شوند مضر هستند و تیمار ۲۰۰ ولت در این آزمایش رویان زایی پایینی را نشان داد. شوک الکتریکی در تبادل مواد محیط کشت به داخل سلول نقش دارد، همچنین شوک الکتریکی موجب رشد پرتوپلاست شده و توانایی باززنایی گیاه را افزایش میدهد (ریچ و همکاران، ۱۹۸۷) در بخش دیگر این آزمایش، اعمال تیمارهای الکتریکی بر روی کالوس‌های حاصل از کشت بساک انجام گردید، اما این کالوس‌ها به القای آندروژن پاسخی نشان ندادند و کالوس‌ها از حالت عادی که بافتی اسفنجی داشتند به

جدول ۵. تجزیه واریانس اثر دور سانتریفیوژ بر صفات مورد مطالعه در کشت بساک خیار

Table 5. Analysis of variance of the effect of centrifuge speed on the studied traits in cucumber anther culture

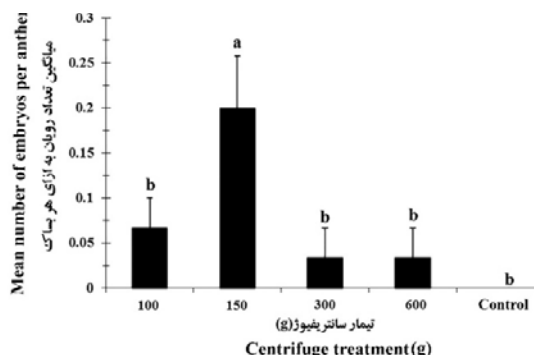
میانگین مرربعات (Mean squares)	درصد کالوس زایی Callogenesis percentage	درجه آزادی Degree of freedom	منابع تغییر Source of variation
میانگین تعداد رویان به ازای هر بساک Mean number of embryos per anther			
0.00745*	316.7*	4	دور سانتریفیوژ (Centrifuge speed)
0.00163	66.7	10	خطای آزمایشی (Experimental error)
5.38%	14.41%		ضریب تغییرات (C.V.) (Coefficient of variation)

* نقاوت معنی‌دار در سطح ۰.۰۵ را نشان می‌دهد.



شکل ۱۱. مقایسه میانگین اثر دور سانتریفیوژ بر درصد کالوس زایی در کشت بساک خیار

Figure 11. Mean comparison of the effect of centrifugation speed on the callogenesis percentage in cucumber anther culture



شکل ۱۲. مقایسه میانگین اثر دور سانتریفیوژ بر میانگین تعداد رویان به ازای هر بساک در کشت بساک خیار

Figure 12. Mean comparison of the effect of centrifugation speed on the mean number of embryos per anther in cucumber anther culture

سانتریفیوژ و شوک الکتریکی را بر کارآیی آنдрوروژن در کشت بساک نخود بررسی کردند. نتایج نشان داد بیشترین درصد رویان زایی گامتی از بساک‌های تیمار شده نخود با دور سانتریفیوژ ۱۵۰ g به مدت ۶ دقیقه به دست آمد که با نتایج این پژوهش همخوانی دارد.

اثر میدان مغناطیسی بر کالوس زایی و رویان زایی در کشت بساک خیار
نتایج جدول تجزیه واریانس (جدول ۶) حاصل از تیمار

در آزمایش حاضر مقایسه دورهای مختلف سانتریفیوژ نشان داد که دور ۱۵۰ g به مدت سه دقیقه بیشترین درصد کالوس زایی و میانگین تعداد رویان به ازای هر بساک را به همراه داشت. تیمار دور سانتریفیوژ بر القای رویان در گیاه خیار موثر است اما به نظر می‌رسد که تیمارهایی با دور متوسط مانند ۱۵۰ g نتیجه مطلوب‌تری را ایجاد می‌کند. از نظر ظاهری کالوس‌های این آزمایش قبل از قرار گیری در محیط کشت رویان زایی زائد های ریشه‌مانندی بر روی خود ایجاد کردند. رشیدی و همکاران (۱۳۹۸) اثر دورهای مختلف

میدان مغناطیسی با شدت بالا هیچ رویانی حاصل نگشت.

این آزمایش به منظور بررسی اثر میدان مغناطیسی و آب مغناطیسی بر کالوس زایی و میانگین تعداد رویان به ازای هر بساک صورت پذیرفت. نتایج نشان داد که تیمار عبور آب از دستگاه مغناطیس نسبت به سایر تیمارها بالاترین درصد کالوس زایی و بیشترین میانگین تعداد رویان به ازای هر بساک را داشت. میدان مغناطیسی روی آنژیمها و ترکیبات پروتئینی تاثیر می‌گذارد و باعث تغییر شکل پروتئین‌ها می‌شود (واشیت و ناگاراجان، ۲۰۱۰). همچنین در آزمایشی آیرو و همکاران (۲۰۱۷) نشان دادند که استفاده از تیمارهای مغناطیسی ضعیف باعث بهبود تکثیر درون شیشه‌ای و ریشه زایی در گونه گیاهی *Genista aetnensis* (Raf. Ex Biv.) Dc می‌گردد.

میدان مغناطیسی و آب مغناطیسی بر صفات مختلف مورد مطالعه در کشت بساک خیار نشان داد که بین تیمارهای مختلف برای صفات درصد کالوس زایی و میانگین تعداد رویان به ازای هر بساک تفاوت آماری معنی دار در سطح ۰/۰ وجود دارد.

بالاترین درصد کالوس زایی (۶۰ درصد) به تیمار عبور آب از دستگاه مغناطیس تعلق گرفت. کمترین درصد کالوس زایی (۲۳/۳۳ درصد) مربوط به تیمار قرار گرفتن بساک‌ها به مدت سه هفته در میدان مغناطیسی با شدت بالا بود (شکل ۱۳).

با توجه به شکل ۱۴، بیشترین میانگین تعداد رویان به ازای هر بساک (۰/۰ رویان زایی) مربوط به تیمار عبور آب از دستگاه مغناطیس بود ولی از تیمار آب مغناطیس شده به مدت ۲۴ ساعت و تیمار سه هفته در معرض

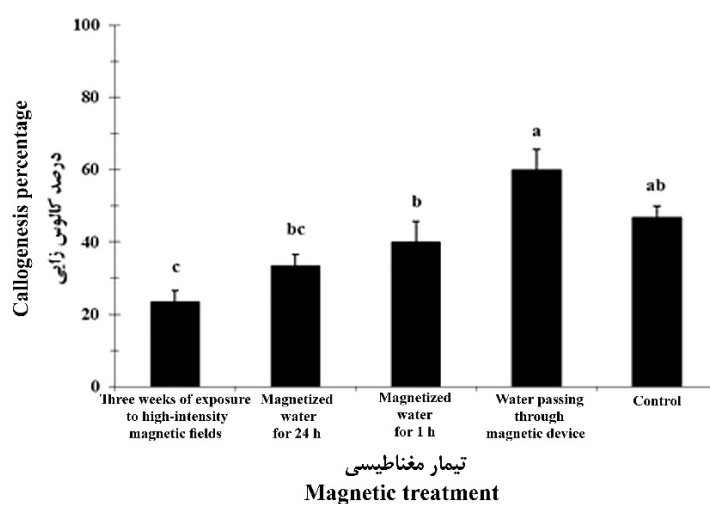
جدول ۶. تجزیه واریانس اثر میدان مغناطیسی و آب مغناطیسی بر صفات مورد مطالعه در کشت بساک خیار

Table 6. Analysis of variance of the effect of magnetic field and magnetized water on the studied traits in cucumber anther culture

میانگین مربعات (Mean squares)		درجه آزادی Degree of freedom	منابع تغییر Source of variation
میانگین تعداد رویان به ازای هر بساک Mean number of embryos per anther	درصد کالوس زایی Callogenesis percentage		
0.00858**	573.3**	4	تیمار مغناطیسی (Magnetic treatment)
0.00133	60	10	خطای آزمایشی (Experimental error)
4.92%	19.04%		ضریب تغییرات (Coefficient of variation) (C.V.)

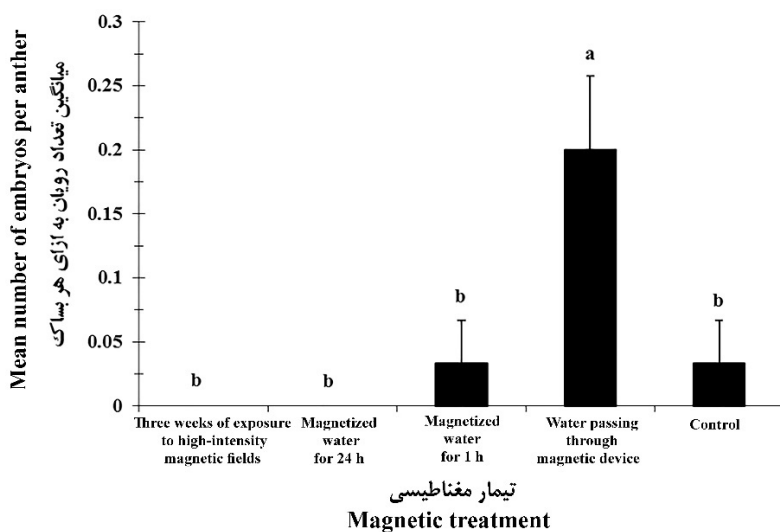
** indicates a significant difference at the 0.01 level.

به تفاوت معنی دار در سطح ۰/۰۱ را نشان می‌دهد.



شکل ۱۳. مقایسه میانگین اثر تیمار مغناطیسی بر درصد کالوس زایی در کشت بساک خیار

Figure 13. Mean comparison of the effect of magnetic treatment on the callogenesis percentage in cucumber anther culture



شکل ۱۴. مقایسه میانگین اثر تیمار مغناطیسی بر میانگین تعداد رویان به ازای هر ساک در کشت بساک خیار

Figure 14. Mean comparison of the effect of magnetic treatment on the mean number of embryos per anther in cucumber anther culture

کالوس‌زایی و بالاترین میانگین تعداد رویان به ازای هر بساک را دارد. اعمال شوک‌های الکتریکی مورد استفاده روی کالوس‌ها، بر القای رویان تأثیری نشان ندادند. بررسی دوره‌های مختلف سانتریفیوژ مشخص شد، دور ۱۵۰g به مدت سه دقیقه اثرات معنی داری را بر پاسخ به آندروژنر در کشت بساک گیاه خیار به وجود آورد. همچنین تیمار عبور آب از دستگاه مغناطیسی نسبت به سایر تیمارهای مغناطیسی بیشترین میزان صفات مذکور را حاصل کرد.

تعارض منافع

هیچ‌گونه تعارض منافع توسط نویسندها وجود ندارد.

نتیجه‌گیری

نتایج بدست آمده از این پژوهش نشان داد که در گیاه خیار بالاترین میزان القای کالوس و رویان از طریق کشت بساک مربوط به ژنوتیپ بتا‌alfa بود. همچنین به ترتیب ابتدا تیمار شاهد (عدم استفاده از تیمار حرارتی) در محیط کشت مایع و سپس ۳۰ درجه سانتی گراد به مدت ۲۴ ساعت در محیط کشت مایع بالاترین میانگین تعداد رویان به ازای هر بساک را به خود اختصاص دادند و مطابق آزمایشات محیط کشت مایع اثر بهتری را در مقایسه با محیط کشت جامد به همراه داشت. مقایسه ولتاژهای مختلف شوک الکتریکی نشان داد که تیمار ۱۰۰ ولت بیشترین درصد

منابع

- دانشگاه تربیت مدرس، شماره ۲، ۱۷۴-۱۸۱. (۱۳۹۴).
- عبداللهی، م. ر.، خاصخیلی، ک. ز.، ناظری، س. (۱۴۰۳). بررسی بیان برخی از ژن‌های رویان‌زایی سوماتیکی در کالوس‌های حاصل از کشت بساک در ژنوتیپ‌های مختلف خیار، ششمین کنگره بین‌المللی و هجدهمین کنگره ملی ژنتیک، ۲ الی ۴ خرداد ۱۴۰۳ G-۱۱۹۷.
- حمیدوند، ی. عبداللهی، م. ر. (۱۳۹۴). اثر پیش تیمار دمایی بر پینه‌زایی و رویان‌زایی گامتی در کشت بساک خیار، مجله علوم و فنون باگبانی ایران، ۱۶(۱)، ۱۴۹-۱۶۰.
- رشیدی، ش. عبداللهی، م. ر.، ساری‌خانی، ح.، موسوی، س. (۱۳۹۸). بررسی اثر پیش تیمارهای سانتریفیوژ و شوک الکتریکی بر کارایی آندروژنر در کشت بساک نخود (*Cicer arietinum* L.). زیستفناوری

- Abdollahi, M. R., Najafi, S., Sarikhani, H., & Moosavi, S. S. (2016). Induction and development of anther-derived gametic embryos in cucumber (*Cucumis sativus* L.) by optimizing the macronutrient and agar concentrations in culture medium. *Turkish Journal of Biology*, 40(3), 571-579.
- Airò, M., Ala, G., Buccheri, P., Caruso, M., Fascella, G., Giovino, A. and Mammano, M.M. (2017). Effect of weak magnetic fields on the in vitro propagation of *Genista aetnensis* (Raf. Ex Biv.) Dc.. *Acta Horticulture*, 1155, 387-392.
- Asadi, A., Zebarjadi, A., Abdollahi, M. R., & Seguí-Simarro, J. M. (2018). Assessment of different anther culture approaches to produce doubled haploids in cucumber (*Cucumis sativus* L.). *Euphytica*, 214, 1-17.
- Bhojwani, S. S., Pande, H., & Raina, A. (2003). Factors affecting androgenesis in indica rice, Universitätsbibliothek.
- Bright, S., & Jones, M. (2012). Cereal tissue and cell culture (Vol. 15), Springer Science & Business Media.
- Chupeau, Y., & Caboche, M. (1998). Androgenesis and haploid plants, Springer Science & Business Media.
- Ferrie, A.,and Caswell, K. (2011). Isolated microspore culture techniques and recent progress for haploid and doubled haploid plant production. *Plant Cell, Tissue and Organ Culture* (PCTOC), 104(3), 301-309.
- Grewal, R. K., Lulsdorf, M., Croser, J., Ochatt, S., Vandenberg, A., & Warkentin, T. D. (2009). Doubled-haploid production in chickpea (*Cicer arietinum* L.), role of stress treatments. *Plant Cell Reports*, 28(8), 1289-1299.
- Hasandokht, M. R. (2006). Greenhouse managing (greenhouse production technology). Tehran, Marz Danesh. 320. (in Persian)
- Kumar, H. A., & Murthy, H. (2004). Effect of sugars and amino acids on androgenesis of *Cucumis sativus*. *Plant Cell, Tissue and Organ Culture*. 78(3), 201-208.
- Kumar, H. A., Murthy, H., & Paek, K. (2003). Embryogenesis and plant regeneration from anther cultures of *Cucumis sativus* L. *Scientia horticulturae*, 98(3), 213-222.
- Mishra, V. K., & Goswami, R. (2014). Haploid production in higher plant. *International Journal of Chemical and Biological Sciences*. 1, 26-45.
- Prasath, D., Natarajan, S., & Thamburaj, S. (1998). Studies on heterosis in eggplant (*Solanum melongena* L.). *South indian horticulture*, 46(3/4), 247-250.
- Rech, E., Ochatt, S., Chand, P., Power, J., & Davey, M. (1987). Electro-enhancement of division of plant protoplast-derived cells. *Protoplasma*, 141(2-3), 169-176.
- Hoveida, Z. S., Abdollahi, M. R., Mirzaie-Asl, A., Moosavi, S. S., & Seguí-Simarro, J. M. (2017). Production of doubled haploid plants from anther cultures of borage (*Borago officinalis* L.) by the application of chemical and physical stress. *Plant Cell, Tissue and Organ Culture*, 130, 369-378
- Sangwan-Norreel, B.S. (1977). Androgenic stimulating factors in the anther and isolated pollen grain culture of *Datura innoxia* Mill. *Journal of Experimental Botany*, 28(4), 842-852.
- Shariatpanahi, M. E., Bal, U., Heberle-Bors, E., & Tourae, A. (2006). Stresses applied for the re-programming of plant microspores towards in vitro embryogenesis. *Physiologia Plantarum*, 127(4), 519-534.
- Sidhu, A., Bal, S., Behera, T., & Rani, M. (2005). An outlook in hybrid eggplant breeding. *Journal of New Seeds*. 6(2-3), 15-29.
- Simmonds, D.H., & Keller, W.A. (1999). Significance of preprophase bands of microtubules in the induction of microspore embryogenesis of *Brassica napus*. *Planta*, 208(3), 383-391.
- Sohrabi, S.; Abdollahi, M.R.; Mirzaie-Asl, A.; Koulaci, H.E.; Aghaezadeh, M.; and Seguí-Simarro J.M. (2021). A refined method for ovule culture in sugar beet (*Beta vulgaris* L.). *Plant cell, tissue and organ culture*, 146, 259–267.
- Song, H., Lou, Q.-F., Luo, X.-D., Wolukau, J. N., Diao, W.-P., Qian, C.-T., & Chen, J.-F. (2007). Regeneration of doubled haploid plants by androgenesis of cucumber (*Cucumis sativus* L.). *Plant cell, tissue and organ culture*, 90(3), 245-254.
- Suprunova, T., & Shmykova, N. (2008). In vitro induction of haploid plants in unpollinated ovules, anther and microspore culture of *Cucumis sativus*. Paper presented at the Cucurbitaceae 2008. Proceedings of the IXth EUCARPIA meeting on genetics and breeding of cucurbitaceae, Avignon. France, 21-24 May 2008.
- Tourae, A., Pfosser, M., & Heberle-Bors, E. (2001). The microspore, a haploid multipurpose cell. *Advances in Botanical Research*, 35, 53-109.
- Tuncer, U.H., & Boztok, K. (1991). The effects of growing greenhouse cucumber seedling in various pot types on the yield. *Fen Bilimleri Enstitusu Dergisi*, 2, 155- 158.
- Vashisth, A., & Nagarajan, S. (2010). Effect on germination and early growth characteristics in sunflower (*Helianthus annuus*) seeds exposed to static magnetic field. *Journal of Plant Physiology*, 167(2), 149-156.
- Zhang, X., Wu, Q., Li, X., Zheng, S., Wang, S., Guo, L., & Custers, J. B. (2011). Haploid plant production in *Zantedeschia aethiopica* 'Hong Gan' using anther culture. *Scientia horticulturae*, 129(2), 335-342.

Spring (2025) 14 (3): 31-41.

DOI: [10.30473/cb.2025.73512.2001](https://doi.org/10.30473/cb.2025.73512.2001)

ORIGINAL ARTICLE

Evaluation of expression changes genes under drought and methanol spraying stress in Rapeseed

Haniyeh Azizii¹, Mohammad Mohsenzadeh Golfazani² , Ali Reza Tarang³, Habibollah Samizadeh Lahiji⁴, Ramin Seighalani⁵

1. M.Sc., Department of Plant Biotechnology, Faculty of Agricultural Sciences, University of Guilan, Rasht, Iran.

2. Associate Professor, Department of Plant Biotechnology, Faculty of Agricultural Sciences, University of Guilan, Rasht, Iran.

3. Associate Professor, Agricultural Biotechnology Research Institute of Iran (ABRII), North Region Branch, Agricultural Research, Education and Extension Organization (AREEO), Rasht, Iran.

4. Professor, Department of Plant Biotechnology, Faculty of Agricultural Sciences, University of Guilan, Rasht, Iran.

5. Instructor, Agricultural Biotechnology Research Institute of Iran (ABRII), North Region Branch, Agricultural Research, Education and Extension Organization (AREEO), Rasht, Iran.

Correspondence:
Mohammad Mohsenzadeh Golfazani
Email:
mohsenzadeh.mohamad@guilan.ac.ir

Received: 21, Jan. 2025

Accepted: 10, May 2025

ABSTRACT

Oil crops are the second largest food reserves in the world after cereals. One of the most important sources of edible oil in the world is rapeseed. Drought stress induces a wide range of molecular disturbances in the physiological processes of plants through the production of reactive oxygen species (ROS). The enzymes antioxidants detoxify stress-induced ROS and modulate signaling responses, playing a crucial role in the tolerance of plants to abiotic stresses. To this end, the expression of glutathione reductase (*GR*), thioredoxin (*TRX*), and glutaredoxin (*GRX*), was assessed in two genotypes of Rapeseed; the sensitive variety (Hyola 308) and the tolerant variety (SLM046) under drought stress (withholding irrigation for 72 hours), a 20% (v/v) methanol spraying treatment, and control conditions (continuous irrigation). This was conducted using the Real-Time PCR technique. Sampling was performed at the 4-6 leaf stage at 0, 8, and 24 hours after the stress was applied. Morphological observations showed that the rapeseed tolerant and sensitive genotypes regained their freshness after spraying methanol under drought stress (interruption of irrigation). The results indicate that the highest increase in glutathione reductase gene expression in the Hyola 308 variety occurred eight hours after the application of stress without methanol treatment. In contrast, the SLM 046 variety exhibited initially low expression levels during the early hours of stress, which increased significantly with methanol treatment, registering almost a fourfold increase. The expression level of the thioredoxin gene in the Hyola 308 variety peaked 8 hours after the drought stress with methanol treatment, indicating that methanol application enhanced gene expression and plant resistance. In the SLM 046 variety, thioredoxin gene expression gradually increased after the application of stress, persisting up to 24 hours post-stress. However, the gene expression initially decreased with methanol treatment but eventually reached its maximum after 24 hours. For glutaredoxin gene expression, the Hyola 308 variety showed lower levels 8 hours after the drought stress without methanol treatment compared to the baseline (0 hours). However, after 24 hours, this expression increased significantly and reached its maximum following methanol treatment at both 8 and 24 hours. Stress-induced ROS production acts as a warning signal that causes the plant to defend and adapt to the stress as the cell attempts to avoid oxidative stress and ROS accumulation. The SLM046 variety, gene expression showed a gradual increase from 0 hours of stress to 24 hours later. The application of methanol initially caused a reduction in glutaredoxin expression, followed by an increase. Methanol produces CO₂, which can partially compensate for the lack of CO₂ resulting from stress in plants and can be used as a carbon source. In general, methanol foliar application increased the gene expression levels in these two genotypes. Therefore, the expression of the desired gene can be affected by investigating and manipulating these main groups, which can undergo further investigations in experimental tests.

KEY WORDS

Glutathione reductase, Relative gene expression, Reactive oxygen species.

How to cite:

Azizii, H., Mohsenzadeh Golfazani, M., Tarang, A.R., Samizadeh Lahiji, H., & Seighalani, R. (2025). Evaluation of expression changes genes under drought and methanol spraying stress in Rapeseed. *Crop Biotechnology*, 14 (3), 31-41.
(DOI: [10.30473/cb.2025.73512.2001](https://doi.org/10.30473/cb.2025.73512.2001))



© 2025, by the author(s). Published by Payame Noor University, Tehran, Iran.

This is an open access article under the CC BY 4.0 license (<http://creativecommons.org/licenses/by/4.0/>).
<https://cropbiotech.journals.pnu.ac.ir/>

زیستفناوری گیاهان زراعی

سال چهاردهم، شماره سوم، پیاپی ۴۹، بهار ۱۴۰۴ (۳۱-۴۱)

DOI: [10.30473/cb.2025.73512.2001](https://doi.org/10.30473/cb.2025.73512.2001)

«مقاله پژوهشی»

ارزیابی تغییرات بیان برخی از ژن‌ها تحت تنش خشکی و متابول‌پاشی در ارقام متتحمل و حساس کلزا

حانیه عزیزی^۱، محمد محسن‌زاده گلفزانی^۲، علیرضا ترنگ^۳، حبیب‌الله سمیع‌زاده لاهیجی^۴، رامین صیقلانی^۵

چکیده

تنش خشکی از طریق تولید گونه‌های اکسیژن فعال موجب طیف وسیعی از اختلالات مولکولی در فرایندهای فیزیولوژیکی گیاهان می‌شود. آنزیمه‌های آنتی اکسیدان ROS‌های ناشی از تنش را سم زدایی می‌کنند و پاسخهای سیگنالینگ را تعديل می‌کنند و نقشی مهم در تحمل به تنش‌های غیرزیستی در گیاهان دارند. بدین منظور بیان ژن‌های گلوتاتیون روکتاز *GR*، تیوردوکسین *TRX*، گلوتاردوکسین *GRX* کلروپلاستی در دو ژنوتیپ گیاه کلزا حساس (Hyola308) و متتحمل (SLM046) در شرایط تحت تنش خشکی (قطع آبیاری به مدت ۷۲ ساعت)، محلول‌پاشی با متابول ۲۰ درصد حجمی و شرایط بدون تنش (آبیاری منظم)، با استفاده از تکنیک Real Time PCR ارزیابی شد. نمونه‌برداری در مرحله ۴ تا ۶ برگی در ۰، ۸ و ۲۴ ساعت پس از اعمال تنش انجام شد. بررسی نتایج شناس دادکه بیشترین افزایش بیان ژن گلوتاتیون روکتاز در ژنوتیپ 308 Hyola308 ساعت صفر پس از تنش بدون تیمار متابول بوده است ولی در ژنوتیپ SLM046 در ساعات اولیه اعمال تنش میزان بیان کم بوده اما با اعمال تیمار متابول میزان بیان افزایش داشت. میزان بیان ژن تیوردوکسین در 308 Hyola در ۸ ساعت پس از اعمال تنش خشکی با تیمار متابول بیشترین مقدار بوده است و به نظر می‌رسد متابول‌پاشی سبب افزایش بیان و تحمل گیاه شده است. در ژنوتیپ 46 نیز میزان بیان ژن پس از اعمال تنش به تدریج افزایش داشته و این افزایش تا ۲۴ ساعت پس از اعمال تنش ادامه داشت. با اعمال تیمار متابول میزان بیان ابتدا کاهش داشته ولی با گذشت ۲۴ ساعت به حداقل میزان خود رسیده است، میزان بیان ژن گلوتاردوکسین در ژنوتیپ 308 Hyola در ۸ ساعت پس از اعمال تنش بدون تیمار متابول نسبت به ساعت صفر تنش کم بوده است. اما پس از گذشت ۲۴ ساعت این میزان بیان افزایش داشته و با اعمال تیمار متابول در ساعات ۸ و ۲۴ به حداقل میزان خود رسیده است. تولید ROS تحت تنش به عنوان یک سیگنال هشدار عمل می‌کند که باعث دفاع و سازگاری گیاه در برابر تنش می‌شود که سلول سعی می‌کند از طریق مسیرهای مختلف از استرس اکسیداتیو و تجمع ROS جلوگیری کند. در 46 SLM میزان بیان از ساعت صفر تنش تا ۲۴ ساعت به تدریج روند افزایشی داشته است، اعمال تیمار متابول نیز ابتدا سبب کاهش و سپس افزایش میزان بیان ژن گلوتاردوکسین شده است. به طور کلی محلول‌پاشی با متابول سبب افزایش میزان بیان ژنهای در این ژنوتیپ شد.

واژه‌های کلیدی

بیان نسبی ژن، گلوتاتیون روکتاز، گونه‌های اکسیژن فعال.

نویسنده مسئول:

محمد محسن‌زاده گلفزانی
mohsenzadeh.mohamad@guiilan.ac.ir
رایانه‌ام:

تاریخ دریافت: ۱۴۰۳/۱۱/۰۲

تاریخ پذیرش: ۱۴۰۴/۰۲/۲۰

استناد به این مقاله:

عزیزی، حانیه؛ محسن‌زاده گلفزانی، محمد؛ ترنگ، علیرضا؛
سمیع‌زاده لاهیجی، حبیب‌الله و صیقلانی، رامین (۱۴۰۴).
ارزیابی تغییرات بیان برخی از ژن‌ها تحت تنش خشکی و
متabol‌پاشی در ارقام متتحمل و حساس کلزا ، *فصلنامه
علمی زیستفناوری گیاهان زراعی*، ۱۴ (۳)، ۳۱-۴۱.
(DOI: [10.30473/cb.2025.73512.2001](https://doi.org/10.30473/cb.2025.73512.2001))



حق انتشار این مستند، متعلق به نویسنده‌ان آن است. ۱۴۰۴. © ناشر این مقاله، دانشگاه پیام نور است.

این مقاله تحت مجوز Creative Commons Attribution (CC BY 4.0) منتشر شده و استفاده از آن با ارجاع صحیح مجاز است.

کلروفیل، آسیب غشاهای تیلاکوئید، کاهش روغن و پروتئین دانه شده است (Ahmar *et al.*, 2019). تیبوردوکسین¹ (TRX) یکی از عوامل تنظیم‌کننده Daloso *et al.*, 2015 که نقشی اساسی در تحمل گیاهان به تنش اکسیداتیو ایفا می‌کند که گیاهان را در مقابله با تنش اکسیداتیو موفق‌تر می‌کند، برای احیا خود از فردوکسین (FTR) یا NADPH استفاده می‌کند و با انتقال الکترون موجب احیای ردوکتاژها جهت سزم‌زادایی هیدروکسی پراکسیدازها چربی و ترمیم پروتئین اکسید شونده می‌شوند (Meyer *et al.*, 2009). افزایش بیان² NTR آراییدوپسیس افزایش تحمل به تنش‌های خشکی و فتوکسیداتیو را سبب شد براین اساس افزایش بیان NTR حفظ هموستازی گونه‌های فعال اکسیژن تحت شرایط تنش کمک می‌کند (Kim *et al.*, 2017). مطالعه ژنمی (Kim *et al.*, 2017) نشان داد که تحت شرایط تنش زیستی و غیرزیستی، برنج نشان دارد که در بیان ژن TRX وجود دارد تفاوت معنی‌داری در بیان ژن Grxs (Mignolet-Spruyt *et al.*, 2016) پایدار در برابر حرارت، غنی از سیستئین و مولکولی پروتئین‌هایی با جرم کم (۱۵-۱۰ کیلو دالتون) هستند که ردوکس سلولی و سیگنالینگ تنظیم شده ردوکس را تنظیم می‌کنند. Grxs ها وابسته به گلوتاتیون هستند، که ممکن است فعالیت پروتئین را با NADPH و glutathionylation گلوتاتیون ردوکتاژ تعديل کنند (Meyer *et al.*, 2012). گلوتاتیون ردوکتاژ (GR)، آخرین آنزیم چرخه آسکوربات/گلوتاتیون نیز نقش مهمی در سازگاری با تنش اکسیداتیو بازی می‌کند. در چرخه‌های گرانتوفیل، مهله و آسکوربات و در جمع آوری پراکسید هیدروژن و حفظ GSH ایفای نقش می‌کند لذا افزایش در میزان فعالیت این ژن در احیا مجدد گلوتاتیون اکسید شده دارای اهمیت است (Sairam *et al.*, 2002). حفظ مخزن گلوتاتیون درون سلولی در حالت کاهش یافته برجسته‌ترین نقش این آنزیم است که می‌تواند با حذف اکسیژن منفرد، سوپراکسید

مقدمه

کلزا با نام علمی *Brassica napus* L. گیاهی یکساله، آلوترابلوئید با ۱۹ جفت کروموزوم ($2n=38$) و مهم‌ترین گونه زراعی خانواده براسیکاسه است که تلاقی دو گونه دیپلولوئید *Brassica oleracea* و *Brassica rapa* برابر شدن کروموزوم‌های هیبرید آن‌ها به وجود آمده است. این گیاه سومین گیاه روغنی در جهان به حساب می‌آید که برای مصارف خوراکی کشت می‌شود. روغن کلزا در مقایسه با سایر روغن‌های خوراکی به دلیل وجود اسیدهای چرب اشباع نشده و فقدان کلسترول از کیفیت بالایی برخوردار است (Tan *et al.*, 2017). کنجاله کلزا نیز که محصول جانی استخراج روغن است، به دلیل محتوای پروتئین بالا (۵۰ درصد) برای خوراک دام استفاده می‌شود و در تولید جهانی بعد از کنجاله سویا در رتبه دوم قرار دارد (Elferjani and Soolanayakanahally, 2018). گرفتن در معرض یک تنش خاص توسط گونه‌های گیاهی متحمل به تنش منجر به ایجاد مقاومت با گذشت زمان در برابر یک تنش خاص می‌شود (Fahad *et al.*, 2017). تنش غیر زیستی یک عامل محیطی است که در نتیجه تغییرات تنش فیزیکی یا شیمیایی بر گیاهان وارد می‌شود (Fich *et al.*, 2016). بنابراین برای بقا در شرایط تنش، مکانیسم‌های پیچیده‌ای در گیاهان تکامل یافته است تا محرک‌های محیطی را درک کرده و از طریق مسیرهای انتقال سیگنال، پیام‌ها را مخابره و به تنش‌های گوناگون پاسخ دهد که در هر یک از این مسیرها پروتئین‌های متعددی در گیر می‌باشند (Sami and Alemzadeh, 2016). کلزا به تنش‌های غیرزیستی متعدد حساس است (Elferjani and Soolanayakanahally, 2018). خشکی، شوری، دماهای شدید و سمتی کادمیوم شایع‌ترین تنش‌های غیرزیستی هستند که بر رشد و نمو *B. napus* تأثیر می‌گذارند. شرایط خشکی باعث تولید و تجمع گونه‌های فعال اکسیژن می‌شود که منجر به اختلال غشاء، اختلال عملکرد آنزیم و اکسیداسیون و تخریب پروتئین‌ها می‌شود (Tsugane *et al.*, 1999). نشان داده شده است که خشکی در کلزا منجر به کاهش فتوستتر، کاهش زیست توده گیاهی، کاهش محتوای

1. Thioredoxin

2. NADPH-dependent thioredoxin reductase

2022; Ramezanzadeh Bishegahi *et al.*, 2021; Taghvimi *et al.*, 2024) با توجه به اثرات اثبات شده محلول‌پاشی متابول و اهمیت آنزیم‌های آنتی اکسیدان در جلوگیری از استرس اکسیدانتیو، مطالعه فوق به منظور بررسی برخی ژنهای مسیر پپرورودکسین در گیاه کلزا انجام شد.

مواد و روش‌ها

این پژوهش در آزمایشگاه بیوتکنولوژی دانشکده کشاورزی دانشگاه گیلان و پژوهشگاه بیوتکنولوژی شمال کشور در سال ۱۴۰۲ انجام شد. در پژوهش حاضر از دو ژنوتیپ کلزا Hyola308 و SLM046 به ترتیب به عنوان ژنوتیپ‌های متتحمل و حساس به خشکی استفاده شد (Mirzai *et al.*, 2013; Mohammad Mohsenzadeh Golfazani *et al.*, 2016; Pasandideh *et al.*, 2018). پس از تهیه بذر رخت ژنوتیپ‌های از موسسه تحقیقات و اصلاح نهال و بذر کرج ضد عفونی بذرها با هیپوکلریت سدیم ۲/۵ درصد انجام شد. پروسه جوانه زنی در اتاقک کشت با دمای 23 ± 2 درجه انجام و بعد از گذشت شش روز، بذور جوانه‌زده در گلدان کشت شدند و به اتاقک کشت تحت شرایط کنترل شده (23 ± 2) درجه سانتیگراد (نسبت طول دوره روشنایی به تاریکی ۱۶:۸) منتقل و مراقبت شدند. حساس و متتحمل بودن، تنش خشکی و متابول‌پاشی و زمان به عنوان عوامل آزمایش در نظر گرفته شدند، آزمایش در قالب طرح فاکتوریل به صورت کاملاً تصادفی و در سه تکرار و سه سطح شاهد (آبیاری منظم با آب مقطر)، تنش خشکی (قطع آبیاری) و محلول‌پاشی با متابول ۲۰ درصد حجمی صورت گرفت. نمونه‌برداری از برگ‌های کاملاً توسعه یافته گیاه کلزا در مرحله رویشی (در مرحله ۴ تا ۶ برگی)، در زمان‌های ۰، ۸ و ۲۴ ساعت بعد از تیمار متابول (۲۰ درصد حجمی) از گیاهان شاهد و حساس که به طور مرتب آبیاری شده است و گیاهانی تحت تیمار تنش خشکی بودند و گیاهانی که ابتدا تحت تنش خشکی بودند و گیاهانی که ابتدا تحت تنش خشکی قرار گرفته و سپس با متابول ۲۰٪ محلول‌پاشی شده بودند صورت گرفت (Mohammad Mohsenzadeh Golfazani *et al.*, 2022) نمونه‌های برگی در فویل آلومینیومی با ضخامت متوسط قرار داده شدند، برای قطع فعالیت‌های متابولیکی درون گیاه،

یا حتی رادیکال‌های هیدروکسیل، یا به طور غیرمستقیم به عنوان یک عامل احیا کننده که اسید اسکوربیک را از شکل اکسید شده به شکل احیا شده آن، توسط آنزیم Noctor and دهیدروآسکوربات ردوکتاز بازیافت کند (Foyer, 1998). با توجه به دو آنزیم اصلی مسیر مهار آسکوربات/گلوتاتیون، نشان داده شد که فعالیت *GR* در طول تنش خشکی در پنبه، گیاهچه گندم، لوبيا، خزه افزایش می‌یابد (Cruz de Carvalho, 2008).

مقاومت به خشکی صفت پیچیده‌ای است که بروز آن بستگی به برهمکنش میان صفات مختلف مورفولوژیکی و بیوشیمیایی دارد. مکانیزم‌های ژنتیکی کنترل کننده این صفات چندان شناخته شده نیستند. دستیابی به درکی درست از نحوه پاسخ گیاهان در سطح ژن به تنش خشکی برای نگهداری محصول و بهبود تولید از ضروریات است. تنش خشکی عامل مختل کننده فرآیندهای زیستی و فیزیولوژیک در گیاه است (Ober, 2001). اثر خشکی اختلال فتوشیمیائی در فتوسیستم II را سبب شده و بازدارندگی در انتقال الکترون را سبب می‌شود (Lu *et al.*, 2002)، بعلاوه مضاف بر محدودیت فرآیندهای نوری ورود دی اکسید کربن کاهش یافته و انتقال الکترون در اثر محدودیت CO_2 کاهش می‌یابد و قدرت تثییت کربن محدود می‌شود (Bryk *et al.*, 2000). افزایش در میزان Zbieć دی اکسید کربن اثر تنش خشکی را خنثی می‌کند (et al., 2003). محلول‌پاشی متابول و ترکیباتی از این قبیل همراه با کاربرد آمینواسیدهای گلایسین گلوتامات و اسپارتات از جمله راهکارهایی است که منجر به افزایش در میزان غلظت دی اکسید کربن می‌شود (Nonomura and Benson, 1992). متابول افزایش در میزان هدایت روزنها، کاهش دمای برگ، کاهش در میزان تعرق و افزایش شاخص دوام برگ را سبب می‌شود (Makhdum et al., 2002). به این دلیل که متابول در گیاه جذب می‌شود و به دلیل اندازه کوچکتر متابول به CO_2 به سرعت به CO_2 در بافت گیاه متابولیزه می‌شود (Gout et al., 2000). استفاده از متابول در کلزا و اثرات آن روی تغییر میزان بیان ژن در مطالعات قبلی گزارش شده است Mohammad Mohsenzadeh Golfazani *et al.*,)

برای اطمینان از عملکرد اختصاصی آغازگرها و همچنین بهترین دمای اتصال به cDNA سنتر شده، واکنش PCR با استفاده از دستگاه ترموسایکلر Bio-Rad (ساخت امریکا) و به صورت شیب دمایی انجام شد. برای Real-Time PCR واقنش qRT-PCR از دستگاه Real Q Plus 2x Master (BIORAD-IQ5) و کیت (Mix Green without Rox) (ساخت شرکت Thermo Scientific, Nanodrop, 2000C USA) استفاده شد که برای هر ژن، سه تکرار بیولوژیکی و سه تکرار تکنیکی در نظر گرفته شد. Real time PCR نیز از شرکت سیناکلون تهیه شدند. واکنش PCR در حجم ۱۵ میکرولیتر انجام گردید. مخلوط واکنش شامل ۷/۵ میکرولیتر Mix ۰/۳ Master Mix میکرولیتر از هر کدام آغازگرهای رفت و برگشت و ۴/۹ میکرولیتر O ddH₂O سپس با اضافه کردن ۲ میکرولیتر از cDNA مورد نظر با هم مخلوط شدند. برای واکنش کنترل منفی (NTC) همه مواد ذکر شده بدون cDNA به کار رفت. چرخه حرارتی مورد استفاده شامل سه دقیقه واسرشته سازی اولیه در ۹۵ °C، سپس ۴۰ چرخه به صورت ۳۰ ثانیه واسرشته سازی در ۹۵ °C، ۳۰ ثانیه مرحله اتصال آغازگر در دمای Tm بسته به آغازگر متفاوت بود، جدول ۱ به دست آمده از روش کمیت سنجی با استفاده از مدل ریاضی ۳^{ΔΔCT} استفاده شد که ابتدا چرخه آستانه برای نمونه های مختلف با استفاده از ژن مرجع، نرمال سازی شد و سپس تفاوت نسبی در میزان بیان ژن های هدف با استفاده روش (Livak and Schmittgen, 2001) و همکاران (Livak and Schmittgen, 2001) متحاسبه شد.

نمونه ها ابتدا در نیتروژن مایع منجمد شده و سپس سریعاً به فریزر -۸۰ - منتقل شدند تا جهت بررسی میزان بیان نسبی ژن های مورد مطالعه مورد استفاده قرار گیرند. برای استخراج RNA از کیت ستونی استخراج RNA شرکت دنا زیست و طبق دستورالعمل شرکت سازنده استفاده شد. برای حذف DNA از RNA استخراج شده از DNase استفاده شد. جهت بررسی کمیت و خلوص RNA استخراج شده از دستگاه نانودرایپ مدل Thermo Scientific, Nanodrop, 2000C USA امیریکا) استفاده شد. برای تعیین کیفیت RNA استخراج شده از ژل الکتروفورز ۱ درصد استفاده شد. از آنجایی که نمونه های استخراج شده هر کدام دارای غلظت های متفاوتی بودند، جهت جلوگیری از خطأ، غلظت همه نمونه ها به ۵۰ نانوگرم رسانیده شد. سنتز cDNA با دستورالعمل کیت سنتز The Thermo Scientific™ RevertAid™ First Strand cDNA Synthesis Kit RevertAid Reverse Transcriptase و به کمک آنزیم (RT) انجام شد. ارزیابی صحت سنتز با استفاده از آغازگرهای ژن اکتین برای تمامی نمونه ها انجام شد. تشکیل باندها در محدوده ۱۵۷ bp نشان دهنده تکثیر توالی مورد نظر توسط آغازگرهای ژن اکتین است. جهت بررسی میزان بیان نسبی ژن های مورد مطالعه با time PCR، توالی ژن های GRX و TRX و ژن GRX اکتین از پایگاه NCBI تهیه شد و طراحی آغازگرهای مناسب هر ژن با استفاده از برنامه Primer 3 (http://Primer3.ut.ee). توالی آغازگرها و صورت گرفت آغازگرها و همکاران (Livak and Schmittgen, 2001) اندازه قطعه تکثیری حاصل از واکنش هر ژن در جدول ۱ نمایش داده شده است.

جدول ۱. لیست توالی و خصوصیات آغازگرهای مورد استفاده در این مطالعه
Table 1. The sequence and characteristics of the primers used in this study

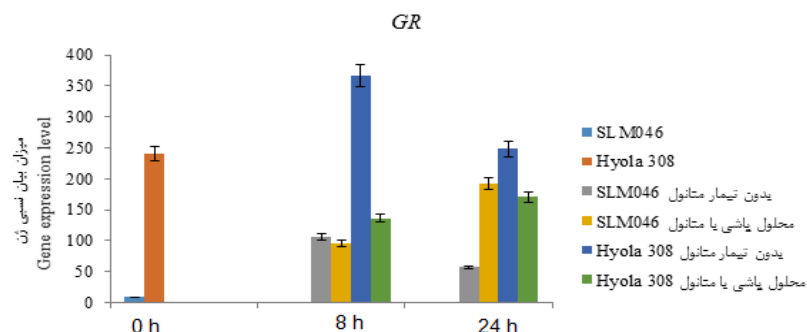
نام Gens	توالی آغازگر Primer sequence	دماي اتصال Annealing temperature (°C)	اندازه تکثیر PCR production length	شماره دسترسی NCBI accession number
Actin(F)	TCCCCGAGTATGGTGGTCGT	54	157	AF111812
Actin(R)	TCCATGTCATCCCAGTTGCT			
TRX(F)	CTTGCGCTTCATTGCACCT	61	159	U59379
TRX(R)	CGAGCTTCTTCGCCCTTC			
GR(F)	GGTGGTGAACCTGAGGATGC	61	153	XM_013892271
GR(R)	CAACTTCACAGCACGATTG			
GRX(F)	CTGCCAGTCCACTCAGATA			
GRX(R)	TTCCTGTATCCGTCCACCAC	60	160	XM_013805747

ساعت پس از اعمال تنش روند نزولی (۲۴۸ برابر) در پیش گرفته است، و این روند نزولی با اعمال متانول نیز همچنان ادامه داشته است. بطور کلی می‌توان گفت بیشترین میزان بیان ژن گلوتاتیون ردوکتاز مربوط به ژنوتیپ Hyola308 پس از اعمال تنش بدون تیمار متانول است که با گذشت زمان و همچنین اعمال تیمار متانول کاهش (۷۰ برابر) یافته است. تغییر میزان بیان ژن گلوتاتیون ردوکتاز در پژوهش قبلی نیز گزارش شده بود (Mohammad Mohammadzadeh Golfazani *et al.*, 2022).

گلوتاتیون ردوکتاز یکی از آنزیم‌های بالقوه سیستم آنتی اکسیدانی آنزیمی است که وضعیت کاهش یافته GSH را از طریق مسیر آسکوربات-گلوتاتیون حفظ می‌کند و نقش حیاتی در حفظ گروه سولفیدریل (SH-) دارد و به عنوان GR-ترانسفرازها مشخص شده است و در تاریخته‌ها برای ایجاد تحمل گیاهان در برابر استرس اکسیداتیو استفاده شده است. در شرایط خشکی، گیاهان می‌توانند روزنه‌های خود را برای حفظ تعادل آب بینند که در این حالت کاهش در میزان تثبیت CO₂ رخ می‌دهد که ناشی از کاهش و کاهش بیش از میزان Hernandez (et al., 2000) در زنجیره انتقال الکترون سیکل کالوین است (در کلروپلاست تحت این شرایط تولید می‌شود. همچنین مسیر نوری تنفسی هنگامی که اکسیژن‌رسانی RuBP به حداقل می‌رسد به دلیل محدودیت در تثبیت CO₂ افزایش می‌یابد (Noctor and Foyer, 1998).

نتایج و بحث

نتایج بیان ژن گلوتاتیون ردوکتاز در دو ژنوتیپ Hyola308 و SLM046 که تحت تنش خشکی و تحت تیمار متانول قرار گرفته در شکل ۱ نشان داده شد. میزان بیان در ساعت اولیه اعمال تنش (صفر تنش) در ژنوتیپ SLM046 به شدت کم بوده است، اما با گذشت زمان و پس از گذشت ۸ ساعت اعمال تنش بدون محلول پاشی متانول، میزان بیان نسبت به ساعت صفر افزایش داشته است (۱۰۵ برابر) ولی به تدریج روند نزولی در پیش گرفته و با گذشت ۲۴ ساعت پس از اعمال تنش بدون متانول پاشی میزان بیان نسبت به ساعت ۸ کاهش یافته (۵۶ برابر) اما هم چنان نسبت به ساعت صفر بیشتر می‌باشد. متانول پاشی نیز باعث افزایش بیان ژن گلوتاتیون ردوکتاز شده، بطوریکه پس از گذشت هشت ساعت از تیمار متانول (۹۵ برابر) میزان بیان نسبت به حالت تنش بدون متانول افزایش داشته و با گذشت زمان در ۲۴ ساعت پس از تیمار متانول به بیشترین مقدار خود (۱۹۱ برابر) رسیده است. بطور کلی می‌توان گفت در ژنوتیپ متاحمل (SLM046) در ساعات اولیه میزان بیان کم بوده اما با اعمال تیمار متانول میزان بیان افزایش داشته است. بنظر می‌رسد متانول سبب بهبود عملکرد این ژنوتیپ با افزایش بیان ژن گلوتاتیون ردوکتاز شده است. میزان بیان ژن GR در ژنوتیپ حساس (Hyola308) در ساعت اولیه اعمال تنش (ساعت صفر تنش) افزایش داشته (۲۴۰ برابر) و با گذشت زمان در ۸ ساعت پس از تیمار بدون متانول پاشی این میزان بیان به بیشترین حد خود رسیده است (۳۶۶ برابر) و با گذشت ۲۴



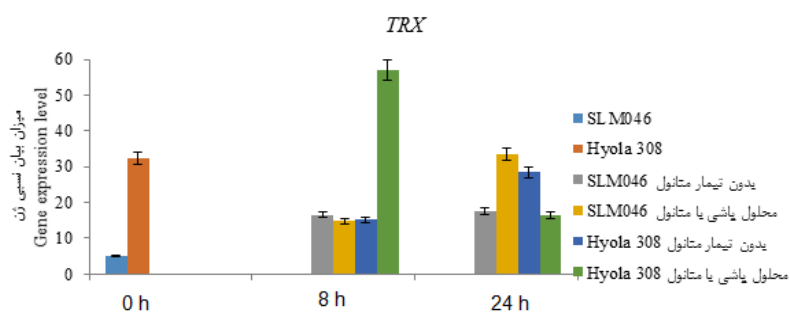
شکل ۱. الگوی بیان ژن GR با روش Real time PCR تحت تنش خشکی و تیمار متانول در گیاهچه‌های SLM046 و Hyola308

Figure 1. Expression pattern GR gene using real-time qPCR under drought stress and methanol foliar application in seedling SLM046 and Hyola308

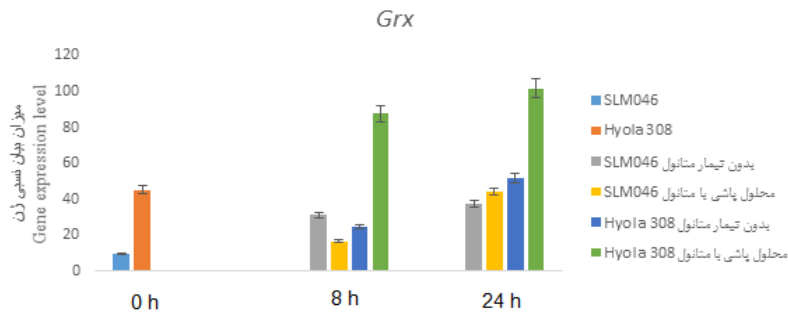
متانول پاشی سبب افزایش بیان و مقاومت در این ساعت شده است. تغییر میزان بیان ژن تیوردوکسین در Vahedi *et al.*, (2019) مطالعه ژنومی برنج نشان داد که تحت شرایط تنش زیستی و غیرزیستی، تفاوت معنی داری در بیان ژن *TRX* وجود دارد (Nuruzzaman *et al.*, 2012). تیوردوکسین یکی از عوامل تنظیم کننده اصلی برای چرخه تری کربوکسیلیک اسید است (Daloso *et al.*, 2015) که نقشی اساسی در تحمل گیاهان به تنش اکسیداتیو ایفا می کند که گیاهان را در مقابله با تنش اکسیداتیو موفق تر می کند، برای احیا خود از فردودکسین (*FTR*) یا NADPH استفاده می کند و با انتقال الکترون موجب احیای ردوکتازها جهت سم زدایی هیدروکسی پراکسیدازها چربی و ترمیم پروتئین اکسید شونده می شوند (Meyer *et al.*, 2012). افزایش بیان *NTR* در آراییدوپسیس افزایش تحمل به تنش های خشکی و فتوکسیداتیو را سبب شد در این مطالعه این نتیجه حاصل شد که افزایش بیان *NTR* به حفظ هموستازی گونه های فعال اکسیژن تحت شرایط تنش کمک می کند (Kim *et al.*, 2017).

میزان بیان ژن گلوتاردوکسین در ژنوتیپ متحمل SLM046 در ساعت اولیه اعمال تنش خشکی کم بوده است (۹ برابر) اما پس از گذشت ۸ ساعت از اعمال تنش خشکی بدون تیمار متانول این میزان بیان افزایش داشته (۳۱ برابر) و تا ساعت ۲۴ نیز به روند افزایشی خود (۳۷ برابر) ادامه داده است (شکل ۳).

طبق شکل ۲ میزان بیان ژن تیوردوکسین در ژنوتیپ متحمل SLM046 در ساعت اولیه تنش (صفراً تنش) پایین بوده است (۵ برابر)، با گذشت زمان در ۸ ساعت بدون تیمار متانول به تدریج میزان بیان افزایش یافته (۱۶ برابر) و این افزایش تا ساعت در ۲۴ ساعت بدون تیمار متانول همچنان ادامه داشته است (۱۷ برابر). سپس ۸ ساعت پس از تیمار متانول میزان بیان ابتداء اندکی کاهش داشته (۱۴ برابر) و با گذشت زمان در ۲۴ ساعت پس از متانول پاشی به حداکثر میزان خود (۳۳ برابر) رسیده است. بطور کلی می توان گفت در ژنوتیپ متحمل در ابتداء تنش میزان بیان ژن تیوردوکسین کم بوده و به تدریج با تیمار متانول پاشی میزان بیان به حداکثر میزان خود رسیده است و می توان گفت متانول سبب افزایش مقاومت این ژنوتیپ کلزا در Hyola308 میزان بیان در ساعت اولیه اعمال تنش (صفرتنش) نسبت به ژنوتیپ متحمل بیشتر بوده است (۳۲ برابر)، با گذشت در ۸ ساعت پس از تنش بدون متانول میزان بیان نسبت به ساعتها اولیه کاهش داشته (۱۵ برابر) و پس از گذشت ۸ ساعت پس از تنش با تیمار متانول به بیشترین میزان خود رسیده است (۵۶ برابر) و پس از گذشت ۲۴ ساعت از تنش با تیمار متانول میزان بیان کاهش یافته (۱۶ برابر) و حتی از ساعت صفر تنش نیز کمتر می شود. بطور کلی می توان گفت بیشترین میزان بیان ژن *TRX* در ژنوتیپ حساس مربوط به تیمار ۸ ساعت پس از اعمال تنش با متانول می باشد و



شکل ۲. الگوی بیان ژن *TRX* با روش Real Time PCR تحت تنش خشکی و تیمار متانول در گیاهچه های SLM046 و Hyola308
Figure 2. Expression pattern *TRX* gene using real-time qPCR under drought stress and methanol foliar application in seedling SLM046 and Hyola308.



شکل ۳. الگوی بیان ژن *GRX* با روش Real Time PCR تحت تنش خشکی و تیمار متابول در گیاهچه های SLM046 و Hyola308
Figure 3. Expression pattern GRX gene using real-time qPCR under drought stress and methanol foliar application in seedling SLM046 and Hyola308.

به تنش ایفا می کند (Belin *et al.*, 2015). در آزمایش دیگری انتقال ژن *GRX* به آرایدوبسیس سبب افزایش مقاومت گیاه به سرما شد (Hu *et al.*, 2015). در پژوهش حاضر در ساعت ۲۴ پس از اعمال تنش بدون تیمار متابول میزان بیان در ژنوتیپ Hyola308 مجدد افزایش داشته (۵۱ برابر) و با اعمال تیمار متابول نیز به بیشترین میزان خود رسیده است (۱۰۱ برابر). بیشترین میزان بیان ژن گلوتاردوکسین در ژنوتیپ حساس و ۲۴ ساعت پس از اعمال تنش با تیمار متابول و کمترین مقدار بیان مربوط به ساعت صفر تنش در ژنوتیپ متتحمل بوده است. تغییر میزان بیان ژن گلوتاردوکسین در پژوهش قبلی نیز گزارش شده بود (Vahedi *et al.*, 2019).

نتیجه گیری نهایی

مشاهدهات مورفولوژیکی در این پژوهش نشان داد که هر دو ژنوتیپ متتحمل و حساس گیاهان کلزا، طراوت خود را پس از محلول پاشی متابول تحت تنش قطع آبیاری به دست آوردند. تنش خشکی طیف گسترده‌ای از پاسخ‌های گیاهی را از سطح فیزیولوژیکی تا مولکولی تحریک می‌کند و سبب افزایش تولید گونه‌های فعل اکسیژن در بخش‌های مختلف سلولی مانند کلروپلاست‌ها و میتوکندری‌ها می‌شود. تولید ROS تحت تنش به عنوان یک سیگنال هشدار عمل می‌کند که باعث دفاع و سازگاری گیاه در برابر تنش می‌شود که سلول سعی می‌کند از استرس اکسیداتیو و تجمع ROS جلوگیری کند. میزان بیان ژن گلوتاتیون ردوکتاز در ساعت ۸ تنش بدون

محلولپاشی با متابول ابتدا سبب کاهش (۱۶ برابر) و سپس افزایش بیان ژن گلوتاردوکسین شده است (۴۴ برابر). بطور کلی می‌توان گفت اعمال تنش متابول سبب افزایش بیان ژن گلوتاردوکسین در ژنوتیپ متتحمل کلزا شده است. میزان بیان ژن *GRX* در ژنوتیپ حساس Hyola308 در ساعت صفر تنش نسبت به ژنوتیپ متتحمل بیشتر بوده است (۴۵ برابر) اما پس از گذشت ۸ ساعت پس از اعمال تنش بدون تیمار متابول میزان بیان کاهش داشته و کمتر از ساعت صفر تنش است (۲۴ برابر) و پس از تیمار متابول در همین ساعت به میزان ۸۷ برابر رسید.

گلوتاردوکسین‌ها (GRXs) آنزیم‌های کلیدی تیول (thiol) هستند. آن‌ها به عنوان آنزیم‌های احیاکننده متابولیکی و سیستم‌های جاروب ROS عمل می‌کنند. همچنین تغییرات احیا پس از رونویسی در پروتئین‌ها را بر پایه تیول تنظیم می‌کنند. گلوتاردوکسین و تیوردوکسین گروه‌های اصلی ردوکتازهای تیول هستند (Meyer *et al.*, 2012). گلوتاردوکسین‌ها با استفاده از NADPH گلوتاتیون ردوکتار (GR) و گلوتاتیون (GSH) احیا می‌یابند (Holmgren and Aslund, 1995). گلوتاردوکسین در بسیاری از عملکردهای متابولیکی از جمله کترول برنامه‌های رشد گیاهان و نقش مولکول‌های علامت دهنده کلیدی در پاسخ به تنش‌های زیستی و غیرزیستی نقش دارند (Rouhier *et al.*, 2004; Nicolas Rouhier, 2005 and Jacquot, 2005). بررسی پروفایل بیان ژنی در آرایدوبسیس با اعمال تنش‌های زیستی و غیرزیستی مختلف نشان داد که ژن *GRX* نقش مهمی را در مقاومت

متنالو مشهود بود، به طوری که بیان ژن *GRX* در ساعت‌های مختلف به‌ویژه پس از ۲۴ ساعت، افزایش یافت (۴۴ برابر). این افزایش می‌تواند بهبود مقاومت به تنش را در این ژنتیپ تقویت کند. در ژنتیپ حساس، اگرچه بیان ژن *TRX* نیز تحت تأثیر تیمار متنالو قرار گرفت، اما این ژنتیپ نتوانست به مدت زمان طولانی‌تر این بیان را حفظ کند که نشان‌دهنده ضعف‌های موجود در سیستم‌های دفاعی این ژنتیپ در مقایسه با ژنتیپ متحمل بود. به طور کلی، یافته‌های این تحقیق حاکی از آن است که تیمار متنالو می‌تواند به عنوان یک محرک مؤثر در بهبود بیان ژن‌های آنتی‌اکسیدانی در گیاهان عمل کند، به خصوص در ژنتیپ‌های متتحمل که می‌توانند از این افزایش بیان برای مقابله با تنش‌های محیطی بهره‌برداری کنند. این مطالعه می‌تواند راهنمایی برای برنامه‌های به نژادی در زمینه تلاش برای افزایش مقاومت گیاهان به تنش‌های محیطی با استفاده از ترکیبات شیمیایی باشد. در نهایت، این نتایج بر اهمیت انتخاب ژنتیپ‌های متتحمل در کشت گیاهان تأکید می‌کند تا در شرایط متغیر و نامطلوب محیطی، عملکرد و پایداری تولیدات کشاورزی افزایش یابد. به طور کلی به نظر می‌رسد متنالو سبب تولید CO_2 می‌شود که تا حدی می‌تواند کمی CO_2 حاصل از تنش را در گیاهان جبران کند و به عنوان منبع کربن استفاده شود.

تعارض منافع

هیچ‌گونه تعارض منافع توسط نویسندها وجود ندارد.

References

- Ahmar, S., Liaqat, N., Hussain, M., Salim, M. A., Shabbir, M. A., Ali, M. Y., ... Rizwan, M. (2019). Effect of abiotic stresses on *Brassica* species and role of transgenic breeding for adaptation. *Asian J. Res Crop Sci*, 3(1), 1-10.
- Belin, C., Bashandy, T., Cela, J., Delorme, □ Hinoux, V., Riondet, C., & Reichheld, J. (2015). A comprehensive study of thiol reduction gene expression under stress conditions in *A. rabiensis*. *Plant, Cell & Environment*, 38(2), 299-314.
- Bryk, R., Griffin, P., & Nathan, C. (2000). Peroxynitrite reductase activity of bacterial peroxiredoxins. *Nature*, 407(6801), 211-215.

متنالو پاشی (۳۶۶ برابر)، ژن *TiVDR* کسین در ۸ ساعت پس از محلول‌پاشی متنالو (۵۶ برابر) و ژن *GLO1* در ۲۴ ساعت پس از محلول‌پاشی متنالو (۱۰۱ برابر) در ژنتیپ Hyola308 دارای بیشترین میزان بیان بود. در ژنتیپ SLM046 میزان بیان هر سه ژن *GLO1* کسین در ۲۴ ساعت پس از ردیکتاز، *TiVDR* کسین، *GLO1* کسین در ۲۴ ساعت پس از محلول‌پاشی نسبت به ساعت‌های افزایش پیدا کرد و به طور کلی محلول‌پاشی با متنالو سبب افزایش میزان بیان ژن‌های در این ژنتیپ شد. نتایج نشان‌دهنده بیان بالای ژن‌های *GRX* و *TRX* در ژنتیپ حساس Hyola308 در ساعت صفر تنش بود (به ترتیب ۴۵ و ۳۳ برابر). این بیان در ابتدا ممکن است به دلیل پاسخ سریع به تنش باشد، اما پس از گذشت ۸ ساعت تحت تنش بدون تیمار متنالو، میزان بیان به طور قابل توجهی کاهش یافت (ژن‌های *GRX* و *TRX* به ترتیب ۲۴ و ۱۵ برابر)، که نمایانگر عدم توانایی این ژنتیپ در حفظ سطح بیان ژن در شرایط طولانی‌مدت است. در مقابل، ژنتیپ متتحمل SLM046 بیان ژن *GR* را در شرایط مشابه به میزان پایینی نشان داد (۸ برابر)، اما پس از محلول‌پاشی متنالو در ساعت ۸ بیان این ژن به طور قابل توجهی افزایش یافت (۹۵ برابر) و در ساعت ۲۴ (۱۹۱ برابر) به اوج خود رسید. این نشان می‌دهد که ژنتیپ متتحمل قادر به تطبیق با تنش و فعال‌سازی پاسخ‌های دفاعی مؤثر در مقایسه با ژنتیپ حساس است. با توجه به تأثیرات مثبت تیمار متنالو، مشخص شد که این ترکیب می‌تواند به طور قابل توجهی موجب افزایش بیان ژن *GLO1* کسین در هر دو ژنتیپ گردد. در ژنتیپ متتحمل، پاسخ به تنش و تیمار

- Cruz de Carvalho, M. H. (2008). Drought stress and reactive oxygen species: production, scavenging and signaling. *Plant signaling & behavior*, 3(3), 156-165.
- Daloso, D. M., Müller, K., Obata, T., Florian, A., Tohge, T., Bottcher, A., ... Nunes-Nesi, A. (2015). Thioredoxin, a master regulator of the tricarboxylic acid cycle in plant mitochondria. *Proceedings of the National Academy of Sciences*, 112(11), E1392-E1400.
- Elferjani, R., & Soolanayakanahally, R. (2018). Canola responses to drought, heat, and combined stress: shared and specific effects on carbon assimilation, seed yield, and oil composition. *Frontiers in Plant Science*, 9, 1224.

- Fahad, S., Bajwa, A. A., Nazir, U., Anjum, S. A., Farooq, A., Zohaib, A., ... Saud, S. (2017). Crop production under drought and heat stress: plant responses and management options. *Frontiers in Plant Science*, 8, 1147.
- Fich, E. A., Segerson, N. A., & Rose, J. K. (2016). The plant polyester cutin: biosynthesis, structure, and biological roles. *Annual Review of Plant Biology*, 67(1), 207-233.
- Gout, E., Aubert, S., Bligny, R., Rébeillé, F., Nonomura, A. R., Benson, A. A., & Douce, R. (2000). Metabolism of methanol in plant cells. Carbon-13 nuclear magnetic resonance studies. *Plant physiology*, 123(1), 287-296.
- Hernandez, L., Pellegrini, C., & Malla, L. (2000). Effect of foliar applications of methanol on growth and yield of sunflower (*Helianthus annuus* L.). *Int. J. Exp. Bot.*, 66(2000), 1-8.
- Holmgren, A., & Aslund, F. (1995). Glutaredoxin. *Methods in enzymology*, 252, 283-292. Elsevier.
- Hu, Y., Wu, Q., Sprague, S. A., Park, J., Oh, M., Rajashekhar, C., ... Hirschi, K. D. (2015). Tomato expressing *Arabidopsis* glutaredoxin gene AtGRXS17 confers tolerance to chilling stress via modulating cold responsive components. *Horticulture Research*, 2.
- Kim, M. R., Khaleda, L., Jung, I. J., Kim, J. Y., Lee, S. Y., Cha, J.-Y., & Kim, W.-Y. (2017). Overexpression of chloroplast-localized NADPH-dependent thioredoxin reductase C (NTRC) enhances tolerance to photo-oxidative and drought stresses in *Arabidopsis thaliana*. *Journal of Plant Biology*, 60, 175-180.
- Livak, K. J., & Schmittgen, T. D. (2001). Analysis of relative gene expression data using real-time quantitative PCR and the $2^{-\Delta\Delta CT}$ method. *methods*, 25(4), 402-408.
- Lu, Q., Lu, C., Zhang, J., & Kuang, T. (2002). Photosynthesis and chlorophylla fluorescence during flag leaf senescence of field-grown wheat plants. *Journal of plant physiology*, 159(11), 1173-1178.
- Makhdom, I., Nawaz, A., & Shabab, M. (2002). Physiological response of cotton to methanol foliar application.
- Meyer, Y., Belin, C., Delorme-Hinoux, V., Reichheld, J.-P., & Riondet, C. (2012). Thioredoxin and glutaredoxin systems in plants: molecular mechanisms, crosstalks, and functional significance. *Antioxidants & redox signaling*, 17(8), 1124-1160.
- Meyer, Y., Buchanan, B. B., Vignols, F., & Reichheld, J.-P. (2009). Thioredoxins and glutaredoxins: unifying elements in redox biology. *Annual review of genetics*, 43(1), 335-367.
- Mignelet-Spruyt, L., Xu, E., Idänheimo, N., Hoeberichts, F. A., Mühlbock, P., Brosché, M., ... Kangasjärvi, J. (2016). Spreading the news: subcellular and organellar reactive oxygen species production and signalling. *Journal of experimental botany*, 67(13), 3831-3844.
- Mirzai, M., Moeini, A., & Ghanati, F. (2013). Effects of drought stress on the lipid peroxidation and antioxidant enzyme activities in two canola (*Brassica napus* L.) cultivars.
- Mohsenzadeh Golafzani, M., Mohammad, F., Hasani Kumleh, S. H., & Lahiji, H. S. (2016). Grouping of some canola genotypes in various drought stress treatment in Germination stages based on multivariate statistical methods.
- Mohsenzadeh Golafzani, M., Taghvaei, M. M., Samizadeh Lahiji, H., Ashery, S., & Raza, A. (2022). Investigation of proteins' interaction network and the expression pattern of genes involved in the ABA biogenesis and antioxidant system under methanol spray in drought-stressed rapeseed. *3 Biotech*, 12(9), 217.
- Noctor, G., & Foyer, C. H. (1998). Ascorbate and glutathione: keeping active oxygen under control. *Annual Review of Plant Biology*, 49(1), 249-279.
- Nonomura, A., & Benson, A. (1992). The path of carbon in photosynthesis: improved crop yields with methanol. *Proceedings of the National Academy of Sciences*, 89(20), 9794-9798.
- Nuruzzaman, M., Sharoni, A. M., Satoh, K., Al-Shammari, T., Shimizu, T., Sasaya, T., ... Kikuchi, S. (2012). The thioredoxin gene family in rice: Genome-wide identification and expression profiling under different biotic and abiotic treatments. *Biochemical and biophysical research communications*, 423(2), 417-423.
- Ober, E. (2001). The search for drought tolerance in sugar beet. *British sugar beet review*, 69, 40-43.
- Pasandideh, M., Samizadeh, H.-A., & Mohsenzadeh, M. (2018). The effect of drought stress on some morphological and physiological characters in canola seedling (*Brassica napus*). *Iranian Journal of Seed Sciences and Research*, 5(2), 95-108.
- Ramezanpour Bisheghahi, S., Mohsenzadeh, M., & Samizadeh, H. (2021). Effect of methanol foliar application on expression changes of some mitochondrial genes in canola under drought stress. *Iranian Journal of Field Crop Science*, 52(3), 113-128.
- Rouhier, N., Gelhaye, E., & Jacquot, J.-P. (2004). Plant glutaredoxins: still mysterious reducing systems. *Cellular and Molecular Life Sciences CMLS*, 61, 1266-1277.
- Rouhier, N., & Jacquot, J.-P. (2005). The plant multigenic family of thiol peroxidases. *Free Radical Biology and Medicine*, 38(11), 1413-1421.

- Sairam, R. K., Rao, K. V., & Srivastava, G. (2002). Differential response of wheat genotypes to long term salinity stress in relation to oxidative stress, antioxidant activity and osmolyte concentration. *Plant Science*, 16(5), 1037-1046.
- Sami, Z., & Alemzadeh, A. (2016). Isolation and molecular characterization of a novel Na⁺/H⁺ antiporter gene, ALNHX2, from 'Aeluropus littoralis' and comparison of ALNHX1 and ALNHX2. *Plant Omics*, 9(3), 205-212.
- Taghvimi, P., Golfazani, M.M., Taghvaei, M. M., & Lahiji, H. S. (2024). Investigating the effect of drought stress and methanol spraying on the influential genes in the Calvin cycle and photorespiration of rapeseed (*Brassica napus*). *Functional Plant Biology*, 51(3).
- Tan, M., Liao ,F., Hou, L., Wang, J., Wei, L., Jian, H, ... Liu, L. (2017). Genome-wide association analysis of seed germination percentage and germination index in *Brassica napus* L. under salt and drought stresses. *Euphytica*, 213(2), 1-15.
- Tsugane, K., Kobayashi ,K., Niwa, Y., Ohba, Y., Wada, K., & Kobayashi, H. (1999). A recessive *Arabidopsis* mutant that grows photoautotrophically under salt stress shows enhanced active oxygen detoxification. *The Plant Cell*, 11(7), 1195-1206.
- Vahedi, R., Mohsenzadeh Golfazani ,M., Pasandideh Arjmand, M., & Samizadeh Lahiji, H. (2019). Investigation of relative expression of some genes related to iron-induced toxicity in two varieties of Rice (*Oryza sativa*). *Crop Biotechnology*, 9(27), 15-28.
- Zbieć, I., Karczmarczyk, S., & Podsiadło, C. (2003). Response of some cultivated plants to methanol as compared to supplemental irrigation. *Electronic Journal of Polish Agricultural Universities*, 6(1), 1-7.

ORIGINAL ARTICLE

In silico analysis of chalcone synthetase (CHS) in Cannabis sativa

Narges Nemati¹, Masoumeh Fallah Ziarani² 

1. M.Sc. Biotechnology and Molecular Genetic, College of Agriculture & Natural Resources, University of Tehran, Karaj, Iran.
2. Ph.D. in Plant Biotechnology, Faculty of Life Science and Biotechnology, Shahid Beheshti University, Tehran, Iran.

Correspondence:
Masoumeh Fallah Ziarani
Email: masoumeh_fallah@yahoo.com

Received: 3, Jan. 2025
Accepted: 14, Mar. 2025

A B S T R A C T

The chalcone synthetase (CHS) gene is a key gene in the flavonoid biosynthesis pathway in plants. This gene encodes the enzyme chalcone synthase, which plays a crucial role in the early stages of the flavonoid biosynthesis pathway. In addition to its primary role in flavonoid biosynthesis, the CHS gene may also be involved in other metabolic pathways, such as the production of compounds that are precursors to cannabinoids (like THC and CBD). Due to the importance of this gene in *Cannabis sativa*, it was studied using various bioinformatics databases and software tools. A search of the nucleotide sequence of accession NM_001397940 from *Cannabis sativa* in the NCBI database revealed 100 matches. The highest Max Score (805) belonged to the alignment with NP_001384869.1 from the *Cannabis* plant itself, with 100% coverage and 100% similarity. The lowest Max Score (746) corresponded to the alignment with QRV61377.1 from the species *Litchi Chinensis* with 99% coverage and 92.01% similarity. The E-Value in this section was also used to determine the significance of the matches. Protein sequence alignment with accession number NP_001384869.1 from *Cannabis sativa* in the NCBI database also showed 100 matches. Phylogenetic analysis of the top 20 species that showed homology with the CHS gene in the BLAST n analysis created a dendrogram, classifying the species into six distinct groups. Genetic diversity analysis using MEGA 6 software indicated that approximately 31% of the CHS gene sequence has undergone substitution mutations and only 8% of these regions contain informative polymorphisms. Analysis of the protein's primary structure revealed that its isoelectric point (PI) is 6.04, and instability index is 37.13, indicating high stability of the protein under cellular conditions. Stable proteins are capable of withstanding environmental changes such as temperature, pH, and pressure, allowing them to maintain their function under stressful or harsh conditions. The amino acid composition analysis revealed that leucine (11%) had the highest abundance, while Pyrrolysine and Selenocystein (0%) were the least abundant. The GRAVY index was -0.09, indicating the hydrophilic nature of the protein. Secondary structure analysis of the protein, using Phyre2 software, identified six similar structures in the NCBI database. Furthermore, GORIV software analysis showed that the CHS protein contains approximately 40.8% alpha-helical structures which it helps the protein's stability. The 3D modeling of this protein in *Cannabis sativa* was performed using the PDB database which had a high similarity to the Chalcone Synthase protein from *Medicago sativa*. Studying the protein's structure can help in understanding its function, and examining its structural details may be useful in studies related to the active site of the protein and docking.

K E Y W O R D S

Chalcone synthase gene, Tetrahydrocannabinol, Cannabidiol, Cannabis Sativa, Flavonoid biosynthesis pathway.

How to cite:

Nemati, N., & Fallah Ziarani, M. (2025). *In silico analysis of chalcone synthetase (CHS) in Cannabis sativa*. *Crop Biotechnology*, 14 (3), 43-52.
(DOI: [10.30473/cb.2025.73286.1997](https://doi.org/10.30473/cb.2025.73286.1997))



© 2025, by the author(s). Published by Payame Noor University, Tehran, Iran.

This is an open access article under the CC BY 4.0 license (<http://creativecommons.org/licenses/by/4.0/>).
<https://cropbiotech.journals.pnu.ac.ir/>

زیست‌فناوری گیاهان زراعی

سال چهاردهم، شماره سوم، پیاپی ۴۹، بهار ۱۴۰۴ (۵۲-۴۳)

DOI: 10.30473/cb.2025.73286.1997

«مقاله پژوهشی»

آنالیز *Cannabis sativa* in silico ژن چالکون سنتتاز (CHS) در گیاه

نرگس نعمتی^۱، مصصومه فلاخ زیارانی^۲

چکیده

ژن چالکون سنتتاز (CHS) یکی از ژن های کلیدی در مسیر بیوستتر فلامونوپیدها در گیاهان است. این ژن کد کننده آنزیم چالکون سنتتاز می باشد که در مرحله ابتدایی مسیر بیوستتر فلامونوپیدها نقش مهمی دارد. ژن CHS علاوه بر نقش اصلی خود در بیوستتر فلامونوپیدها ممکن است در مسیرهای متابولیکی دیگری مانند تولید ترکیباتی که پیش ساز کانابیسوپیدها (مانند THC و CBD) هستند نیز دخالت داشته باشند. به دلیل اهمیت این ژن در گیاه شاهدانه این ژن به کمک پایگاههای مختلف اطلاعاتی و نرم افزارهای گوآگون بیوانفورماتیک مطالعه گردید. جست و جوی توالی نوکلوتید شماره دسترسی NM_001397940 گیاه شاهدانه در پایگاه اطلاعاتی NCBI توансست ۱۰۰ تطابق را نشان دهد. همدمیفی توالی پروتئینی با شماره دسترسی NP_001384869.1 در گیاه شاهدانه مقابل پایگاه اطلاعاتی NCBI توансست ۱۰۰ تطابق را نشان دهد. بیشترین امتیاز (805) Max Score متعلق به همدمیفی با NP_001384869.1 از خود گیاه شاهدانه با ۱۰۰٪ پوشش و ۱۰۰٪ شباهت بود. کمترین (746) Max Score مربوط به همدمیفی با QRV61377.1 از گونه Litchi chinensis با ۹۹٪ پوشش و ۹۶٪ شباهت بود. مقدار E-Value در این بخش نیز برای تشخیص معناداری تطابق ها مورد استفاده قرار گرفت. آنالیز فیلوجنیکی ۲۰ گونه اول که در آنالیز n BLAST n با ژن CHS همولوژی نشان داده بود دندرومی ایجاد کرد که گونه های مورد مطالعه را در ۶ گروه مجزا دسته بندی کرد. آنالیز توع ژنتیکی توسط نرم افزار MEGA 6 نشان داد که در حدود ۳۱ درصد از طول توالی ژن CHS چهش های نوع جایگزینی رخ داده است و تنها ۸ درصد از این نواحی حاوی چند شکلی های اکاهی بخش هستند. با بررسی خصوصیات ساختار اولیه پروتئین مشخص شد که نقطه ایزو الکتریک (Pi) آن ۶،۴ و شاخص ناپایداری ۳۷,۱۳ که حاکی از پایداری بالای پروتئین در شرایط سلول است. پروتئین های پایدار قادرند در برابر تغییرات محیطی مانند دما PH و فشار مقاومت کنند. این ویژگی به آن ها امکان می دهد که عملکرد خود را در شرایط سخت یا تنش را حفظ کند. ترکیب اسید آمینه ای نشان داد لوسین (۱۱٪) بیشترین و پپرولیزین و سلونوسپتین (۱۰٪) کمترین فراوانی را دارند. شاخص GRAVY مقدار ۰,۹-۰,۰ را نشان داد که بیانگر ماهیت هیدروفیلیک پروتئین است. بررسی ساختار ثانویه پروتئین با استفاده از نرم افزار 6Phyre2 ساختار مشابه در دیتابیس NCBI برای این پروتئین پیدا شد. همچنین با نرم افزار GORIV مشخص شد که پروتئین CHS حاوی حدود ۴۰٪ مارپیچ آلفا هلیکس می باشد که به پایداری آن کمک می کند. مدل سازی سه بعدی این پروتئین در شاهدانه با استفاده از پایگاه PDB انجام گرفت که شbahشت بالایی با پروتئین Chalcone synthase از Medicago Sativa داشت. مطالعه ساختار پروتئین می تواند به درک عملکرد پروتئین کمک کند و بررسی جزئیات ساختار آن می تواند در مطالعات جایگاه فعال پروتئین و داکینگ سودمند باشد.

واژه های کلیدی

ژن چالکون سنتتاز (CHS)، تترا هیدرو کانابینول (THC)، کانابیدیول (CBD)، گیاه شاهدانه (*Cannabis sativa*), مسیر بیوستتر فلامونوپیدها.

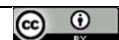
نویسنده مستول:
مصطفی فلاخ زیارانی
ایمیل: masoumeh_fallah@yahoo.com
رایانه:

تاریخ دریافت: ۱۴۰۳/۱۰/۱۴
تاریخ پذیرش: ۱۴۰۳/۱۲/۲۴

استناد به این مقاله:

فلاخ زیارانی، مصصومه و نعمتی، نرگس (۱۴۰۴). آنالیز ژن چالکون سنتتاز (CHS) در گیاه شاهدانه، فصلنامه علمی زیست‌فناوری گیاهان زراعی، ۱۴ (۳)، ۴۳-۵۲.

(DOI: [10.30473/cb.2025.73286.1997](https://doi.org/10.30473/cb.2025.73286.1997))



به صورت بافتی-ویژه است و سطح بیان آن ها در مراحل مختلف رشد گیاه متفاوت می‌باشد (لیو و همکاران، ۲۰۲۵). اکثر گیاهان حداقل یک ژن CHS را در ژنوم خود دارند. در برنج (*Oryza sativa*) ۲۷ عضو، در ذرت (*Morus mays*) ۱۴ عضو و در توت سیاه (*atropurpurea Roxb.*) ۵ عضو از این ژن شناسایی شده است (سو و همکاران، ۲۰۲۵).

در گیاه شاهدانه آنزیم CHS در تولید اسید اولیووتولیک که پیش ساز THC و CBD است نقش دارد. با کاتالیز واکنش ترکیبی malonyl-COA و malonyl-COA زنجیره‌ای از واکنش‌ها را به حرکت در می‌آورد که در نهایت منجر به تولید این کانابینوئیدهای شناخته شده می‌شود (حسین و همکاران، ۲۰۲۳). با این حال درک عملکرد و تنظیم ژن CHS در گیاه شاهدانه نیازمند بیش از تنها توالی‌یابی ژن است. یکی از روش‌های موثر تحلیل به کمک رایانه (*In Silico*) است که از ابزارهای محاسباتی و تکنیک‌های بیوانفورماتیک برای تفسیر داده‌های بیولوژیکی از جمله توالی‌های DNA و پروتئین استفاده می‌کند. ویژگی‌های ساختاری نقش‌های عملکردی و تاریخچه تکاملی آن را بررسی می‌کند. این تحلیل می‌تواند شامل تکنیک‌های مختلفی از جمله هم ردیفی توالی‌ها و آنالیز عملکردی تا مدل‌سازی ساختاری پیشرفت و مطالعات فیلوجنتیک باشد.

در این مقاله به تحلیل به کمک ابزارهای بیوانفورماتیکی (*In Silico*) ژن CHS در گیاه شاهدانه خواهیم پرداخت و به بررسی ابزارها و تکنیک‌های پیشرفته محاسباتی که برای کشف پیچیدگی‌های بیوسنتر کانابینوئیدها استفاده می‌شوند خواهیم پرداخت. ما به بررسی توالی ژن CHS تاریخچه تکاملی آن ساختار عملکرد پیش‌بینی شده‌اش و نحوه تنظیم آن خواهیم پرداخت. با انجام این کار درک عمیق‌تری از نحوه مشارکت این ژن کلیدی در تولید کانابینوئیدها در شاهدانه و چگونگی بهره‌برداری از آن در آینده به دست خواهیم آورد.

مقدمه

شاهدانه (*Cannabis sativa*) گونه‌ای از گیاهان است که تاریخچه‌ای غنی و پیچیده از استفاده انسانی، هم به صورت تفریحی و هم به صورت دارویی دارد. هزاران سال است که انسان‌ها این گیاه را به خاطر ویژگی‌های منحصر به فردش پرورش داده و استفاده کرده‌اند از الیاف مقاوم آن گرفته تا ترکیبات روان گردنان قوی این گیاه (دهنوی و همکاران، ۲۰۲۲). در سال‌های اخیر علاقه زیادی به درک پایه ژنتیکی بیوشیمی شاهدانه به ویژه تولید کانابینوئیدهای مانند THC و CBD به وجود آمده است. این ترکیبات دارای طیف گسترده‌ای از خواص درمانی از تسکین درد تا ضد التهاب هستند و توجه زیادی از سوی جوامع پزشکی و داروسازی به خود جلب کرده‌اند (دهنوی و همکاران، ۲۰۲۲).

اما چگونه گیاه شاهدانه این ترکیبات منحصر به فرد را تولید می‌کند؟ و چه ژن‌هایی در این فرایند دخیل هستند؟ یکی از ژن‌های کلیدی که در بیوسنتر کانابینوئیدها نقش دارد ژن چالکون سنتاز (CHS) است. چالکون سنتاز یک آنزیم است که نقش حیاتی در مسیر بیوسنتر فلاونوئیدها در گیاهان ایفا می‌کند. این مسیر مسئول تولید طیف وسیعی از ترکیبات است که به گیاهان رنگ می‌بخشد، آن‌ها را از نور فرابنفش محافظت می‌کنند، و دارای خواص آنتی اکسیدانی هستند (دائو و همکاران، ۲۰۱۱). بر اساس تحقیقات گزارش شده ژن CHS متعلق به ابر خانواده سنتاز پلی کتید (PKS) در گیاهان می‌باشد. همچنین، بیان ژن CHS تحت تاثیر عوامل محیطی مختلف مانند شدت نور، دما، تنفس‌های زیستی و غیر زیستی قرار دارد و در مراحل مختلف رشد گیاه، بیان آن در بافت‌های مختلف، نشان دهنده‌ی شکلی این ژن در گونه‌های مختلف، نشان دهنده‌ی تطبیق پذیری آن با شرایط محیطی متنوع است (وانگ و یو، ۲۰۱۸).

ژن CHS نه تنها در سنتز آنتوسیانین‌ها نقش دارد، بلکه به عنوان یک تنظیم کننده منفی درونی در انتقال اکسین عمل می‌کند و بر رشد اندام‌های گل تاثیر می‌گذارد. علاوه بر این، بیان اعضای خانواده ژنی CHS

در تحقیقات مرتبط با جایگاه فعال پروتئین و فرآیند Docking، اهمیت بالایی داشته و می‌تواند در طراحی داروها و مهندسی پروتئین مفید باشد.

یافته‌های پژوهش و نتیجه‌گیری

نتایج BLAST n

جستجوی توالی نوکلوتیدی شماره دسترسی NM_001397940 گیاه شاهدانه در پایگاه اطلاعاتی NCBI توانست ۱۰۰ تطابق را نشان دهد که بالاترین امتیاز Max Score (2911) مربوط به تطابق با شماره دسترسی NM_001397940.1 از گونه‌ی گیاهی Cicer arietinum با ۱۰۰٪ پوشش و با ۱۰۰٪ شباهت (۷۲۳) Max Score بود در حالی که کمترین امتیاز شاخص Cicer arietinum در گونه CP039336.1 مربوط به تطابق با اکسشن ۶۲٪ با ۷۹,۹۸٪ شباهت بود. رای تعیین بهترین تطابق، از مقدار E-Value نیز استفاده شد که مقدار کمتر آن نشان‌دهنده انطباق با احتمال بالاتر و معناداری بیشتر است. مقدار E-Value کمتر از ۰,۰۱ نشان‌دهنده معنی‌داری تطابق است.

نتایج BLAST p

هردیفی توالی پروتئینی با شماره دسترسی NP_001384869.1 در گیاه شاهدانه مقابل پایگاه اطلاعاتی NCBI توانست ۱۰۰ تطابق را نشان دهد که بالاترین امتیاز شاخص Max score (۸۰۵) مربوط به هردویی با شماره دسترسی NP_001384869.1 گیاه Litchi chinensis شاهدانه با ۱۰۰ درصد پوشش و ۱۰۰ درصد شباهت بود؛ در حالی که کمترین شاخص Max score (۷۴۶) مربوط به هردویی با شماره دسترسی QRV61377.1 درصد ۹۲,۰٪ شباهت بود. برای تشخیص انطباق از مقدار E-value هم می‌توان استفاده کرد. مقدار E-Value نشان‌دهنده تعداد تطابق‌های مورد انتظار در یک جایگاه داده تصادفی با همان اندازه است. مقدار E-Value کوچکتر نشان‌دهنده امتیاز بالاتر و معتبر بودن انطباق با احتمال بالاتر است، در حالی که مقادیر بسیار کوچک، به ویژه کمتر از ۰,۰۱، نشان‌دهنده

روش‌شناسی پژوهش

BLAST P و BLAST n

مشابه با توالی ژنی و پروتئینی ژن چالکون سنتتاز (CHS) گیاه شاهدانه به عنوان query انجام شد.

آنالیزهای فیلوزنوتیکی

جهت هم ردیفی توالی ژن مورد مطالعه از نرم افزار T-Coffee استفاده شد. همچنین برای رسم درخت فیلوزنوتیک از نرم افزار MEGA6 استفاده گردید (فلاح زیارانی و همکاران، ۲۰۱۷؛ فلاح زیارانی و همکاران، ۲۰۱۳؛ فلاح زیارانی و توحیدفر، ۲۰۱۸).

بررسی خصوصیات ساختار اولیه پروتئین

به منظور بررسی خصوصیات ساختار اولیه پروتئین از برنامه PROTPARM استفاده شد. برای تعیین محل استقرار و نقش مولکولی پروتئین در سلول از پایگاه داده UNIPROT بهره گرفته شد.

بررسی ساختار دوم پروتئین

ساختار ثانویه پروتئین و تعیین موقعیت صفحات آلفا و بتا با استفاده از ابزار آنلاین Phyre2 شناسایی گردید (فلاح زیارانی و همکاران، ۲۰۱۷؛ فلاح زیارانی و همکاران، ۲۰۲۱؛ فلاح زیارانی و همکاران، ۲۰۲۲).

بررسی ساختار سه بعدی پروتئین

مدل‌سازی سه بعدی پروتئین با استفاده از روش همولوژی مدلینگ و پایگاه داده Swiss-Model انجام شد. الگوی مناسب برای مدل‌سازی، با دقت از پایگاه داده PDB و بر اساس بالاترین میزان شباهت ساختاری انتخاب گردید. به منظور اعتبارسنجی ساختار سه بعدی مدل ترسیم شده، نمودار راماچاندران مورد استفاده قرار گرفت و زوایای دی‌هدرال برای بررسی صحت استریووژیمیایی محاسبه شد. تحلیل دقیق ساختار پروتئین به درک عملکرد مولکولی آن کمک شایانی می‌کند. همچنین مطالعه جزئیات ساختاری پروتئین، به ویژه

الگوریتم‌های دیگر کاربرد دارد. تاجیما D یکی از معروف‌ترین آزمون‌های فرضیه خنثی می‌باشد که با مقایسه دو نوع تنوع ژنتیکی در یک جمعیت (تفاوت‌های جفتی و تعداد جایگاه‌های چندشکلی) انجام می‌شود. این آزمون براساس مقایسه تنوع نوکلئوتیدی حاصل از فراوانی الی جایگاه‌های چندشکلی است (فرر، ۲۰۰۵). به طور کلی مقادیر مختلف تاجیما D می‌تواند نشان دهنده فرآیندهای مختلف باشد به این صورت که تاجیما D مثبت نشان دهنده تعادل انتخابی است و ممکن است بیانگر انتخاب متعادل یا گزینش در جمعیت باشد. تاجیما منفی نشان دهنده یک گزینش مثبت یا فشار انتخابی است که باعث شده یک آلل سودمند به سرعت در جمعیت گسترش یابد و تاجیما D نزدیک به صفر بیانگر این است که تغییرات ژنتیکی در جمعیت به صورت تصادفی و مطابق با فرضیه خنثی رخ داده‌اند. آزمون تاجیما مثبت در ژن مورد مطالعه نشان داد که ژن‌هایی که تنوع فراوانی الی آن‌ها بالا است تاجیما D مثبت (بزرگتر از صفر) دارند و با انتخاب متعادل در جمعیت همراه هستند (جدول ۱).

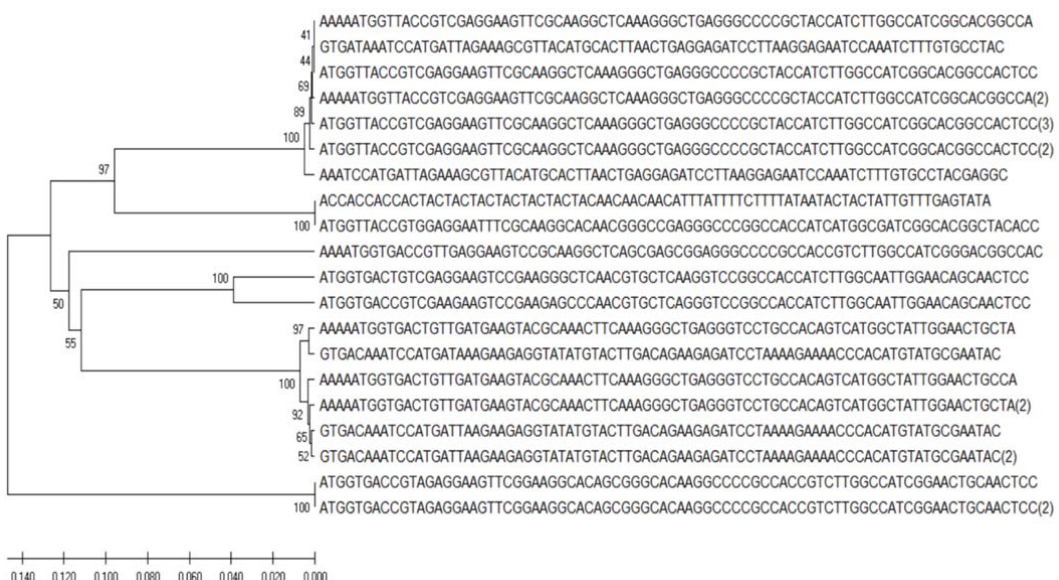
خصوصیات ساختار اولیه پروتئین و بررسی خواص فیزیکوشیمیایی

برای بررسی خواص فیزیکوشیمیایی پروتئین مورد بررسی از ساختار اولیه پروتئین و از برنامه PROTPARAM استفاده شد. نقطه ایزوالکتریک (PI) پروتئین موردنظر $6,0^{\circ}\text{C}$ و بار خالص آن -4° تعیین شد (زیرا تعداد اسید‌امینه‌های بار مثبت ۴۴ و تعداد اسید‌امینه‌های بار منفی ۴۹ می‌باشد). از نظر ترکیب اسید‌امینه بالاترین فراوانی (۱۱ درصد) متعلق به لوسین و کمترین فراوانی (صفر درصد) متعلق به دو اسید امینه پیرولیزین و سلنوسیستئین می‌باشد. در نقطه ایزوالکتریک، یک اسید امینه یا پروتئین به دلیل از دست دادن بار الکتریکی خالص خود، در یک میدان الکتریکی با جریان مستقیم، قادر به حرکت نیست. آگاهی از نقطه ایزوالکتریک پروتئین می‌تواند در انتخاب و بهینه‌سازی روش‌های خالص‌سازی مانند کروماتوگرافی تبادل یونی و ایزوالکتروفورز فوکوسینگ بسیار مفید باشد.

انطباق‌های معنادار از نظر آماری هستند. به طور کلی هر چه E-Value به صفر نزدیک‌تر باشد، میزان اطمینان به ارتباط بیولوژیکی بین توالی‌های بیشتر خواهد بود.

آنالیزهای فیلوژنتیکی

برای این منظور ۲۰ گونه اول که در آنالیز n با ژن CHS همولوژی نشان دادند انتخاب شدند. در گام اول این گونه‌ها با نرم افزار T_Coffee هم‌دیفسازی شده و سپس برای انجام آنالیزهای فیلوژنتیکی از نرم افزار MEGA6 استفاده شد. آزمون شاخص نابرابری که با استفاده از نرم افزار MEGA6 انجام شد نشان داد که ژن CHS همولوژی بالایی با هم گونه‌های مورد بررسی دارد. آنالیز فیلوژنتیکی با روش UPGMA و انتخاب مدل جایگزینی WAG+G دندروگرامی ایجاد کرد که گونه‌های مورد مطالعه را در ۶ گروه کاملاً مجزا دسته‌بندی کرد (شکل ۱). مدل جایگزینی توسط نرم افزار MEGA6 بدست آمد و با مقایسه تفاوت توالی‌ها و انتخاب بهترین مدل جایگزینی بهترین درخت فیلوژنتیکی رسم شد. در ماتریس تشابه در مقایسه بین ۳۱۰ گونه مورد بررسی کمترین تشابه مربوط به عدد MEGA6 نشان می‌باشد. آنالیز تنوع ژنتیکی توسط نرم افزار CHS داد که در حدود ۳۱ درصد از طول توالی ژن جهش‌های نوع جایگزینی رخ داده که در این میان تنها حدود ۸ درصد از طول توالی ژن دارای چندشکلی‌های آگاهی بخش می‌باشد. تنوع نوکلئوتیدی در جمعیت مورد مطالعه پایین و در حدود ۹ درصد می‌باشد (جدول ۱). آزمون تاجیما نشان داد که جمعیت مورد (۲۰ گونه مورد بررسی) مطالعه در تعادل قرار دارند. تست فرضیه خنثی به بررسی اختلافات مشاهده شده بین جفت‌های توالی ژنتیکی که با الگوی جایگزینی مشابه تکامل یافته‌اند می‌پردازد. اساس این تست مقایسه فرکانس نوکلئوتید یا آمینواسید در توالی‌های جفتی و تعداد تفاوت‌های مشاهده شده بین این توالی‌ها است. در زیست‌شناسی مدل جایگزینی فرایندی را توصیف می‌کند که در آن تغییرات یک صفت در طی زمان تحت تاثیر فشارهای انتخابی یا فرایندهای تصادفی (مانند جهش یا رانش ژنتیکی) رخ می‌دهد. این مدل در تفسیر درخت تکاملی در فیلوژنتیک و شاخه‌بندی و شبیه‌سازی توالی با تست روش‌ها و



شکل ۱. دندروگرام بدست آمده از گونه‌های موردمطالعه با روش UPGMA با استفاده از داده‌های توالی NM_001397940. اعداد روی شاخه‌ها مقادیر بوت استرپ (%) را نشان می‌دهند. مقیاس افقی فاصله ژنتیکی را نمایش می‌دهد.

Figure 1. The dendrogram of the studied species was constructed using the UPGMA method based on the NM_001397940 sequence data. The numbers on the branches represent bootstrap values(%). The horizontal scale indicates genetic distance.

جدول ۱. نتیجه تست Tajima برای ژن CHS در موجودات مورد بررسی. آزمون Tajima مثبت نشان داد که ژن‌هایی با تنوع آلی بالا دارای مقدار D مثبت بوده و تحت انتخاب متعادل در جمعیت قرار دارند.

Table 1. Tajima test result for the CHS gene in the studied organisms. The positive Tajima test indicates that genes with high allelic diversity have a positive D value, and are subject to balancing selection in the population.

شناختی D Tajima	شاخص II	شاخص Θ	Ps	تعدد الی	تعداد جایگاه‌های متغیر S	تعداد نمونه M
0.437801	0.098479	0.089140	0.316245	475	475	20

لوله آزمایش در برابر حرارت می‌باشد؛ و این به نوع اسیدآمینه‌های موجود بستگی دارد. پروتئین‌هایی که شاخص ناپایداری آنها کوچکتر از ۴۰ می‌باشد با ثبات و در غیر این صورت بی ثبات خواهند بود. بنابراین پروتئین CHS جز پروتئین‌های پایدار می‌باشد. پروتئین‌های پایدار در شرایط تنش مثل تنش حرارتی می‌تواند ساختار سوم خود و در نتیجه عملکردشان را در شرایط تنش حفظ کنند (کرسی و همکاران، ۲۰۲۰). با برنامه PROSCALE نیز مشخص شد که پروتئین مورد مطالعه طبق روش کیت و دولیتل در انتهای N و همچنین نزدیک به انتهای C خود دارای آب گریزی معنی داری می‌باشد (با توجه به خط برش ۱ در شکل ۲).

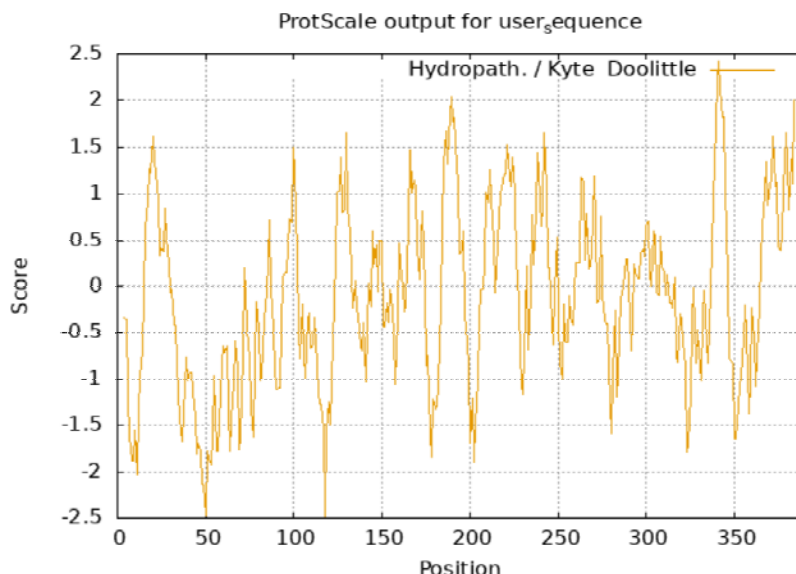
علاوه بر این، پروتئین‌هایی که در محدوده pH نقطه ایزوکلتیریک خود قرار دارند، به دلیل تعادل بارهای مثبت و منفی، قابلیت نگهداری آب را از دست داده و به ناچار رسوب می‌کنند. از طرفی میانگین آب گریزی کل پروتئین مورد مطالعه (GRAVY) -۰.۹/۰-۰.۶/۰ می‌باشد. بررسی شاخص ناپایداری (Instability index) نشان می‌دهد که این پروتئین عمر بالایی دارد زیرا شاخص ناپایداری آن ۳۷,۱۳ است (جدول ۲؛ این موضوع حاکی از آن است که این پروتئین در شرایط سلولی پایدار بوده و به راحتی تجزیه نمی‌شود).

شاخص ناپایداری پروتئین‌ها بیانگر میزان پایداری آنها در

جدول ۲. بررسی شاخص ناپایداری پروتئین CHS، مقدار شاخص ناپایداری ۳۷.۱۳ نشان دهنده پایداری نسبی پروتئین CHS در شرایط سلولی است. مقدار میانگین کل آب گریزی منفی (-۰.۰۹۰) بیانگر ماهیت آب دوست بودن این پروتئین می باشد.

Table 2. CHS protein instability index review, the instability index of 37.13 indicates the relative stability of the CHS protein under cellular conditions. The negative GRAY value (-0.090) suggests the hydrophilic nature of this protein

شاخص ناپایداری Instability Index	شاخص آلfaاتیک Aliphatic Index	میانگین کل آب گریزی GRAY
37.13	93.50	-0.090



شکل ۲. آنالیز آب گریزی پروتئین CHS با برنامه PROTSCALE. محور افقی موقعیت اسیدهای آمینه و محور عمودی میزان آب گریزی را نشان می دهد. به طوری که مقادیر مثبت نشان دهنده نواحی آب گریز هستند.

Figure 2. Hydrophobicity analysis of CHS protein with PROTSCALE program. The X-axis shows amino acid positions, and the Y-axis represents the hydrophobicity score, with positive values indicating hydrophobic regions

مارپیچ آلفا معمولاً در سطح هسته های پروتئینی قرار دارد و به عنوان یک رابط برای تعامل با محیط آبی خارجی عمل می کند. قسمت داخلی مارپیچ آلفا تمایل به داشتن آمینواسیدهای آب گریز و قسمت بیرونی آن تمایل به داشتن آمینواسیدهای آب دوست دارد. به همین دلیل، در طول مارپیچ، از هر چهار آمینواسید، سه تای آنها آب گریز هستند. آمینواسیدهای موجود در هسته پروتئین یا داخل غشای سلولی نیز معمولاً خاصیت آب گریزی دارند. به طور کلی، مارپیچ های آلفایی که در سطح قرار دارند، تعداد کمتری آمینواسید آب گریز دارند. این ویژگی می تواند در پیش بینی ساختار پروتئین ها مفید باشد. به

ساختار دوم پروتئین با استفاده از نرم افزار آنلاین 2 Phyre، ساختار دوم پروتئین CHS پیش بینی شد. نتایج حاصل حاکی از آن است که ۶ ساختار مشابه در دیتابیس NCBI برای این پروتئین پیدا شد، یکی از این ساختارها مربوط به ساختار پروتئین Chalcone synthase از alfalfa گیاه شاهدانه دارای شباهت ۱۰۰ با پروتئین CHS می باشد (شکل ۳). همچنین با نرم افزار GORIV مشخص شد که پروتئین CHS حاوی حدود ۴۰٪ مارپیچ آلفا هلیکس است و این اطلاعات به منظور بررسی پایداری پروتئین دارای اهمیت می باشد (شکل ۴).

می‌شود صفحات بتا سختی بیشتری داشته و انعطاف‌پذیری کمتری داشته باشند. پیوندهای هیدروژنی بین رشته‌ای که بین گروه‌های CO یک رشته بتا و گروه NH رشته بتای مجاور ایجاد می‌شوند، پایداری بیشتری به صفحات بتا می‌بخشد و ظاهری زیگزاگ به آن‌ها می‌دهند. هرچه میزان مارپیچ‌های آلفا و بتا در پروتئین بیشتر باشد، انعطاف‌پذیری پروتئین کمتر و پایداری آن بیشتر خواهد بود. نتایج نشان داد که پایداری پروتئین CHS نسبتاً زیاد است.

عنوان مثال، نواحی‌ای که حاوی مقادیر بالایی از آلانین، گلوتامیک اسید، لوسین و متیونین هستند و مقادیر کمتری از پروولین، گلیسین، تیروزین و سرین دارند، تمایل به تشکیل مارپیچ آلفا دارند. از سوی دیگر، ساختار صفحات بتا بسیار کشیده و چین دار است. یکی از تفاوت‌های مهم بین صفحات بتا و مارپیچ آلفا این است که آمینواسیدهایی که در ساختار اولیه پروتئین با فاصله زیادی از هم قرار دارند، در تشکیل صفحات بتا در مجاورت یکدیگر قرار می‌گیرند. این ویژگی باعث



شکل ۳. ساختار پیشنهادی برای پروتئین CHS با برنامه Phyre2

Figure 3. Proposed structure for the CHS protein with the Phyre2 program

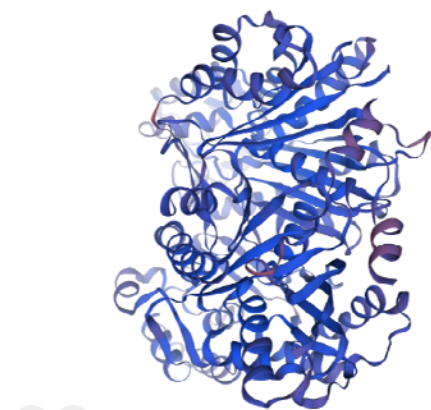
7/25/24, 9:55 AM

NPS@ : GOR4 SECONDARY STRUCTURE PREDICTION RESULTS

GOR4 :	
Alpha helix	(Hh) : 159 is 40.87%
β_10 helix	(Gg) : 0 is 0.00%
Pi helix	(Ii) : 0 is 0.00%
Beta bridge	(Bb) : 0 is 0.00%
Extended strand	(Ee) : 59 is 15.17%
Beta turn	(Tt) : 0 is 0.00%
Bend region	(Ss) : 0 is 0.00%
Random coil	(Cc) : 171 is 43.96%
Ambiguous states (?)	: 0 is 0.00%
Other states	: 0 is 0.00%

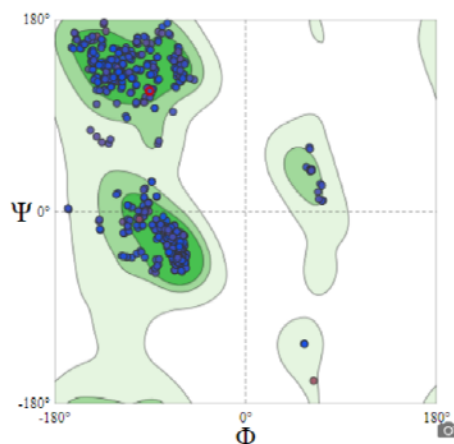
شکل ۴. آنالیز ساختار دو بعدی پروتئین CHS با نرم افزار GORIV

Figure 4. Analysis of the two-dimensional structure of CHS protein with GORIV software



شکل ۶. مدل سه بعدی پروتئین هدف با استفاده از Swiss Model براساس مدل سازی همولوژی ایجاد شده است. این مدل ساختار کلی، عناصر ثانویه و محل های احتمالی عملکردی پروتئین را نشان می دهد.

Figure 6. 3D structural model of the target protein was generated using Swiss-Model based on homology modeling. This model illustrates the overall structure, secondary elements, and potential functional sites of the protein.

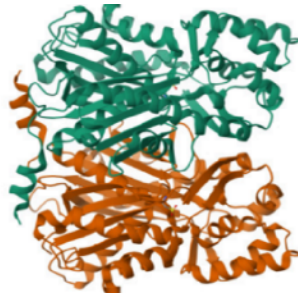


شکل ۷. نمودار راماچاندران کیفیت مدل پیش‌بینی شده در Swiss Model را ارزیابی می‌کند و توزیع زوایای دی هیدرال (Phi) و (Psi) را در ساختار پروتئین نشان می‌دهد. حضور بیشتر اسیدهای آمینه در نواحی مجاز نشان دهنده پایداری ساختاری مدل است.

Figure 7. The Ramachandran plot evaluates the quality of the predicted model and illustrates the distribution of dihedral angles (Psi and Phi) in the protein structure. A higher concentration of amino acids in the allowed regions indicates structural stability of the model.

ساختار سوم پروتئین

مدل سازی ساختار سه بعدی براساس انتخاب یک الگوی با شباهت بالا به پروتئین هدف، با استفاده از پایگاه داده PDB انجام گرفت (شکل ۵). الگوی منتخب برای مدل سازی پروتئین CHS در گیاه شاهدانه (IJWX)، دارای ۳۸۹ آمینواسید است و در سال ۲۰۰۲ با قدرت تفکیک ۱۶۳ آنگستروم از گیاه *Medicago sativa* با استفاده از روش کریستالوگرافی اشعه ایکس (X-ray) کشف شده است. این الگو وزن مولکولی ۴۲,۷۸۷ کیلو دالتون دارد و شامل دو جهش است. مدل سازی ساختار سه بعدی پروتئین CHS گیاه شاهدانه با استفاده از سورور Swiss-Model پیش‌بینی شد. ساختار براساس نزدیک ترین الگو ایجاد و با تحلیل‌های مختلف اعتبار سنجی شد (شکل ۶). نمودار راماچاندران نشان داد که ۹۷,۱۴٪ از اسیدهای آمینه در نواحی مطلوب قرار دارند و تنها ۰,۳۹٪ به عنوان خارج از محدوده طبقه‌بندی شدند. امتیاز MolProbity برابر با ۰,۹۷ بود که کیفیت بالای مدل را تأیید می‌کند همچنین هیچ پیوند نامناسبی مشاهده نشد (شکل ۷). این مدل برای مطالعات بیشتر روی عملکرد پروتئین CHS و تجزیه و تحلیل‌های اتصال لیگاند مناسب است.



شکل ۵. مدل سه بعدی ساختار پروتئین CHS که با استفاده از روش همولوژی مدلینگ پیش‌بینی شده است. در این مدل، نواحی مختلف پروتئین با رنگ‌های متفاوت مشخص شده اند و ساختار کلی در قالب PBD نمایش داده شده است.

Figure 5. Three-dimensional modeled structure of CHS, predicted using homology modeling. Different regions of the protein are highlighted in distinct colors, and the overall structure is presented in PBD format.

تعارض منافع

هیچ‌گونه تعارض منافع توسط نویسنده‌گان وجود ندارد.

References

- Dao, T.T.H., Linthorst, H.J.M., & Verpoorte, R. (2011). Chalcone synthase and its functions in plant resistance. *Phytochemistry Reviews*, 10, 397-412. DOI: 10.1007/s11101-011-9211-7.
- Fallah Ziarani, M., Masoud, T., Mirjalili, M. H. (2021b). Optimizing Culture Condition for High Frequency Regeneration *In Vitro* Tissue Culture in *Daucus carota* L. and Genetic Stability Assessment. *Journal of Plant Bioinformatics and Biotechnology*, 1, 84-96
- Fallah Ziarani, M., Tohidfar, M., & Mirjalili, M. H. (2022) Optimization of Nisin Gene Transfer by Agrobacterium in Carrot Plant. *Journal of Plant Research (Iranian Journal of Biology)*, 35 (1), 13-21.
- Fallah Ziarani, M., & Tohidfar, M. (2028) Genome editing for Change the color of the flower using crispr technology. *Crop Biotech*, 21, 71-79.
- Fallah Ziarani, M., Raheem, H., Ghasemali, G., & Mokhtar, J. (2013). Agrobacterium-mediated transformation of cotyledonary leaf of lettuce (*Lactuca sativa* L.) by the GCH1 gene. *Iranian Journal of Genetics and Plant Breeding*, 2(2): 47-55.
- Fallah Ziarani, M., Tohidfar, M., & Aminfar, Z. (2017). Bioinformatic analysis of Acyl Carrier Protein (ACP) in eukaryotes and prokaryotes. *Crop Biotechnology*, 7(17) 29-55.
- Ferrer, J.L. et al. (1999). Three-dimensional structure of chalcone synthase and the molecular basis of plant polyketide biosynthesis. *Nature Structural Biology*, 6, 775-784.
- Hussain, S., Hussain, A., Ahmad, I., Wahid, F., & Sajid, M. (2023). Bioinformatics-based characterization of the Chalcone synthase (CHS) family genes in flowering plants. *SABRAO J. Breed. Genet.*, 55(6), 1950-1962.
- Kearsey, L.J., Prandi, N., Karuppiah, V., Yan, C., Leys, D., Toogood, H., & Scrutton, N.S. (2020). structure of the Cannabis sativa olivetol-producing enzyme reveals cyclization plasticity in type III polyketide synthases. *The FEBS Journal*, 287(8), 1511-1524.
- Mostafaei Dehnavi, M., Ebadi, A., Peirovi, A., Taylor, G., & Salami, S. A. (2022). THC and CBD fingerprinting of an elite cannabis collection from Iran: Quantifying diversity to underpin future cannabis breeding. *Plants*, 11(1), 129.
- Su, S., Xuan, X., Tan, J., Yu, Z., Jiao, Y., Zhang, Z., & Ramakrishnan, M. (2025). Analysis of the CHS Gene Family Reveals Its Functional Responses to Hormones, Salinity, and Drought Stress in Moso Bamboo (*Phyllostachys edulis*). *Plants*, 14(2), 161.
- Wang, Z., Yu, Q., Shen, W., El Mohtar, C. A., Zhao, X., & Gmitter, F. G. (2018). Functional study of CHS gene family members in citrus revealed a novel CHS gene affecting the production of flavonoids. *BMC Plant Biology*, 18, 1-13.
- Xie, Z., Yang, L., Fan, M., Xuan, S., Jia, X., Zhang, Z., ... & Li, J. (2025). Genome-wide identification, characterization and expression analysis of the chalcone synthase gene family in Chinese cabbage. *BMC genomics*, 26, 168.

ORIGINAL ARTICLE

The impact of drought on the yield and yield components of some potato genotypes

Ahmad Mousapour Gorji¹, Abbas Saidi², Marjan Samaee³, Davoud Hassanpanah⁴, Zahra Hajibarati²

1. Seed and Plant Improvement Institute (SPII), Agricultural Research, Education and Extension Organization (AREEO), Vegetable Department, Karaj, Iran.

2. Department of Cell & Molecular Biology, Faculty of Life Sciences & Biotechnology, Shahid Beheshti University, Tehran, Iran.

3. Rural Cooperative Organization, Tehran, Iran.

4. Horticulture Crops Research Department, Ardabil Agricultural and Natural Resources, Research Centre, AREEO, Ardabil, Iran.

Correspondences:

Ahmad Mousapour Gorji
Email:abbas.saidi@gmail.com
mousapour.gorji@gmail.com

Received: 13, Nov. 2024

Accepted: 5, Apr. 2025

ABSTRACT

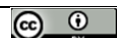
To investigate the effect of water stress on some essential traits of potato, an experiment was conducted in 2019 in Karaj using a factorial design within a completely randomized block design with three replications. The first factor included two irrigation treatments (water stress and control), and the second factor consisted of 11 potato genotypes (Agria, Caesar, Savalan, Santé, Marfona, Milva, Picasso, Hermes, Jelly, 397081-1 (1-81), 397069-2 (2-69)). Drip irrigation was applied under normal conditions, while irrigation was stopped for 25 days during the tuberization stage to create water stress, with the stress level being 50% of the field's soil water holding capacity during this period. Irrigation treatments and genotypes showed significant differences ($p < 0.01$) for biological yield, total tuber yield, specific gravity, dry matter, biological yield, tuber number, tuber yield, and number of tubers smaller than 35 mm, number of tubers larger than 55 mm, and tubers between 35 to 55 mm in size. The number of tubers larger than 55 mm was higher under both water stress and normal conditions, indicating the market preference for the Hermes variety and clone 397069-2 (2-69). Based on the results, the Hermes variety and clone 397069-2 were identified as the most drought-tolerant varieties, showing higher total and biological yields under water stress conditions. The findings of this study can recommend suitable varieties for economic potato production and contribute to improving income and food security in Iran.

KEY WORDS

Biological function, factorial, genotype, specific weight, tuber size

How to cite:

Mousapour Gorji, A., Saidi, A., Samaee, M., Hassanpanah, D., & Hajibarati, Z. (2025). The impact of drought on the yield and yield components of some potato genotypes. *Crop Biotechnology*, 14 (3), 53-68.
(DOI: [10.30473/cb.2025.72772.1988](https://doi.org/10.30473/cb.2025.72772.1988))



© 2025, by the author(s). Published by Payame Noor University, Tehran, Iran.

This is an open access article under the CC BY 4.0 license (<http://creativecommons.org/licenses/by/4.0/>).
<https://cropbiotech.journals.pnu.ac.ir/>

زیست‌فناوری گیاهان زراعی

سال چهاردهم، شماره سوم، پیاپی ۴۹، بهار ۱۴۰۴ (۵۳-۶۸)

DOI: [10.30473/cb.2025.72772.1988](https://doi.org/10.30473/cb.2025.72772.1988)

«مقاله پژوهشی»

تأثیر خشکی بر عملکرد و اجزای عملکرد برخی ژنوتیپ‌های سیب‌زمینی

احمد موسی‌پور گرجی^۱، عباس سعیدی^۲، مرجان سماعی^۳، داود حسن‌بناء^۴، زهرا حاجی‌برات^۴

چکیده

به منظور بررسی اثر تنش آبی بر برخی ویژگی‌های ضروری سیب‌زمینی، آزمایشی به صورت فاکتوریل در قالب طرح بلوک‌های کامل تصادفی با سه تکرار در سال ۱۳۹۹ در کرج اجرا شد. عامل اول شامل تیمار آبیاری در دو سطح (تش و شاهد) و عامل دوم شامل ۱۱ ژنوتیپ سیب‌زمینی (آگریا، سزار، سواوالان، سانته، مارفونا، می‌لوا، پیکاسو، هرمس، جلی، ۱-۳۹۷۰۸۱، ۲-۳۹۷۰۶۹، ۳-۳۹۷۰۶۹) در نظر گرفته شدند. آبیاری قطره‌ای برای شرایط نرمال به طور معمول انجام شد و برای تیمار خشکی در مرحله غده‌زایی برای ایجاد تنش آبی به مدت ۲۵ روز متوقف شد. تنش خشکی معادل ۵۰ درصد ظرفیت زراعی مزروعه در این مدت بود. مراحل آبیاری و ژنوتیپ‌ها تفاوت معنی داری در سطح اختصار (P < 0.05) بر عملکرد بیولوژیکی و عملکرد کل غده، وزن مخصوص، ماده خشک، عملکرد بیولوژیک، تعداد غده، عملکرد غده کوچک‌تر از ۳۵ میلی‌متر، اندازه غده بزرگ‌تر از ۵۵ میلی‌متر و اندازه غده بین ۳۵ تا ۵۵ میلی‌متر داشتند. نتایج نشان داد که همبستگی بالا و معنی داری بین عملکرد بیولوژیکی و تعداد کل غده و عملکرد کل با عملکرد بذری و اندازه غده بین ۳۵ تا ۵۵ میلی‌متر وجود دارد. تعداد غده‌هایی که بزرگ‌تر از ۵۵ میلی‌متر بودند نیز در شرایط تنش خشکی و شرایط نرمال بیشتر بود، که نشان‌دهنده بازارپسندی رقم هرمس و کلون ۶۹-۲ است. براساس نتایج مطالعه حاضر رقم هرمس و کلون ۲-۳۹۷۰۶۹ متحمل‌ترین رقم شناسایی شدند که تحت تنش خشکی عملکرد کل و بیولوژیکی بالاتری داشتند. نتایج مطالعه حاضر می‌تواند ارقام مطلوب برای تولید اقتصادی سیب‌زمینی و بهبود درآمد و امنیت غذایی در ایران توصیه کرد.

واژه‌های کلیدی

اندازه غده، ژنوتیپ، فاکتوریل، عملکرد بیولوژیک، وزن مخصوص.

نویسنده مسئول:

احمد موسی‌پور گرجی

ایمیل: abbas.saidi@gmail.com

روابط انسانی: mousapour.gorji@gmail.com

تاریخ دریافت: ۱۴۰۴/۰۸/۲۳

تاریخ پذیرش: ۱۴۰۴/۰۱/۱۶

استناد به این مقاله:

موسی‌پور گرجی، احمد؛ سعیدی، عباس؛ سماعی، مرجان؛ حسن‌بناء، داود و حاجی‌برات، زهرا (۱۴۰۴). تأثیر خشکی بر عملکرد و اجزای عملکرد برخی ژنوتیپ‌های سیب‌زمینی، فصلنامه علمی زیست‌فناوری گیاهان زراعی، ۱۴ (۳)، ۵۳-۶۸.
(DOI: [10.30473/cb.2025.72772.1988](https://doi.org/10.30473/cb.2025.72772.1988))

حق انتشار این مستند، متعلق به نویسنده‌گان آن است. © ناشر این مقاله، دانشگاه پیام نور است.



این مقاله تحت مجوز Creative Commons Attribution (CC BY 4.0) منتشر شده و استفاده از آن با ارجاع صحیح مجاز است.

درگیر در تشكیل و رشد غده تأثیر منفی می‌گذارد
(Minhas, 2012).

پیشینه پژوهش

رشد سیب‌زمینی و عملکرد غده تا حد زیادی به بارندگی بستگی دارد، در نتیجه، حتی یک دوره کوتاه کمبود آب می‌تواند باعث از دست دادن قابل توجه عملکرد غده و کاهش کیفیت غده شود (Deblonde and Ledent, 2001). با این حال، میزان کاهش عملکرد غده ناشی از خشکسالی تا حد زیادی بهمدت، شدت و مرحله رشد گیاه بستگی دارد (Evers et al., 2010). تنش اولیه بهدلیل کاهش سطح برگ، کاهش نرخ فتوستتر و کاهش تقسیم مواد جذب شده به غدها، بیشترین ضرر را برای غده سازی، حجمی شدن و عملکرد غده دارد (Obidiegwu et al., 2015). اگر خشکسالی در مراحل اولیه رشد رخ دهد، به طور قابل توجهی شروع، حجمی شدن و عملکرد غده را کاهش می‌دهد. تنش خشکی در زمان غده‌دهی باعث کاهش تعداد استтолون در ساقه و کاهش تعداد غده و عملکرد آن می‌شود. اگر سیب‌زمینی در مرحله حجمی شدن غده دچار خشکی شوند، غده کوچکتر تولید خواهد کرد. با این وجود، پیشنهاد شده است که شروع استтолون و تشكیل غده بحرانی ترین مراحل برای تنش خشکی هستند.

خشکی ممکن است با تأثیر بر رشد رویشی مانند ارتفاع بوته، تعداد و اندازه برگ‌ها یا با تأثیر بر فتوستتر برگ با کاهش کلروفیل، شاخص سطح برگ یا کاهش طول مدت سطح برگ بر عملکرد سیب‌زمینی تأثیر بگذارد. علاوه بر رشد رویشی، خشکی ممکن است با کوتاه کردن چرخه رشد یا با کاهش اندازه و تعداد غدها تولید شده توسط گیاهان، بر مرحله زایشی سیب‌زمینی تأثیر بگذارد. علاوه بر این، خشکسالی ممکن است بر کیفیت غده‌های تولید شده نیز تأثیر بگذارد. بنابراین تنش خشکی روی سیب‌زمینی را می‌توان در اثر تنش خشکی بر قسمت‌های سطح زمین و عملکرد دسته‌بندی کرد. علاوه بر کاهش میزان تولید اقتصادی سیب‌زمینی تحت تنش خشکی، سایر صفات نیز تحت این تنش در سیب‌زمینی قرار می‌گیرند.

مقدمه

سیب‌زمینی (*Solanum tuberosum* L.) از نظر عملکرد و پروتئین با کیفیت در واحد سطح و واحد زمان یکی از پرمحصول‌ترین محصولات غذایی است. این محصول به دلیل تولید عملکرد بالا و با کیفیت نقش به سزاوی در امنیت غذایی ایفا می‌کند (Devaux et al., 2021). تولید جهانی سیب‌زمینی سالانه حدود ۳۶۰ میلیون تن می‌باشد که در ۱۶,۵ میلیون هکتار زمین زراعی تولید می‌شود (FAOSTAT, 2020). بد رغم مقادیر بالای سیب‌زمینی تولید شده در سراسر جهان، شکاف‌های عملکردی بهدلیل چالش‌هایی از جمله تنش‌های غیر زیستی، آفات، تغییرات آب و هوایی و شیوه‌های تولید ضعیف وجود دارد (Eid et al., 2020). مجموع سطح زیر کشت سیب‌زمینی در استان‌های سردسیر، گرمسیر و معتدل در ایران ۱۵۰ تا ۱۶۰ هزارهکتار بود. براساس آمار طی ۵ تا ۶ سال اخیر بالای ۵ میلیون تن سیب‌زمینی تولید شده است. سال زراعی ۱۴۰۲-۱۴۰۱ پنج میلیون و ۳۰۰ هزار تن محصول تولید شد (<https://amarfact.com/statistics>). تغییرات آب و هوایی جهانی به‌شكل گرمای شدید و خشکسالی با تأثیر منفی بر عملکرد گیاه و عملکرد محصول، چالش بزرگی را برای تولید پایدار محصولات کشاورزی ایجاد می‌کند (Tang et al., 2018; Saidi and Hajibarat, 2020). چنین تأثیر منفی بر عملکرد محصول احتمالاً در آینده تشدید خواهد شد زیرا ادامه انتشار گازهای گلخانه‌ای باعث افزایش بیشتر دما می‌شود که منجر به افزایش تبخیر- تعرق و شدت خشکسالی می‌شود (Zarzynska et al., 2017). این امر چالش بزرگی را برای دانشمندان گیاهی در تأمین تقاضای جهانی غذا ایجاد کرده است که نیاز فوری به افزایش دو برابر عملکرد فعلی محصولات غذایی عده برای تغذیه جمعیت رو به افزایش را ضروری می‌کند. به عنوان چهارمین محصول عده غذایی، افزایش بهره‌وری سیب‌زمینی برای امنیت غذایی جمعیت در حال افزایش مهم است. سیب‌زمینی بهدلیل سیستم ریشه کم عمق که دارد، حساس‌ترین گونه زراعی به خشکی محسوب می‌شود. تنش خشکی بر فرآیندهای فیزیولوژیکی

صفات مرتبط با عملکرد و شناسایی ژنوتیپ‌های متحمل با عملکرد پایدار در شرایط تنفس خشکی است.

روش شناسی پژوهش

این تحقیق به صورت آزمایش به صورت فاکتوریل در قالب طرح بلوک‌های کامل تصادفی با سه تکرار در سال ۱۳۹۹ در کرج (طول جغرافیایی ۵۰ درجه و ۷۵ دقیقه شرقی، طول جغرافیایی ۳۵ درجه و ۵۹ دقیقه شمالی با میانگین بارندگی طولانی مدت ۲۴۳ میلی‌متر) انجام شد. عامل اول شامل تیمار آبیاری در دو سطح (تنفس و شاهد)، عامل دوم شامل ۱۱ ژنوتیپ سیب‌زمینی (آگریا، سزار، ساوالان، سانته، مارفونا، ملو، پیکاسو، هرمس، جلی، ۱۸۱ و ۲) بود. هر کرت شامل چهار خط به طول چهار متر بود که فاصله بین خطوط و روی خطوط به ترتیب ۷۵ و ۲۵ سانتی‌متر (۱۶ غده (گیاه) در هر خط) بود. آبیاری به صورت قطره‌ای در شرایط نرمال و در دوره رشدی سیب‌زمینی به مدت ۱۲۰ روز در شرایط نرمال انجام شد و برای تیمار تنفس آبیاری، در مراحل غده‌زایی بین زمان ۵۰ تا ۷۵ روز بعد از کشت برای القای تنفس آبی متوقف شد، در حالی که تیمار شاهد معمولاً آبیاری می‌شد. این زمان متناسب با ۲۵ روز بعد از غده‌زایی بوده‌است که قطع آبیاری تا این زمان انجام شده‌است و آبیاری مجدد تا ۴۵ روز بعد از تنفس خشکی ادامه یافت. تنفس آبیاری، با رسیدن به رطوبت خاک به طرفیت زراعی ۵۰ درصد از آغاز شد. ردیف‌های مجاور و اولین و آخرین بوته‌های خطوط مرکزی در هر کرت حاشیه‌ای در نظر گرفته و برای اندازه‌گیری رطوبت خاک در طول دوره رشد، بررسی شد. همچنین ۲۵۵ کیلوگرم در هکتار نیتروژن خالص به صورت اوره، ۳۹۵ کیلوگرم در هکتار پتابسیم‌اکسید^۱ و ۸۸ کیلوگرم در هکتار پتابسیم‌اکسیدفسفر^۲ استفاده شد.

ژنوتیپ‌ها

آگریا (متوسط دیررس)، سزار (متوسط زودرس)، پیکاسو (متوسط دیررس)، جلی (متوسط دیررس)، هرمس (متوسط

وزن مخصوص عامل مهمی برای حفظ کیفیت غده است و به طور مستقیم با محتوای ماده خشک مرتبط است. سیب‌زمینی با وزن مخصوص بالا برای پخت، سرخ کردن Haase, 2003; Pedreschi and Moyano, 2005 محصولات سیب‌زمینی غده‌هایی با وزن مخصوص بالاتر را نسبت به سیب‌زمینی‌هایی با وزن مخصوص پایین‌تر برای به دست آوردن چیپس بیشتر ترجیح می‌دهند (Zhang, 2003). براساس مطالعه‌ای که Haase همکاران در سال ۲۰۲۴ انجام داد، خشکی باعث کاهش ماده خشک سیب‌زمینی می‌شود. همچنین وزن مخصوص عامل مهمی برای حفظ کیفیت غده است و به طور مستقیم با محتوای ماده خشک مرتبط است. با وجود ارتباط مستقیم بین وزن مخصوص و محتوای ماده خشک متعاقباً تحت تنفس خشکی هر دو صفت کاهش پیدا می‌کند (Nasir and Toth, 2022).

به منظور حفظ تولید پایدار سیب‌زمینی، لازم است ارقام سیب‌زمینی مقاوم به تنفس را که به طور مناسب برای تعییر محیط مهندسی شده‌اند، توسعه داد. با این حال، فقدان داده‌ها در مورد مسیرهای اساسی تحمل گیاه سیب‌زمینی به تنفس‌های غیر زیستی و زیستی و توانایی پیش‌بینی پیامدهای آینده، شکاف دانشی بزرگی را تشکیل می‌دهد. این یک چالش برای دانشمندان گیاه‌شناس است که ابزارهای بهبود عملکرد غده تحت افزایش کربن‌دی‌اکسید، Dahal et al., 2014 مولکولی مرتبط با تنفس برای توسعه روش‌های غربالگری برای انتخاب ارقام زراعی که بهتر می‌توانند با شرایط تعییر رشد سازگار شوند، بسیار مهم است. توضیح چنین سازوکاری ممکن است بینش‌های جدیدی در شناسایی ویژگی‌های خاص ارائه دهد که ممکن است در اصلاح ارقام جدید با هدف حفظ یا حتی افزایش عملکرد سیب‌زمینی تحت شرایط آب و هوایی در حال تغییر مفید باشد. هدف این مطالعه بررسی صفات مربوط به عملکرد تحت شرایط نرمال و خشکی، بررسی همبستگی بین

1. K₂O

2. P₂O₅

$$\text{رابطه (۲)} = \frac{\text{وزن مخصوص}}{\text{(وزن غده در آب - وزن غده در هوا) / وزن غده در هوا}}$$

تجزیه و تحلیل داده‌ها

عملکرد غده، اجزای عملکرد و صفات مورفولوژیکی هر دو تیمار آبیاری معمول و تحت تنفس رطوبتی با استفاده از نرم‌افزار آماری Minitab ۱۷ آنالیز شدند. داده‌های پارامترهای تنفس خشکی و همبستگی بین صفات مختلف تجزیه و تحلیل PCA با استفاده از بسته نرم افزاری Factoextra انجام شد. برای بررسی رابطه بین متغیرها با کمک نرم‌افزار ggbiplot از ضریب همبستگی پیرسون استفاده شد. مقایسه میانگین براساس دانکن در سطح احتمال ۰/۰۵ بود.

یافته‌های پژوهش

نتایج جدول تجزیه واریانس برای ۱۰ ژنوتیپ سیب‌زمینی در محیط مورد آزمایش در کرج انجام شد. تغییرات آماری معنی‌داری در عملکرد کل، عملکرد خوارکی، عملکرد بذری، تعداد غده بین ۳۵ تا ۵۵ میلی‌متر، تعداد غده کوچک‌تر از ۳۵ میلی‌متر، تعداد غده بزرگ‌تر از ۵۵ میلی‌متر، عملکرد بیولوژیکی، درصد ماده خشک، تعداد کل غده و وزن مخصوص مشاهده شد (جدول ۱). مطابق جدول تجزیه واریانس، اثرات اصلی ژنوتیپ، خشکی و اثر متقابل ژنوتیپ × خشکی بر روی تمامی صفات فوق الذکر تفاوت معنی‌داری ($p < 0/01$) نشان داد.

نتایج نشان داد که ژنوتیپ‌ها از نظر عملکرد کل، عملکرد خوارکی، عملکرد بذری، تعداد غده بین ۳۵ تا ۵۵ میلی‌متر، تعداد غده کوچک‌تر از ۳۵ میلی‌متر، تعداد غده بزرگ‌تر از ۵۵ میلی‌متر، عملکرد بیولوژیکی، درصد ماده خشک، تعداد کل غده به‌غیر از وزن مخصوص در سطح یک درصد تفاوت معنی‌دار داشتند. اثر اصلی تیمار آبیاری بر عملکرد در سطح یک درصد بر صفات مرتبط با عملکرد و عملکرد بیولوژیکی و وزن مخصوص بسیار معنی‌دار بود. اما در درصد ماده خشک تفاوت معنی‌داری مشاهده نشد. همچنین اثر متقابل آبیاری و ژنوتیپ از نظر صفات مرتبط با عملکرد، عملکرد بیولوژیکی، درصد ماده خشک به‌جز وزن مخصوص در سطح یک درصد معنی‌دار بود (جدول ۱).

زودرس) سانته (متوسط دیررس)، مارفونا (متوسط زودرس)، می‌لوا (متوسط دیررس) (Europlant and Potato Varieties Database and Canadian Food Inspection Agency, 2007) و کلون پیشرفته به نام‌های ۸۱-۱ و ۶۹-۲ (متوسط دیررس) از مؤسسه تحقیقات اصلاح و تهییه نهال و بذر ایران تهییه شدند.

ارزیابی صفات

شش گیاه از ژنوتیپ یکسان در هر شرایط و هر تیمار با سه تکرار وجود داشت. در ۱۲۰ روز بعد از کشت و اتمام دوره رشدی، زمانی که همه اندام هوایی خشک نشده‌اند، عملکرد بیولوژیکی و بررسی قطر غده‌ها انجام شد. وزن غده تازه برای هر شرایط اندازه‌گیری شد و تعداد کل غده‌ها شمارش شد. غده‌های خوارکی (قطر بیش از ۵۵ میلی‌متر) شمارش و وزن شدند. میانگین عملکرد غده همه گیاهان در هر متر مربع از ردیفهای میانی هر کرت (غده‌های که بیش از ۳۰ میلی‌متر قطر داشتند) به صورت کیلوگرم در هکتار گزارش شد. غده بذری در حدود ۳۵ تا ۵۵ میلی‌متر و غده خوارکی بالاتر از ۵۵ میلی‌متر می‌باشد. به منظور تعیین درصد ماده خشک غده، از غده‌های برداشت شده از هر کرت مقدار ۳۰۰ گرم غده به صورت تصادفی انتخاب و با استفاده از کارد به قطعات مکعب شکلی به‌اندازه تقریبی یک سانتی‌متر مکعب بریده شده و به مدت ۴۸ ساعت رداخل آون تنظیم شده در دمای ۷۵ درجه سلسیوس تا تثبیت وزن آن‌ها خشکانده شد مجدداً توزین گردید. از طریق تقسیم کردن وزن خشک به وزن تر غده‌ها، درصد ماده خشک غده محاسبه گردید. عملکرد بیولوژیکی از رابطه (۱) تعیین می‌شود.

$$\text{رابطه (۱)} = \frac{\text{عملکرد بیولوژیکی}}{\text{عملکرد کل غده} + \text{عملکرد کل شاخساره}}$$

برای اندازه‌گیری وزن مخصوص ابتدا حدود ۳ تا ۵ کیلوگرم سیب‌زمینی از هر کلون در داخل بسته‌های توری پلاستیکی دقیقاً توزین کرده و سپس همان بسته با استفاده از ترازوی خاص در داخل آب توزین می‌شود و وزن مخصوص آن از طریق رابطه ۲ محاسبه می‌شود:

جدول ۱. آنالیز تجزیه واریانس صفات عملکرد کل، عملکرد خوارکی، عملکرد بذری، تعداد غده با ۳۵-۵۵ میلی‌متر، تعداد غده کوچک تر از ۳۵ میلی‌متر، تعداد غده بزرگ‌تر از ۵۵ میلی‌متر، عملکرد بیولوژیکی، درصد ماده خشک، تعداد کل غده و وزن مخصوص در سیب زمینی تحت تنش خشکی.

Table 1. Analysis of variance for traits including total yield, edible yield, seed yield, number of tubers between 35-55 mm, number of tubers smaller than 35 mm, number of tubers larger than 55 mm, biological yield, dry matter percentage, total tuber number, and specific gravity in potato under water stress conditions.

S.O.V منابع تغییرات	df	Tuber with 35 mm diameter	Tuber with 35-55 mm diameter-mm	Tuber with 55 mm diameter	Seed yield (kg ha^{-1})	Ware yield (kg ha^{-1})	TN (unit)	Total yield (kg ha^{-1})	BY (%)	Dry matter (g/g)	SG (g/cm^3)
G	ژنوتیپ	10	32272**	160.06**	20.26**	0.401**	0.114**	67041**	135.85**	456.20**	24.430**
T	تیمار	1	108122**	2815.72**	475.60**	7.04**	2.675**	826414**	6840.55**	165.34**	6.124 ^{ns}
R	تکرار	2	929	18.59	0.106	0.046	0.0006	857	1.28	0.47	2.149
G×T	ژنوتیپ × خشکی	10	37783**	455.06**	41.72**	1.137**	0.235**	140986 **	190.96**	1017.32**	16.378**
Error	خطا	41	954	31.63	0.525	0.079	0.003	2653	1.78	31.10	2.127
CV%	ضریب تغییرات		10.2	9.1	6.08	27.87	8.89	6.42	18.90	32.21	19.91
											2.06

ns, * and **: به ترتیب غیر معنی‌دار و معنی‌دار در سطوح ۵ و ۱ درصد.

کیلوگرم در متر مربع) برای ژنوتیپ مارفونا بود. بر اساس شرایط تنش خشکی، ژنوتیپ هرمس با (۲۴۷/۳۳) کیلوگرم در مترمربع، (۱/۷) کیلوگرم در مترمربع)، (۵۶۵/۳) کیلوگرم در مترمربع)، (۶۲/۸۲) کیلوگرم در مترمربع) و (۱۱/۸۸) کیلوگرم در مترمربع) به ترتیب بیشترین تعداد غده بین ۵۵-۳۵ میلی‌متر، وزن بذری، تعداد کل غده، عملکرد کل و عملکرد بیولوژیک را داشت. بیشترین عملکرد خوارکی و تعداد غده بزرگ‌تر از ۵۵ میلی‌متر به ترتیب مربوط به ژنوتیپ ۶۹-۲ (۶۹/۷۷)، کیلوگرم در مترمربع) و (۱۰/۳۹) کیلوگرم در مترمربع) بود. میزان تعداد غده، عملکرد کل، عملکرد بیولوژیک و وزن مخصوص در شرایط تنش به ترتیب به میزان ۲۳ درصد، ۵۴ درصد، ۴ و ۳ درصد کاهش میزان مشاهده شد. در حالی که تفاوت معنی‌داری در میزان ماده خشک در شرایط نرمال و تنش مشاهده نشد. ارقام هرمس و ۶۹-۲ برای تعداد کل غده، وزن بذری و خوارکی، تعداد غده بین ۳۵ تا ۵۵ میلی‌متر، و تعداد غده بزرگ‌تر از ۵۵ بیشتری نسبت به سایر ارقام نشان دادند. غده بسیار کوچک زمانی به دست آمد که از غده‌های بذری با اندازه کوچک‌تر به عنوان مواد کاشت استفاده شد. استفاده از غده‌های کوچک به عنوان ماده کاشت، عملکرد

با توجه به نتایج حاصل از آزمایش، اثر متقابل ژنوتیپ و شرایط نرمال نشان داد که در شرایط نرمال ژنوتیپ سازار بهتر ترتیب بیشترین عملکرد کل، عملکرد خوارکی، عملکرد بذری، تعداد غده بین ۳۵-۵۵ میلی‌متر، تعداد غده کوچک‌تر از ۳۵ میلی‌متر، تعداد غده بزرگ‌تر از ۵۵ میلی‌متر، عملکرد بیولوژیکی، تعداد کل غده به ترتیب با (۵۴/۳۴) کیلوگرم در مترمربع)، (۱/۶۷) کیلوگرم در مترمربع) و (۲/۹۶) کیلوگرم در مترمربع)، (۵۹/۲۶) کیلوگرم در مترمربع)، (۵۸۳) کیلوگرم در مترمربع)، (۲۳/۳۳) کیلوگرم در مترمربع)، (۸۲/۵) کیلوگرم در مترمربع)، (۱۲۱۵/۴۳) کیلوگرم در مترمربع) را داشت. همچنین مارفونا بالاترین درصد ماده خشک را با میزان ۲۱/۸۸ سانتی‌متر نشان داد. کمترین تعداد غده بین ۳۵-۵۵ میلی‌متر، عملکرد بذری و تعداد کل غده مربوط به ژنوتیپ هرمس به ترتیب (۱۷/۰۲) کیلوگرم در مترمربع)، (۰/۸۵) کیلوگرم در مترمربع) و (۳۸۱/۶۲) کیلوگرم در متر مربع) و کمترین غده کوچک‌تر از ۳۵ میلی‌متر (۷۵/۰۱) کیلوگرم در مترمربع) مربوط به ژنوتیپ جلی بود (جدول ۲). همچنین کمترین عملکرد خوارکی، تعداد غده بزرگ‌تر از ۵۵ میلی‌متر و عملکرد کل به ترتیب (۱۶/۸۳) کیلوگرم)، (۶/۸۳) کیلوگرم) و (۲۰/۱۵)

در هرمس و ۲-۶۹ در مقایسه با سایر ارقام دیگر آن است که به دلیل حداکثر شاخص سطح برگ را دارا می‌باشند. نتایج مطالعه‌ای بر روی حداکثر شاخص سطح برگ در رقم مانیتو، کاروسو و فالوکا در مقایسه با آگریا و با نبا به طور معنی‌داری بیشتر بود (Zaki and Radwan, 2022). براساس مطالعه‌ای، در ارقام دیررس تأخیر در غده‌زایی، با افزایش میزان تولید غده‌های بذری همراه خواهد بود و در گروه ارقام زودرس با تسریع در غده‌زایی بر عملکرد سایز بذری افزوده می‌شود (Parvizi, 2008). در گروه آزمایشی زودرس، زمان پوشش کامل با زمان غده‌زایی همبستگی مثبت و معنی‌دار داشته است. اما در ارقام دیررس بین این دو صفت همبستگی معنی‌دار وجود نداشته است. بدین مفهوم که در ارقام زودرس تسریع در غده‌زایی، دوره رسیدن به پوشش کامل را کوتاه می‌کند. زمان رسیدن به غده‌زایی با میزان عملکرد کل در ارقام دیررس رابطه مثبت و معنی‌دار داشت. با این وصف در گروه آزمایشی دیررس تأخیر در غده‌زایی، پتانسیل عملکرد کل را افزایش می‌دهد (Parvizi, 2008).

وزن مخصوص و درصد ماده خشک و تعداد غده کمتر از ۳۵ میلی‌متر به ترتیب به ژنتیک سانته (۱۰۰/۷)، ۸۱-۱ (۲۸۲/۶۶) و آگریا (۲۸۲/۶۶) متعلق بود. ژنتیک پیکاسو در شرایط نرمال کمترین درصد ماده خشک (۱۶) و وزن مخصوص (۱۰۶۶) را داشت. همچنین پایین‌ترین میزان عملکرد بیولوژیک مربوط به ژنتیک ۸۱/۱ بود.

غده‌های بسیار کوچک را به ترتیب ۳۹/۳۶ و ۵۶/۳۸ درصد نسبت به غده‌های بزرگ با اندازه متوسط و بزرگ افزایش داد (Asnake et al., 2023). این واقعیت که غده‌های کوچک دارای تعداد چشم کمتر و حداقل مواد غذایی ذخیره شده هستند. از رشد رویشی کمتری برخوردارند و در نتیجه غده‌های سیب‌زمینی با اندازه بسیار کوچک تولید می‌کند. نتایج مشابه همچنین نشان داد که گیاهانی که از غده‌های بذری با اندازه کوچک به دست می‌آیند تعداد چشم‌های کمی تولید می‌کنند و رشد رویشی را کاهش می‌دهند. انواع سیب‌زمینی از نظر ظرفیت تولید متفاوت هستند که با ترکیب ژنتیک آنها مرتبط است (Saidi and Hajibarat, 2018; Tessema et al., 2020). برای به دست آوردن اطلاعات کامل، ارزیابی تحمل به خشکی در شرایط مزروعه ضروری است. چندین مطالعه اثرات تنفس خشکی بر غده‌زایی را مستند کرده‌اند (Hirut et al., 2017; Hajibarat and Saidi, 2023). تفاوت در عملکرد غده با اندازه بسیار کوچک می‌تواند با ویژگی‌های ذاتی گونه‌های سیب‌زمینی مرتبط باشد. با توجه به گزارش Binalfew et al. (2015) اندازه غده سیب‌زمینی یک ویژگی کمی است. غده‌های بسیار کوچک معمولاً ارزش بازار پسندی پایینی دارند. استفاده از اندازه‌های مختلف غده بذری به عنوان ماده کاشت تأثیر قابل توجهی بر عملکرد غده با اندازه بسیار کوچک داشت. با توجه به نتایج سایر محققان این احتمال وجود دارد که افزایش عملکرد

جدول ۲. مقایسه میانگین صفات مورد ارزیابی در بررسی ژنتیک‌های سیب‌زمینی در شرایط نرمال.

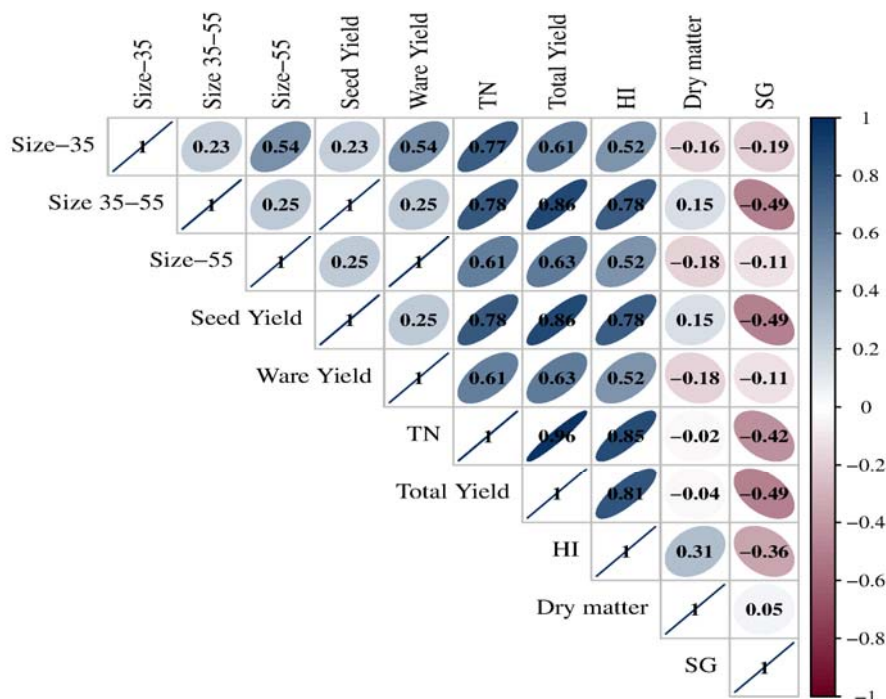
Table 2. Comparison of the mean traits evaluated in the study of potato genotypes under normal conditions.

Irrigation treatment	Genotype	Tuber with 35 mm diameter	Tuber with 35-55 mm diameter	Tuber with 55 mm diameter	Seed yield (kg ha ⁻¹)	Ware yield (kg ha ⁻¹)	TN (unit)	Total yield (kg ha ⁻¹)	BY (%)	Dry matter (g/kg)	SG (g/cm ³)
نرمال	Milva	176.98 ^{ef}	38.47 ^{cd}	8.54 ^e	1.92 ^{cd}	0.64 ^c	541.43 ^{c-e}	28.05 ^d	31.08 ^{f-i}	19.75 ^{b-h}	1.082 ^a
	Hermes	167.9 ^g	17.02 ^{hi}	10.54 ^{cd}	0.85 ^{hi}	0.79 ^{cd}	381.62 ^{ij}	20.65 ^g	26.49 ^{b-k}	21.16 ^{b-d}	1.089 ^a
	81-1	163.4 ^{eg}	23.93 ^{f,h}	10.87 ^{cd}	1.19 ^{f,h}	0.815 ^{cd}	433.20 ^{g,i}	21.17 ^{fg}	25.39 ^{b-k}	20.67 ^{b-f}	1.087 ^a
	Jelly	75.08 ^j	33.24 ^{c-e}	14.62 ^b	1.66 ^{c-e}	1.096 ^b	446.06 ^{e-i}	37.49 ^b	30.81 ^{f-i}	16.64 ^k	1.067 ^a
	Agria	257.05 ^c	35.56 ^{c-e}	10.66 ^{cd}	1.77 ^{cde}	0.80 ^{cd}	615.32 ^c	31.46 ^c	37.38 ^{e-g}	18.45 ^{f,j}	1.075 ^a
	Casare	583.0 ^a	59.26 ^a	22.33 ^a	2.96 ^a	1.67 ^a	1215.43 ^a	54.34 ^a	82.5 ^a	18.13 ^{g,k}	1.073 ^a
	Santé	240.2 ^{cd}	30.29 ^{c-f}	10.42 ^d	1.51 ^{c-f}	0.78 ^d	555.76 ^{c-e}	24.96 ^e	32.126 ^{f-h}	20.399 ^{b-g}	1.083 ^a
	Savalan	174.01 ^{eg}	27.24 ^{e-g}	11.69 ^c	1.36 ^{c-g}	0.87 ^c	475.79 ^{e-h}	24.56 ^e	29.43 ^{g-i}	20.94 ^{b-e}	1.088 ^a
	69-2	204.58 ^{de}	27.43 ^{e-g}	10.59 ^{cd}	1.37 ^{c-g}	0.79 ^{cd}	499.28 ^{d-g}	22.97 ^{ef}	27.52 ^{b-j}	21.53 ^{b-c}	1.09 ^a
	Picasso	413.10 ^b	47.80 ^b	10.50 ^{cd}	2.39 ^b	0.787 ^{cd}	865.00 ^b	35.39 ^b	50.58 ^{cd}	16.00 ^k	1.066 ^a
	Marfona	164.3 ^{eg}	38.98 ^{bc}	6.83 ^f	1.94 ^{bc}	0.51 ^f	519.40 ^{d-f}	20.15 ^g	31.62 ^{f-h}	21.88 ^b	1.096 ^a

ارقام سیب زمینی تقریباً یکسان است در حالی که در برخی از ارقام تفاوت معنی داری مشاهده شده است (Fozouni and Aboutalebian, 2020).

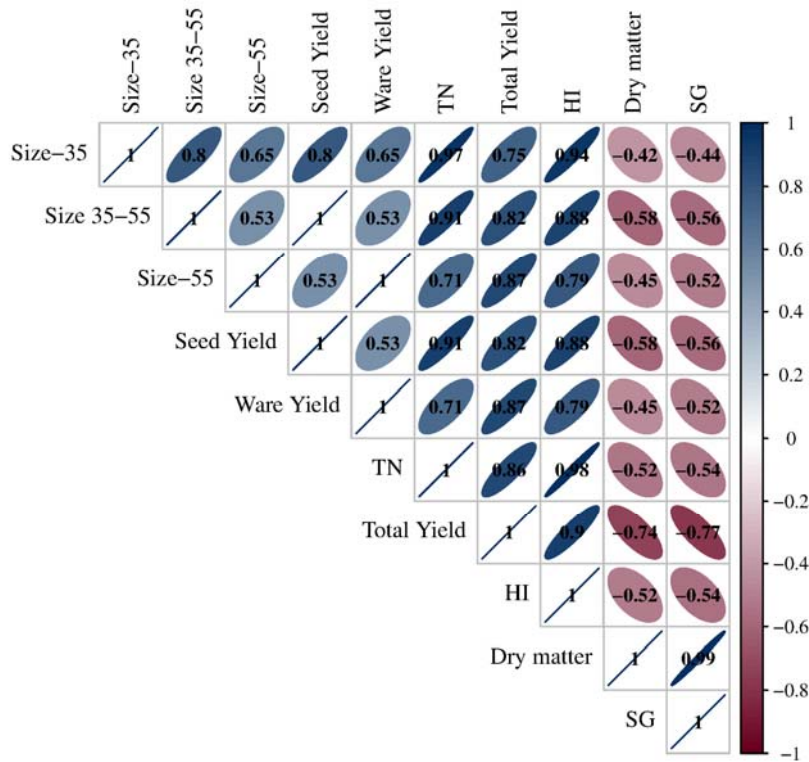
همبستگی صفات عملکرد و صفات مورفولوژیکی
آنالیز همبستگی بین صفات عملکردی و مورفولوژیکی در شرایط نرمال و تنش خشکی می‌تواند معیار خوبی برای غربالگری بهترین ارقام و صفات مورد استفاده باشد. همچنین بررسی ضرایب همبستگی بین صفات باعث می‌شود تا بتوان در مورد شاخص‌های انتخاب غیر مستقیم و حذف صفات غیر مؤثر تصمیم‌گیری بهتری داشت. همبستگی بالای بین صفات می‌تواند حاکی از وجود پیوستگی ژئی یا زن‌هایی با آثار چندگانه (پلیوتربوی) باشد. وجود این همبستگی‌ها این امکان را می‌دهند تا بتوان به طور غیر مستقیم و با دقت بیشتری عمل انتخاب را انجام داد (Rabiee et al., 2004). همبستگی بین عملکرد غده و صفات فنوتیپ در شکل‌های ۱ و ۲ آورده شده است.

در این تحقیق وزن مخصوص به طور قابل توجهی در بسیاری از ارقام مورد ارزیابی کاهش یافت. رقم‌های سانته، ۱-۸۱، می‌لو، پیکاسو و مارفونا درصد ماده خشک بیشتر از شرایط نرمال نشان دادند و تحت تنش خشکی، عملکرد بیولوژیک در هرمس، ۱-۸۱ و مارفونا بیشترین مقدار را داشتند. این نتایج نشان می‌دهد که ارقام هرمس و ۶۹-۲ دارای شاخص تحمل به تنش بالاتر در مزرعه در مقایسه با شرایط نرمال دارند. کلون هرمس به لحاظ عملکرد کل، عملکرد بذری، تعداد غده بالاتر از ۵۵ میلی‌متر، عملکرد بیولوژیک در شرایط تنش خشکی برتر از سایر ارقام بودند و کلون ۶۹-۲ براساس عملکرد کل، عملکرد خوارکی و تعداد غده بالاتر از ۵۵ میلی‌متر به عنوان ارقام متحمل‌تر شناسایی شدند. بر اساس وزن مخصوص، ژنوتیپ مارفونا در شرایط نرمال بیشترین میزان (۱۰۹۶) را به خود اختصاص داد. میزان ماده خشک غده‌ها در ارقام مختلف سیب زمینی یکی از فاکتورهای مهم در تعیین کیفیت غده‌ها به ویژه در صنایع فرآوری و تهیه چیزی، خالل و پوره می‌باشد (Parvizi et al., 2008). مطالعه دیگر نشان داد که درصد ماده خشک بین



شکل ۱. آنالیز همبستگی بین صفات رشدی و عملکرد تحت شرایط نرمال.

Figure 1. Correlation analysis between growth and performance traits under normal conditions.



شکل ۲. آنالیز همبستگی بین صفات رشدی و عملکرد تحت شرایط خشکی.

Figure 2. Correlation analysis between growth and performance traits under drought conditions.

شد. بین عملکرد بذری و اندازه کمتر از ۳۵ میلی‌متر نیز همبستگی وجود داشت. تحت تنش نرمال همبستگی پایین یا عدم همبستگی بین وزن مخصوص و درصد ماده خشک در ارقام وجود دارد درحالی که در شرایط تنش خشکی همبستگی ۰/۹۹ بین درصد ماده خشک و وزن مخصوص مشاهده شد. گزارش شده است که وزن مخصوص تحت تأثیر عوامل ژنتیکی و محیطی قرار دارد (Soboka *et al.*, 2017). در شرایط تنش و نرمال وزن مخصوص با ابعاد غده و میزان غده همبستگی منفی دارد. ارتباط ابعاد غده با سایر صفات به میزان زیادی تحت تأثیر شرایط زراعی محل انجام آزمایش است. بهنحوی که به عنوان نمونه در شرایطی که ازت بیش از اندازه در تولید سیب‌زمینی استفاده گردد این امر می‌تواند موجب بزرگ شدن و پوکی غده‌ها و بهنوعی کاهش وزن مخصوص آنها گردد (Laurence *et al.*, 1985) که در آن صورت روابط

همبستگی مثبت و معنی‌داری بین عملکرد کل و تعداد کل غده، اندازه بذر بین ۳۵-۵۵، عملکرد بذری و عملکرد بیولوژیک در شرایط نرمال وجود دارد و پارامترها می‌توانند نقش مشابهی در انتخاب ژنتیک‌ها در این شرایط داشته باشند. در شرایط تنش خشکی، عملکرد کل با وزن خوراکی، وزن بذری، عملکرد بیولوژیک، تعداد کل غده، اندازه بذر ۳۵-۵۵، اندازه بذر کمتر از ۳۵ همبسته بودند. همچنین درصد ماده خشک و وزن مخصوص همبستگی داشتند. تحت شرایط نرمال بین وزن بذری و اندازه غده بین ۵۳-۵۵ میلی‌متر همبستگی کامل (۱) وجود داشت و همچنین بین عملکرد خوراکی و اندازه غده بیش از ۵۵ میلی‌متر نیز همبستگی کامل (۱) وجود داشت.

تحت تنش خشکی بین عملکرد بیولوژیکی و تعداد کل غده و عملکرد کل با عملکرد بذری و اندازه غده بین ۳۵ تا ۵۵ میلی‌متر همبستگی مثبت و معنی‌داری مشاهده

محتوای آب کمتر و وزن مخصوص بالاتر است (Ndungutse *et al.*, 2019). در شرایط تنفس خشکی، در این پژوهش وزن مخصوص و ماده خشک ارتباط معنی‌داری ۰/۹۹ مشاهده شد.

تجزیه و تحلیل مؤلفه اصلی (PCA)

اگرچه آنالیز همبستگی به تعیین صفات مؤثر به ترتیب انتخاب غیرمستقیم ژنوتیپ‌های برتر کمک می‌کند، اما از سوی دیگر، تجزیه مؤلفه‌های اصلی تکنیک چند متغیره مناسبی در شناسایی و تعیین مؤلفه‌های اصلی مستقل است که به طور جداگانه بر صفات گیاهی مؤثر هستند. بنابراین، تجزیه مؤلفه‌های اصلی همچنین به اصلاح کنندگان برای بهبود ژنتیکی صفاتی مانند عملکرد که وراثت‌پذیری کمی دارند، بهویژه در نسل‌های اولیه از طریق انتخاب غیرمستقیم برای صفات مؤثر بر عملکرد کمک می‌کند. با توجه به اینکه تجزیه مؤلفه‌های اصلی، مؤلفه‌ها مستقل و غیرهم‌بسته هستند، بنابراین نقش مهمی در شناسایی جنبه‌های مختلف صفات گزینش ارقام در برنامه‌های اصلاح نباتات ایفا می‌کند (Rahimi *et al.*, 2009). بهمنظور تعیین پراکنش ارقام و انتخاب ارقام برتر بهمراه صفات مورد مطالعه از تجزیه مؤلفه‌های اصلی استفاده شد. تجزیه و تحلیل مؤلفه‌های اصلی بر روی صفات عملکردی و مورفولوژیکی برای برسی کامل عوامل مختلفی که در شاخص‌های خشکی نقش اساسی داشته، انجام گرفت. میزان نرخ سهم تجمعی از تغییرات کلی ۷۱٪ بود. با توجه به آنالیز PCA توسط ماتریس همبستگی و روش تجزیه و تحلیل بای‌پلاس، مشخص شد که از این پارامترها می‌توان برای ارزیابی پاسخ ژنوتیپ‌های سیب‌زمینی به تنفس خشکی در محیط‌های مختلف استفاده کرد. براساس تجزیه و تحلیل PCA، عملکرد کل با عملکرد بیولوژیک؛ اندازه‌گذاری ۵۵-۳۵ میلی‌متر و تعداد کل غده مرتبط هستند و عملکرد خوارکی و اندازه‌گذاری بیشتر از ۵۵ میلی‌متر و کمتر از ۳۵ میلی‌متر با هم مرتبط هستند. همچنین براساس نتایج حاصل، هرمس و ۶۹-۲ نیز به عنوان ژنوتیپ‌های متحمل شناسایی شدند (شکل ۳). پارامترهای مورفولوژیکی و عملکردی تجزیه و تحلیل شده ۷۱ درصد از تنوع کل را در دو مؤلفه اول توضیح دادند، که در آن ۵۵/۴ درصد تنها با

بین صفات وابسته به عملکرد سیب‌زمینی و مخصوصاً اندازه غده‌های بزرگ نیز تغییر خواهد کرد. درصد ماده خشک با تمام صفات مرتبط با عملکرد در شرایط تنفس نرمال و خشکی همبستگی منفی داشته است. یکی از عوامل دیگر در تعیین نوع مصرف سیب‌زمینی درصد ماده خشک می‌باشد که در فرآوری سیب‌زمینی اهمیت ویژه‌ای دارد، زیرا با افزایش ماده خشک فرآوری با کیفیت‌تر، زمان پخت کوتاه‌تر، بافت سیب‌زمینی بهتر و همچنین روغن کمتری در صورت استفاده برای چیپس و فرنچ فرایز مصرف می‌شود (Fathi *et al.*, 2010). میزان ماده خشک غده در ارقام مختلف سیب‌زمینی یکی از فاکتورهای مهم در تعیین کیفیت غده‌ها بهویژه در صنایع فرآوری، چیپس و فرنچ فرایز دارد (Fathi *et al.*, 2010). اگر یک عامل معینی مقدار کل ماده خشک را بیشتر از وزن کل غده افزایش دهد، درصد ماده خشک افزایش خواهد یافت. عموماً عواملی که رشد شاخ و برگ را تحریک می‌کنند، درصد ماده خشک را کاهش می‌دهند و عواملی که رشد غده را تحریک می‌کنند، درصد ماده خشک را افزایش می‌دهند (Rezaie and Soltani, 2004).

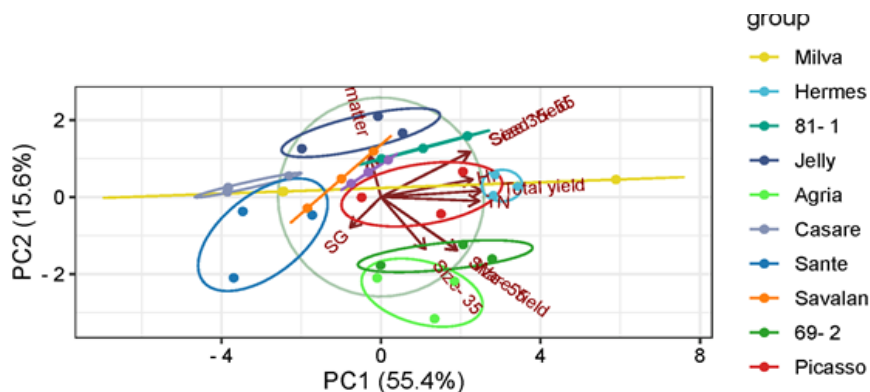
نتایج مطالعه حاضر با نتایج مطالعه دیگر بر روی اجزای عملکرد سیب‌زمینی مطابقت داشت (Boguszewska- Mankowska *et al.*, 2022). همچنین بین صفات عملکرد بذری و تعداد کل غده و اندازه غده در گندم، ذرت و برنج همبستگی داشت که می‌تواند به عنوان پارامتر انتخابی برای گزینش استفاده شود (Beiragi *et al.*, 2011; Hassan *et al.*, 2023; Xu *et al.*, 2023). مبتنى بر نتایج آزمایشی بر روی سیب‌زمینی نشان داد که افزایش عملکرد با میزان عملکرد بیولوژیکی همبستگی بالایی در سیب‌زمینی شیرین دارد (Indriani *et al.*, 2021). همبستگی مثبت و معنی داری بین عملکرد غده و شاخص بیولوژیکی وجود داشت. براساس مطالعه‌ای که بر روی سیب‌زمینی انجام شد این Zabihi-e- همبستگی در مطالعه حاضر مشاهده شد (Mahmoodabad *et al.*, 2011). وزن مخصوص غده‌های سیب‌زمینی یک معیار کیفیت مهم برای فرآوری سیب‌زمینی است. از آن به عنوان تخمينی از محتوای جامد یا ماده خشک غده‌ها استفاده می‌شود. هر چه مقدار ماده خشک بیشتر باشد،

تجزیه کلاستر

دندروگرام حاصل از تجزیه خوشای بهروش Ward برای ارقام سیبزمینی براساس صفات عملکردی و مورفوژوئیک در شکل ۴ آورده شده است. بر اساس آنالیز تجزیه کلاستر ۱۱ رقم به چهار گروه تقسیم شدند که گروه اول شامل هرمس، ۸۱-۱، ۲-۶۹، سانته و ساوالان در یک خوش قرار گرفتند. گروه ۲ شامل مارفونا و میلووا بوده و گروه سوم شامل پیکاسو، آگریا و جلی میباشد و سزار نیز در گروه جداگانه قرار گرفت که گروه چهارم محسوب شد (شکل ۴). نتایج حاصل از تجزیه مولفه اصلی و تجزیه خوشای نشان داد که ارقام متحمل و حساس در تنفس خشکی با الگوی مشابهی در یک گروه قرار گرفتند. در گروه اول هرمس، ۲-۶۹ که با ژنتیپ سانته که متحمل خشکی است در یک گروه قرار گرفته‌اند. براساس نتایج مطالعه‌ای که بر روی تنفس خشکی سیبزمینی در ارقام سانته و آگریا به عنوان رقم متحمل و حساس به خشکی بهترین انعام شد، مشاهده شد که بیان ژن‌های افزایش یافته در مسیرهای سیگنالینگ تحمل به خشکی در رقم سانته بیش از رقم حساس در آگریا بوده است (Aksoy *et al.*, 2024). مطالعه دیگر نشان داد که آگریا ژنتیکی حساس به خشکی میباشد. در عین حال این رقم دارای عملکرد بالا در شرایط نرمال میباشد (Hassanpanah, 2010). این نتایج به انتخاب غیر مستقیم ارقام در محیط‌های مختلف کمک می‌کند.

PC1 توضیح داده‌می‌شود که دلیل آن مشارکت همه پارامترهای عملکرد و مورفوژوئیکی است، بهجذب ماده خشک و وزن مخصوص.

شکل ۳ نشان می‌دهد که بیشترین تأثیر و تغییر مربوط به صفات عملکرد و مورفوژوئیکی میباشد و میزان تأثیر ماده خشک و وزن مخصوص در میزان تغییرات به مراتب کمتر بوده است. در نتیجه برای انتخاب ارقام برای برنامه اصلاحی باید به صفات عملکردی توجه ویژه‌ای در مقایسه با صفات کیفی مانند وزن مخصوص ماده خشک شود. همچنین محققان گزارش کردند که درصد ماده خشک یک ژنتیپ تحت شرایط محیطی مختلف تغییر مینماید، بنابراین درصد ماده خشک برای یک رقم خاص در شرایط اقلیمی متفاوت ثابت نمیمانند (Mousapour, 2005). از این نتیجه میتوان نتیجه گرفت که متغیرهای مهم در نظر گرفته شده در تحقیق حاضر با توجه به صفات زراعی عبارتند از: عملکرد غده، عملکرد بذری، عملکرد بیولوژیکی. این متغیرهای فوق ممکن است برای انتخاب مؤثر والدین در طول برنامه هیبریداسیون برای گسترش پایه ژنتیکی در جمعیت و همچنین برای ایجاد لاین‌های برتر در نظر گرفته شوند. علاوه بر این، انتخاب ژنتیپ‌های دارای بیشترین میزان عملکرد غده و آن اجزا باید به عنوان یکی از بهترین استراتژی‌های اصلاحی برای بهبود ژنتیکی عملکرد غده در سیبزمینی توصیه شود. این نتایج توسط بسیاری از محققان تأکید شده است (Sattar *et al.*, 2011; Ahmadizadeh and Felenji, 2011; Lohani *et al.*, 2012; Xu *et al.*, 2023).



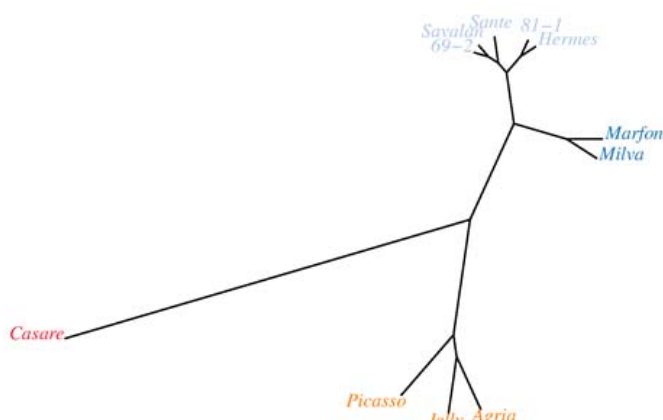
شکل ۳. آنالیز تجزیه مولفه‌های اصلی برای ژنتیپ‌های سیبزمینی و صفات رشدی و عملکردی.

Figure 3. Principal component analysis for potato genotypes and growth and performance traits.

تغییرات آب و هوایی در طول سال‌های اخیر قابل مشاهده است. پیش‌بینی می‌شود در طول تنفس خشکی کیفیت غده به شدت تحت خشکسالی قرار گیرد، بدین دلیل درک مسیرهای دقیق تحمل به خشکی در سطوح مولکولی، بیوشیمیابی و فیزیولوژیکی برای بهبود عملکرد غده ضروری به نظر می‌رسد. PCA تکنیکی است که صفات گیاهی را شناسایی می‌کند که بیشترین نقش را در تنوع مشاهده شده در یک گروه از ژنوتیپ‌ها داشته و کاربرد عملی آن در انتخاب لاینهای والدینی برای اهداف اصلاحی دارد (Ahmadizadeh and Felenji, 2011) واریانس تجمعی بیش از ۸۴ درصد توسط دو محور اول با مقادیر ویژه بیش از ۱۰ نشان داد که صفات شناسایی شده در این محورها تأثیر زیادی بر فنوتیپ ارقام از خود نشان می‌دهند و می‌توان به طور مؤثر برای انتخاب بین آنها استفاده کرد. Cardi و همکاران (۲۰۰۳) با تجزیه و تحلیل ارقام سیب‌زمینی تترالپوئید به مؤلفه‌های اصلی، ۱۰ مؤلفه اصلی را با مقدار توجیهی ۹۸,۹ درصد شناسایی کردند. Tairo و همکاران (۲۰۰۸) همچنین از PCA برای مطالعه تنوع در میان توده‌های بومی تانزانیا استفاده کردند و تنوع ژنتیکی پایینی را در میان آنها یافتند. Lahoni و همکاران (۲۰۱۲) مشاهده کردند که ۱۱ مؤلفه اول ۹۶/۲۵ درصد تغییرات را توضیح دادند. حداقل تغییرات درصد با اولین بردار نهفته و سپس ۱۶/۳۴ درصد (بردار دوم) و ۱۳/۳۰ درصد (بردار سوم) توضیح داده شد.

براساس آنالیز تجزیه خوشای ارقامی که به لحاظ قرابت ژنتیکی مشابه هستند در یک گروه قرار می‌گیرند و آنها ای در گروه‌های دورتر و جداگانه قرار می‌گیرند بیشترین تفاوت به لحاظ ژنتیکی را دارا هستند. در نتیجه از ارقام دورتر برای برنامه دو رگ‌گیری نیز استفاده می‌شود. در این پژوهش ارقام هرمس و ۶۹-۲، ۸۱-۱، ۸۹-۲ ساوالان و سانته در یک گروه قرار گرفته که سانته و ساوالان در مطالعات مختلف به عنوان ارقام متحمل به خشکی معرفی شدند با ارقام پیکاسو، جلی و آگریا فاصله ژنتیکی زیادی دارند. در نتیجه از این گروه‌های در برنامه تلاقی و هتروزیس می‌توان استفاده کرد. همچنین در بین صفات عملکردی در شرایط تنفس خشکی رقم هرمس و ۶۹-۲ بالاترین مقدار در میزان عملکرد غده و بذری به خود اختصاص دادند درحالی که رقم جلی پایین‌ترین میزان تعداد غده را دارا بود. این نتایج حاکی از آن است که آنالیز فیلورژنتیکی و تجزیه مؤلفه‌های اصلی به خوبی توانسته تفاوت بین ارقام را شناسایی کند.

براساس نتایج مطالعه حاضر رقم هرمس و ۶۹-۲ متحمل‌ترین ژنوتیپ‌ها شناسایی شدند که تحت تنفس خشکی عملکرد کل و بیولوژیکی بالاتری داشتند. همچنین از تعداد غده بزرگ‌تر از ۵۵ میلی‌متر بیشتری نیز برخوردار بودند که بازار پسندی این دو رقم تحت تنفس خشکی نیز بیشتر خواهد بود. از آنجایی که کشت سیب‌زمینی به مناطق محدود آب در حال گسترش است و



شکل ۴. تجزیه کلاس‌تر ژنوتیپ‌های سیب‌زمینی تحت تنفس خشکی براساس صفات رشدی و عملکردی.

Figure 4. Cluster analysis of potato genotypes under drought stress based on growth and performance traits.

کلاس‌تر و تجزیه و تحلیل PCA تقریباً مشابه بوده و ژنوتیپ‌های هرمس و ۶۹-۲ در یک گروه قرار گرفته‌اند و می‌توانند به عنوان ژنوتیپ‌های متحمل معرفی شوند. نتایج این دو برای تایید ساختار جمعیت و همچنین تنوع ژنتیکی مورد استفاده قرار می‌گیرد. بنابراین، از بررسی فوق می‌توان نتیجه گرفت که تجزیه به مؤلفه‌های اصلی در ارقام سیب‌زمینی، شناسایی صفات مطلوب و ارتباط آنها با عملکرد و طبقه‌بندی مطمئن ژنوتیپ‌ها را تسهیل می‌کند. تغییرات نسبتاً بیشتری در صفاتی که روی مؤلفه اول قرار داشتند مشهود بود. متغیرهای فوق ممکن است برای انتخاب مؤثر والدین در طول برنامه هیریداسیون در نظر گرفته شوند. یک برنامه هیریداسیون خوب را می‌توان با انتخاب رقم هرمس و ۶۹-۲ از شکل‌های بای پلات آغاز کرد. که با استفاده از این اطلاعات می‌توان ژنوتیپ‌های اصلی و ارتباط با صفات مورفو‌لوزیکی را با کاربرد احتمالی برای اهداف اصلاحی خاص شناسایی شود. بنابراین، یک برنامه بهبود شامل هرمس و ۶۹-۲ ممکن است جداسازی‌های متحاوز و هتروتیک ایجاد کند، به طوری که تاریخ انتخاب قبلی سازگاری متقابل را می‌توان برای انتخاب ژنوتیپ‌ها برای صفات مختلف در این ارقام نادیده گرفت.

نتیجه‌گیری و پیشنهادها

خشکسالی، عملکرد کل و قابل فروش تمامی ژنوتیپ‌های سیب‌زمینی آزمایش شده را کاهش داد. کلون هرمس به لحاظ عملکرد کل، عملکرد بدزیر، تعداد غده بالاتر از ۵۵ میلی‌متر، عملکرد بیولوژیک در شرایط تنفس خشکی بتر از سایر ارقام بودند و کلون ۶۹-۲ براساس عملکرد کل، عملکرد خوارکی و تعداد غده بالاتر از ۵۵ میلی‌متر به عنوان ارقام متحمل‌تر شناسایی شدند (جدول ۳). کلون‌های هرمس و ۶۹-۲ کاهش عملکرد کمتر و شاخص حساسیت به خشکی کمتری را در شرایط خشکی نشان دادند، اما برای تأیید این نتیجه آزمایش‌های بیشتری برای ارزیابی پاسخ فیزیولوژیکی این ژنوتیپ‌ها به شرایط مختلف آب، خاک و اقلیمی مورد نیاز است. براساس مطالعه حاضر، آنالیز PCA و کلاس‌تر تحت تنفس خشکی انجام شد و ارقام هرمس و ۶۹-۲ به عنوان متحمل‌ترین براساس عملکرد بالاتر و صفات مورفو‌لوزیکی بهتر در شرایط تنفس خشکی انتخاب شدند. انتخاب ژنوتیپ‌های متحمل بر اساس ترکیبی از شاخص‌های مورفو‌لوزیکی و عملکردی می‌تواند معیارهای مفیدی برای اصلاح ژنتیکی انواع ارقام سیب‌زمینی متحمل به خشکی فراهم کند. نتایج تجزیه

جدول ۳. مقایسه میانگین صفات مورد ارزیابی در بررسی بر ژنوتیپ‌های سیب‌زمینی در شرایط خشکی

Table 3. Comparison of the mean traits evaluated in the study of potato genotypes under drought conditions.

Irrigation treatment	Genotype	Tuber with 35 mm diameter	Tuber with 35-55 mm diameter	Tuber with 55 mm diameter	Seed (yield kg ha ⁻¹)	Ware (yield kg ha ⁻¹)	TN (Unit)	Total (yield kg ha ⁻¹)	HI (%)	Dry matter (g/kg)	SG (g/cm ³)
Drought	Milva	102.2 ^{h-j}	13.89 ^{hi}	4.82 ^{gh}	0.69 ^{hi}	0.36 ^{gh}	247.25 ^{kl}	6.11 ^k	17.58 ^{jk}	20.13 ^{a-h}	0.99 ^b
	Hermes	247.33 ^{cd}	34.19 ^{c-e}	6.83 ^f	1.70 ^{e-e}	0.51 ^f	565.33 ^{cd}	11.88 ^h	62.82 ^b	19.93 ^{b-h}	1.0002 ^b
	81-1	159.0 ^{e-h}	27.35 ^{e-g}	6.83 ^f	1.36 ^{e-g}	0.51 ^f	424.00 ^{g-i}	9.75 ^{hi}	52.89 ^c	28.938 ^a	1.0002 ^b
	Jelly	106.0 ^{ij}	29.63 ^{d-g}	3.89 ^{hi}	1.48 ^{d-g}	0.29 ^{hi}	365.83 ^{ij}	9.47 ^{ij}	22.32 ^{jk}	19.40 ^{c-i}	1.0004 ^b
	Agria	282.66 ^c	15.95 ^{hi}	8.72 ^e	0.79 ^{hi}	0.65 ^e	473.9 ^{e-h}	9.99 ^{hi}	30.37 ^{g-i}	17.21 ^{i-k}	1.0008 ^b
	Casare	123.66 ^{g-j}	9.11 ⁱ	3.42 ⁱ	0.45 ⁱ	0.25 ⁱ	220.83 ^l	5.43 ^k	18.46 ^{jk}	20.47 ^{b-g}	1.0006 ^b
	Santé	123.66 ^{gj}	9.11 ⁱ	5.50 ^g	0.45 ⁱ	0.41 ^g	236.98 ^l	5.41 ^k	18.09 ^k	20.67 ^{b-f}	1.070 ^a
	Savalan	132.5 ^{fi}	20.51 ^{gh}	4.83 ^{gh}	1.025 ^{gh}	0.36 ^{gh}	328.98 ^{jk}	7.43 ^{jk}	33.156 ^{e-h}	18.88 ^{d-j}	1.0009 ^b
	69-2	159.0 ^{e-h}	22.79 ^{f-h}	10.39 ^d	1.13 ^{f-h}	0.77 ^d	416.24 ^{g-i}	10.44 ^{hi}	39.80 ^{ef}	17.79 ^{h-k}	1.0003 ^b
	Picasso	123.6 ^{gi}	27.35 ^{e-g}	7.78 ^{ef}	1.36 ^{e-g}	0.58 ^{ef}	395.98 ^{h-j}	9.80 ^{hi}	41.93 ^{de}	18.74 ^{e-j}	1.0002 ^b
	Marfona	159.0 ^{e-h}	23.93 ^{f-h}	4.83 ^{gh}	1.19 ^h	0.36 ^{gh}	381.98 ^{ij}	8.88 ^{ij}	32.268 ^{e-h}	20.163 ^{b-h}	1.0004 ^b

ns, * and **: respectively, non-significant and significant at the 0.05 and 0.01 levels. *** و ** بهتر ترتیب غیر معنی‌دار و معنی‌دار در سطوح ۵ و ۱ درصد.

تعارض منافع

هیچ گونه تعارض منافع توسط نویسنده‌گان وجود ندارد.

References

- Ahmadizadeh, M., & Felenji, H. (2011). Evaluating diversity among potato cultivars using agromorphological and yield components in fall cultivation of Jiroft area. *American Eurasian Journal of Agriculture and Environmental Science*, 11(5), 655-662.
- Aksoy, E., Yavuz, C., Yagiz, A. K., Unel, N. M., & Baloğlu, M. C. (2024). Genome-wide characterization and expression analysis of GATA transcription factors under combination of light wavelengths and drought stress in potato. *Plant Direct*, 8(4), e569. <https://doi.org/10.1002/pld3.569>.
- Asnake, D., Alemayehu, M., & Asredie, S. (2023). Growth and tuber yield responses of potato (*Solanum tuberosum L.*) varieties to seed tuber size in northwest highlands of Ethiopia. *Heliyon*, 9(3). <https://doi.org/10.1016/j.heliyon.2023.e14586>
- Beiragi, M. A., Ebrahimi, M., Mostafavi, K., Golbashy, M., & Khorasani, S. K. (2011). A study of morphological basis of corn (*Zea mays L.*) yield under drought stress condition using correlation and path coefficient analysis. *Journal of Cereals and Oilseeds*, 2(2), 32-37.
- Binalfew, T., Dechassa, N., & Tana, T. (2015). Influence of plant spacing on seed and ware tuber production of potato (*Solanum tuberosum L.*) cultivars grown in Eastern Ethiopia. *Science, Technology and Arts Research Journal*, 4(3), 11-17. <http://dx.doi.org/10.4314/star.v4i3.2>
- Boguszewska-Mańkowska, D., Zarzyńska, K., & Wasilewska-Nascimento, B. (2022). Potato (*Solanum tuberosum L.*) Plant Shoot and Root Changes under Abiotic Stresses—Yield Response. *Plants*, 11(24), 3568. <https://doi.org/10.3390/plants11243568>
- Cardi, T., Mazzei, M., & Frusciante, L. (2002). Field variation in a tetraploid progeny derived by selfing a *Solanum commersonii* (+) *S. tuberosum* somatic hybrid: a multivariate analysis. *Euphytica*, 124, 111-119. <https://doi.org/10.3390/plants11243568>
- Dahal, K., Wang, J., Martyn, G. D., Rahimy, F., & Vanlerberghe, G. C. (2014). Mitochondrial alternative oxidase maintains respiration and preserves photosynthetic capacity during moderate drought in *Nicotiana tabacum*. *Plant Physiology*, 166(3), 1560-1574. <https://doi.org/10.1104/pp.114.247866>
- Deblonde, P. M. K., & Ledent, J. F. (2001). Effects of moderate drought conditions on green leaf number, stem height, leaf length and tuber yield of potato cultivars. *European Journal of Agronomy*, 14(1), 31-41. [https://doi.org/10.1016/S1161-0301\(00\)00081-2](https://doi.org/10.1016/S1161-0301(00)00081-2)
- Devaux, A., Goffart, J. P., Kromann, P., Andrade-Piedra, J., Polar, V., & Hareau, G. (2021). The potato of the future: opportunities and challenges in sustainable agri-food systems. *Potato Research*, 64(4), 681-720. <https://doi.org/10.1007/s11540-021-09501-4>
- Eid, M. A., Abdel-Salam, A. A., Salem, H. M., Mahrous, S. E., Seleiman, M. F., Alsadon, A. A., ... & Ibrahim, A. A. (2020). Interaction effects of nitrogen source and irrigation regime on tuber quality, yield, and water Use efficiency of *Solanum tuberosum L.* *Plants*, 9(1), 110. <https://doi.org/10.3390/plants9010110>
- Evers, D., Lefevre, I., Legay, S., Lamoureux, D., Hausman, J. F., Rosales, R. O. G., ... & Schafleitner, R. (2010). Identification of drought-responsive compounds in potato through a combined transcriptomic and targeted metabolite approach. *Journal of experimental botany*, 61(9), 2327-2343. <https://doi.org/10.1093/jxb/erq060>
- FAOSTAT, F. (2020). Statistical Database: Food and Agriculture Organization of the United Nations, (<https://www.fao.org/faostat/en/#data/QCL>)
- Fathi, M., Asghari, R., Valizadeh, M., Aharizad, S., & Hassanpanah, D. (2010). Evaluation of advanced clones from true potato seed. *Journal of Agricultural Science*, 2(19), 207-214.
- Fozouni, A. A., & Aboutalebian, M. A. (2020). Comparison of Leaf Area Index, Quantitative and Qualitative Characteristics of 13 New Potato Cultivars under semi-arid and cold Climatic Conditions of Razan. *Journal of Crops Improvement*, 22(4), 645-656.
- Haase, I., Evans, R., Pofahl, R., & Watt, F. M. (2003). Regulation of keratinocyte shape, migration and wound epithelialization by IGF-1-and EGF-dependent signalling pathways. *Journal of cell science*, 116(15), 3227-3238. <https://doi.org/10.1242/jcs.00610>
- Hajibarati, Z., & Saidi, A. (2023). Filamentation temperature-sensitive (FtsH); key player in response to multiple environmental stress conditions and developmental stages in potato. *Journal of Plant Growth Regulation*, 42(7), 4223-4239. <https://doi.org/10.1007/s00344-022-10885-x>

- Hassan, M. A., Dahu, N., Hongning, T., Qian, Z., Yueming, Y., Yiru, L., & Shimei, W. (2023). Drought stress in rice: morpho-physiological and molecular responses and marker-assisted breeding. *Frontiers in Plant Science*, 14, 1215371. <https://doi.org/10.3389/fpls.2023.1215371>
- Hassanpanah, D. (2010). Evaluation of potato advanced cultivars against water deficit stress under in vitro and in vivo condition. *Biotechnology*, 9(2), 164-169.
- Hirut, B., Shimelis, H., Fentahun, M., Bonierbale, M., Gastelo, M., & Asfaw, A. (2017). Combining ability of highland tropic adapted potato for tuber yield and yield components under drought. *PloS one*, 12(7), e0181541. <https://doi.org/10.1371/journal.pone.0181541>
- Indriani, F. C., Restuono, J., Rahajeng, W., Patriyawaty, N. R., Ashari, S., Sundari, T., & Mejaya, M. J. (2021, November). Identification of the genetic diversity of sweet potato germplasm based on quantitative morphological characters. In *IOP Conference Series: Earth and Environmental Science* (Vol. 911, No. 1, p. 012006). IOP Publishing.
- Laurence, R. C. N., Armour, J. D., Shepherd, R. K., Loader, L. R., & Dwyer, M. J. (1985). Nitrogen fertilizer requirements of irrigated potatoes on the Atherton Tableland, North Queensland. *Australian Journal of Experimental Agriculture*, 25(4), 954-958.
- Lohani, M., Singh, D., & Singh, J. P. (2012). Genetic diversity assessment through principal component analysis in potato (*Solanum tuberosum* L.). *Vegetable Science*, 39(02), 207-209.
- Minhas, J. S. (2012). Potato: production strategies under abiotic stress. *Improving crop resistance to abiotic stress*, 1155-1167. <https://doi.org/10.1002/9783527632930.ch45>
- Mousapour, Y. (2005). Evaluation of quantitative and qualitative characteristics of potato new cultivars in spring cultivation. Project final report, Seed and plant Improvement Institute.
- Nasir, M. W., & Toth, Z. (2022). Effect of drought stress on potato production: A review. *Agronomy*, 12(3), 635. <https://doi.org/10.3390/agronomy12030635>
- Ndungutse, V., Ngoda, P. M. N., Vasanthakalam, H., Shakala, E. K., & Faraj, A. K. (2019). Processing quality of selected potato (*Solanum tuberosum* L.) cultivars grown in Rwanda. <http://41.89.96.81:8080/xmlui/handle/123456789/2650>
- Obidiegwu, J. E., Bryan, G. J., Jones, H. G., & Prashar, A. (2015). Coping with drought: stress and adaptive responses in potato and perspectives for improvement. *Frontiers in plant science*, 6, 542. <https://doi.org/10.3389/fpls.2015.00542>
- Parvizi, Kh. (2008). Study of quantitative and qualitative traits of new early and late potato cultivars in spring cultivation. *Agriculture and Horticulture*, 79, 1-11.
- Pedreschi, F., & Moyano, P. (2005). Effect of pre-drying on texture and oil uptake of potato chips. *LWT-Food Science and technology*, 38(6), 599-604. <https://doi.org/10.1016/j.lwt.2004.08.008>
- Rahimi, M., Ramezani, M., & Rabiee, B. (2009). Identification of elite lines and hybrids of rice using factor analysis.
- Rezaie, A., & Soltani, A. (2004). Introduction to potato production. *Jahad Daneshgahi of Tehran University Press*. <https://doi.org/10.22034/saps.2021.44371.2629>
- Saidi, A., & Hajibarat, Z. (2018). In silico analysis of floral MADS-BOX gene in *Brachypodium distachyon*. *Bionature*, 366-375.
- Saidi, A., & Hajibarat, Z. (2020). Computational study of environmental stress-related transcription factor binding sites in the promoter regions of maize auxin response factor (ARF) gene family. *Notulae Scientia Biologicae*, 12(3), 646-657. <https://doi.org/10.15835/nsb12310823>
- Sattar, M. A., Uddin, M. Z., Islam, M. R., Bhuiyan, M. K. R., & Rahman, M. S. (2011). Genetic divergence in potato (*Solanum tuberosum* L.). *Bangladesh Journal of Agricultural Research*, 36(1), 165-172.
- Soboka, S., Asefa, G., & Beriso, M. (2017). Effect of varieties and growing environments on tuber yield, nutritional and process quality of potato grown in bale highlands, south eastern Ethiopia. *International Journal of Agricultural Research, Innovation and Technology (IJARIT)*, 7(2), 18-21. <https://doi.org/10.22004/ag.econ.305434>
- Tairo, F., Mnene, E., & Kullaya, A. (2008). Morphological and agronomical characterization of sweet potato [*Ipomoea batatas* (L.) Lam.] germplasm collection from Tanzania. *African Journal of Plant Science*, 2(8), 077-085.
- Tang, R., Niu, S., Zhang, G., Chen, G., Haroon, M., Yang, Q., ... & Li, X. Q. (2018). Physiological and growth responses of potato cultivars to heat stress. *Botany*, 96(12), 897-912. <https://doi.org/10.1139/cjb-2018-0125>
- Tessema, L., Mohammed, W., & Abebe, T. (2020). Evaluation of potato (*Solanum tuberosum* L.) varieties for yield and some agronomic traits. *Open Agriculture*, 5(1), 63-74. <https://doi.org/10.1515/opag-2020-0006>

- Xu, Z., Lai, X., Ren, Y., Yang, H., Wang, H., Wang, C., ... & Zhang, Y. (2023). Impact of drought stress on yield-related agronomic traits of different genotypes in spring wheat. *Agronomy*, 13(12), 2968. <https://doi.org/10.3390/agronomy13122968>
- Zabihi-e-Mahmoodabad, R., Jamaati-e-Somarin, S., Khayatnezhad, M., & Gholamin, R. (2011). Correlation of tuber yield with yield components of potato affected by nitrogen application rate in different plant density. *Advances in Environmental Biology*, 131-136.
- Zaki, H. E., & Radwan, K. S. (2022). Response of potato (*Solanum tuberosum* L.) cultivars to drought stress under in vitro and field conditions. *Chemical and Biological Technologies in Agriculture*, 9, 1-19. <https://doi.org/10.1186/s40538-021-00266-z>
- Zarzyńska, K., & Pietraszko, M. (2017). Possibility to predict the yield of potatoes grown under two crop production systems on the basis of selected morphological and physiological plant indicators. <https://doi.org/10.17221/101/2017-PSE>
- Zhang, H., Chen, X., Xue, D., Zhang, W., Li, F., Teng, A., ... & Ba, Y. (2024). Dry matter accumulation, water productivity and quality of potato in response to regulated deficit irrigation in a desert oasis region. *Plants*, 13(14), 1927. <https://doi.org/10.3390/plants13141927>

Winter (2025) 14 (3), 69-82.

DOI: [10.30473/cb.2025.72958.1993](https://doi.org/10.30473/cb.2025.72958.1993)

ORIGINAL ARTICLE

Investigation of the expression changes of some genes involved in the biosynthesis of thymoquinone upon methyl jasmonate treatment in black cumin (*Nigella sativa* L.)

Masoomeh Karami Hoomani¹, Mohammad Majdi¹(ORCID: 0000-0001-6959-4845), Ghader Mirzaghdari¹

1. Department of Plant Production and Genetics, University of Kurdistan, Sanandaj, Iran.

Correspondence:
Mohammad Majdi
Email: majdi60@gmail.com

Received: 14, Dec. 2024
Accepted: 19, Jan. 2025

How to cite:

Karami Hoomani, M., Majdi, M., & Mirzaghdari, Gh. (2025). Investigation of the expression changes of some genes involved in the biosynthesis of thymoquinone upon methyl jasmonate treatment in black cumin (*Nigella sativa* L.). *Crop Biotechnology*, 14 (3), 69-82.
(DOI: [10.30473/cb.2025.72958.1993](https://doi.org/10.30473/cb.2025.72958.1993))

ABSTRACT

Thymoquinone, the main compound of black cumin (*Nigella sativa*) oil, has numerous therapeutic effects. 1-Deoxy-D-xylulose 5-phosphate reductase (*DXR*) and geranylgeranyl diphosphate synthase (*GTS*) are two key genes in the biosynthetic pathway of thymoquinone. In this study, the expression changes of genes *DXR* and *GTS* were investigated in two ecotypes of Iranian black cumin with the highest and lowest levels of thymoquinone, including ecotype H (Semirum) and ecotype K (Eqlid), as well as the effect of methyl jasmonate treatment on the expression of these genes. Sampling was conducted at 12, 24, and 48 hours after the application of methyl jasmonate at a concentration of 100 µM during the immature seed stage. Gene expression was analyzed using RT-qPCR. The results at a 5% significance level showed that the expression of both genes in ecotype H is significantly higher than in ecotype K. The expression level of the *GTS* gene in both ecotypes was influenced by methyl jasmonate, initially decreasing in the first 12 hours, then gradually increasing and reaching a maximum at 48 hours, which was significantly different from the control. However, the expression of the *DXR* gene varied between the two ecotypes: in ecotype H, the expression of this gene significantly decreased, reaching its minimum at 48 hours, while in ecotype K, it initially increased at 12 hours and then decreased to a minimum at 48 hours. Overall, these findings indicate that the gene expression of *GTS* and *DXR* genes involved in the thymoquinone biosynthetic pathway in *N. sativa* is genotype-dependent, and methyl jasmonate treatment can effectively induce the expression of these genes, depending on the genotype and time which consequently can increase the thymoquinone content.

KEY WORDS

Nigella sativa, thymoquinone, methyl jasmonate, gene expression



© 2025, by the author(s). Published by Payame Noor University, Tehran, Iran.
This is an open access article under the CC BY 4.0 license (<http://creativecommons.org/licenses/by/4.0/>).
<https://cropbiotech.journals.pnu.ac.ir/>

زیست‌فناوری گیاهان زراعی

سال چهاردهم، شماره سوم، پیاپی ۴۹، بهار ۱۴۰۴ (۶۹-۸۲)

DOI: 10.30473/cb.2025.72958.1993

«مقاله پژوهشی»

بررسی تغییرات بیان برخی ژن های دخیل در بیوسنتر تیموکینون تحت اثر متیل جاسمونات در سیاهدانه (*Nigella sativa*)

معصومه کرمی هومانی^۱، محمد مجیدی^۱، قادر میرزاقداری^۱

چکیده

تیموکینون، ترکیب اصلی روغن بذر سیاهدانه، اثرات درمانی متعددی دارد. ۱-دی‌اکسی زایلوز-۵-فسفات ردوکتاز (DXR) و گاما-تیپین سنتاز (GTS) دو ژن کلیدی مسیر بیوسنتری تیموکینون هستند. در این پژوهش تغییرات بیان ژن‌های DXR و GTS در دو اکوتیپ سیاهدانه ایرانی با بیشترین و کمترین میزان تیموکینون شامل اکوتیپ H (سمیرم) و اکوتیپ K (اقلید) و نیز تأثیر تیمار متیل جاسمونات بر بیان این ژن‌ها بررسی شد. نمونه‌برداری در زمان‌های ۲۴، ۱۲ و ۴۸ ساعت پس از اعمال تیمار متیل جاسمونات با غلظت ۱۰۰ میکرومولار و در مرحله‌ی بذر نارس انجام شد. بیان ژن‌ها با استفاده از RT-qPCR بررسی گردید. نتایج در سطح احتمال ۵ درصد نشان داد بیان هر دو ژن در اکوتیپ H به صورت معناداری بالاتر از اکوتیپ K است. همچنین میزان بیان ژن GTS در هر دو اکوتیپ تحت تیمار متیل جاسمونات پس از کاهش بیان در ۱۲ ساعت اول به تدریج افزایش و در ۴۸ ساعت به حد اکثر رسید، که نسبت به شاهد بسیار معنا دار بود. میزان بیان ژن DXR تحت اثر متیل جاسمونات در دو اکوتیپ متفاوت بود. در اکوتیپ H، بیان ژن DXR به طور معناداری نسبت به شاهد کاهش یافت و حداقل میزان بیان آن در ۴۸ ساعت مشاهده شد. در اکوتیپ K، بیان ژن DXR ابتدا در ۱۲ ساعت به طور معناداری افزایش پیدا کرد و سپس طی یک روند کاهشی در ۴۸ ساعت به حداقل رسید. این نتایج نشان داد که بیان ژن‌های GTS و DXR مسیر بیوسنتری تیموکینون سیاهدانه تحت تأثیر ژنوتیپ قرار دارد، همچنین متیل جاسمونات می‌تواند در القای بیان این ژن‌ها مؤثر باشد و این تأثیر تحت اثر ژنوتیپ و زمان قرار دارد.

واژه‌های کلیدی

سیاهدانه، تیموکینون، متیل جاسمونات، بیان ژن.

۱. گروه ژنتیک و تولیدات گیاهی، دانشکده کشاورزی،
دانشگاه کردستان، سنندج، ایران.

نویسنده مسئول:
محمد مجیدی

رایانه‌امه: majdi60@gmail.com

تاریخ دریافت: ۱۴۰۳/۰۹/۱۴
تاریخ پذیرش: ۱۴۰۳/۱۰/۳۰

استناد به این مقاله:
کرمی هومانی؛ معصومه، مجیدی، محمد و میرزاقداری،
 قادر (۱۴۰۳)، بررسی تغییرات بیان برخی ژن‌های دخیل در بیوسنتر تیموکینون تحت اثر متیل جاسمونات در سیاهدانه (*Nigella sativa*)، فصلنامه علمی زیست‌فناوری گیاهان زراعی، ۱۴، (۶۹-۸۲)، (۳)، DOI: [10.30473/cb.2025.72958.1993](https://doi.org/10.30473/cb.2025.72958.1993)

حق انتشار این مستند، متعلق به نویسنده‌گان آن است. © ناشر این مقاله، دانشگاه پیام نور است.



این مقاله تحت مجوز Creative Commons منتشر شده و استفاده از آن با ارجاع صحیح مجاز است.

یکدیگر هستند را ایجاد می‌کند. با اتصال این دو ماده توسط آنزیم ژرایل دی‌فسفات سنتاز^{۱۳}، ژرایل دی‌فسفات^{۱۴} پیش‌ساز عمومی مونوتترپین‌ها سنتز می‌شود، که این ماده توسط آنزیم‌های مونوتترپین سنتازی، به مونوتترپین‌های مختلف Burke *et al.*, 1999; Lichtenthaler, 1999; Mir *et al.*, 2008; Sallaud *et al.*, 2009 تبدیل می‌گردد (Burke *et al.*, 1999; Mir *et al.*, 2008; Sallaud *et al.*, 2009). از جمله مونوتترپین‌های موجود در دانه‌های بالغ سیاهدانه می‌توان به پی‌سیمن^{۱۵}، گاما‌ترپین^{۱۶}، تیموکینون^{۱۷}، الگاتوجن^{۱۸}، تیموهیدروکوئین^{۱۹} و کاراکرول^{۲۰} اشاره کرد (Botnick *et al.*, 2012; Liu *et al.*, 2013).

بخش عمده‌ی ارزش دارویی سیاهدانه به دلیل وجود ترکیب دارویی تیموکینون است. تیموکینون موجود در روغن سیاهدانه جزء ترکیبات اصلی بذر است و در مطالعات زیادی اثرات درمانی آن از قبیل خاصیت آنتی‌اکسیدانی (Hosseinzadeh *et al.*, 2012) ضد التهابی (Gazzar *et al.*, 2006)، ضد سرطانی (Halawani, 2008) ضد باکتری (Muhtasib *et al.*, 2008)، ضد قارچی (Saad *et al.*, 2013) و ضد تشنج (Hosseinzadeh *et al.*, 2004)، ضد گزارش شده است. هر چند تیموکینون در گیاهان معطر غنی از مونوتترپین‌ها مانند آویشن، مرزه و پونه‌ی کوهی نیز موجود است، اما این میزان در مقایسه با سیاهدانه به مقدار کمتری در این گیاهان وجود دارد (Skoula *et al.*, 1999; Crocoll *et al.*, 2010; Grossi *et al.*, 2010; Botnick *et al.*, 2012) آنزیم DXR و گاما‌ترپین سنتاز^{۲۱} (GTS) از آنزیم‌های محدود کننده سرعت واکنش در ابتدا و انتهای مسیر بیوسنتزی تیموکینون هستند و مطالعات مختلفی نقش ژن‌های DXR و GTS را در مسیر بیوسنتزی MEP تأثیر کرده‌اند، این بررسی‌ها نشان داده است که با افزایش بیان ژن‌های DXR و GTS میزان مونوتترپین‌ها افزایش

12. Geranyl diphosphate synthase (GPPS)

13. Geranyl diphosphate (GDP)

14. P-Cymene

15. γ -Terpinene

16. Thymoquinone

17. α -thujene

18. Thymohydroquinone

19. Carvacrol

20. Gamma terpinene synthase

مقدمه

گیاهان دارویی به دلیل کاربردهای درمانی خود از زمان‌های قدیم مورد توجه قرار گرفته‌اند و امروزه نقش قابل توجهی در سیستم‌های درمان ایفا می‌کنند، به طوری که بسیاری از کشورهای جهان، که تقریباً دو سوم جمعیت را شامل می‌شوند، به دلیل مقبولیت فرهنگی بیشتر، سازگاری بهتر با بدن و عوارض جانبی کمتر به داروهای گیاهی واسته‌اند Sandberg, 2001; Oladeji., 2016; Mbuni *et al.*, 2020).

گیاه سیاهدانه (*Nigella sativa* L.) یکی از مهم‌ترین گیاهان دارویی از خانواده‌ی آلله^{۲۲} است. سیاهدانه گیاهی علفی، یکساله، دیپلوئید و دولبه می‌باشد، که در خاورمیانه، افریقای شرقی و هند به منظور درمان سردرد، آسم، تب، برونشیت، روماتیسم، آنفولازا، دفع کرم‌های روده و اکرما مورد استفاده قرار گرفته است. دانه‌های سیاهدانه حاوی روغن، پروتئین، آکالوئید، ساپونین و اسانس هستند که هر کدام Burits *et al.*, 2000; Ali *et al.*, 2003; Yar *et al.*, 2008 اثرات زیستی خاصی را سبب می‌شوند (Ali *et al.*, 2000; Yar *et al.*, 2008). ترکیب اصلی روغن فرار در دانه‌های سیاهدانه را مونوتترپین‌ها^{۲۳} تشکیل می‌دهند. مونوتترپین‌ها در گیاهان از طریق مسیر متیل- ارتیتول-فسفات^{۲۴} (MEP) که در پلاستیدها قرار دارد بیوسنتر می‌شوند. ابتدا پیروات^{۲۵} و دی‌گلیسرآلدهید-۳-فسفات^{۲۶} با یکدیگر ترکیب شده و پس از انجام واکنش‌های بیوشیمیایی لازم دی‌اسکی زایلوز-۵-فسفات^{۲۷} توسط آنزیم ۱-دی‌اسکی زایلوز-۵-فسفات سنتاز^{۲۸} تولید می‌شود، که تحت اثر آنزیم ۱-دی‌اسکی زایلوز-۵-فسفات روکتاز^{۲۹} (DXR) به سی‌متیل اریترول ۴-فسفات^{۳۰} تبدیل می‌گردد. این ماده به وسیله‌ی یک سری واکنش‌های دی‌متیل آلیل دی‌فسفات^{۳۱} (DMAPP) و ایزوپنیتل فسفات^{۳۲} (IPP) که قابل تبدیل به

1. Ranunculaceae

2. Monoterpenes

3. Methyl erythritol phosphate

4. Pyruvate

5. D-glyceraldehyde-3-phosphate

6. Deoxyxylose-5-phosphate

7. 1-deoxy-D-xylulose-5-phosphate synthase (DXS)

8. 1-deoxy-D-xylulose-5-phosphate reductoisomerase

9. 2-C-methylerythritol-4-phosphate

10. Dimethylallyldiphosphate

11. Isopentenylidiphosphate

تیموکینون است، بدیهی است نتایج این بررسی می‌تواند راه را برای در ک بهتر مسیرهای افزایش میزان تیموکینون از طریق انتخاب ژنوتیپ مناسب، افزایش بیان ژن‌های کلیدی و یا استفاده از سایر سیستم‌های تولیدی و نیز پی بردن به ارتباط بین میزان رونوشت این ژن‌ها و متابولیت‌های تولید شده در گیاه هموار کند.

پیشینه پژوهش

شبکه‌ی متابولیکی گیاهان نسبت به سایر موجودات بسیار گسترده‌تر است. متابولیت‌ها در گیاهان به دو گروه عمده‌ی متابولیت‌های اولیه و ثانویه تقسیم می‌شوند. متابولیت‌های اولیه عمده‌ای شامل قندها، اسیدهای آمینه، لیپیدها و منابع انرژی هستند. به غیر از متابولیت‌های اولیه گیاهان دامنه‌ی گسترده‌ای از متابولیت‌های ثانویه را تولید می‌کنند که در حفاظت گیاهان در برابر عوامل میکروبی، قارچی، ویروسی و حشرات، آلولپاتی و سیگنالینگ نقش دارند (Dixon, 1999; Schwab, 2003). ارتباط بین جریان متابولیت‌های اولیه و انباست متابولیت‌های ثانویه بسیار پیچیده است، زیرا نیاز به در نظر گرفتن کل شبکه‌ی متابولیتی دارد تا منابع متابولیت‌های اولیه را بدون اختلال در گیاه به متابولیت‌های ثانویه هدایت کند. امروزه توسعه‌ی دانش در در ک متابولیسم‌های گیاه به منظور شناسایی ظرفیت متابولیکی گیاهان و نحوه‌ی تنظیم فعالیت متابولیکی آن‌ها در جهت بهره‌وری بهتر از ترکیبات ارزشمند گیاهی محور اصلی در تحقیقات گیاهی است (Ghislia et al., 2012).

آنژیم‌های کلیدی مسیرهای بیوستتری از عوامل بسیار تأثیرگذار بر میزان تولید متابولیت‌ها هستند. مطالعات مختلفی نقش آنژیم‌های کلیدی بر میزان تولید متابولیت‌های هدف را تأیید کردند. در یک بررسی روی *Arabidopsis thaliana* مشخص شد که مسیر بیوستتری فلاونوئیدها مستقیماً توسط چندین آنژیم کلیدی تنظیم می‌شود (Zhao et al., 2013; Afarin et al., 2014) در مطالعه‌ای دیگر بیش بیان ژن ترپن‌ستاز یکی از آنژیم‌های کلیدی در مسیر متابولیکی تولید تیمول، باعث افزایش میزان این ماده در گیاه زنیان Nomani et al., (گردید).

Estevez et al., 2000; Mahmoud et al., 2001; Carretero-Paulet et al., 2002; Crocoll et al., 2010; Krause et al., 2021; Kianersi et al., (2021).

در سال‌های اخیر مطالعات مختلفی در زمینه‌ی تأثیر اثرات القاکننده‌های زیستی و غیرزیستی از قبیل اشعه‌ی UV، ترانس سینامیک اسید^۱، متیل جاسمونات^۲، سالسیلیک اسید^۳ و نانوذرات^۴ در بیوستتر متابولیت‌های ثانویه انجام گرفته است (Kianersi et al., 2014; Hatami et al., 2021). استفاده از القاکننده‌ها با تغییر در الگوهای بیانی ژن‌های درگیر در مسیرهای بیوستتری مورد مطالعه در گروههای گذشته نقش متیل جاسمونات در تحیریک متابولیت‌های ثانویه از جمله ترپن‌ها در بسیاری از گونه‌های گیاهی تأیید شده است. در این گیاهان، متیل جاسمونات به عنوان یک القاکننده‌ی فیتوهورمونی باعث ایجاد جریانی از واکنش‌های فیزیولوژیکی می‌شود که مورفوولوژی گیاه را تعییر داده و منجر به تولید و تجمع متابولیت‌های ثانویه می‌گردد (De Geyter et al., 2012; Moreira-Rodríguez et al., 2017).

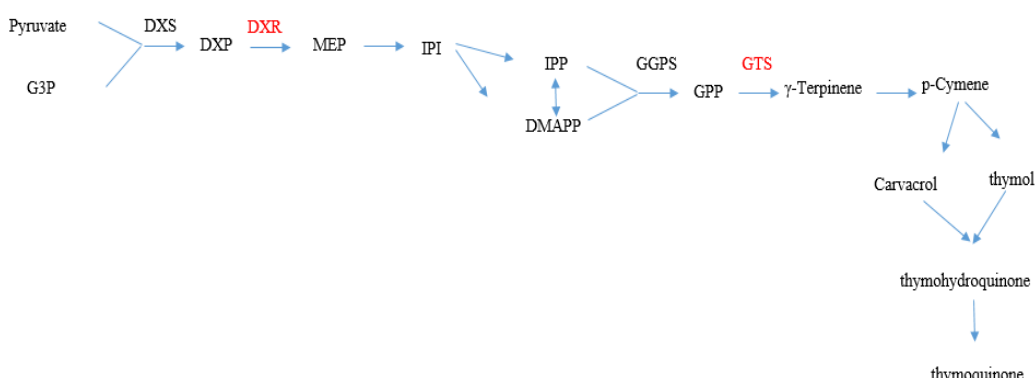
مطالعات گذشته در گیاهانی از قبیل آویشن و پونه‌ی کوهی منجر به جداسازی و تعیین خصوصیت برخی از ژن‌های کلیدی مسیر بیوستتری تیموکینون شده است (Krause et al., 2021). علاوه بر این مطالعات گذشته روی گیاه سیاهدانه منجر به شناسایی و معرفی ژن‌های Elyasi et al., (GTS) (DXR (داده‌ها انتشار نیافته) و در این گیاه شده است، ولی کنون گزارشی در مورد میزان بیان این دو ژن ارائه نشده است. هدف از انجام این پژوهش، بررسی میزان بیان ژن‌های ابتدا (ژن DXR) و انتهایی (ژن GTS) مسیر بیوستتری تیموکینون در دو اکوتیپ مختلف سیاهدانه به منظور روشن‌سازی بهتر مسیر بیوستتری تیموکینون و نیز بررسی اثر القاکننده‌ی متیل جاسمونات بر میزان بیان ژن‌های دخیل در بیوستتر

1. Trans-cinnamic acid
2. Methyl jasmonate
3. Salicylic acid
4. Nanoparticles

ایجاد گاماترپینین از ژرانیل دی‌سولفات می‌گردد، از آنزیم‌های کلیدی در مسیر بیوستتری تیموکینون است (Carretero-Paulet *et al.*, 2002; Botnick *et al.*, 2012; Huang *et al.*, 2021; Azimzadeh *et al.*, 2023). طی بررسی که روی بذر گیاه سیاهدانه با استفاده از توالی‌بای‌RNA انجام شده است ژن گاماترپینین سنتاز به عنوان یکی از آنزیم‌های کلیدی در مسیر بیوستتری Elyasi *et al.*, 2022 (al., 2022). علاوه بر این طی تحقیقی دیگر روی بذر گیاه سیاهدانه با استفاده از توالی‌بای‌RNA، توالی نوکلئوتیدی ژن *DXR* معرفی شد (داده‌ها انتشار نیافته). نقش متیل جاسمونات به عنوان القاکننده‌ی زیستی به منظور بیوستتر متabolیت‌های ثانویه به ویژه القای متabolیسم ترین‌ها در گونه‌های مختلف گیاهی از قبیل سیاهدانه (Elyasi *et al.*, 2016) و باونه (Kianersi *et al.*, 2021), آویشن (al., 2016), آویشن (Majdi *et al.*, 2015) اثبات شده است. طی بررسی که روی میزان تیمول و کارواکرول روی تعدادی از گونه‌های آویشن ایرانی تحت اثر غلاظت‌های مختلف متیل جاسمونات انجام شد، افزایش میزان این دو ماده اثبات گردید و بالاترین میزان تولید در غلظت ۱۰۰ میکرومولار متیل جاسمونات مشاهده شد (Krause *et al.*, 2021).

(2019). همچنین در گزارشی دیگری که روی گیاه پونه (*Origanum vulgare L.*) انجام شد نقش مستقیم میزان بیان آنزیم کلیدی مونوتربین سنتاز در کنترل ترکیب اسانس اثبات گردید (Crocoll *et al.*, 2010). مطالعات گذشته روی مسیر بیوستتری ترپن‌ها حاکی از آن است که، شناسایی ژن‌های مرتبط با بیوستتر اسکلت ترپن‌ها می‌تواند در دستورالعمل این مسیرها به منظور افزایش فلفلی^۱ (Wildung *et al.*, 2005)، آرابیدوپسیس (Carretero-Paulet *et al.*, 2006) و گوجه فرنگی (Enfissi *et al.*, 2005) انجام شده است بیش بیان ژن *DXR* باعث افزایش معنادار تولید و تجمع ترپن در این گیاهان شده است. علی‌رغم مطالعاتی که انجام گرفته تا کنون مسیر بیوستتری تیموکینون در گیاه سیاهدانه به صورت کامل مشخص نشده است، اما با توجه به بررسی‌هایی که در گیاهانی از قبیل آویشن و پونه‌ی کوهی صورت گرفته است مسیر بیوستتری تیموکینون به صورت زیر پیش‌بینی می‌گردد (شکل ۱).

بر طبق بررسی‌های گذشته ژن *DXR* به علت نقش تعیین کننده در هدایت میان واسطه‌ها به سمت مسیر IPP و DMAPP به عنوان عامل کنترلی مهمی در مسیر MEP عمل می‌کند. همچنین گاماترپینین سنتاز که باعث



شکل ۱. مسیر پیشنهادی بیوستتری تیموکینون در سیاهدانه (رنگ قرمز بیانگر ژن‌های مورد مطالعه در این پژوهش است).

Figure 1. Proposed biosynthetic pathway of thymoquinone in *N. sativa* (The red color indicates the genes studied in this research).

1. *Mentha piperita*

2. *Tanacetum parthenium*

بررسی بیان ژن‌ها با استفاده از RT-qPCR¹

به منظور بررسی تفاوت در الگوی بیان ژن‌های کلیدی GTS و DXR مسیر بیوستتری تیموکینون دو اکوتیپ، از روش ریل تایم پی‌سی آر استفاده شد. همچنین، تأثیر متیل جاسمونات بر بیان این ژن‌ها در ساعات مختلف پس از تیمار نیز مورد بررسی قرار گرفت. RNA از بذرهای جمع آوری شده با استفاده از کیت تراپیزول شرکت روژه ساخت کشور ایران استخراج گردید. کیفیت و کمیت RNA ی استخراج شده با استفاده از ژل آگارز یک درصد و دستگاه نانو دراپ تعیین گردید و با استفاده از آنزیم DNase1 شرکت سیناکلون آلدگی احتمالی به DNA ژنومی، حذف گردید. پس از تیمار RNA با آنزیم DNase1، یک میکروگرم RNA به منظور سنتز cDNA و بر اساس دستورالعمل موجود در کیت سنتز cDNA شرکت Addbio ساخت کشور کره جنوبی مورد استفاده قرار گرفت. به منظور تأیید صحت سنتز cDNA واکنش زنجیره‌ای پلیمراز روی cDNA های سنتز شده با استفاده از آغازگرهای یوبیکویتین با استفاده از دستگاه ترموسایکلر BioRad در حجم نهایی ۲۵ میکرولیتر و با استفاده از مستر میکس Amplicon انجام شد. همچنین به منظور بررسی آلدگی احتمالی در واکنش PCR از RNA استخراجی به عنوان الگو نیز در واکنش استفاده گردید.

پس از تأیید سنتز cDNA از RNA های استخراج شده، آزمایش ریل تایم پی‌سی آر با استفاده از مخلوط واکنش امپلیکون حاوی سایبر گرین انجام شد. به منظور تأیید صحت انجام واکنش رونویسی معکوس و نیز به منظور مطالعه‌ی میزان بیان ژن‌های هدف در این بررسی از ژن‌های GAPDH و یوبیکویتین به عنوان ژن مرجع استفاده شد (Mazrooei *et al.*, 2017).

واکنش Real time PCR با استفاده از سه تکرار بیولوژیکی و دو تکرار تکنیکی و با استفاده از دستگاه micPCR مدل 48 چاهکی انجام شد. این دستگاه با استفاده از نرمافزار LinRegPCR کارایی آغازگرهای را برای هر چاهک به صورت جداگانه محاسبه می‌کند.

روش‌شناسی پژوهش

کشت گیاه و تیمار متیل جاسمونات

با استفاده از داده‌های حاصل از آنالیز GC-MS که توسط الیاسی و همکاران (داده‌ها انتشار نیافته) روی محتوی تیموکینون در بذر اکوتیپ‌های مختلف گیاه سیاهدانه انجام شده است، اکوتیپ H (سمیروم) با میزان تیموکینون بیشتر و اکوتیپ K (اقلید) با میزان تیموکینون کمتر انتخاب شدند. هر دو اکوتیپ در شرایط گلخانه‌ای با دمای ۲۵ درجه سانتی‌گراد و با شرایط ۱۶ ساعت روشنایی و ۸ ساعت تاریکی کشت شدند. مطالعات گذشته نشان داده است که میزان تیموکینون در سیاهدانه همراه با رسیدگی دانه به حداقل می‌رسد و پس از بلوغ کامل، مقدار آن دوباره کمی کاهش می‌یابد (Botnick *et al.*, 2012). به همین دلیل در این پژوهش گیاهان در مرحله قبل از بلوغ کامل بذر به منظور انجام آزمایش‌های بعدی جمع آوری و در فریزر -۸۰- نگهداری شدند. علاوه بر این به دلیل بررسی اثر متیل جاسمونات، گیاهان با استفاده از محلول متیل جاسمونات ۱۰۰ میکرومولار در ۳ زمان ۱۲،۲۴ و ۴۸ ساعت در سه تکرار محلول پاشی شدند (نمونه‌های شاهد به وسیله آب محلول پاشی شد) و پس از گذشت زمان مورد نظر بذرها جمع آوری و در فریزر -۸۰- نگهداری شدند.

طراحی آغازگر به منظور جداسازی ژن‌های

موردنبررسی

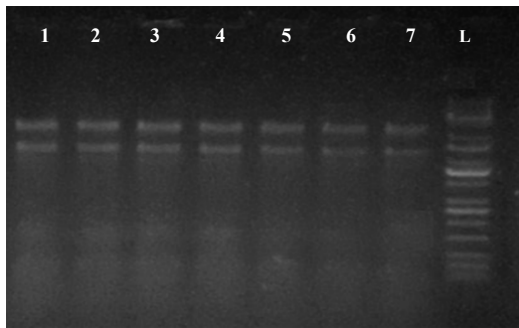
توالی نوکلوتیدی ژن DXR در سیاهدانه با شماره دسترسی MN561851.1، ژن گاما ترپینین سنتاز از گیاه سیاهدانه با شماره دسترسی OM856342.1، ژن دی گلیسرآلدهید ۳ فسفات دهیدروژناز (GAPDH) در سیاهدانه با شماره دسترسی LC719288.1 و ژن یوبیکویتین (Ubiquitin) در گیاه آرایدوبسیس با شماره دسترسی NM_116090.3 طراحی آغازگرها با استفاده از برنامه‌های oligoanalyzer و Primer3 انجام شد (جدول ۱).

جدول ۱. مشخصات مربوط به آغازگرهای مورد استفاده برای بررسی بیان ژن.

Table 1. Specifications related to the primers used for gene expression analysis.

ژن Gene	توالی (۵'-۳') Sequences (5'-3')	دماه اتصال (سانتی گراد) Annealing Temperature (°C)	طول قطعه تکثیر شده (جفت باز) Amplicon Size (bp)
GAPDH-F	TGCTGCTCATTTGAAGGGTG	۶۳	۱۵۶
GAPDH-R	AGTGGAGCAAGGCAGTTGT		
Ubiquitin-F	GATGCAGATCTCGTAAACCC	۶۳	۱۱۲
Ubiquitin-R	TGGGATTCCCTCTGTCTTG		
GTS-F	AGTTCCCAAGTCATCAGCAAG	۶۳	۱۲۵
GTS-R	AAGGATACAAGCCAACCTGA		
DXR-F	AGGCACCATGACTGGAGTC	۶۳	۱۵۰
DXR-R	TCGAGGCTTGGTTGGTTAC		

۲۰۰۰ نانوگرم بر میکرولیتر بود و نسبت جذب نوری ۲۶۰ به ۲۸۰ در محدوده ۱/۷ تا ۱/۹ قرار داشت. به منظور حذف آلودگی DNA، از آنزیم I DNase استفاده شد و سپس نمونه ها بر روی ژل یک درصد آگاراز بارگذاری گردیدند که کیفیت RNA استخراج شده را تأیید کرد (شکل ۲).



شکل ۲. نتایج استخراج RNA از بذر سیاهدانه چاهک ۱-۷: استخراج RNA: مارکر مولکولی ۱kb. L:RNA مارکر مولکولی ۱kb.

Figure 2. RNA extraction results from *N. sativa* seeds. Well 1-7: RNA extraction, L: molecular marker 1kb.

در مرحله بعد، سنتز cDNA انجام شد. به منظور تأیید سنتز شده، آزمایش PCR با استفاده از cDNA آغازگرهای اختصاصی ژن های یوبیکوتین به منظور تکثیر قطعه ای به طول ۱۱۲ جفت باز انجام شد (شکل ۳). سپس برای تأیید شناسایی و تکثیر اختصاصی ژن های مورد بررسی، آزمایش PCR با استفاده از آغازگرهای اختصاصی

همچنین از الگویابی منحنی ذوب جهت تشخیص اختصاصی بودن واکنش استفاده گردید. علاوه بر این به منظور تأیید تکثیر اختصاصی ژن های مورد نظر بعد از انجام آزمایش ریل تایم پی سی آر محصولات حاصل روی ژل اگاراز ۱/۲ درصد بارگذاری شدند و از نظر مشاهده یک باند اختصاصی با سایز مورد پیش بینی مورد بررسی قرار گرفتند. همچنین انجام توالی یابی روی محصول PCR با استفاده از آغازگرهای اختصاصی برای ژن های مورد بررسی انجام گرفت.

محاسبه میزان نسبی بیان ژن و آنالیز آماری مقایسه بیان ژن های مورد مطالعه در این پژوهش با استفاده از پکیج Mirzaghaderi/rtpcr (Mirzaghaderi., 2024) نرم افزار R انجام شد. این پکیج که می تواند بیان نسبی را بر اساس دو یا تعداد بیشتری از ژن رفرنس به همراه کارایی تکثیر محاسبه کند، خطای استاندارد را بر اساس روش Taylor و Ganger آنالیزهای آماری با استفاده از روش Ganger (Ganger et al, 2017; Taylor et al, 2019) می دهد مقایسه میانگین داده ها با استفاده از این پکیج در سطح احتمال ۵ درصد و با استفاده از روش LSD انجام شد.

نتایج و بحث

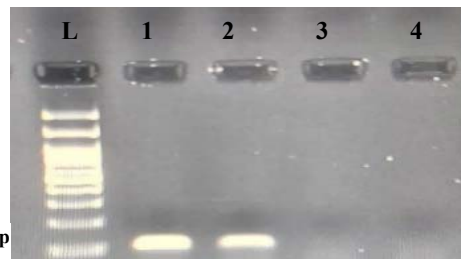
پس از استخراج RNA، غلظت آن با استفاده از نانودرایپ اندازه گیری شد. غلظت نمونه ها بین ۱۰۰۰ تا

cDNA‌های تأییدشده برای بررسی تفاوت بیان با استفاده از واکنش Real time PCR استفاده شد و پس از انجام واکنش، Ct مربوط به هر نمونه توسط دستگاه با توجه به نمودار تکثیر تعیین شد و مورد بررسی و کمی سازی قرار گرفت. سپس در مرحله بعد واکنش منحنی ذوب Melt Curve برای تأیید تکثیر اختصاصی انجام شد (شکل ۵). علاوه بر این، نتایج توالی‌یابی محصولات PCR با توالی‌های شناسایی شده در پایگاه NCBI مقایسه شد و همولوژی ۱۰۰ درصد و ۹۱ درصد به ترتیب برای ژن‌های GTS و DXR مشاهده گردید.

مقایسه میزان بیان ژن‌های مورد بررسی در دواکوتیپ

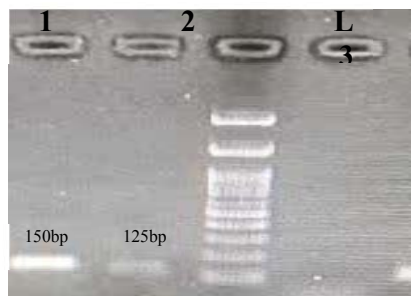
مقایسه بیان ژن‌های مورد مطالعه در دواکوتیپ H و K با استفاده از آزمون t-test پکیج mirzaghadeli/rtpcr نرم‌افزار R نشان داد که میزان بیان ژن‌های GTS و DXR در اکوتیپ H بالاتر می‌باشد و این اختلاف بیان در سطح ۵ درصد به صورت معنادار است (شکل ۶). تفاوت میزان بیان ژن‌های مذکور در دو اکوتیپ نشان‌دهنده نقش ژنتیک در میزان بیان ژن‌های مسیر بیوستتری تیموکینون می‌باشد. در مطالعه‌ای که توسط مجیدی و همکاران (Majdi *et al.*, 2014) روی گیاه بابونه کبیر انجام گرفت مشخص شد که میزان بیان ژن‌های ترپن‌وییدستنزاً می‌تواند تحت تأثیر ژنتیک متغیر باشد.

هر ژن انجام گرفت. نتایج به دست آمده نشان‌دهنده حضور یک باند اختصاصی با اندازه مورد نظر بود (شکل ۴).



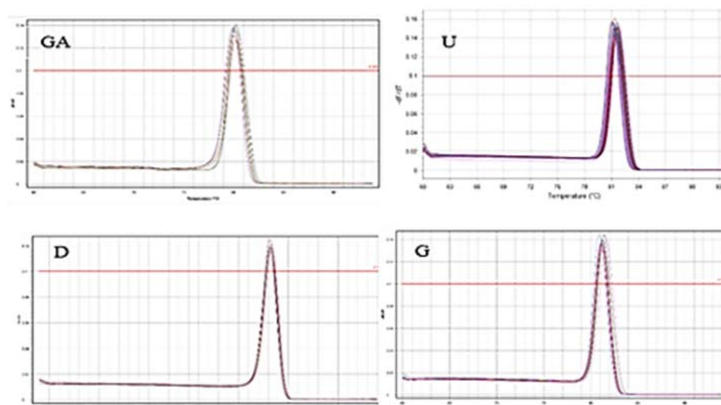
شکل ۳. تأیید سنتز cDNA. L: مارکر مولکولی ۱kb، چاهک ۱ و ۲: سنتز شده، چاهک ۳: کنترل منفی با استفاده از آب، چاهک ۴: کنترل منفی با استفاده از RNA

Figure 3. Confirmation of cDNA synthesis. L: molecular marker 1kb, wells 1 and 2: synthesized cDNA, well 3: negative control using water, well 4: negative control using RNA.



شکل ۴. نتیجه تکثیر اختصاصی ژن‌های مورد نظر با استفاده از PCR. چاهک ۱: ژن DXR، چاهک ۲: ژن GTS، چاهک L: مارکر مولکولی ۱kb، چاهک ۳: کنترل منفی PCR

Figure 4. Results of specific amplification of target genes using PCR. Well 1: DXR gene, well 2: GTS gene, L: molecular marker 1kb, well 3: PCR negative control.



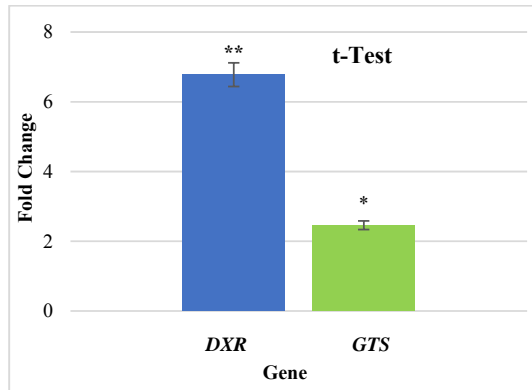
شکل ۵. منحنی ذوب. GA: ژن GAPDH, U: ژن یوپیکوتین، D: ژن DXR, G: ژن GTS

Figure 5. Melting curve. GA: GAPDH, U: Ubiquitin gene, D: DXR gene, G: GTS gene.

میکرومولار متیل جاسمونات نشان داد که میزان بیان ژن در ۱۲ ساعت بعد از تیمار به صورت معناداری نسبت به شاهد افزایش داشته است و بعد از آن میزان بیان روند کاهشی را نسبت به تیمار ۱۲ ساعت طی می‌کند تا اینکه در ۴۸ ساعت بعد از تیمار میزان بیان به حداقل می‌رسد (شکل ۷). طی تحقیقی که روی گیاه مرزه (*Satureja hortensis*) انجام شد مشخص شد که بیان ژن *DXR* در ۱۲ ساعت بعد از اعمال تیمار متیل جاسمونات به بالاترین سطح خود می‌رسد و پس از آن میزان بیان ژن به تدریج کاهش یافته و در ۴۸ ساعت پس از اعمال تیمار به سطح گیاه شاهد نزدیک می‌شود (Ghobadi *et al.*, 2016). مطالعه دیگر روی نقش متیل جاسمونات در میزان بیان ژن *DXR* در گیاه زنیان (*Trachyspermum ammi* L.) نشان داد در ۲۴ ساعت اول اعمال تیمار بیان ژن *DXR* افزایش می‌یابد و بعد از آن بیان ژن *DXR* روند کاهشی را طی می‌کند (Jamshidi *et al.*, 2019).

آنالیز بیان ژن *GTS* در دو اکوتیپ تحت تیمار ۱۰۰ میکرومولار متیل جاسمونات در سطح ۵ درصد انجام شد. آنالیز بیان این ژن در اکوتیپ H نشان داد که میزان بیان این ژن در ۱۲ ساعت بعد از تیمار روند کاهشی معناداری را نسبت به شاهد دارد. و بعد از آن روند تغییر میزان بیان به صورت افزایشی است به طوری که میزان بیان در ۴۸ ساعت بعد از تیمار به حداقل می‌رسد. این افزایش بیان نسبت به گیاه شاهد در ۲۴ ساعت بعد از تیمار غیرمعنادار و در ۴۸ ساعت بعد از تیمار بسیار معنادار بوده است. آنالیز بیان ژن *GTS* در اکوتیپ K تحت تیمار ۱۰۰ میکرومولار متیل جاسمونات نشان داد که میزان بیان این ژن نسبت به گیاه شاهد در ۱۲ ساعت بعد از تیمار تغییر قابل توجهی را نشان نمی‌دهد و بعد از آن در ۲۴ و ۴۸ ساعت بعد از تیمار روند افزایشی معناداری را نشان می‌دهد به طوری که در ۴۸ ساعت بعد از تیمار به حداقل می‌رسد (شکل ۸). این مشاهدات با نتایج بررسی بیان ژن گاماترپین‌ستاز در گیاه زنیان (*Trachyspermum ammi* L.) تحت تیمار متیل جاسمونات مطابقت دارد. نتایج این بررسی در گیاه زنیان

همچنین در مطالعه‌ای دیگر که توسط موريرا و همکاران (2019) روی گیاه *Baccharis salicifolia* انجام گرفت مشخص شد که میزان مونوتربین در این گیاه تحت تأثیر ژنتیپ‌های مختلف متفاوت است. میزان بیان بالای این دو ژن در اکوتیپ H نسبت به اکوتیپ K و نیز بالا بودن میزان تیموکینون در اکوتیپ H نسبت به اکوتیپ K (میزان تیموکینون توسط الیاسی و همکاران بررسی شده است) نشان دهنده اهمیت بیان این ژن‌ها در مسیر بیوسترنی تیموکینون و احتمالاً میزان تیموکینون تولید شده در بذر گیاه سیاهدانه است.



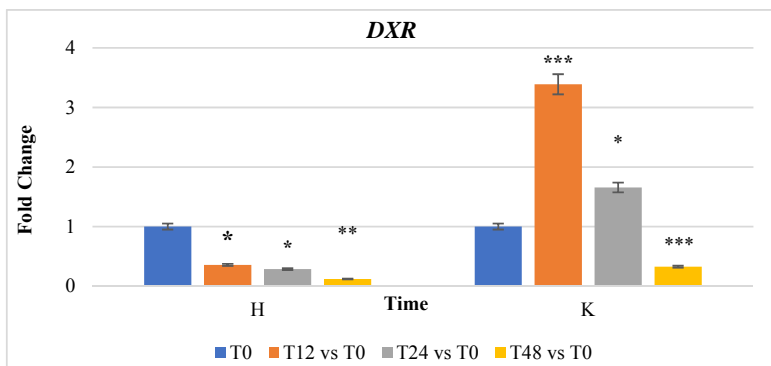
شکل ۶. مقایسه تغییرات بیان ژن *DXR* و *GTS* در اکوتیپ H نسبت به اکوتیپ K با استفاده از آزمون t جفت نشده نرم‌افزار R. *: سطح معناداری.

Figure 6. Comparison of *DXR* and *GTS* gene expression changes in ecotype H compared to ecotype K using an unpaired t-test in R software. *: Significance level.

مقایسه میزان بیان ژن‌های مورد بررسی در دو اکوتیپ تحت اثر متیل جاسمونات آنالیز بیان ژن *DXR* در دو اکوتیپ تحت تیمار متیل جاسمونات ۱۰۰ میکرومولار در سطح ۵ درصد انجام شد. آنالیز بیان این ژن در اکوتیپ H نشان داد که میزان بیان این ژن در ۱۲، ۲۴ و ۴۸ ساعت بعد از تیمار روند کاهشی معناداری را نسبت به نمونه شاهد طی کرده است، و در ۴۸ ساعت بعد از تیمار به حداقل رسیده است. همچنین نتایج آنالیز بیان این ژن در اکوتیپ K تحت تیمار ۱۰۰

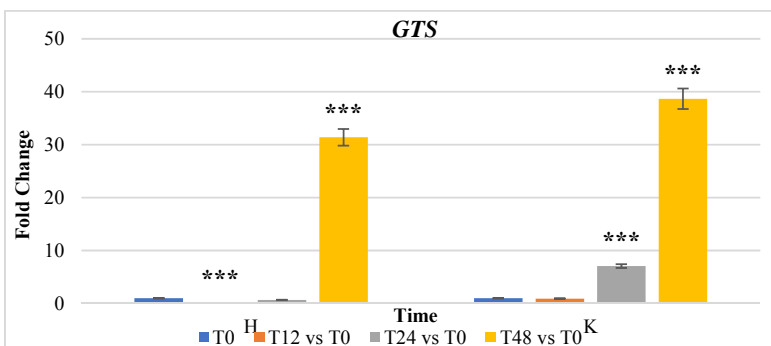
کارواکرول در سه ژنوتیپ آویشن تحت اعمال تیمار ۲۴ ساعت مตیل جاسمونات انجام گرفت، نقش متیل جاسمونات به عنوان افزایش دهنده میزان بیان این ژن تأیید شد، با این حال این بررسی نشان داد تأثیر متیل جاسمونات بر روی سطوح بیان ژن *TPS2* در بین گونه‌های مختلف آویشن وابسته به ژنوتیپ است و تحت تأثیر ژنوتیپ‌های مختلف متفاوت است، که با نتایج این مطالعه مطابقت دارد. با توجه به نقش این ژن‌ها در مسیر بیوستتری تیموکینون، استفاده از تیمار متیل جاسمونات با افزایش بیان این ژن‌ها احتمالاً می‌تواند منجر به افزایش میزان تیموکینون در بذر سیاهدانه گردد.

نشان داد در ۲۴ ساعت اول اعمال تیمار بیان ژن گاما-ترپنین-ستناز افزایش می‌یابد (Jamshidi *et al.*, 2019). با توجه به پیچیدگی مسیر بیوستتری متابولیت‌ها و نیز با توجه به اثرات چند وجهی الیستورها نوسانات بیان در ساعات مختلف اعمال دور از انتظار نمی‌باشد، اما آنچه اهمیت دارد، تأیید نقش متیل جاسمونات در افزایش بیان ژن‌های *DXR* و *GTS* است. این اطلاعات نشان می‌دهد که زمان اعمال تیمار و ژنوتیپ نقش مهمی در افزایش میزان بیان ژن‌های مسیر بیوستتری تیموکینون دارد. در مطالعه‌ای که توسط کیان ارثی و همکاران (Kianersi *et al.*, 2021) بر روی بیان ژن *TPS2* از ژن‌های کلیدی مسیر بیوستتری تیمول و



شکل ۷. میزان بیان ژن *DXR* نسبت به شاهد در دو اکوتب سیاهدانه تحت تیمار متیل جاسمونات. H: اکوتب H، K: اکوتب K، T0: زمان کنترل، T12: ۱۲ ساعت بعد از تیمار، T24: ۲۴ ساعت بعد از تیمار، T48: ۴۸ ساعت بعد از تیمار، * معناداری در سطح ۵ درصد.

Figure 7. The expression level of the *DXR* gene is relative to the control in two ecotypes of *N. sativa* under methyl jasmonate treatment. H: ecotype H, K: ecotype K, T0: control time, T12: 12 hours after treatment, T24: 24 hours after treatment, T48: 48 hours after treatment, * significance at the 5% level.



شکل ۸. میزان بیان ژن *GTS* نسبت به شاهد در دو اکوتب سیاهدانه تحت تیمار متیل جاسمونات. H: اکوتب H، K: اکوتب K، T0: زمان کنترل، T12: ۱۲ ساعت بعد از تیمار، T24: ۲۴ ساعت بعد از تیمار، T48: ۴۸ ساعت بعد از تیمار، * معناداری در سطح ۵ درصد.

Figure 8. The expression level of the *GTS* gene is relative to the control in two ecotypes of *N. sativa* under methyl jasmonate treatment. H: ecotype H, K: ecotype K, T0: control time, T12: 12 hours after treatment, T24: 24 hours after treatment, T48: 48 hours after treatment, * significance at the 5% level.

نسبت به ۲۴ ساعت ۵/۴۷ برابر افزایش بیان را نشان داده است (جدول ۲). مقایسه میانگین میزان بیان ژن DXR در دو اکوتیپ سیاهدانه تحت تیمار متیل جاسمونات در زمان‌های مختلف نشان داد که اعمال تیمار در اکوتوپ H باعث کاهش میزان بیان این ژن می‌گردد و بیشترین میزان کاهش بیان در ۴۸ ساعت پس از اعمال تیمار بوده است. نتایج مقایسه میانگین‌ها در اکوتوپ K نشان داد که اعمال تیمار متیل جاسمونات در ۱۲ ساعت پس از تیمار باعث افزایش ۳/۲۸ برابری میزان بیان در این اکوتوپ نسبت به شاهد می‌گردد. همچنین اعمال تیمار در ۲۴ ساعت پس از تیمار هر چند باعث افزایش بیان ۱/۶۵ برابری نسبت به گیاه شاهد می‌شود اما نسبت به ۱۲ ساعت کاهش بیان معناداری را نشان داده است. علاوه بر این نتایج نشان داد که بیشترین کاهش میزان بیان ژن DXR در ۴۸ ساعت پس از اعمال تیمار اتفاق می‌افتد (جدول ۳). به طور کلی نتایج این مطالعه نشان داد که اعمال تیمار متیل جاسمونات می‌تواند بر میزان بیان هر دو ژن در هر دو اکوتوپ سیاهدانه مؤثر باشد اما این تأثیر وابسته به زمان اعمال و ژنتیک متفاوت است. علاوه بر این می‌توان با اعمال تیمار ۲۴ ساعت متیل جاسمونات بیان این دو ژن را و احتمالاً میزان تیموکینون را در بذر گیاه سیاهدانه افزایش داد.

مقایسه میانگین میزان بیان ژن GTS و DXR در دو اکوتوپ سیاهدانه تحت تیمار متیل جاسمونات با غلظت ۱۰۰ میکرومولار و در زمان‌های ۱۲، ۲۴ و ۴۸ ساعت پس از اعمال تیمار با استفاده از آزمون LSD نرم‌افزار R در سطح ۵ درصد انجام شد. نتایج این بررسی نشان داد که در هر دو اکوتوپ بیشترین میزان بیان ژن GTS در ۴۸ ساعت پس از اعمال تیمار بوده است، به طوری که در اکوتوپ H میزان بیان نسبت به شاهد ۳۱/۳۹ برابر و در اکوتوپ K این میزان نسبت به شاهد مشاهده شد. هچنین بررسی‌ها نشان داد که اگرچه اعمال تیمار متیل جاسمونات در اکوتوپ H در ۲۴ ساعت پس از اعمال تیمار نسبت به ۱۲ ساعت افزایش بیان ۱۰/۵۳ برابری را داشته است، اما میزان بیان در این اکوتوپ در شرایط ۱۲ و ۲۴ ساعت بعد از اعمال تیمار نسبت به شاهد کاهش داشته است، که این کاهش بیان در ۱۲ ساعت معنادار و در ۲۴ ساعت غیرمعنادار بوده است. این در حالی است که در اکوتوپ K میزان بیان این ژن در ۱۲ ساعت بعد از اعمال تیمار کاهش غیر معناداری را نسبت به شاهد داشته است و سطح بیان تقریباً برابر با گیاه شاهد بوده است و بعد از آن میزان بیان روند صعودی را طی کرده است، به صورتی که در ۲۴ ساعت پس از اعمال تیمار نسبت به ۱۲ ساعت ۷/۶۹ برابر و در ۴۸ ساعت پس از اعمال تیمار

جدول ۲. مقایسه میانگین میزان بیان ژن GTS در دو اکوتوپ سیاهدانه تحت تیمار متیل جاسمونات در زمان‌های مختلف.

Table 2. Comparison of the mean expression level of GTS gene in two ecotypes of *N. sativa* under methyl jasmonate treatment at different times.

مقایسه	تغییر بیان ژن				خطای استاندارد				معناداری			
	Fold Change		Standard Error		p. value		Significance					
	اکوتوپ K	اکوتوپ H	اکوتوپ K	اکوتوپ H	اکوتوپ K	اکوتوپ H	اکوتوپ K	اکوتوپ H	اکوتوپ K	اکوتوپ H	اکوتوپ K	اکوتوپ H
Contrast	Ecotype K	Ecotype H	Ecotype K	Ecotype H	Ecotype K	Ecotype H	Ecotype K	Ecotype H	ns	***		
T12 vs T0	-۰/۹۱۹۰۸	-۰/۰۶۳۲	-۰/۲۷۰۰۱۶	-۰/۲۷۰۲۵۳۶	-۰/۵۶۴۱	<۰/۰۰۱						
T24 vs T0	۷/۰۶۷۸۳	-۰/۵۶۶۱	-۰/۲۷۰۰۱۶	-۰/۲۷۰۲۵۳۶	<۰/۰۰۱	-۰/۰۷۳۱	***	ns				
T48 vs T0	۳۸/۶۷۷۱۹	۳۱/۳۹۰۸	-۰/۲۷۰۰۱۶	-۰/۲۷۰۲۵۳۶	<۰/۰۰۱	<۰/۰۰۱	***	***				
T24 vs T12	۷/۶۹۰۱۲	۱۰/۵۳۰۸	-۰/۲۷۰۰۱۶	-۰/۲۷۰۲۵۳۶	<۰/۰۰۱	<۰/۰۰۱	***	***				
T48 vs T12	۴۲/۰۷۷۱۰	۴۹۶/۳۰۰۹	-۰/۲۷۰۰۱۶	-۰/۲۷۰۲۵۳۶	<۰/۰۰۱	<۰/۰۰۱	***	***				
T48 vs T24	۵/۴۷۱۵۸	۴۷/۱۲۸۵	-۰/۲۷۰۰۱۶	-۰/۲۷۰۲۵۳۶	<۰/۰۰۱	<۰/۰۰۱	***	***				

ns and ***: به ترتیب غیر معناداری و معناداری در سطح احتمال ۵ درصد.

ns and ***: indicate non-significance and significance at the 5% probability level, respectively.

جدول ۳. مقایسه میزان میزان بیان ژن *DXR* در دو اکوتیپ سیاهدانه تحت تیمار متیل جاسمونات در زمان‌های مختلف.

Table 3. Comparison of the mean expression level of *DXR* gene in two ecotypes of *N. sativa* under methyl jasmonate treatment at different times.

مقایسه Contrast	تغییر بیان ژن Fold Change				خطای استاندارد Standard Error				p. value				معناداری Significance		
	اکوتیپ K Ecotype K		اکوتیپ H Ecotype H		اکوتیپ K Ecotype K		اکوتیپ H Ecotype H		اکوتیپ K Ecotype K		اکوتیپ H Ecotype H		اکوتیپ K Ecotype K		
	T12 vs T0	۳/۲۸۸۳۱۳	.۰/۲۵۶۶۲	.۰/۹۵۱۹۷	.۰/۵۲۰۰۸	.۰/۰۰۰۳	.۰/۰۲۸۸	.۰/۰۲۸۸	***	*	ns	ns	ns	ns	ns
T24 vs T0	۱/۶۵۷۱۶۹	.۰/۲۸۴۵۱۶	.۰/۹۵۱۹۷	.۰/۵۲۰۰۸	.۰/۰۳۸۸	.۰/۰۳۸۸	.۰/۰۳۸۸	.۰/۰۳۸۸	*	*	ns	ns	ns	ns	ns
T48 vs T0	.۰/۳۲۶۳۶۹	.۰/۱۱۹۴۲۶	.۰/۹۵۱۹۷	.۰/۵۲۰۰۸	.۰/۰۰۰۶	.۰/۰۰۱۱	.۰/۰۰۱۱	.۰/۰۰۱۱	***	**	ns	ns	ns	ns	ns
T24 vs T12	.۰/۴۸۹۰۸۴	.۰/۸۰۰۴۴۳	.۰/۹۵۱۹۷	.۰/۵۲۰۰۸	.۰/۰۰۸۱	.۰/۵۵۹۱	.۰/۵۵۹۱	.۰/۵۵۹۱	**	ns	ns	ns	ns	ns	ns
T48 vs T12	.۰/۰۶۳۲۲	.۰/۳۳۴۸۴۴	.۰/۹۵۱۹۷	.۰/۵۲۰۰۸	<۰/۰۰۱	.۰/۰۲۲۹	.۰/۰۲۲۹	.۰/۰۲۲۹	***	*	ns	ns	ns	ns	ns
T48 vs T24	.۰/۱۹۶۹۴۴	.۰/۴۱۸۴۲۸	.۰/۹۵۱۹۷	.۰/۵۲۰۰۸	<۰/۰۰۱	.۰/۰۵۲۱	.۰/۰۵۲۱	.۰/۰۵۲۱	***	ns	ns	ns	ns	ns	ns

*, ** و ***: به ترتیب غیر معناداری و معناداری در سطح احتمال ۵ درصد.

ns and ***: indicate non-significance and significance at the 5% probability level, respectively.

نشان‌دهنده نقش این ژن‌ها در افزایش میزان تولید تیموکینون در بذر سیاهدانه باشد. همچنین بررسی‌ها نشان داد که استفاده از تیمار متیل جاسمونات می‌تواند به طور مؤثری بیان ژن‌های کلیدی دخیل در مسیر بیوستتری تیموکینون را بسته به زمان اعمال و نوع ژنتیپ افزایش دهد. به طور کلی یافته‌های این پژوهش می‌توانند زمینه‌ساز تحقیقات بیشتری در جهت شناسایی بهتر مسیر بیوستتری تیموکینون و نیز افزایش تولید آن در سیاهدانه باشد. در همین راستا به نظر می‌رسد به تحقیقات بیشتری پیرامون مطالعه بیان سایر ژن‌های مهم مرتبط با مسیر بیوستتری تیموکینون و همچنین ارتباط آن‌ها با تجمع تیموکینون تحت تأثیر متیل جاسمونات و یا تیمار با سایر محرک‌های شیمیایی لازم باشد.

تعارض منافع

هیچ‌گونه تعارض منافع توسط نویسندها وجود ندارد.

نتیجه‌گیری و پیشنهادها

علی‌رغم اهمیت گیاه سیاهدانه به عنوان یک گیاه دارویی ارزشمند تا کنون مطالعات بسیار اندکی در خصوص شناسایی ژن‌ها و مسیرهای متابولیکی موجود در آن صورت گرفته است. تحقیق حاضر به بررسی تفاوت میزان بیان ژن‌های کلیدی (*GTS* و *DXR*) مسیر بیوستتری تیموکینون در دو اکوتیپ گیاه سیاهدانه با میزان متفاوت تیموکینون پرداخته است. این بررسی نشان داد که سطوح بیان ژن‌های *DXR* و *GTS* در دو اکوتیپ متفاوت است و میزان بیان این ژن‌ها در اکوتیپ با میزان بیشتر تیموکینون به طور معناداری بالاتر است. با توجه به اینکه طبق مطالعات مختلف میزان رونوشت ژن‌های کلیدی در مسیر بیوستتری با میزان تولید ترکیبات ترپنی ارتباط مستقیم دارد (Nagegowda *et al.*, 2010) و نیز با توجه به نقش کلیدی ژن‌های *GTS* و *DXR* در مسیر بیوستتری ترپن‌ها، افزایش بیان این ژن‌ها می‌تواند

References

- Burits, M., & Bucar, F. (2000). Antioxidant activity of *Nigella sativa* essential oil. *Phytotherapy Research*, 14 (5), 323-328. [https://doi.org/10.1002/1099-1573\(200008\)14:5<323::AID-PTR621>3.0.CO;2-Q](https://doi.org/10.1002/1099-1573(200008)14:5<323::AID-PTR621>3.0.CO;2-Q)
- Burke, C. C., Wildung, M. R., & Croteau, R. (1999). Geranyl diphosphate synthase: Cloning, expression, and characterization of this prenyltransferase as a heterodimer. *Proceedings of the National Academy of Sciences*, 96 (23), 13062-13067. <https://doi.org/10.1073/pnas.96.23.13062>
- Botnick, I., Xue, W., & Bar, E. *et al.* (2012). Distribution of primary and specialized metabolites in *Nigella sativa* seeds, a spice with vast traditional and historical uses. *Molecules*, 17 (9), 10159-10177. <https://doi.org/10.3390/molecules170910159>
- Carretero-Paulet, L., Ahumada, I., & Cunillera, N. *et al.* (2002). Expression and molecular analysis of the *Arabidopsis DXR* gene encoding 1-deoxy-D-xylulose 5-phosphate reductoisomerase, the first committed enzyme of the 2-C-methyl-D-erythritol 4-phosphate pathway. *Plant Physiology*, 129 (4), 1581-1591. <https://doi.org/10.1104/pp.003798>

- Carretero-Paulet, L., Cairo, A., & Botella-Pavia, P. *et al.* (2006). Enhanced flux through the methylerythritol 4-phosphate pathway in *Arabidopsis* plants overexpressing deoxyxylulose 5-phosphate reductoisomerase. *Plant Molecular Biology*, 62 (4), 683-695. <https://doi.org/10.1007/s11103-006-9051-9>
- Crocoll, C., Asbach, J., & Novak, J. *et al.* (2010). Terpene synthases of oregano (*Origanum vulgare* L.) and their roles in the pathway and regulation of terpene biosynthesis. *Plant Molecular Biology*, 73 (6), 587-603. <https://doi.org/10.1007/s11103-010-9636-1>
- Nagegowda, D. A. (2010). Plant volatile terpenoid metabolism: Biosynthetic genes, transcriptional regulation and subcellular compartmentation. *FEBS Letters*, 584 (14), 2965–2973. <https://doi.org/10.1016/j.febslet.2010.05.045>
- De Geyter, N., Ghafari, A., & Goormachtig, S. *et al.* (2012). Transcriptional machineries in jasmonate-elicited plant secondary metabolism. *Trends in Plant Science*, 17 (6), 349-359. <https://doi.org/10.1016/j.tplants.2012.03.001>
- Dixon, R. A. (1999). Plant natural products: The molecular genetic basis of biosynthetic diversity. *Current Opinion in Biotechnology*, 10 (2), 192-197. [https://doi.org/10.1016/S0958-1669\(99\)80034-2](https://doi.org/10.1016/S0958-1669(99)80034-2)
- El Gazzar, M., El Mezayen, R., & Marecki, J.C. *et al.* (2006). Anti-inflammatory effect of thymoquinone in a mouse model of allergic lung inflammation. *International Immunopharmacology*, 6 (7), 1135-1142. <https://doi.org/10.1016/j.intimp.2006.02.004>
- Elyasi, R., Majdi, M., & Bahramnejad, B. *et al.* (2016). Spatial modulation and abiotic elicitors responses of the biosynthesis related genes of mono/triterpenes in black cumin (*Nigella sativa*). *Industrial Crops and Products*, 79: 240-247. <https://doi.org/10.1016/j.indcrop.2015.11.005>
- Elyasi, R., Majdi, M., & Krause, S. *et al.* (2022). Identification and functional characterization of a γ -terpinene synthase in *Nigella sativa* L (black cumin). *Phytochemistry*, 202: Article 112466. <https://doi.org/10.1016/j.phytochem.2022.113290>
- Enfissi, E.M., Fraser, P.D., & Lois, L.M. *et al.* (2005). Metabolic engineering of the mevalonate and non-mevalonate isopentenyl diphosphate forming pathways for the production of health-promoting isoprenoids in tomato. *Plant Biotechnology Journal*, 3 (1), 17-27. <https://doi.org/10.1111/j.1467-7652.2004.00091.x>
- Estevez, J.M., Cantero, A., & Romero, C. *et al.* (2000). Analysis of the expression of CLA1, a gene that encodes the 1-deoxyxylulose 5-phosphate synthase of the 2-C-methyl-D-erythritol-4-phosphate pathway in *Arabidopsis*. *Plant Physiology*, 124 (1), 95-104. <https://doi.org/10.1104/pp.124.1.95>
- Ganger, M.T., Dietz, G.D., & Ewing, S.J. (2017). A common base method for analysis of qPCR data and the application of simple blocking in qPCR experiments. *BMC Bioinformatics*, 18: Article 1949. <https://doi.org/10.1186/s12859-017-1949-5>
- Ghislia, S., Bouwmeester, H., & Beyer, P. *et al.* (2012). The path from β -carotene to carlactone: a strigolactone-like plant hormone. *Science*, 335 (6074), 1348-1351. <https://doi.org/10.1126/science.1218094>
- Ghobadi, S., Maroufi, A., & Majd, M. (2016). Differential expression of the key genes involved in the biosynthesis of monoterpenes in different tissues and in response to abiotic elicitors in summer savory (*Satureja hortensis*). *Journal of Cell Tissue*, 7 (3), 275-291. (in Persian)
- Halawani, E. (2009). Antibacterial activity of thymoquinone and thymohydroquinone of **Nigella sativa** L., and their interaction with some antibiotics. *Advances in Biological Research*, 3 (5), 148-152.
- Hatami, M., & Ghorbanpour, M. (2014). Defense enzyme activities and biochemical variations of *Pelargonium zonale* in response to nanosilver application and dark storage. *Turkish Journal of Biology*, 38 (1), 130-139. <https://doi.org/10.3906/biy-1304-64>
- Hosseinzadeh, H., & Parvardeh, S. (2004). Anticonvulsant effects of thymoquinone, the major constituent of *Nigella sativa* seeds, in mice. *Phytomedicine*, 11 (1), 56-64. <https://doi.org/10.1078/0944-7113-00376>
- Hosseinzadeh, H., Taiari, S., & Nassiri-Asl, M. (2012). Effect of thymoquinone, a constituent of *Nigella sativa* L., on ischemia-reperfusion in rat skeletal muscle. *Naunyn-Schmiedeberg's Archives of Pharmacology*, 385 (5), 503-508. <https://doi.org/10.1007/s00210-012-0726-2>
- Huang, Y., Xie, F. J., & Cao, X. *et al.* (2021). Research progress in biosynthesis and regulation of plant terpenoids. *Biotechnology Biotechnological Equipment*, 35 (1), 1799-1808. <https://doi.org/10.1080/13102818.2021.2020162>
- Jamshidi, M., Sadat-Noori, S.A., & Mortazavian, S.M.M. (2019). Study the quantitative expression pattern of some involved genes on monoterpenoid biosynthesis pathway and identification of essential compounds affected by methyl jasmonate in Ajowan plant. *Agricultural Biotechnology Journal*, 11 (3), 133-152. (in persian)

- Kianersi, F., Pour-Aboughadareh, A., & Majdi, M. *et al.* (2021). Effect of methyl jasmonate on thymol, carvacrol, phytochemical accumulation, and expression of key genes involved in thymol/carvacrol biosynthetic pathway in some Iranian Thyme species. *International Journal of Molecular Sciences*, 22 (20), 11124. <https://doi.org/10.3390/ijms22201124>
- Krause, S. T., Liao, P., & Crocoll, C. *et al.* (2021). The biosynthesis of thymol, carvacrol, and thymohydroquinone in Lamiaceae proceeds via cytochrome P450s and a short-chain dehydrogenase. *Proceedings of the National Academy of Sciences*, 118 (52), e2110092118. <https://doi.org/10.1073/pnas.2110092118>
- Lichtenthaler, H.K. (1999). The 1-deoxy-D-xylulose-5-phosphate pathway of isoprenoid biosynthesis in plants. *Annual Review of Plant Biology*, 50 (1), 47-65. <https://doi.org/10.1146/annurev.arplant.50.1.47>
- Liu, X., Park, J.H., & Abd El-Aty, *et al.* (2013). Isolation of volatiles from *Nigella sativa* seeds using microwave-assisted extraction: effect of whole extracts on canine and murine cells. *Journal of Agricultural and Food Chemistry*, 61 (34), 8107-8113. <https://doi.org/10.1002/bmc.2887>
- Mahmoud, S.S., & Croteau, R.B. (2001). Metabolic engineering of essential oil yield and composition in mint by altering expression of deoxxyxylulose phosphate reductoisomerase and menthofuran synthase. *Proceedings of the National Academy of Sciences*, 98 (15), 8915-8920. <https://doi.org/10.1073/pnas.141237298>
- Majdi, M., Karimzadeh, G., & Malboobi, M.A. (2014). The study of relative gene expression of key genes of terpene biosynthesis in tissues and different developmental stages of feverfew (*Tanacetum parthenium*) genotypes using real-time PCR. *Plant Genetic Researches*, 1 (2), 25-32. (in persian)
- Majdi, M., Abdollahi, M.R., & Maroufi, A. (2015). Parthenolide accumulation and expression of genes related to parthenolide biosynthesis affected by exogenous application of methyl jasmonate and salicylic acid in *Tanacetum parthenium*. *Plant Cell Reports*, 34 (11), <https://doi.org/10.1007/s00299-015-1837-2>
- Mazrooei, S.S.A., & Ghazala, W.S. (2018). Characterization of the glyceraldehyde-3-phosphate dehydrogenase gene from *Nigella sativa*. *Molecular Biology Reports*.
- Mirzaghadri, G. (2024). rtpcr: A package for statistical analysis of real-time PCR data in R. <https://doi.org/10.21203/rs.3.rs-4193266/v1>
- Mbuni, M., Wang, S., & Mwangi, B. N. *et al.* (2020). Medicinal plants and their traditional uses in local communities around Cherangani Hills, Western Kenya. *Plants (Basel)*, 9 (3), 331. <https://doi.org/10.3390/plants9030331>
- Nomani, M., Noori, S. A. S., & Tohidfar, M. *et al.* (2019). Overexpression of TPS2 gene to increase thymol content using Agrobacterium tumefaciens-mediated transformation in *Trachyspermum ammi* (Qom ecotype). *Industrial Crops and Products*, 130: 63-70. <https://doi.org/10.1016/j.indcrop.2018.12.076>
- Oladeji, O. (2016). The characteristics and roles of medicinal plants: Some important medicinal plants in Nigeria. *Natural Product Industry Journal*, 12 (3), 102.
- Saad, A. H., & Darweesh, M. F. (2013). Efficacy of thymoquinone against vaginal candidiasis in prednisolone-induced conditions. *Journal of Medicinal Plants Research*. <https://doi.org/10.5555/20133188818>
- Sallaud, C., Rontein, D., & Onillon, S. *et al.* (2009). A novel pathway for sesquiterpene biosynthesis from Z,Z-farnesyl pyrophosphate in the wild tomato *Solanum habrochaites*. *The Plant Cell*, 21: 301-317. <https://doi.org/10.1105/tpc.107.057885>
- Sandberg, F., & Corrigan, D. (2001). Natural remedies: Their origins and uses. Abingdon: Taylor Francis. <https://doi.org/10.1201/9781420024692>
- Sapir-Mir, M., Mett, A., & Belausov, E. *et al.* (2008). Peroxisomal localization of *Arabidopsis* isopentenyl diphosphate isomerasers suggests that part of the plant isoprenoid mevalonic acid pathway is compartmentalized to peroxisomes. *Plant Physiology*, 148 (3), 1219-1228. <https://doi.org/10.1104/pp.108.127951>
- Schwab, W. (2003). Metabolome diversity: Too few genes, too many metabolites? *Phytochemistry*, 62 (6), 837-849. [https://doi.org/10.1016/S0031-9422\(02\)00723-9](https://doi.org/10.1016/S0031-9422(02)00723-9)
- Taylor, S.C., Nadeau, K., & Abbasi, M. *et al.* (2019). The ultimate qPCR experiment: Producing publication quality, reproducible data the first time. *Trends in Biotechnology*, 37 (7), 761-774. <https://doi.org/10.1016/j.tibtech.2018.12.002>
- Wildung, M.R., & Croteau, R.B. (2005). Genetic engineering of peppermint for improved essential oil composition and yield. *Transgenic Research*, 14 (4), 365-372. <https://doi.org/10.1007/s11248-005-5475-2>
- Yar, T., El-Hariri, M., & El-Bahai, M. *et al.* (2008). Effects of *Nigella sativa* supplementation for one month on cardiac reserve in rats. *Indian Journal of Physiology and Pharmacology*, 52 (2), 141-148.
- Zhao, L., Gao, L., & Wang, H. *et al.* (2013). The R2R3-MYB, bHLH, WD40 and related transcription factors in flavonoid biosynthesis. *Functional and Integrative Genomics*, 13 (1), 75-98. <https://doi.org/10.1007/s10142-012-0301-4>

REVIEW ARTICLE

Identification of Key Players in Photosynthesis: Redesigning C₃ Crops

Maryam Sadeghi^{1,2}, Mohammad Reza Ghaffari³, Farshad Ebrahimpour⁴, Ali Mohammad Banaei-Moghaddam⁵

1. Ph.D. Candidate, Institute of Biochemistry and Biophysics, University of Tehran, Tehran, Iran.
2. Researcher, DNA and Genome Bank, Iranian Biological Resource Center, Karaj, Iran.
3. Associate Professor, Systems Biology Department, Agricultural Biotechnology, Research Institute of Iran (ABRII), Agricultural Research, Education, and Extension Organization (AREEO), Karaj, Iran.
4. Associate Professor, Department of Agriculture, Payame Noor University, Tehran, Iran.
5. Assistant Professor, Institute of Biochemistry and Biophysics, University of Tehran, Tehran, Iran.

Correspondence:

Mohammad Reza Ghaffari
Ali Mohammad Banaei-Moghaddam
Email: ghaffari@abrii.ac.ir
am_banaei@ut.ac.ir

Received: 10, Jan. 2025

Accepted: 14, Mar. 2025

How to cite:

Sadeghi, M., Mohammad Ghaffari, R., & Banaei-Moghaddam, A. M. (2025). Identification of Key Players in Photosynthesis: Redesigning C₃ Crops. *Crop Biotechnology*, 14 (3), 83-101. (DOI: [10.30473/cb.2025.73383.1998](https://doi.org/10.30473/cb.2025.73383.1998))

ABSTRACT

Photosynthesis is a fundamental process, converts solar energy and carbon dioxide into carbohydrates, sustaining all life on Earth. With the global population approaching nine billion, the demand for food and energy has significantly increased. Furthermore, unexpected climate changes such as drought and floods have reduced agricultural land, highlighting the urgent need to improve crop productivity. An ambitious idea to address the global food demand and enhance crop efficiency in hot and arid climates involves redesigning the anatomical and biochemical pathways of C₃ plants based on the metabolic blueprint of C₄ plants. The structural complexity of key enzymes, such as Rubisco, along with the need for proper subunit alignment in the holoenzyme, poses significant challenges to enhancing photosynthetic efficiency through manipulating these enzymes. Since the discovery of photosynthetic pathways, studies have attempted to enhance the expression of certain enzymes from the C₄ photosynthetic pathway in C₃ plants. Although efforts have not yet directly led to significant improvements in photosynthetic efficiency or yield, they underscore the high potential of metabolic engineering as a precise and effective tool for crop improvement. Recent research on engineering C₃ plants has demonstrated that introducing specific genes regulating leaf anatomy and C₄ photosynthetic processes can significantly enhance photosynthesis and yield. Furthermore, emerging findings suggest that enzymes from simpler photosynthetic organisms, such as cyanobacteria and algae, may offer new avenues for substantial improvements in C₃ photosynthetic efficiency. This study discusses these advancements and explores strategies for engineering metabolic pathways to architect C₃ crops based on C₄ models.

KEY WORDS

C₃ photosynthesis, C₄ photosynthesis, Genetic engineering, Rubisco.



© 2025, by the author(s). Published by Payame Noor University, Tehran, Iran.

This is an open access article under the CC BY 4.0 license (<http://creativecommons.org/licenses/by/4.0/>).

<https://cropbiotech.journals.pnu.ac.ir/>

زیست‌فناوری گیاهان زراعی

سال چهاردهم، شماره سوم، پیاپی ۴۹، بهار ۱۴۰۴ (۸۳-۱۰۱)

DOI: [10.30473/cb.2025.73383.1998](https://doi.org/10.30473/cb.2025.73383.1998)

«مقاله موردنی»

شناسایی بازیگران کلیدی فتوسترن: باز طراحی گیاهان زراعی سه کربنی

مریم صادقی^{۱*}، محمدرضا غفاری^۲، فرشاد ابراهیمپور^۳، علی محمد بنائی مقدم^۴

چکیده

فرآیندهای فتوسترن، یکی از تأثیرگذارترین واکنش‌های بیوشیمیایی در کره زمین هستند، به‌طوری که تقریباً تمام موجودات زنده با محصولات فتوسترن تعذیب می‌شوند. امروزه با افزایش جمعیت جهان به مرز نه میلیارد نفر، تقاضا برای غذا و انرژی به طور قابل توجهی افزایش یافته است. علاوه بر آن تغییرات آب و هوایی غیرمنتظره مانند خشکسالی و سیل، مساحت زمین‌های کشاورزی را کاهش داده و این وضعیت، نیاز به بهبود عملکرد محصولات کشاورزی را دوچندان می‌کند. پیچیدگی ساختمانی برخی از آنزیمهای مهم مسیر فتوسترن نظیر روپیسکو و نیاز به همترازی زیر واحدهای آن در هولوآنزیم، چالش‌های جدی را در افزایش کارایی فتوسترن با دستورالعمل آن آنزیمهای وجود آورده است. یکی از ایده‌های بلندپروازانه برای تأمین تقاضای جهانی غذا و بهبود بهره‌وری محصولات در آب و هوای گرم و خشک، بازطراحی مسیرهای آناتومیکی و بیوشیمیایی گیاهان C_3 با استفاده از نقشه متابولیکی گیاهان C_4 بوده است. از زمان کشف مسیرهای فتوسترنی، مطالعاتی در زمینه افزایش بیان برخی از آنزیمهای موجود در مسیر فتوسترنی گیاهان C_4 در گیاهان C_3 انجام شده است. هرچند این افزایش بیان بهنهایی موجب افزایش توان فتوسترنی و تولید محصول بیشتر نشده است، اما نشان‌دهنده پتانسیل بالای مهندسی متابولیک به عنوان ابزاری کارآمد در اصلاح گیاهان زراعی است. یافته‌های اخیر دریچه‌ای جدید برای استفاده از آنزیمهای موجودات فتوسترن‌کننده ساده‌تر، مانند سیانوباکترها و جلبک‌ها، برای بهبود قابل توجه در عملکرد فتوسترن گیاهان C_3 را نشان می‌دهد. این یافته‌ها، روزنه‌های موثرتری برای مهندسی مسیرهای متابولیکی و ایجاد یک معماری مجدد در گیاهان C_3 معرفی کرده است که در این مطالعه به آن اشاره می‌شود.

واژه‌های کلیدی

مهندسی ژنتیک، فتوسترن C_3 ، فتوسترن C_4 ، روپیسکو، سیانوباکترها.

نویسنده مسئول:

محمدرضا غفاری و علی محمد بنائی مقدم
رایانه‌ای:

ghaffari@abrii.ac.ir; am_banaei@ut.ac.ir

تاریخ دریافت: ۱۴۰۳/۱۰/۲۱

تاریخ پذیرش: ۱۴۰۳/۱۲/۲۴

استناد به این مقاله:

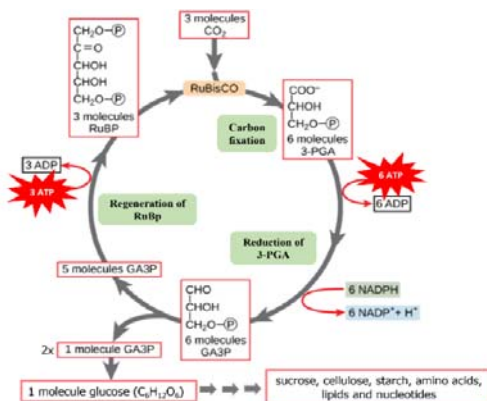
صادقی، مریم؛ غفاری؛ محمدرضا ابراهیمپور، فرشاد، و بنائی مقدم، علی محمد (۱۴۰۴). شناسایی بازیگران کلیدی فتوسترن: بازطراحی گیاهان زراعی C_3 . *فصلنامه علمی زیست‌فناوری گیاهان زراعی*, ۱۴، (۳)، ۸۳-۱۰۱.
(DOI: [10.30473/cb.2025.73383.1998](https://doi.org/10.30473/cb.2025.73383.1998))

حق انتشار این متن متعلق به نویسندهای آن است. © ناشر این مقاله، دانشگاه پیام نور است.

این مقاله تحت مجوز Creative Commons Attribution (CC BY 4.0) منتشر شده و استفاده از آن با ارجاع صحیح مجاز است.

تولید زیستمولکول‌ها

اکثریت قریب به اتفاق کربن آلی روی کره زمین توسط آنزیم روبیسکو^۲ ثبت شده است. این آنزیم کربوکسیلاسیون^۳ ریبولوز ۵-بیس فسفات^۴ (RuBP) را کاتالیز می‌کند که منجر به تولید دو مولکول ۳-فسفوگلیسرات (PGA)^۵ می‌شود. PGA یک ترکیب سه کربنی است که به کمک مصرف ATP^۶ و NADPH^۷ به دست آمده از واکنش‌های وابسته به نور فتوسنتز، به گلیسرآلدئید-۳-فسفات^۸ (G3P) احیا می‌شود. پنج مولکول از شش مولکول G3P تولید شده برای بازسازی مولکول RuBP مصرف می‌شوند تا این روند ادامه یابد. مولکول G3P باقیمانده از شش مولکول که صرف بازیافت نشده، پس از گذر از چند مرحله واکنش‌های آنزیمی، قندهای شش کربنی^۹ را تشکیل می‌دهد. همه مراحل فوق در چرخه کالوین-بنسون^{۱۰} رخ می‌دهد. قندهای شش کربنی تولید شده طی یک سری از واکنش‌های آنزیمی سرانجام به سوکروز^{۱۱}، سلولز^{۱۲} و یا نشاسته^{۱۳} تبدیل می‌شوند (شکل ۱).



شکل ۱. مراحل ثبت کربن در چرخه کالوین بنسون

Figure 1. Carbon fixation steps in the Calvin Benson cycle

2. Ribulose-1,5-bisphosphate carboxylase oxygenase (RuBisCo)
3. Carboxylation
4. Ribulose-1,5-bisphosphate
5. 3-phosphoglycerate
6. Adenosine tri-phosphate
7. Nicotinamide adenine dinucleotide hydrogen phosphate
8. Glyceraldehyde 3-phosphate
9. Hexose phosphates
10. Calvin-Benson cycle
11. Sucrose
12. Cellulose
13. Starch

مقدمه

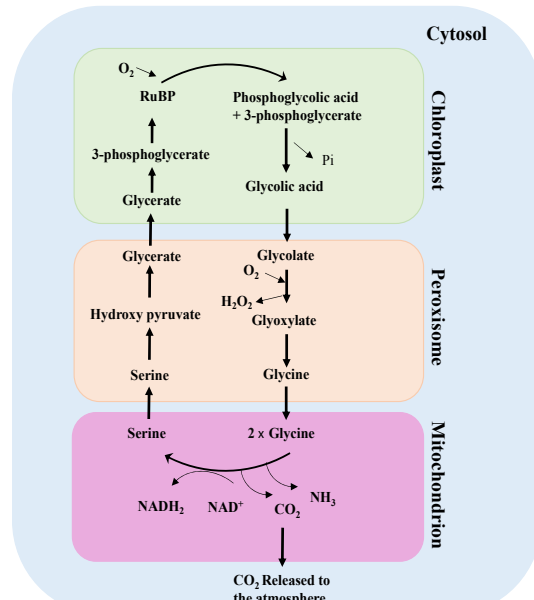
کشاورزی مدرن در طول هفتاد سال گذشته، بدون گسترش زمین‌های کشاورزی و تنها با استفاده گسترده از کود، سموم و همچنین ارقام اصلاح شده باعث افزایش ۱۶۰ درصدی تولید جهانی شده است. با این حال گرمایش زمین، تعییرات اقلیمی غیرقابل پیش‌بینی، کاهش زمین‌های قابل کشاورزی و ضرورت زیست‌محیطی برای استفاده کمتر از کود و مواد شیمیایی چالش‌هایی هستند که در آیندهای نزدیک با آن‌ها روبرو خواهیم شد. بیشتر تلاش‌های اخیر دانشمندان حوزه کشاورزی و علوم گیاهی در محدوده ایجاد مقاومت به تنش های زیستی و غیر زیستی، بیماری‌های گیاهی، کمبود مواد مغذی و تأثیر آن‌ها بر مسیرهای متابولیکی بوده است و در آن‌ها افزایش عملکرد محصولات کشاورزی از طریق افزایش عملکرد فتوسنتز تا حدودی نادیده گرفته شده است. از جمله عواملی که باعث کاهش کارایی فتوسنتز می‌شوند محدودیت‌های فتوشیمیایی، عملکرد دوغانه آنزیم ریبولوز-۵-بیس فسفات کربوکسیلاز-اکسیژن از (RuBisCO) و پیده‌های نام تنفس‌نوری است. با گسترش فناوری‌های نوین، بازنگری مسیرهای مربوط به فتوسنتز به منظور بهبود و افزایش عملکرد محصولات زراعی، می‌تواند از جمله اهداف اصلی محققین برای تضمین امنیت غذایی و گسترش اقتصاد زیستی^۱ باشد. با این حال با توجه به پیچیدگی ژنتیکی، متابولیکی و تشریحی گیاهان، بهبود کارایی فتوسنتز از طریق مهندسی مسیرهای متابولیکی چالش‌برانگیز بوده و ممکن است با صرف هزینه و زمان زیاد نتایج متفاوتی را در گیاهان مختلف به همراه داشته باشد (Trevese et al., 2022). در این مقاله سعی شده است ابتدا عملکرد آنزیم‌های تأثیرگذار در مسیرهای فتوسنتزی و روش‌های مختلف تلاش‌های انجام گرفته جهت بهبود عملکرد فتوسنتز و چالش‌های موجود در این مسیر با توجه به آخرین یافته‌های علمی مورد بررسی قرار گیرد.

مقدار قابل توجهی از انرژی گیاه می‌شود. این فرآیند به ویژه در آب و هوای گرم و خشک، شایع بوده و بازده فتوستتر را تا چهل درصد کاهش می‌دهد. علت این است که در محیط‌های گرم و خشک که سرعت تعرق بالاست، بسته شدن روزنه‌ها در واقع یکی از اولین خطوط دفاعی گیاه در برابر آسیب ناشی از کم آبی است. با بسته شدن روزنه‌ها، غلظت CO_2 در اطراف رویسکو کم شده ولی غلظت O_2 افزایش می‌یابد، زیرا آب که به عنوان عامل احیاکننده (دهنده الکترون) برای زنجیره انتقال الکترون فتوستتری استفاده می‌شود، شکسته شده و اکسیژن به عنوان محصول فرعی آزاد می‌شود. بنابراین تحت شرایط گرم و خشک، به طور همزمان ثبیت کربن توسط گیاه محدود شده و واکنش به نفع اکسیژن‌اسیون^۴ پیش می‌رود (Bauwe *et al.* 2010). واکنش نامطلوب اکسیژن‌نازی رویسکو را می‌توان به عنوان بازمانده‌ای از تاریخ تکامل در نظر گرفت. این آنزیم بیش از سه میلیارد سال پیش هنگامی که اتمسفر زمین مملو از CO_2 و فاقد اکسیژن بوده، تکامل یافته است. بنابراین پس از ظهور اکسیژن حاصل از فتویز آب توسط موجودات فتوستتر کنده، مانند سیانوباکترها^۵ در اتمسفر زمین، آنزیم رویسکو به منظور واکنش اختصاصی با CO_2 تکامل مجدد نیافت (Gowik & Westhoff, 2011). چرخه تنفس نوری، نه تنها کربن های ثبیت شده را دوباره به اتمسفر بر می‌گرداند، بلکه مقدار قابل توجهی از انرژی را برای بازیافت کربن باقیمانده در گلیکولات و تبدیل آن به واسطه‌های مسیر فتوستتر مصرف می‌کند. این مسیر سه اندامک کلروپلاست، پراکسیزوم^۶ و میتوکندری^۷ و آنزیم‌های موجود در آن را درگیر می‌کند. در طول چرخه تنفس نوری، نیتروژن برخی اسیدهای آمینه به صورت آمونیاک^۸ آزاد می‌شود که برای بازیافت مجدد آن نیز مقداری از انرژی گیاه مصرف می‌شود (Keys, 1986). بنابراین از زمان کشف فرآیند فتوستتر، کاهش تنفس نوری یکی از

این قندهای تولید شده در طول متابولیسم کربن، اسکلت‌های کربنی تولید می‌کنند که می‌توانند برای تولید زیست مولکول‌ها مانند اسیدهای آمینه، لیپیدها و اسیدهای نوکلئیک استفاده شوند (Flügge *et al.*, 2016).

چالش‌های آنزیم رویسکو در ثبیت کربن

آنزیم رویسکو علاوه بر کربوکسیلاسیون، می‌تواند واکنش اکسیژن‌اسیون^۹ RuBP را نیز کاتالیز کند که نتیجه آن تولید یک مولکول ۳-فسفوگلیسرات و یک مولکول ۲-فسفوگلیکولات^{۱۰} است. ترکیب اخیر نه تنها هیچ هدف متابولیکی شناخته شده‌ای ندارد بلکه در غلظت‌های بالاتر برای گیاه سمی است. بنابراین فسفوگلیکولات باید در یک مسیر متابولیکی دیگر به نام تنفس نوری^{۱۱} پردازش و حذف شود (شکل ۲).



شکل ۲. واکنش‌های تنفس نوری در گیاهان C_3

Figure 2. Photorespiration reactions in C_3 plants

تنفس نوری باعث از دست رفتن تعدادی از مولکول‌های CO_2 که قبل از ثبیت شده بودند و در نتیجه

4. Oxygenation
5. Cyanobacteria
6. Chloroplast
7. Peroxisome
8. Mitochondria
9. Ammonia

1. Oxygenation
2. 2-phosphoglycolate
3. Photorespiration

کنترل فعالیت رویسیکو است. Rubisco activase یک چاپرون مولکولی^۴ است و به یک محل اتصال در رویسیکو نیاز دارد تا کاربامیلاسیون باقیمانده لیزین را تسهیل کند. فعال ATP^۵ سازی رویسیکو توسط Rubisco activase Rubisco نیاز به ADP/ATP دارد. فعال سازی رویسیکو در صورتی که نسبت ADP/ATP بالا باشد، کاهش می‌یابد ولی توسط نور افزایش می‌یابد. علاوه بر این، آنزیم رویسیکو اکتیواز حذف-۲-کربوکسی دی آرایینتوول ۱-فسفات^۶ یا (CA1P) را از سایتها کاربامیله رویسیکو می‌تسهیل می‌کند. CA1P یک مهارکننده طبیعی رویسیکو با اتصال محکم است که در بسیاری از گونه‌ها در شب به آنزیم متصل می‌شود و باعث کاهش فعالیت آن می‌شود. این ماده احتمالاً تنظیم‌کننده فعالیت رویسیکو در شدت نور کم است، اما ممکن است در محافظت از رویسیکو در برابر تخرب توسط پرووتازها^۷ در زمانی که سوبسترای طبیعی، RuBP، در غلظتها پایین وجود دارد، مهم باشد (Parry *et al.*, 2003). پیچیدگی آنزیم در این است که دی اکسید کربن نه تنها یک سوبستر^۸ برای واکنش کربوکسیلاسیون آنزیم و یک بازدارنده رقابتی برای واکنش اکسیژناسیون آن است، بلکه یک فعال‌کننده برای هر دو فعالیت آنزیم نیز به حساب می‌آید، بنابراین برای بررسی سیستیک واکنش کربوکسیلاسیون آنزیم باید (O₂) Km Vmax Km Ki (CO₂) (O₂) Km (CO₂) و (O₂) (carboxylase) (oxygenase) را به طور همزمان در نظر گرفت. اکسیداسیون و کربوکسیلاسیون ریبوуз بیس فسفات دو واکنش رقابتی هستند و غلظت به ترتیب O₂ و CO₂ در اطراف آنزیم رویسیکو نرخ انجام دو واکنش را تعیین می‌کند.

سازگاری تکاملی

بر اساس مسیر ثبت CO₂، گیاهان فتوسنتزکننده به سه دسته کلی تقسیم می‌شوند: گیاهان کراسولاسه^۹ یا

اهداف مهم بازطراحی فتوسنتز بوده است. در همین راستا تحقیقات زیادی روی آنزیم رویسیکو صورت گرفته است.

مکانیزم پیچیده عملکرد رویسیکو: ساختار، تنظیم و فعال‌سازی

با استفاده از میکروسکوپ الکترونی و کریستالوگرافی اشعه ایکس مشخص شده است که رویسیکو از دو نوع زیرواحد پروتئینی شامل زنجیره بزرگ (L) با وزن حدود ۵۵۰۰۰ دالتون و زنجیره کوچک (S) با وزن حدود ۱۳۰۰۰ دالتون تشکیل شده است. ژن زنجیره بزرگ توسط DNA کلروپلاستی کدگذاری می‌شود، و به طور معمول چندین ژن مرتبط با زنجیره کوچک توسط DNA هسته‌ای کدگذاری می‌شود (Miziorko and Lorimer, 1983). زیرواحد بزرگ رویسیکو توسط ریبوزوم‌های کلروپلاست سنتز می‌شود، در حالی که زیرواحد کوچک آن توسط ریبوزوم‌های سیتوپلاسمی سنتز می‌شود. زنجیره‌های کوچک با عبور از غشاء خارجی کلروپلاست، از سیتوزول به محفظه استرومایی کلروپلاست‌ها وارد می‌شوند. در مجموع هشت زنجیره بزرگ و هشت زنجیره کوچک (به صورت چهار دایمر) در یک مجموعه بزرگ‌تر تجمع می‌یابند. محل اتصال سوبسترای ribulose 1,5-bisphosphate دارد و اتصال یک کاتیون دو ظرفیتی مثل Mg²⁺ و آئیون بیکربنات (HCO₃⁻) باعث ایجاد یک تغییر اساسی در ساختار فضایی آنزیم می‌شود که برای فعال‌سازی آنزیم ضروری است. همچنین یک باقیمانده^۱ لیزین^۲ در جایگاه فعال آنزیم به صورت حفاظت شده در گونه‌های مختلف وجود دارد. برای فعالیت رویسیکو، کاربامیلاسیون^۳ (اضافه شدن یک مولکول CO₂ به گروه آمین زنجیره جانبی) این اسیدآمینه ضروری است. علاوه بر این، شروع فعالیت آنزیم رویسیکو به حضور آنزیم Rubisco activase بستگی دارد. فعالیت آنزیم اخیر نیز با نسبت ATP/ADP، پتانسیل ردوکس و میزان شدت نور کنترل می‌شود. تشکیل برگشته‌پذیر یک کاربامات در محل کاتالیزوری و ثبت آن توسط Mg²⁺ مکانیسم اصلی

4. Molecular chaperone

5. Adenosine triphosphate

6. 2-carboxy-D-arabinitol 1-phosphate

7. Protease

8. Substrate

9. Crassulacean acid metabolism

1. Residue

2. Lysine

3. Carbamylation

استفاده می‌کند تا اسید اگزالواستیک^۹ (OAA) چهار کربنه را تشکیل دهد. واکنش احیا شدن و تبدیل OAA به مالات توسط آنزیم مالات دهیدروژنаз (MDH) صورت می‌گیرد. در مرحله بعد مالات از طریق پلاسمودسماتا^{۱۰} به سلول‌های غلاف آوندی^{۱۱} انتقال می‌یابد. در این مکان است که CO₂ ذخیره شده در این اسید چهار کربنه، با فعالیت آنزیمی ذکریکسیلاسیون^{۱۲} آزاد می‌شود و غلظت آن به حدی می‌رسد که جایگاه فعال روپیسکو را اشیاع می‌کند. مرحله بعد شامل بازسازی و احیای فسفوانول‌پیررووات (پذیرنده اولیه CO₂) (PPDK)، با توسط آنزیم پیررووات ارتوفسفات دی‌کیناز^{۱۳} (PPDK)، با مصرف دو مولکول ATP و سپس انتقال آن به سلول‌های مزو菲尔 است. در فتوستتر C₄ الگوی بیان ژن‌های کد کننده آنزیم روپیسکو هم تغییر یافته و حضور روپیسکو به سلول‌های غلاف آوندی محدود شده است. یعنی علاوه بر تغییرات آناتومی و بیوشیمیایی، در تنظیم بیان ژن‌ها نیز طی تکامل تغییراتی رخ داده است. در شکل سه مسیرهای متابولیکی C₃ و CAM و C₄ به صورت خلاصه نمایش داده شده‌اند.

تاکنون دو آنزیم دکربوکسیلاز اصلی به نام‌های NADP-ME^{۱۴} و NAD-ME^{۱۵} شناسایی شده‌اند. در همه گیاهان C₄ یک مرحله آنزیمی مشترک وجود دارد، که شامل واکنش دکربوکسیلاسیون اولیه توسط PEPC است که نتیجه آن تولید اسید اگزالواستیک در سلول‌های مزو菲尔 است. مراحل بعدی که شامل انتقال متابولیت‌ها و محل واکنش دکربوکسیلاسیون است، بین زیر گروه‌ها متفاوت است. در زیر گروه NADP-ME ترکیب چهار NADP-malate dehydrogenase کربنه اگزالواستات توسط آنزیم کربنیکی و شوری شده‌اند (Parry *et al.*, 2003). در تمام C₄ معرفی شده‌اند (Parry *et al.*, 2003). در تمام نسخه‌های فتوستتر C₄ گام اولیه تثبیت کربن غیر آبی یا CO₂، فعالیت آنزیم فسفوانول‌پیررووات دکربوکسیلاز^{۱۶} (PEPCase) است. این آنزیم که تنها در سلول‌های مزو菲尔 وجود دارد، از بیکربنات^۷ (HCO₃⁻) برای کاتالیز دکربوکسیلاسیون فسفوانول‌پیررووات^۸ (PEP) سه کربنه

فسفو انول پیرروات تبدیل شود.

- 9. Oxaloacetic acid
- 10. Plasmodesmata
- 11. Bundle sheath
- 12. Decarboxylation
- 13. Pyruvate orthophosphate dikinase
- 14. NADP-dependent malic enzyme
- 15. NAD-dependent malic enzyme

CAM و گیاهان C₃ و گیاهان C₄. تفاوت‌های موجود در این سه دسته در جدول (۱) خلاصه شده است.

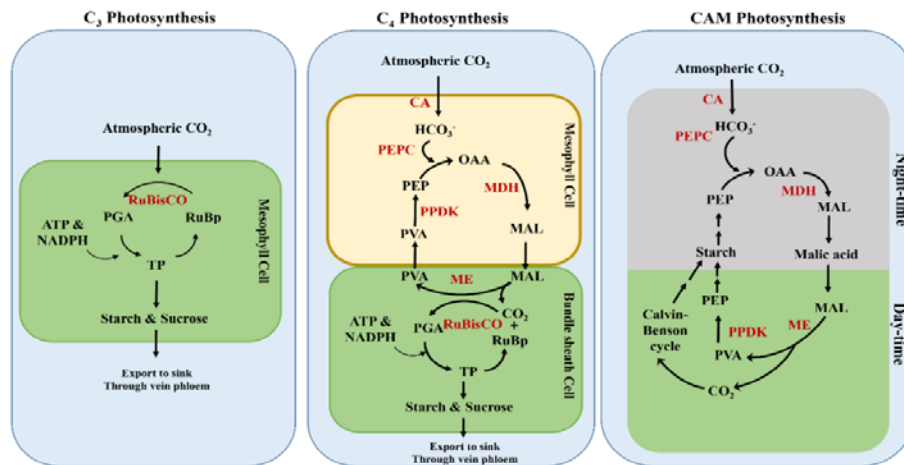
رایج‌ترین فرم، فتوستتر C₃ نام دارد. علت این نام‌گذاری سه کربنه بودن اولین ترکیب پایدار ناشی از تثبیت CO₂ یعنی phosphoglycerate-3 است. اکثر گیاهان C₃ هستند اما به دلیل تنفس نوری که پیش‌تر به آن پرداختیم، بازده فتوستتر در این گیاهان کم است. متابولیسم کراسولاسه یک راه حل طبیعت جهت کاهش تنفس نوری در طول تاریخ تکامل بوده است. در این مسیر، روزنده‌ها در طول روز بسته‌اند و فقط در شب که دما کاهش و رطوبت افزایش می‌یابد، روزنده‌ها باز می‌شوند. در این گیاهان CO₂ به صورت مالات^۱ در واکوئل‌ها^۲ ذخیره شده و در طول روز برای تثبیت توسط آنزیم روپیسکو آزاد می‌شود. در حالی که گیاهان C₃ در آب‌وهوای معتدل به خوبی رشد می‌کنند، گیاهان کراسولاسه (مانند خانواده کاکتوس‌ها^۳) با شرایط بسیار خشک سازگار شده‌اند، اما سرعت رشد در آن‌ها بسیار کم است. موفق‌ترین راه حل طبیعت برای مقابله با تنفس نوری، تکامل فتوستتر C₄ بوده است. فتوستتر C₄ مجموعه‌ای از تغییرات آناتومیکی و بیوشیمیایی است که CO₂ را در اطراف آنزیم روپیسکو متتمرکز می‌کند. مسیر C₄ به طور مستقل بیش از ۶۰ بار در خانواده‌های آنثیوسپرمه‌ها^۴ یا گیاهان گلدار تکامل یافته است و بنابراین می‌توان آن را یکی از همگرایترین پدیده‌های تکاملی^۵ دانست. منشأ پیدایش فتوستتر C₄ در دولپه‌ای‌ها، مناطق خشک با عرض جغرافیایی کم در نظر گرفته شده و اثرات ترکیبی گرما، خشکی و شوری به عنوان شرایط ضروری تکامل C₄ معرفی شده‌اند (Parry *et al.*, 2003). در تمام نسخه‌های فتوستتر C₄ گام اولیه تثبیت کربن غیر آبی یا CO₂، فعالیت آنزیم فسفوانول‌پیررووات دکربوکسیلاز^{۱۶} (PEPCase) است. این آنزیم که تنها در سلول‌های مزو菲尔 وجود دارد، از بیکربنات^۷ (HCO₃⁻) برای کاتالیز دکربوکسیلاسیون فسفوانول‌پیررووات^۸ (PEP) سه کربنه

- 1. Malate
- 2. Vacuoles
- 3. Cactaceae
- 4. Angiosperms
- 5. Polyphyletic evolution
- 6. Phosphanol pyruvate carboxylase
- 7. Bicarbonate
- 8. Phosphoenolpyruvate

جدول ۱. تفاوت‌های موجود در سه مسیر اصلی فتوستتری در گیاهان

Table 1. The differences in three main photosynthetic pathways in plants

گیاهان C ₃	گیاهان C ₄	گیاهان CAM	خصوصیات
زیاد (تا بیش از ۴۰ درصد)	کم	خیلی کم	میزان تنفس نوری
دماهی معتدل	مناطق گرمسیری، درجه حرارت بالا در روز (۳۰ تا ۳۵ درجه سانتی گراد)	آب و هوای گرم و خشک، نیمه‌بیابانی (دماهی بیش از ۴۰ درجه سانتی گراد)	زیست‌گاه طبیعی
زیاد	کم	بسیار کم	میزان از دستدادن آب در اثر تعرق
بدون تغییر	واکنش‌های نوری مولد اکسیژن و واکنش‌های چرخه کالوین از نظر مکانی از یکدیگر جدا شده و در سلول‌های متفاوت انجام می‌شوند	واکنش‌های نوری مولد اکسیژن و واکنش‌های چرخه کالوین از نظر مکانی از یکدیگر جدا شده	تغییرات تکاملی جهت کاهش تنفس نوری
مزوفیل	مزوفیل و غلاف آوندی (آناتومی کرانز)	مزوفیل	نوع سلول‌های ثابت‌کننده کریں
Ribulose-1,5-bisphosphate	phosphoenolpyruvate	phosphoenolpyruvate	اولین ترکیب پذیرنده کریں
RuBisCO	Phosphoenolpyruvate carboxylase	Phosphoenolpyruvate carboxylase	اولین آنزیم کربوکسیله کننده
3-phosphoglycerate	ابتدا تولید اسید آگزالواسیک و سیس	ابتدا تولید اسید آگزالواسیک و سیس	اولین محصول پایدار
اکثر گیاهان، از جمله محصولات مهم کشاورزی مانند برنج و گندم	تبدیل به مالات یا آسپارتیک اسید	تبدیل به مالات	مال
گیاهان علفی گرمسیری، ذرت، نیشکر	گیاهان، ارکید، گل خنجری، گیاه یشم، گیاه سود	کاکتوس، ارکید، گل خنجری، گیاه یشم، گیاه سود	مثال



شکل ۳. انواع مسیرهای فتوستتری در گیاهان

Figure 3. Different types of photosynthetic pathways in plants

غلاف آوندی حفظ شود. آلانین طی چند مرحله به PEP تبدیل شده تا پیش‌ساز دور جدیدی از کربوکسیلاسیون و دکربوکسیلاسیون را فراهم کند (Rao & Dixon 2016). مشخصات متابولیکی این گیاهان در جدول ۲ خلاصه شده است.

تکامل یافته‌ترین شکل مسیر C₄ شامل جداسازی فضایی واکنش‌های متابولیکی بین دو نوع سلول مختلف است که در یک آناتومی ویژه در برگ به نام کرانز¹ سازماندهی شده‌اند.

در زیر گروه NAD-ME، آگزالواسیات توسعه آنزیم aspartate aminotransferase و به آسپارتات تبدیل شده و به میتوکندری سلول‌های غلاف آوندی منتقل می‌شود. در میتوکندری، آسپارتات طی واکنش‌های reductive deamination به مالات تبدیل می‌شود. مالات پس از دکربوکسیله شدن توسعه آنزیم NAD-malic enzyme به پیروات تبدیل می‌شود. پیروات در سیتوسل سلول‌های غلاف آوندی توسعه آنزیم alanine aminotransferase به آلانین تبدیل می‌شود و به سلول‌های مزوفیل بازمی‌گردد تا تعادل آمونیاک بین دو سلول مزوفیل و

1. Kranz

جدول ۲. انواع مسیرهای موجود در فتوسترنز C₄

Table 2. Types of pathways in C₄ photosynthesis

مثال	ترکیب سه کربن‌های که به سلول‌های مزو菲尔 بر می‌گردد	آنژیم	محل واکنش	ترکیب چهار کربن‌های که وارد سلول‌های غلاف آوندی می‌شود	انواع مسیر C ₄
ذرت، نیشک، سور گوم <i>Bristlegrasses</i>	پیروات	NADP-ME	کلروپلاست	مالات	NADP-ME
گیاه خرفه و <i>Portulaca oleracea</i>	آلاتین	NAD-ME	میتوکندری	آسپارتات	NAD-ME

دستورالعمل‌های ژنتیکی می‌تواند بدون تحت تأثیر قرار دادن کارآمدی مصرف بهینه نیتروژن، میزان تولید زیست توده را در گیاهان C₃ و C₄ تا حدودی افزایش دهد (Salesse- Smith *et al.*, 2024). برخی از گیاهان مهم زراعی از جمله ذرت^۱، سور گوم^۲، نیشک^۳ و ارزن^۴ جزء این گروه هستند. هم سلول‌های مزو菲尔 و هم سلول‌های غلاف آوندی برای سازگاری در سیستم گیاهان C₄ تحت تغییرات آناتومیکی قرار گرفته‌اند. در نتیجه این تغییرات، سلول‌های غلاف آوندی بزرگ شده و برای انجام واکنش‌های چرخه کالوین اختصاصی شده‌اند، همچنین توسط تعداد زیادی پلاسمودسماتا به سلول‌های مزو菲尔 متصل شده‌اند تا انتقال شاتل‌های CO₂ (مالات و آسپارتات) شده‌اند تا انتقال شاتل‌های CO₂ (مالات و آسپارتات) سریع‌تر و بهتر صورت گیرد. برگ‌ها تراکم بالاتری از رگبرگ‌ها را نشان می‌دهند تا اطمینان حاصل شود که هر سلول مزو菲尔 در تماس مستقیم با یک سلول غلاف آوندی است. مقدار آنژیم کلیدی فسفوanol پیرووات کربوکسیلاز در سلول‌های مزو菲尔 گونه‌های C₄ بسیار بیشتر از مقدار آن در گونه‌های C₃ است، همچنین خواص سیستمیک آن‌ها نیز متفاوت است (Gowik & Westhoff, 2011).

بازطرابی مسیرهای بیوشیمیایی فتوسترنز در گیاهان C₃

جمعیت جهان بهزودی به مرز نه میلیارد نفر خواهد رسید و این افزایش جمعیت به معنای تقاضای بیشتر برای غذا است. از طرف دیگر تغییرات آب‌وهوایی غیرمنتظره مانند خشکسالی و سیل، مساحت زمین‌های کشاورزی را بیشتر

2. *Zea mays*

3. *Sorghum bicolor*

4. *Saccharum officinarum*

5. *Pennisetum glaucum*

کرانز در زبان آلمانی به معنای تاج گل است و چون دو نوع سلول (مزوفيل و غلاف آوندی) در اطراف رگبرگ ساختمانی شبیه به تاج گل ایجاد می‌کنند، به این نام خوانده می‌شود. در سلول‌های مزو菲尔 ابتدا CO₂ توسط آنژیم کربنیک انھیدراز^۵ (CA) به بیکربنات تبدیل شده و پس از آن توسط یک کربوکسیلاز (غیرحساس به O₂) به یک ترکیب چهار کربنی تبدیل می‌شود. این واکنش در سلول‌های مزو菲尔 اتفاق می‌افتد. سپس این ترکیب چهار کربنی به سلول‌های غلاف آوندی منتقل می‌شود، جایی که برای آزاد کردن CO₂ دکربکسیله می‌شود. در اکثر گیاهان C₄ به دلیل قرارگیری سلول‌های غلاف آوندی در زیر سلول‌های مزو菲尔 (آناتومی کرانز) نور کمتری در مقایسه با سلول‌های مزو菲尔 به این سلول‌ها می‌رسد، در نتیجه واکنش‌های وابسته به نور بیشتر در سلول‌های مزو菲尔 رخ می‌دهد. بنابراین رویسکو در سلول‌های غلاف آوندی و به دور از اکسیژن، از CO₂ آزاد شده، اشباع می‌گردد. این جداسازی فیزیکی رویسکو از واکنش‌های نوری تولید کننده اکسیژن، تنفس نوری را کاهش و ظرفیت فتوسترنز برگ را افزایش می‌دهد. این گیاهان قدر بیشتری نسبت به گیاهان C₃ در شرایط نور شدید و دمای بالا تولید می‌کنند. علاوه بر این، چون آنژیم رویسکو در غلظت‌های بالاتر CO₂ کارآمدتر عمل می‌کند، گیاهان C₄ به آنژیم کمتری نیاز دارند و از آنجایی که این آنژیم فراوان ترین پروتئین در برگ‌های گیاه است، منجر به صرفه‌جویی در مصرف نیتروژن در این گیاهان شده است Romanowska & Wasilewska-Dębowska, (2022). با این وجود در یک مطالعه جدید نشان داده شده است که افزایش میزان تولید آنژیم رویسکو با

1. Carbonic anhydrase

به نظر می‌رسد حفاظت بالای ساختار رو بیسکو گیاهی در طی تکامل باعث شده است که تمام اصلاحاتی که هدف آن‌ها جایگاه‌های فعال این آنزیم هستند با شکست مواجه شوند. علاوه بر این، رو بیکردهای امیدوارکننده‌ای برای شناسایی جایگاه‌های جایگزین برای اصلاح وجود ندارد و روش‌های غربالگری با بازدهی بالا^۸ که در مهندسی آنزیم استفاده می‌شوند، به راحتی قابل استفاده نیستند. چالش دیگر، پیچیدگی زیاد در تاریختن کلروپلاست‌ها است که امکان انجام اصلاحات موققیت‌آمیز را محدود می‌کند. به همین دلیل، طی چندین دهه، تلاش‌ها برای بهبود کارایی رو بیسکو در گیاهان موققیت محدودی داشته‌اند. همچنین NADP-PEPCase بیشتر هر یک از دو آنزیم C₃ و C₄ را بیشتر ME در گیاهان تاریخته C₃ باعث افزایش توان Ruan (2012). با این حال مهندسی ژنتیک ابزار اصلاحی کارآمد و دقیقی است که با آن می‌توان مجموعه‌ای از ژن‌هایی که آناتومی برگ و فرآیندهای بیوشیمیایی فتوسترن C₄ را تنظیم می‌کنند، در گیاهان مورد نظر معرفی و بیان کرد (Karki *et al.*, 2013). همچنین ایجاد گیاهان جهش‌یافته ابزار مهمی در مطالعه علوم گیاهی مدرن و تحقیقات زیست‌شناسی مولکولی هستند و گاهی اوقات می‌توانند یک منبع جدید برای بهبود ژنتیکی گیاهان باشند، و با اینکه جهش‌یافته‌ها می‌توانند به روشن شدن دلیل برخی تفاوت‌ها در مسیرهای فتوسترنی کمک کنند. به عنوان مثال ژن OsBP-73 در برنج یک پروتئین متصل شوند به DNA را کد می‌کند که احتمال می‌رود در تنظیم رونویسی یک ژن دیگر به نام *waxy* gene نقش داشته باشد. برنج تاریخته که در آن ژن OsBP-73 خاموش شده^۹، نسبت به نوع وحشی^{۱۰}، دارای بوته‌های کوتاه‌تر، خوش‌های کوچک‌تر و تعداد کمتر دانه در هر خوش بود. همچنین این گیاه تاریخته حاوی مقدار کمتری کلروفیل، آنزیم رو بیسکو و Rubisco activase بود. بررسی‌های بعدی نشان داد که کاهش ۲۹,۳ درصدی نرخ فتوسترن خالص برگ در این برنج تاریخته که ژن OsBP-

از گذشته کاهش داده است. با این شرایط ضروری است که به بهبود عملکرد محصولات مهم کشاورزی مانند برنج^۱، گندم^۲، جو^۳، سویا^۴ و سیب‌زمینی^۵ که جزء گیاهان C₃ هستند، بپردازیم. از زمان کشف فتوسترن C₄ در اواسط دهه ۱۹۶۰، و شناسایی مزایای این مسیر فتوسترنی نسبت به نوع C₃، تلاش‌های بسیاری جهت انتقال صفات مطلوب C₄، با استفاده از روش‌های مرسم اصلاح نباتات^۶، به گیاهان C₃ انجام گرفت. تلاقي‌هایی بین گونه‌های C₃ مانند برنج و C₄ ذرت انجام گرفت (Brown and Bouton, 1993) (ولی فرزندان، بیشتر صفات والد C₃ را نشان داده‌اند. توسعه سریع زیست‌شناسی مولکولی و مهندسی ژنتیک، دانشمندان را به فکر تولید آنزیم رو بیسکو مهندسی شده با ویژگی تمایل دو برابر برای واکنش با CO₂، کاهش تمایل برای واکنش با Raines اکسیژن و سرعت کاتالیتیکی بالاتر اندادخت (2006). یکی از مشکلات دستورزی^۷ رو بیسکو در گیاهان عالی، پیچیدگی ساختمانی آن است که از هشت زیروحد پلی‌پپتیدی بزرگ و هشت زیر واحد کوچک تشکیل شده است. ژن‌های کدکننده زیر واحد کوچک در ژنوم هسته هستند، اما ژن‌های زیر واحد بزرگ در ژنوم کلروپلاست کدگذاری می‌شوند و مشکلاتی را در موئاتر زیر واحدهای بزرگ و کوچک در هولوآنزیم، پس از دستورزی ایجاد می‌کنند. از جهش‌زایی در شرایط آزمایشگاهی برای ایجاد تغییراتی در DNA کدکننده زیر واحدهای بزرگ و کوچک، استفاده شده است و تلاش‌هایی برای بهبود خواص آنزیم رو بیسکو به کمک جایگزینی اسید آمینه‌های خاص در جایگاه فعال آنزیم در زیر واحد بزرگ انجام گرفته است. اما تجزیه و تحلیل مسیر تنفس نوری گیاهان تاریخته نشان داد که احتمال اینکه فتوسترن C₃ تنها با دستکاری مستقیم یک آنزیم منفرد در این مسیر، بهبود یابد بعید به نظر می‌رسد (Parry *et al.*, 2003). بنابراین

1. *Oryza sativa* L.

2. *Triticum aestivum*

3. *Hordeum vulgare*

4. *Glycine max*

5. *Solanum tuberosum*

6. Conventional methods of plant breeding

7. Genetic manipulation

فعالیت آنزیم رویسکو در مقایسه با گیاهان غیرتاریخته دیده شد (Miyagawa *et al.*, 2001).

یکی از عوامل مهم محدودکننده میزان فتوستتر و رشد در گیاهان، محدودیت در دسترسی آنزیم رویسکو به CO₂ است. در یک تحقیق، ژن *ictB* از میکروارگانیزم *Synechococcus sp. PCC7942* به گیاهان آرایدوبسیس^۱ و تباکو منتقل شد. این ژن در تجمع HCO₃⁻ در این میکروارگانیزم نقش دارد. گیاهان تاریخته نرخ فتوستتری بالاتری نسبت به گیاهان غیرتاریخته در شرایط کمبود CO₂ و رطوبت نشان دادند. میزان رهاسازی CO₂ در جریان تنفس نوری در گیاهان تاریخته نسبت به نوع غیرتاریخته کمتر بود که نشان دهنده غلظت بالاتر CO₂ در اطراف آنزیم رویسکو در این گیاهان است. جهش یافته‌های این ژن تنها قادر به رشد در غلظت‌های بالای CO₂ بودند که نشان دهنده اهمیت این ژن در افزایش غلظت CO₂ در این میکروارگانیزم‌ها است (Arce *et al.*, 2022). ثبت CO₂ در چرخه کالوین بدون مولکول‌های ATP و NADPH به دست آمده از زنجیره انتقال الکترون فتوستتری امکان‌پذیر نیست. در یک تحقیق ژن کدکننده c6 cytochrome az جلبک *Porphyra yezoensis* به گیاه آرایدوبسیس منتقل شد. پس از گذشت ۶۰ روز از کاشت گیاهان تاریخته، ارتفاع بوته، طول برگ و طول ریشه به ترتیب ۱,۱, ۱,۳ و ۱,۳ برابر بیشتر از گیاهان نوع وحشی بود. همچنین در این گیاهان مقدار کلروفیل، پروتئین، ATP و NADPH نشاسته به ترتیب ۱,۲, ۱,۹, ۱,۱, ۱,۴ و ۱,۲ برابر بیشتر از گیاهان غیرتاریخته بود. علاوه بر این ظرفیت ثبت CO₂ در این گیاهان ۱,۳ برابر افزایش داشت. نتایج این تحقیق نشان داد که میزان رشد و فتوستتر گیاه آرایدوبسیس را می‌توان با بیان سیتوکروم جلبکی در آن افزایش داد (Lieman-Hurwitz *et al.*, 2005). این آزمایشات به همراه دهها آزمایش دیگر نشان می‌دهند که آنزیمهای پروتئینی‌های دخیل در فتوستتر در موجودات فتوستتر کننده ساده‌تر سیانوبکترها و جلبک

RuBP ۷۳ آن خاموش شده، به محدودیت کربوکسیلاسیون RuBP و بازسازی RuBP نیز مربوط می‌شود. از نتایج به دست آمده نتیجه‌گیری شد که محدودیت در بازسازی RuBP یک دلیل غالب برای کاهش نرخ فتوستتر محسوب می‌شود (Chen, Xu, 2007). بنابراین می‌توان نتیجه گرفت که نرخ پایین فتوستتر تنها مربوط به عملکرد پایین آنزیم رویسکو نمی‌شود و عوامل دیگری مانند سرعت کم بازسازی مولکول RuBP نیز می‌توانند در کارآمدی فتوستتر تأثیر داشته باشند. تحقیقات زیادی جهت تولید گیاهان تاریخته انجام گرفت که در آنزیمهای مهم بخش بازسازی RuBP افزایش بیان داشتند. از جمله این آنزیمهای می‌توان به FBPase fructose-1,6-bisphosphatase SBPase sedoheptulose-1,7-bisphosphatase و اشاره کرد. اگرچه تمامی آنزیمهای موجود در چرخه کالوین جهت ثبت CO₂ ضروری هستند، ولی سطوح غلظت این دو آنزیم نسبت به سایر آنزیمهای این چرخه پایین‌تر است (Woodrow & Mott, 1993). این دو آنزیم واکنش‌های برگشت‌ناپذیر^۲ را کاتالیز می‌کنند و به نظر می‌رسد در تنظیم سرعت چرخه کالوین نقش داشته باشند. سیانوبکترها^۳ حاوی یک آنزیم منحصر به فرد به نام fructose-1,6-/sedoheptulose-1,7-bisphosphatase یا به اختصار FBP/SBPase این آنزیم واکنش دفسفوریلاسیون^۴ دو سوبستراتی sedoheptulose- fructose-1,6-bisphosphatase ۱,7-bisphosphatase را به طور یکسان کاتالیز می‌کند و هیچ ارتباطی در گیاهان عالی ندارد. در یک تحقیق این ژن به کلروپلاست گیاه تباکو انتقال داده شد. بیان بیش از ۷۵٪ آنزیم FBP/SBPase سیانوبکتری در کلروپلاست‌های گیاهان تاریخته تباکو^۵ منجر به افزایش ظرفیت فتوستتری، افزایش سنتز و تجمع کربوهیدرات‌ها و سرعت رشد شد. در مقایسه با گیاه تباکو غیرتاریخته، ماده خشک نهایی^۶ یک و نیم برابر و ثبت CO₂ فتوستتری ۱,۲۴ برابر افزایش داشت. همچنین افزایش ۱,۲ درصدی در

1. Irreversible reactions

2. Cyanobacteria

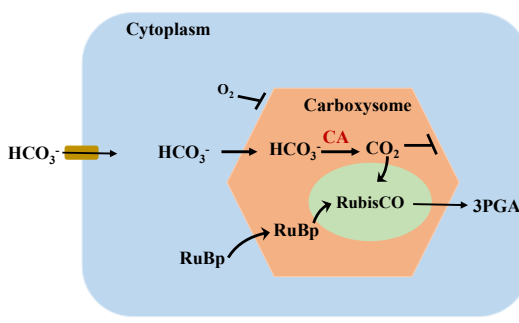
3. Dephosphorylation

4. *Nicotiana tabacum*

5. Final dry matter

یک مخزن درون سلولی کربن معدنی محلول به شکل بیکربنات کمک می کند (Sadeghi *et al.*, 2024).

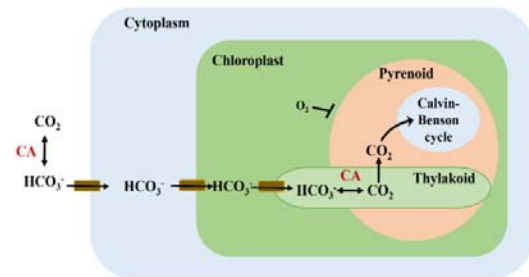
سیانوباکترها مدل ایده‌آل در باز طراحی فتوسنتز گونه‌های سیانوباکترهای امروزی و کلروپلاست‌های گیاهان عالی دارای یک جد مشترک هستند. این سیانوباکترها چرخه زندگی سریع دارند و می‌توانند در محیط‌های نامناسب از نظر خشکی، شوری و دما زندگی کنند. به همین دلایل سیانوباکترها تا مدت‌ها به عنوان موجودات مدل برای تحقیقات فتوسنتز استفاده می‌شوند. هنگامی که هدف، بهبود فتوسنتز و تثبیت CO_2 در گیاهان است، سیانوباکترها منبع غنی از استراتژی‌های متنوع را ارائه می‌دهند. آنزیم رویسیکو در سیانوباکترها نیز مانند رویسیکو گیاهان قادر به تمایز بین مولکول‌های CO_2 و O_2 نیست که منجر به واکنش جانی اکسیژناسیون و تنفس نوری می‌شود. برخلاف اکثر گیاهان C_3 که با افزایش تولید پروتئین رویسیکو این نقص را جبران کرده‌اند، سیانوباکترها آنزیم رویسیکو را به همراه مقدار زیادی آنزیم کربونیک آنهیدراز در یک محفظه پروتئینی بیست وجهی به نام کربوکسیزوم^۴ مخصوص کرده‌اند (شکل ۵).



شکل ۵. مسیر تمرکز کربن در اطراف رویسیکو در سیانوباکترها توسط اندامک کربوکسیزوم

Figure 5. Carbon concentration pathway around Rubisco in cyanobacteria by the carboxysome organelle

ها نسبت به انواع متناظر شان در گیاهان عالی، کارآمدتر هستند (Walter and Kromdijk, 2021). همچنین قابلیت‌های فتوسنتزی منحصر به فرد، بیشتر در موجوداتی که با شرایط سخت کنار می‌آیند یافت می‌شود. به عنوان مثال در جلبک سبز *Chlorella ohadii* که اخیراً از پوسته بیولوژیک^۱ خاک بیابان جدا و کشف شده است (Treves *et al.*, 2022) و رشد RuBP^۲ بسیار بالا گزارش شده است. تحمل نور شدید بیابان یکی دیگر از مشخصات منحصر به فرد این جلبک است. این ریز جلبک^۳ بیکربنات را به داخل سلول‌های خود پمپ می‌کند و CO_2 را در ریزساختارهایی به نام پیرنوئیدها^۴ جمع می‌کند. پیرنوئیدها در کلروپلاست‌های بسیاری از جلبک‌ها وجود دارند و حاوی مقادیر بسیار بالای آنزیم رویسیکو می‌باشند (شکل ۴).



شکل ۴. مسیر تمرکز کربن در اطراف رویسیکو در جلبک‌ها توسط اندامک پیرنوئید

Figure 4. Carbon concentration pathway around rubisco in algae by pyrenoid organelle

وظیفه اصلی پیرنوئیدها ایجاد یک محیط غنی از CO_2 در اطراف آنزیم رویسیکو می‌باشد. در این موجودات، انتقال فعال بیکربنات از محیط خارج سلولی به پیرنوئیدها و از طریق ناقلین اختصاصی در غشا پلاسماء، غشا کلروپلاست و غشا تیلاکوئید انجام می‌شود. همچنین تصور می‌شود که آنزیم کربونیک آنهیدراز به میزان زیاد در فضای پری‌پلاسمی، سیتوپلاسمی و استرومای کلروپلاست وجود دارد که به حفظ

رسد ارتوفسفات اثر معکوس دارد (Portis, 2003). سیانوباکترها ویژگی تمايل کم رویسکو به CO₂ را با کپسوله سازی آن در انداzek کربوکسیزوم جبران کرده‌اند. از زمان کشف مکانیزم ثبیت کربن در سیانوباکترها این سؤال پیش آمد که با توجه به مزایای انداzek کربوکسیزوم، آیا می‌توان رویسکوهای گیاهی را به همراه آنزیم کربونیک آنهیدراز در کربوکسیزوم‌های سیانوباکتریایی کپسوله کرد. برای پاسخ به این پرسش مطالعاتی روی تعامل آنزیم رویسکو با قسمت داخلی پوسته کربوکسیزوم و سایر اعضا داخلی مانند آنزیم کربونیک آنهیدراز انجام گرفت. مقایسه پتانسیل الکترواستاتیک سطح رویسکو گیاهی و سیانوباکتریایی نشان داد که رویسکو کربوکسیزومی نسبت به رویسکو کلروپلاستی بار منفی زیادتری در سطح خود دارد. بنابراین، قرار دادن رویسکو گیاهی در کربوکسیزوم‌ها ممکن است امکان‌پذیر نباشد، زیرا تفاوت‌های اساسی در الکترواستاتیک سطحی وجود دارد. بنابراین سؤال دیگری مطرح شد: آیا می‌توان انداzek کربوکسیزوم سیانوباکتریایی را به طور کامل به کلروپلاست گیاهی وارد کرد؟ توالی‌یابی کامل ژنوم سیانوباکترها نشان داد که تنها یک کپسی از ژن های زیر واحد بزرگ و کوچک رویسکو وجود دارد و آن هم در خوشة ژن کربوکسیزومی کد می‌شود. بنابراین منطقی است که کل خوشة را مستقیماً به کلروپلاست‌های گیاهی وارد کنیم (Iwaki *et al.*, 2006). در یک مطالعه، آلفا کربوکسیزوم‌های کاربردی و ثبیت‌کننده CO₂ در باکتری اشريشیا کلی³ بیان شدند. این مطالعه ثابت می‌کند که ژن های مورد نیاز برای ساخت یک کربوکسیزوم کامل (ده ژن) Bonacci, 2011 را می‌توان به یک میزان خارجی منتقل کرد (Rca). با این حال وارد کردن یک کربوکسیزوم کامل به کلروپلاست بسیار پیچیده‌تر است. ایده معرفی تمام ژن‌های لازم برای ساخت کربوکسیزوم‌های سیانوباکتری در کلروپلاست‌های گیاهان عالی محور بسیاری از مطالعات فعلی را تشکیل می‌دهد و تحقیقات انجام شده باعث افزایش درک ما از ساختمان کربوکسیزوم سیانوباکتریایی شده‌است. برچسب زدن کربوکسیزوم‌ها با فلورستن⁴ نشان

کربوکسیزوم دارای یک غشا پروتئینی نیمه‌تراوا است. منفذ پروتئینی موجود در این غشا دارای بار مثبت هستند که مولکول‌هایی با بار منفی مانند بیکربنات، RuBP و 3-PGA می‌توانند به راحتی از آن عبور کنند ولی مولکول‌های بدون بار مانند CO₂ و O₂ نمی‌توانند از آن عبور کنند. بنابراین مولکول‌های CO₂ که از بیکربنات و توسط آنزیم کربونیک آنهیدراز آزاد شده‌اند در داخل محوطه باقی می‌مانند و مولکول‌های اکسیژن هم اجازه ورود نخواهند داشت. بدین ترتیب تجمع آنزیم‌های رویسکو و کربونیک آنهیدراز در انداzek کربوکسیزوم، منجر به کاهش قابل توجه تنفس نوری در سیانوباکترها شده‌است. مولکول‌های FSPS (فسفوگلیسرات تولید شده توسط آنزیم رویسکو به سیتوپلاسم، جایی که بقیه آنزیم‌های چرخه کالوین-بنسون در آن قرار دارند، منتشر می‌شود) (Tanaka *et al.*, 2008). همانند گیاهان، فعال‌سازی آنزیم رویسکو در سیانوباکترها نیز مستلزم تشکیل یک کاریامات در زنجیره جانی اسید آمینه لیزین در جایگاه فعال آنزیم رویسکو و اتصال آن به یون منیزیم است. همچنین رویسکو سیانوباکترها نیز با اتصال سوبسترای خود یعنی ریبولوز بیس فسفات به جایگاه فعال آنزیم، غیرفعال می‌شود و اگر اسید آمینه لیزین کربامیله نشود، این اتصال محکم‌تر خواهد بود. حذف Rubisco از جایگاه فعال توسط Rca اغلب activase تسهیل می‌شود. ژن کدکننده پروتئین Rca در خوشه‌هایی¹ همراه با ژن‌های کدکننده زیرواحد بزرگ و کوچک رویسکو یافت می‌شوند. تقریباً تمام اکتیووازهای رویسکو در سیانوباکتری‌ها دارای یک دومین پایانه کربوکسیلی اضافی هستند که شیبی زیرواحد کوچک آنزیم رویسکو است. این موضوع نشان می‌دهد که چگونه اتصال Rca به رویسکو ممکن است در سیانوباکتری‌ها تسهیل شود و باعث تجمع آن‌ها همراه با آنزیم رویسکو در کربوکسیزوم شود. قابل توجه است که برخلاف رویسکوهای گیاهی، حدود نیمی از سیانوباکترها قادر هستند و ارتوفسفات² به تهایی می‌تواند باعث فعال شدن رویسکو سیانوباکتریایی شود. ولی در گیاهان، به نظر می

3. *Escherichia coli*
4. Fluorescent labelling

1. Clusters
2. Orthophosphoric acid

توان با استفاده از ژن‌های هترولوج^۴ موجودات دیگر که عملکرد بیوشیمیایی یکسان ولی تشابه نوکلئوتیدی کمی دارند، حل کرد. البته برای تضمین بیان بالای آنزیم‌های معرفی شده باید در نظر داشت که این آنزیم‌ها نیاز به تنظیم آلستریک^۵، تغییرات کوالانتسی^۶ و تغییرات پس از Bonner *et al.*, 2006). تعدادی از ژن‌های سیانوباكتریایی درگیر در فتوسترنز، متابولیسم کربن، بیوسترنز اسیدهای چرب و بیوسترنز کاروتونوئیدها برای افزایش کیفیت و کمیت به گیاهان منتقل شده است که به صورت خلاصه در جدول ۳ ذکر شده است.

بازطراحی فتوسترنز با استفاده از ژن‌های کنترل کننده تغییر استراتژی فتوسترنز در گیاهان Swithching

گیاهان C₃ اجدادی، در طی میلیون‌ها سال، بیش از ۶۰ بار به طور منتقل به گیاهان C₄ تکامل پیدا کرده‌اند. این موضوع نشان می‌دهد تنها تغییرات نسبتاً کوچک تکاملی برای ایجاد یک مسیر فتوسترنز C₄ مورد نیاز بوده است. این تغییرات کوچک گام به گام، هر کدام به تنهایی منجر به ایجاد یک مزیت تکاملی تمایز شده‌اند، منتقل از اینکه آیا به سمت تبدیل کامل گیاه از C₃ به C₄ پیشرفت کرده‌اند یا خیر. بنابراین می‌توان فرض کرد که تکامل C₄ باید از نظر ژنتیکی آسان بوده باشد و این سؤال توسط تعداد زیادی از محققین مطرح شده است که آیا می‌توان از اطلاعات مربوط به معماری ژنتیکی و تکاملی این مسیر استفاده کنیم و الگوهایی از فتوسترنز C₄ را به گیاهان C₃ منتقل کنیم و در نتیجه آنها را به گیاهانی با بازده Gowik and Westhoff, 2011؟ تاکنون تحقیقات زیادی روی دو جنس غیرزراعی Flaveria و Atriplex برای درک تکامل C₄ به C₃ انجام شده است.

داد که آن‌ها به طور مساوی در سلول توزیع شده‌اند. این توزیع فضایی به دلیل برهمنکشن با پروتئین‌های اسکلت سلولی است و به احتمال زیاد تضمین می‌کند که پس از تقسیم سلولی، هر دو سلول دختر تعداد مساوی کربوکسیزوم دریافت می‌کنند. اختلال در دو عنصر اسکلت سلولی به نام های ParA و mreB منجر به مکان‌یابی نادرست کربوکسیزوم‌ها می‌شود. جهش یافته‌هایی که این دو پروتئین را تولید نمی‌کنند، توزیع یکنواختی از کربوکسیزوم‌ها در سیتوپلاسم ندارند و گاهی اوقات سلول‌های دختر بعد از تقسیم سلولی بدون هیچ کربوکسیزومی باقی می‌مانند. این سلول‌ها نقص‌های جدی در رشد داشتند، زیرا مجبور بودند کربوکسیزوم‌های جدید بسازند، در حالی که تثیت CO₂ مختل شده بود (Savage *et al.*, 2010).

انتقال کامل ژن‌های کدکننده کربوکسیزوم سیانوباكترها در گیاهان آلی بسیار چالش‌برانگیز است زیرا نیاز به بیان هماهنگ دههای پروتئین دارد. با این حال در یک تحقیق جدید، حداقل ژن‌های مورد نیاز برای ساخت یک کربوکسیزوم (فرم 1A روییسکو به همراه پروتئین رابط CsoS2 و پروتئین ساختمانی غشاء کربوکسیزوم به نام CsoS1A) با موفقیت از سیانوباكترها به کلروپلاست گیاه تنبایک منتقل شد، بدین صورت که ژن‌های کدکننده زیر واحد بزرگ و کوچک سیانوباكتریایی جایگزین زیر واحد بزرگ روییسکو در کلروپلاست شدند. در این تحقیق با الهام از α-carboxysomes از Cyanobium marinum PCC7001 کربوکسیزوم طراحی و ژن‌های کدکننده آن به کلروپلاست گیاه تنبایک منتقل شدند (Long *et al.*, 2018).

بازطراحی فتوسترنز با ژن‌های سیانوباكتریایی

یکی از دلایل عدم موفقیت در بهبود کارایی فتوسترنز از طریق انتقال ژن‌های مسیر C₄ به گیاهان زراعی C₃ می‌تواند به علت سرکوب شدن^۷ آن‌ها توسط ژن‌های هومولوگ^۸ درون‌زای^۹ گیاه میزبان باشد. این مشکل را می-

4. Heterologous genes

5. Allosteric regulation

6. Covalent modification

7. Post-translational modification

1. Suppression

2. Homologous

3. Endogenous

جدول ۳. برخی از ژن‌های سیانوبکتریایی که برای بهبود کیفیت و کمیت گیاهان به آن‌ها انتقال داده شده‌اند.

Table 3. Some cyanobacterial genes that have been transferred to improve the quality and quantity of plants

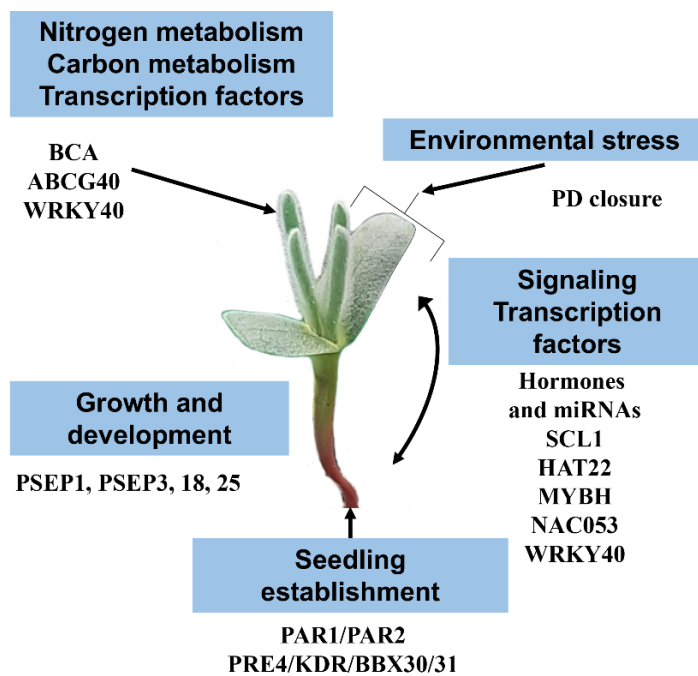
پروتئین	ژن کدکننده	سیانوبکتر	گیاه گیرنده ژن	تغییرات ایجادشده در گیاه تراویخته	رفرنس
desD (D6-desaturase)	Synechocystis sp. PCC 6803	Tobacco	تجمع گاما لینولیک اسید	(Reddy and Thomas, 1996)	
desC (D9-desaturase)	Anacystis nidulans	Tobacco	افزایش لیپیدهای غیراشاع و افزایش مقاومت گیاه در برابر تنفس سرما	(Ishizaki-Nishizawa et al., 1996)	
FBP/SBPase or FBP-(fructose-1,6-/ Isedoheptulose-1,7-bisphosphatase)	Synechococcus PCC 7942	Tobacco	افراش میزان، افزایش بازسازی RuBP، ساکاروز و شاسته گیاه مون اثر بازدارندگی در فتوستتر	(Miyagawa et al., 2001)	
Pds (phytoene desaturase)	Synechococcus PCC 7942	Tobacco	افزایش مقاومت گیاه به علف‌کش‌ها، افزایش مقاومت گیاه در برابر استرس اکسیدانو	(Wagner et al., 2002)	
ictB (inorganic carbon transporter)	Synechococcus PCC 7942	Tobacco, Arabidopsis thaliana	افراش غلظت CO ₂ داخلی، افزایش فتوستتر و رشد	(Lieman-Hurwitz et al., 2003)	
desC (D9-desaturase)	Synechococcus vulcanus	Tobacco	افراش محتوای لیپید گیاه، افزایش بازسازی اسیدهای چرب غیراشاع	(Orlova et al., 2003)	
FBPase-II (fructose-1,6-bisphosphatase)	Synechococcus PCC 7942	Tobacco	تنظیم بازسازی RuBP و سنتز نشاسته، افزایش فتوستتر	(Tamoi et al., 2005)	
crtO (b-carotene ketolase)	Synechocystis sp. PCC 6803	Potato tuber	تجمع یک رنگدانه مشق از بتاکاروتون با خاصیت آنتی اکسیدانتی به نام astaxanthin	(Gerjets and Sandmann, 2006)	
fld (isiB) (flavodoxin).	Anabaena sp.	Tobacco	فلاؤودوکسین، جایگزین فردوکسین در زنجیره انتقال الکترون شد افزایش تحمل گیاه به استرس‌های اکسیداتیو مختلف	(Tognetti et al., 2006)	
desA (acyl-lipid D12-desaturase)	Synechocystis sp. PCC 6803	Potato	افراش مقدار لیپید گیاه و افزایش درجه غیراشاعی اسیدهای چرب	(Reza et al., 2007)	
drnfl	Nostoc flagelliforme	Arabidopsis thaliana	افراش جوانهزنی بدروشد ساقه گیاهان تراویخته تحت تنفس شوری	(Cui et al., 2018)	
ictB	Synechococcus sp strain PCC 7942	Zea mays	افراش میزان نشاسته و ساکارز برگ تا ۲۵ درصد نسبت به گیاه غیرتراویخته	(Koester et al., 2021)	

شده‌است (Schulze et al., 2016). بدین دلیل که این گونه‌ها از نظر فیلوزنی و ژنتیکی نزدیکی قابل توجهی به یکدیگر دارند، تفاوت بیان ژن‌های دخیل در مسیرهای فتوستتری در آن‌ها مستدل‌تر و قابل قیاس‌تر است (Lauterbach et al., 2017). داده‌های حاصل از این مقایسه‌ها، آنزیم‌ها، ترانسپورترها و کاندیداها‌یی برای تنظیم کننده‌های این مسیر و همچنین بخش‌های نیازمند مطالعات بیشتر را بهتر مشخص می‌کند. از طرف دیگر، گونه‌هایی از خانواده Salsoleae وجود دارند که در مرحله (Chenopodiaceae)

در این دو جنس نه تنها بعضی از گونه‌ها دارای فتوستتر C₃ و یا C₄ بودند، بلکه بعضی از گونه‌های این دو جنس نه به طور کامل صفات گیاهان C₃ را نشان می‌دهند و نه C₄ که به این اعضا حد واسطه‌های C₃-C₄ می‌گویند. به عنوان مثال برخی از این گونه‌ها دکربوکسیلاسیون گلیسین را در سلول‌های غلاف آوندی انجام می‌دهند و با بازیافت CO₂ آزاد شده، تنفس نوری را کاهش می‌دهند. همچنین در درجات مختلفی از آناتومی کراتز در اعضا این جنس‌ها دیده

(چه به صورت تک ژن و چه به صورت چند ژن مرتبط به هم) از گیاهان C_4 به گیاهان C_3 ، با هدف بررسی تغییرات آناتومی برگ انجام گرفته است (Slewinski, 2013). اخیراً تجزیه و تحلیل ترانسکریپtom بین هیپوتیکولها در دو مرحله نموی قبل و بعد از تشکیل برگ‌های اولیه با هدف شناسایی ژن‌های تنظیم کننده تغییر استراتژی فتوستتری از C_3 به C_4 در گونه *Halimocnemis mollissima* Bunge صورت گرفته است. در این گونه، برگ‌های کوتیلدونی دارای فتوستتر C_3 بوده و پس از تشکیل برگ‌های اولیه گیاه فتوستتر C_4 از نوع NAD-ME را انجام می‌دهد و بنابراین این گونه جزء گیاهان switching محسوب می‌شود. نتایج این مطالعه فراوانی رونوشت افتراقی چندین ژن تنظیم کننده که قبلاً تحرک آنها از خلال بافت‌های مختلف نشان داده شده بود و گیرنده‌ها ناقل ان مرتبط با آنها در هایپوکوتیل‌های قبل و بعد از شروع فتوستتر C_4 را نشان داد (شکل ۶). مطالعات بیشتر بر روی این گونه‌های switching می‌تواند منجر به شناسایی ژن‌ها و تنظیم کننده‌های درگیر در بروز صفات مرتبط با فتوستتر C_4 از جمله کارآمدی مصرف آب و نیتروژن و نیز تشکیل آناتومی کرانز گردد.

گیاهچه، فتوستتر C_3 در درون برگ‌های لپه‌ای انجام می‌گیرد، در حالی که برگ‌های بالغ فتوستتر C_4 را نشان می‌دهند. برای این نوع از گیاهان از واژه switching استفاده می‌شود، بدین صورت که در گیاهچه خود فتوستتر C_3 را انجام می‌دهند ولی برگ‌های بالغ مکانیسم فتوستتری خود را تغییر داده و مسیر C_4 را انجام می‌دهند. بنابراین، دو بافت متفاوت در یک نمونه گیاه، دو نوع فتوستتر متفاوت را انجام می‌دهند. این ویژگی امکان مقایسه میان دو روش فتوستتر C_3 (گیاهچه یا کوتیلدون) و فتوستتر C_4 (برگ اولیه) را بدون وجود خطاهای فیلوزنیک و تفاوت‌های بین گونه ای فراهم می‌کند. این تغییر منحصر به فرد مسیرهای فتوستتری در یک گیاه منفرد یک فرصت استثنائی جهت بررسی تکامل مسیر C_4 از مسیر C_3 بدون وجود نویزهای فیلوزنیک را فراهم می‌آورد (Lauterbach et al., 2017). از طرف دیگر اکثر مطالعات مقایس‌های میان گونه‌های دور و یا نزدیک C_3 و C_4 ، بیشتر در زمینه شناسایی آنزیم‌های فعال در این مسیرها که در گونه‌های C_4 دارای بیان بیشتری هستند و پروتئین‌های انتقال‌دهنده حد واسطه‌ای مسیر C_4 که میان سلول‌های مزوفیل و غلاف آوندی درگیر هستند، انجام گرفته است. به عنوان مثال تحقیقات زیادی روی انتقال ژن



شکل ۶. فتوستتر C_3 در کوتیلدون و فتوستتر C_4 در گیاه *H. mollissima* Bunge و نقش ژن‌های احتمالی در سیگنال دهی بین سلولی و پاسخ‌های محیطی و تنظیم رشد در زمان switching.

Figure 6. C_3 photosynthesis in cotyledons and C_4 photosynthesis in *H. mollissima* Bunge and the role of putative genes in intercellular signaling and environmental responses and growth regulation during switching.

فتوستتر گیاه به C_4 در برگ‌های اولیه نقش ایفا می‌کند که می‌توانند به عنوان ژن‌های کاندیدای در بحث معماری فتوستتر مورد استفاده قرار گیرند. این ژن‌ها با بیان افتراقی متفاوت متعلق به گروه‌های عملکردی متنوعی، از جمله خانواده‌های مختلف فاکتورهای رونویسی^۱، متابولیسم هورمون‌های گیاهی، و پیتیدهای سیگنال‌دهنده بودند (Sadeghi *et al.*, 2024) که بخشی از آن‌ها می‌تواند مربوط به رشد هیپوکوتیل باشد. یافته‌های حاصل از این تحقیق از ارتباط مؤثر و نقش مستقیم کارایی بالاتر نیتروژن و مصرف بهینه آب، مرتبط با فتوستتر C_4 پشتیبانی می‌کند و همچنین بینش گیاهی را در مورد ارتباطات هماهنگ شده بافتی در اندام‌های هوایی و ریشه گیاه، طی تغییر وابسته به نمو فتوستتر از C_3 به C_4 ، ارائه می‌کند که می‌تواند راه را برای معماری فتوستتر در گیاهان زراعی در آینده نزدیک فراهم نماید (Zolfaghari *et al.*, 2023).

ژن‌های کدکننده *Physcomitrella patens* sORF encoded peptide (PSEP) در تنظیم سرعت رشد، پیری و مرگ سلولی نقش دارد. برخی از ژن‌ها به عنوان مثال PHY RAPIDLY REGULATED 1 (PAR1) و 2 (PAR2) ممکن است منجر به افزایش طول hypocotyl شوند و یا مانند KIDARI (KDR) در تنظیم photomorphogenesis در سرکوب کشیدگی هایپوکوتیل و باز شدن و سبز شدن لپه‌ها نقش داشته باشند. برخی از ژن‌های کدکننده پیتیدها مانند B-BOX DOMAIN PROTEIN (BBX31/BBX30) در تنظیم رشد گیاه‌چه نقش دارند. برخی از فاکتورهای رونویسی مانند SCL1, HAT22, MYBH, NAC053, WRKY40 در زمان تشکیل برگ‌های اولیه (فتوستتر C_4) در گیاهان سوئیچنگ، در هایپوکوتول (فتوستتر C_3) افزایش بیان نشان می‌دهند که احتمال از نقش آن‌ها در واکنش‌های مرتبط با فتوستتر C_4 در این گیاهان دارند. علاوه بر آن برخی ژن‌ها مانند BCA, Beta-carbonic anhydrase و یا WRKY40 در متابولیسم نیتروژن و فتوستتر در زمان تغییر

تعارض منافع

هیچ‌گونه تعارض منافع توسط نویسنندگان وجود ندارد.

نتیجه‌گیری

این مقاله چالش‌ها و امکان بازطراحی فتوسنتز برای بهبود عملکرد محصولات کشاورزی را مورد بررسی قرار می‌دهد. با توجه به چالش‌های ناشی از تغییرات اقلیمی و افزایش تقاضا برای غذا، این دستاوردها می‌توانند راهکارهای مؤثری برای مقابله با مشکلات جهانی تأمین غذا فراهم کنند. فتوسنتز C_4 نیازمند سازگاری‌های بیوشیمیایی و آناتومیکی پیچیده‌ای مانند آناتومی کرانز است که در گیاهان C_3 وجود ندارد. این فرآیندها با عملکرد چندین ژن به همراه یکپارچه‌سازی متابولیکی و تعادل انرژی توسعه یافته‌است. اگرچه بیش بیان برخی آنژیم‌های C_4 در گیاهان C_3 جهت بهبود عملکرد فتوسنتز تا حدی موفق بوده است، با این حال دستیابی به فتوسنتز C_4 کاملاً عملکردی در گیاهان C_3 موفق نبوده است. بررسی‌های حال حاضر نشان می‌دهد که انتقال ژن‌ها و آنژیم‌های کلیدی از موجودات فتوسنتزکنده ساده‌تر، مانند سیانوباکترها و جلبک‌ها، می‌تواند به بهبود کارایی فرآیندهای فتوسنتزی و در نتیجه افزایش بازده محصولات کشاورزی کمک کند. پیشرفت‌های اخیر در مهندسی مسیرهای فتوسنتزی، از جمله معرفی مکانیزم‌های متمنکرکننده کرین از سیانوباکترها، نتایج امیدوارکننده‌ای در بهبود کارایی فتوسنتزی نشان داده‌اند. علاوه بر این، اصلاح تنفس نوری از طریق وارد کردن آنژیم‌های کلیدی از جلبک‌ها یا استفاده از رویکردهای زیست‌شناسی مصنوعی^۱ می‌تواند به طور چشمگیری بازده محصول و مقاومت گیاهان به تنش‌های محیطی را افزایش دهد. این اصلاحات ژنتیکی می‌توانند منجر به جذب بهینه CO_2 ، کاهش اتلاف انرژی و افزایش تولید زیست‌توده^۲ گیاهی شوند. علاوه بر این، تحقیق بر روی روی گیاهان switching به دلیل کاهش نویز تکاملی می‌تواند منجر به شناسایی ژن‌هایی که در یکپارچه‌سازی متابولیکی و تعادل انرژی نقش دارند، شود. در نهایت، با شناخت راهکارهای معماری فتوسنتز می‌توان نوآوری‌های جدیدی را برای توسعه گیاهان مقاوم‌تر و پر بازده‌تر برای اکوسیستم کشاورزی پایدار ارائه کرد.

1. Artificial biology

2. Biomass

References

- Arce, R. C., Vicino, P., Demarchi, M., & Lodeyro, A. F. (2022). Back to the past: Improving photosynthesis with cyanobacterial genes. *Cyanobacterial Lifestyle and its Applications in Biotechnology*
- Bauwe, H., Hagemann, M., & Fernie, A. R. (2010). Photorespiration: Players, partners, and origin. *Trends in Plant Science*, 15(6), 330-336.
- Bonacci, W., Teng, P.K., Afonso, B., Niederholtmeyer, H., Grob, P., Silver, P. A., & Savage, D.F. (2011). Modularity of a carbon-fixing protein organelle. *Proceedings of the National Academy of Sciences, USA*, 109, 478-483.
- Bonner, E., Van de Peer, Y., & Rouzé, P. (2006). The small RNA world of plants. *New Phytologist*, 171, 451-468.
- Brown, H., & Bouton, J. H. (1993). Physiology and genetics of interspecific hybrids between photosynthetic types. *Annual Review of Plant Biology*, 44(1), 435-456.
- Chen, Y., & Xu, D.-Q. (2007). Changes in leaf photosynthesis of transgenic rice with silenced OsBP-73 gene. *Photosynthetica*, 45(3), 419-425.
- Chida, H., Nakazawa, A., Akazaki, H., Hirano, T., Suruga, K., Ogawa, M., Satoh, T., Kadokura, K., Yamada, S., Hakamata, W., Isobe, K., Ito, T., Ishii, R., Nishio, T., Sonoike, K., & Oku, T. (2007). Expression of the algal cytochrome c6 gene in *Arabidopsis* enhances photosynthesis and growth. *Plant and Cell Physiology*, 48, 948-957.
- Cui, L., Liu, Y., Yang, Y., Ye, S., Luo, H., Qiu, B., & Gao, X. (2018). The *drnfl* gene from the drought-adapted cyanobacterium *Nostoc flagelliforme* improved salt tolerance in transgenic *Synechocystis* and *Arabidopsis* plants. *Genes*, 9, 441.
- Flügge, U.-I., Westhoff, P., & Leister, D. (2016). Recent advances in understanding photosynthesis. *F1000Research*, 5.
- Gerjets, T., & Sandmann, G. (2006). Ketocarotenoid formation in transgenic potato. *Journal of Experimental Botany*, 57, 3639-3645.
- Gowik, U., & Westhoff, P. (2011). The path from C₃ to C₄ photosynthesis. *Plant Physiology*, 155(1), 56-63.
- Ishizaki-Nishizawa, O., Fujii, T., Azuma, M., Sekiguchi, K., Murata, N., Ohtani, T., & Toguri, T. (1996). Low-temperature resistance of higher plants is significantly enhanced by a nonspecific cyanobacterial desaturase. *Nature Biotechnology*, 14, 1003-1006.
- Iwaki, T., Haranoh, K., Inoue, N., et al. (2006). Expression of foreign type I ribulose-1,5-bisphosphate carboxylase/oxygenase (EC 4.1.1.39) stimulates photosynthesis in cyanobacterium *Synechococcus* PCC7942 cells. *Photosynthesis Research*, 88, 287-297.
- Karki, S., Rizal, G., & Quick, W. P. (2013). Improvement of photosynthesis in rice (*Oryza sativa* L.) by inserting the C₄ pathway. *Rice*, 6(1), 1-8.
- Keys, A. (1986). Rubisco: Its role in photorespiration. *Philosophical Transactions of the Royal Society of London B: Biological Sciences*, 313(1162), 325-336.
- Koester, R. P., Pignon, C. P., Kesler, D. C., Willison, R. S., Kang, M., Shen, Y., Priest, H. D., Begemann, M. B., Cook, K. A., Bannon, G. A., & Oufattale, M. (2021). Transgenic insertion of the cyanobacterial membrane protein ictB increases grain yield in *Zea mays* through increased photosynthesis and carbohydrate production. *PLoS ONE*, 16(2).
- Lauterbach, M., et al. (2017). C₃ cotyledons are followed by C₄ leaves: intra-individual transcriptome analysis of *Salsola soda* (Chenopodiaceae). *Journal of Experimental Botany*, 68(2), 161-176.
- Lieman-Hurwitz, J., Asipov, L., Rachmilevitch, S., Marcus, Y., & Kaplan, A. (2005). Expression of cyanobacterial ictB in higher plants enhanced photosynthesis and growth. In K. Omasa, I. Nouchi, & L. J. de Kok (Eds.), *Plant Responses to Air Pollution and Global Change* (pp. 133-139). Springer Verlag.
- Lieman-Hurwitz, J., Rachmilevitch, S., Mittler, R., Marcus, Y., & Kaplan, A. (2003). Enhanced photosynthesis and growth of transgenic plant that express ictB, a gene involved in HCO₃⁻ accumulation in cyanobacteria. *Plant Biotechnology Journal*, 1, 43-50.
- Long, B. M., Hee, W.Y., Sharwood, R. E., Rae, B. D., Kaines, S., Lim, Y. L., Nguyen, N. D., Massey, B., Bala, S., Caemmere, S. V., Badger, M. R., Price, G. D. (2018). Carboxysome encapsulation of the CO₂fixing enzyme Rubisco in tobacco chloroplasts. *Nature Communications*, 9, 3570.
- Miyagawa, Y., Tamoi, M., & Shigeoka, S. (2001). Overexpression of a cyanobacterial fructose-1,6-/sedoheptulose-1,7-bisphosphatase in tobacco enhances photosynthesis and growth. *Nature Biotechnology*, 19, 965-969.
- Miziorko, H. M., & Lorimer, G. H. (1983). Ribulose-1, 5-bisphosphate carboxylase-oxygenase. *Annual Review of Biochemistry*.
- Orlova, I. V., Serebriiskaya, T. S., Popov, V., Merkulova, N., Nosov, A. M., Trunova, T. I., Tsydenambayev, V. D., & Los, D. A. (2003). Transformation of tobacco with a gene for the

- thermophilic acyl-lipid desaturase enhances the chilling tolerance of plants. *Plant and Cell Physiology*, 44, 447–450.
- Parry, M. A. J., Andralojc, P. J., Mitchell, R. A. C., Madgwick, P. J., & Keys, A. J. (2003). Manipulation of Rubisco: The amount, activity, function, and regulation. *Journal of Experimental Botany*.
- Portis, A. R., Jr. (2003). Rubisco activase – Rubisco's catalytic chaperone. *Photosynthesis Research*, 75, 11–27.
- Prywes, N., Phillips, N. R., Tuck, O., T., Valentín-Alvarado, L., E., & Savage, D., F. (2023). Rubisco Function, Evolution, and Engineering. *Annual Review of Biochemistry*, 92:385–410
- Raines, C. A. (2006). Transgenic approaches to manipulate the environmental responses of the C₃ carbon fixation cycle. *Plant, Cell and Environment*, 29, 331–339.
- Rao, X., & Dixon, R. A (2016). The Differences between NAD-ME and NADP-ME Subtypes of C₄ Photosynthesis: More than Decarboxylating Enzymes. *Frontiers in Plant Science*, 7:1525
- Reddy, A. S., & Thomas, T. L. (1996). Expression of a cyanobacteria delta 6-desaturase gene results in gamma-linolenic acid production in transgenic plants. *Nature Biotechnology*, 14, 639–642.
- Reza, M. A., Goldenkova-Pavlova, I. V., Pchelkin, V. P., Tsydendambaev, V. D., Los, D. A., & Nosov, A. M. (2007). Acyl-lipid D12-desaturase of the cyanobacterium increases the unsaturation degree in transgenic potato (*Solanum tuberosum* L.). *Biologia*, 53, 4–7.
- Romanowska, E., Wasilewska-Dębowska, W. (2022). Light-Dependent Reactions of Photosynthesis in Mesophyll and Bundle Sheath Chloroplasts of C₄ Plant Maize. How Our Views Have Changed in Recent Years. *Acta Societatis Botanicorum Poloniae*, 91
- Ruan, C.-J., Shao, H.-B., & Teixeira da Silva, J. A. (2012). A critical review on the improvement of photosynthetic carbon assimilation in C₃ plants using genetic engineering. *Critical Reviews in Biotechnology*, 32(1), 1–21.
- Sadeghi, M., Ghaffari, M. R., Banaei-Moghaddam, A. M. (2024). Identification of photosynthesis key players: promising approaches for C₃ crop engineering. 6th International & 18th Iranian Genetics Congress. Shahid Beheshti university, Tehran 22 to 24 May 2024
- Sadeghi, M., Ghaffari, M. R., Banaei-Moghaddam, A. M. (2024). Identification of Microproteins Involved in the Developmental Transition from C₃ to C₄ Photosynthesis in the *Halimocnemis mollissima* Bunge through Analysis of Long Non-Coding RNA Profiles. 23rd National and 11th International Iranian Biology Congress (IBC). 11-23 Sep.2024
- Sage, R.F. (2004). The evolution of C₄ photosynthesis. *New Phytologist*, 161(2),341-370.
- Salesse-Smith, C. E., Wang, Y & Long, S. P. (2024). Increasing Rubisco as a simple means to enhance photosynthesis and productivity now without lowering nitrogen use efficiency. *New Phytologist*
- Savage, D. F., Afonso, B., Chen, A. H., & Silver, P. A. (2010). Spatially ordered dynamics of the bacterial carbon fixation machinery. *Science*, 327, 1258–1261.
- Schluz, S., Westhoff, P., & Gowik, U. (2016). Glycine decarboxylase in C₃, C₄, and C₃–C₄ intermediate species. *Current Opinion in Plant Biology*, 31, 29–35.
- Slewiński, TL., (2013). Using evolution as a guide to engineer Kranz-type C₄ photosynthesis. *Frontiers in Plant Science* 4, 1–13.
- Tamoi, M., Nagaoka, M., Yabuta, Y., & Shigeoka, S. (2005). Carbon metabolism in the Calvin cycle. *Plant Biotechnology*, 22, 355–360.
- Tanaka, S., Kerfeld, C. A., Sawaya, M. R., Cai, F., Heinhorst, S., Cannon, G. C., & Yeates, T. O. (2008). Atomic-level models of the bacterial carboxysome shell. *Science*, 319, 1083–1086.
- Tognetti, V. B., Palatnik, J. F., Fillat, M. F., Melzer, M., Hajirezaei, M. R., Valle, E. M., & Carrillo, N. (2006). Functional replacement of ferredoxin by a cyanobacterial flavodoxin in tobacco confers broad-range stress tolerance. *Plant Cell*, 18, 2035–2050.
- Treves, H., Küken, A., Arrivault, S., Ishihara, H., Hoppe, I., Erban, A., Höhne, M., Moraes, T. A., & Kopka, J. (2022). Carbon flux through photosynthesis and central carbon metabolism show distinct patterns between algae, C₃, and C₄ plants. *Nature Plants*.
- Wagner, T., Windhövel, U., & Römer, S. (2002). Transformation of tobacco with a mutated cyanobacterial phytoene desaturase gene confers resistance to bleaching herbicides. *Zeitschrift für Naturforschung C*, 57, 671–679.
- Walter, J., Kromdijk, J. (2021). Here comes the sun: How optimization of photosynthetic light reactions can boost crop yields. *Journal of Integrative Plant Biology*, 64: 564–591
- Woodrow, I. E., & Mott, K. A. (1993). Modeling C₃ photosynthesis: A sensitivity analysis of the photosynthetic carbon reduction cycle. *Planta*, 191, 421–432.
- Zolfaghari, M., Rutten, T., Ghaffari, M. R., Banaei-Moghaddam, A. M., (2023). Comparative Transcriptome Analysis of Hypocotyls During the Developmental Transition of C₃ cotyledons to C₄ Leaves in *Halimocnemis mollissima* Bunge. *Journal of Plant Growth Regulation*, 1-17.